

M. CIUGUDEAN

V. TIPONUT

M. E. TĂNASE

I. BOGDANOV

H. CÂRSTEA

A. FILIP

CIRCUITE INTEGRATE LINIARE

APLICATII



M. CIUGUDEAN
I. BOGDANOV

V. TIPONUȚ
H. CÂRSTEAN

M. E. TANASE
A. FILIP

CIRCUITE INTEGRATE LINIARE
APLICATII

Contribuția autorilor la realizarea volumului

- M. Ciugudean coordonarea lucrărilii, Cap. 1 (generalități, 1.1, 1.3), Cap. 2 (generalități, 2.1, 2.5, 2.6, 2.7, 2.9, 2.10 parțial), Cap. 5, Cap. 6 (6.1 — generalități, 6.1.1 — 6.3 parțial), Cap. 7 (7.1, 7.2) ;
V. Tiponuț Cap. 2 (2.3), Cap. 4 ;
M. E. Tănase : Cap. 2 (2.4), Cap. 3 (generalități), Cap. 6 (6.3 parțial), Cap. 7 (7.4) ;
I. Bogdanov : Cap. 1 (1.2), Cap. 2 (2.11), Cap. 6 (6.1.2, 6.1.3, 6.2) ;
H. Cărstea Cap. 2 (2.8, 2.10 parțial, 2.12), Cap. 3 (3.2, 3.3) ;
A. Filip Cap. 2 (2.2), Cap. 3 (3.1).

P R E F A T

În ultimii ani producția de circuite integrate liniare din țara noastră a crescut și s-a diversificat, ca urmare a cererii intensive de astfel de componente în industrie, cercetare și invățămînt. Se constată, cu bucurie, progresele obținute de electroniști în utilizarea circuitelor integrate liniare, competența lor crescîndă în aplicarea acestora în cele mai diverse scopuri, în calculul de dimensionare și în controlul performanțelor.

La cunoașterea aprofundată și la largirea gamei de aplicații ale unor circuite integrate liniare a contribuit și colectivul de specialitate al Catedrei de Electronică Aplicată de la Facultatea de Electrotehnică din Timișoara.

Rezultatele obținute, prezentate în cartea de față, sunt rodul unei activității intense desfășurate timp de cîțiva ani, pentru punerea la punct a unor circuite și a calculului lor. S-au adus aici numeroase contribuții originale, atestate de lista bibliografică anexată, care va rămîne deschisă.

Incluzind explicații bogate și un volum important de date concrete, cartea va fi de reală utilitate pentru învățarea electronicii, pentru rezolvarea mai rapidă a circuitelor de bază care apar în sistemele cerute de activitatea practică. Ea se adresează tuturor celor ce lucrează în electronică și le oferă posibilitatea să o cunoască mai bine.

Aducem pe această cale mulțumiri celor ce ne-au sprijinit la elaborarea și apariția acestei cărți.

A u t o r i i

INTRODUCERE

Pentru a înțelege în mod corespunzător multitudinea problemelor prezentate în cuprinsul cărții, cititorul trebuie să cunoască funcționarea dispozitivelor electronice, principiile circuitelor electronice (amplificatoare, generațoare de oscilații, stabilizatoare de tensiune ...) și să aibă noțiuni privitoare la construcția, performanțele și funcționarea amplificatoarelor operaționale. Pregătirea minimă în acest domeniu a celor neinițiați se poate face însă și pe măsura parcurgerii cărții („din mers“), apărându-se la informația cuprinsă în text sau la bibliografie. Pentru cei inițiați, parcurgerea lucrării nu ridică dificultăți semnificative.

În perspectiva fiecărei aplicații, cititorul este pregătit sistematic, înaintind de la simplu la complex, făcind cunoștință cu principalele relații de calcul al componentelor sau performanțelor. Ca urmare, aplicațiile concrete, cind apar, îl găsesc pe cititor familiarizat cu respectiva categorie de circuite. De altfel, lucrarea și-a propus să ofere cititorilor, acolo unde este cazul, o soluție mai generală, să asigure posibilitatea ca unele circuite să poată fi refăcute cu alte date inițiale, cu alte performanțe. Acești obiectiv a fost atins în mare măsură și reprezintă una din caracteristicile de bază ale cărții.

Lucrarea de față continuă și completează conținutul alteia, anterioare [14]. Împreună, cele două constituie un punct de plecare pentru elaborarea unor programe pe calculator, pentru rezolvarea operativă a unor circuite mult utilizate în practică, precum stabilizatoare de tensiune, redresoare de putere mică, oscilatoare pe frecvență fixă, circuite de temporizare etc.

O parte din aplicații se referă la circuite integrate cu putere disipată importantă, care ajung să funcționeze aproape de temperatura maximă a jocurilor. Este esențială verificarea puterii disipate, în cazul în care utilizatorul face modificări ale datelor din lucrare, în condițiile temperaturii maxime posibile a mediului [14]. Numai astfel se poate obține siguranța dorită în funcționarea circuitelor integrate.

Notățile utilizate sunt în bună măsură unitare și încearcă să caracterizeze mărimea pe care o reprezintă, pentru ca parcurgerea relațiilor să nu fie obosită. S-au separat net, prin notație, mărurile de regim static și dinamic din circuite. Astfel, pentru curenti și tensiuni statice

(continue, precizate) s-au utilizat, în general, notații și indici cu litere mari, iar pentru curenți, tensiuni și rezistențe dinamice sau pentru parametri ai tranzistoarelor, notații și indici cu litere mici, facilitându-se astfel înțelegerea materialului și evitându-se confuziile.

În lucrare sunt cuprinse numai aplicații ale circuitelor integrate liniare produse în țară, circuite care, în prezent, atât ca și diversitate cât și ca performanțe, se plasează la nivelul tehnicii mondiale. **Dezvoltarea** în continuare a acestora este condiționată, deopotrivă, de activitatea practică și de efortul creator al utilizatorilor, chemați să conceapă noile produse conform cerințelor tehnicii celei mai noi, să solicite întreprinderilor producătoare lansarea în fabricație a unor componente **originale**, dacă acestea sunt destinate unui produs de serie.

CAPITOLUL 1

APLICAȚII ALE AMPLIFICATOARELOR INTEGRATE TBA790T; TCA150T

Pentru realizarea unor puteri utile în curent alternativ sinusoidal de joasă frecvență de ordinul cîtorva W pe sarcină se utilizează amplificatoare integrate [31, 6, 14]. Cele mai răspîndite sunt tipurile în capsulă CB155, adică TBA790T și TCA150T. Deosebirile dintre ele constă în curentul maxim de virf al tranzistoarelor din etajul final (1,5 A la TBA790T și 2,3 A la TCA150T) și în prezența unui circuit de protecție termică (de limitare a creșterii temperaturii joncțiunilor prin încărcarea etajului final) la TCA150T.

Schema bloc simplificată a amplificatoarelor TBA790T și TCA150T este prezentată în fig. 1.1, iar conexiunile la capsulă — în fig. 1.2.

Schema bloc include un etaj diferențial, la căruia intrare neinversoare se aduce semnalul ce trebuie amplificat. Această intrare impune închiderea unui circuit de polarizare la masă, fie prin sursa de semnal (cînd este posibil), fie printr-o rezistență special introdusă. În ambele cazuri, rezistența de polarizare trebuie să fie suficient de mică, deoarece produce o oarecare deplasare a potențialului static de la ieșirea amplificatorului față de valoarea centrală $E/2$.

La intrarea inversoare a etajului diferențial se realizează (folosind o rezistență externă și rezistență integrată R_{10}) o reacție negativă de tip paralel-serie, care va impune amplificarea de tensiune necesară în regim dinamic.

Etajul pilot realizează principala amplificare a integratului și comandă, din același punct, dubletii etajului final. Acest lucru este posibil datorită unui circuit de polarizare special, intercalat în circuitul de intrare al dubletului *pnp*. Se asigură astfel funcționarea dubletelor în clasă AB [6].

Generatorul de curent pentru autocentrare asigură în nodul de la intrarea etajului diferențial un curent proporțional cu tensiunea de ali-

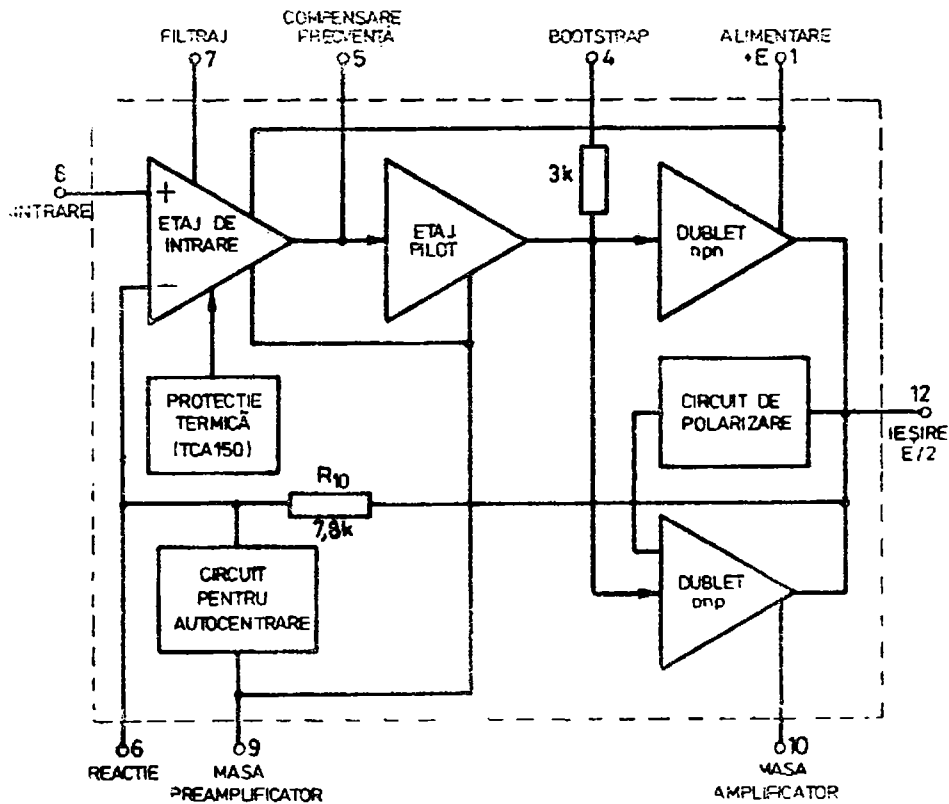


Fig. 1.1. Schema bloc a amplificatoarelor integrate TBA790T și TCA150T.

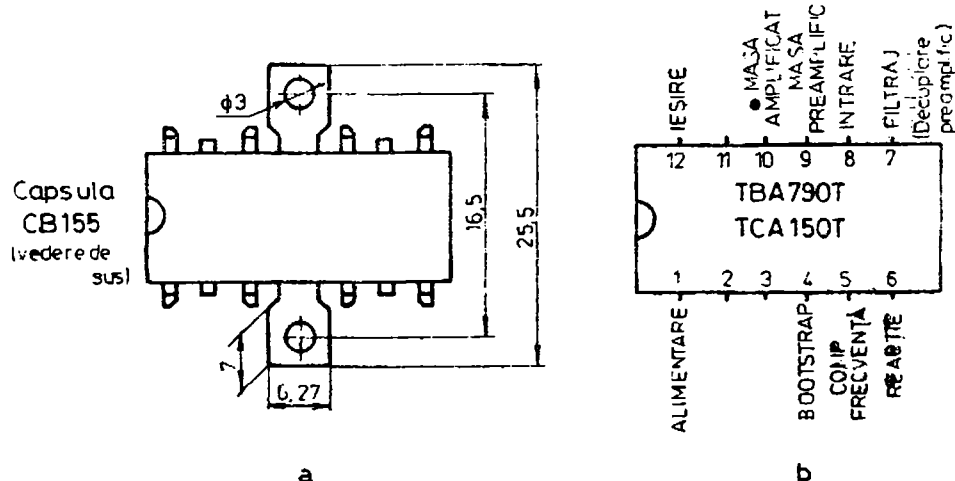


Fig. 1.2. Conexiunile la capsula ale amplificatoarelor integrate TBA790T și TCA150T.

mentare, în scopul centrării automate a valorii tensiunii de ieșire statică la jumătatea valorii tensiunii de alimentare E .

Față de amplificatoarele cu tranzistoare discrete în contratimp, la circuitele integrate de mai sus au fost luate măsuri pentru extinderea excursiei maxime de tensiune la ieșire în regim dinamic, pînă spre limita regiunii de saturație a ultimului tranzistor din dubletă.

Principalele mărimi limită ale amplificatoarelor integrate TBA790T și TCA150T sunt date în tabelul 1.1.

Tabelul 1.1

Caracteristici	TBA790T	TCA150T
Tensiune de alimentare E	6...15 V	(6) 7,5...18 V
Curent de ieșire de vîrf maxim	1,5 A	2,3 A
Rezistență de sarcină minimă la tensiunea de alimentare maximă, R_{smin}	5 Ω	4 Ω
Puterea utilă maximă pe sarcină rezistivă R_{load} , cu distorsiuni sub 5%, pentru E maxim P_{MAX}	3,8 W	8,2 W
Amplificarea de tensiune fără reacție	82 dB	82 dB
Amplitudinea maximă a tensiunii de intrare, u_{in}	0,4 V	0,4 V
Tensiunea de ieșire statică (în lipsa semnalului)	$(0,5 \pm 0,035) E$	$(0,5 \pm 0,035) E$
Curent de alimentare în lipsa semnalului, I_0 [mA]	$1+0,85 (E-4)$	$4,3+0,75 (E-4)$
Distorsiuni neliniare (d) maxime la o putere utilă pe sarcină $P_s=0,5$ W	1%	1%
Putere utilă maximă fără radiator, la $t_a=25$ °C	1,6 W	1,6 W
Temperatura maximă a jonctiunilor	125 °C	125 °C
Rezistență termică : R_{je}	10 °C/W	10 °C/W
Arie de contact a aripoarelor cu radiatorul, A_e	70 mm ²	70 mm ²

Pentru utilizarea rațională a amplificatoarelor integrate TBA790T și TCA150T este necesară cunoașterea puterilor disipate maxime, fără și cu radiator, ale capsulei și dependența acestora de temperatura maximă a mediului ambiant (fig. 1.3).

Se constată că nu se poate beneficia de puterea disipată maximă P_{tot} în condițiile unei răciri naturale, deoarece ea este definită numai pe baza rezistenței termice jonctiune-capsulă R_{je} , ignorîndu-se celelalte rezistențe termice inevitabile — rezistența de contact capsulă-radiator (R_{cr}) și radiator-aer (R_{ra}). Nu se poate beneficia nici de puterea disipată maximă, P'_{tot} , definită cu ajutorul rezistenței termice $R_{je} + R_{cr}$. În fig. 1.3 s-a trasat o diagramă corespunzătoare unei suprafețe de radiator de 100 cm², ce poate fi considerată ca neexagerată (notată P_{AMAXr}). Este vorba de un radiator plan, vertical, din tablă de aluminiu de 2 mm, lustruit. Cu toate că diagrama prezintă la temperaturi ale mediului de pînă la 30 °C o putere disipată maximă de cca 5 W, aceasta nu poate fi atinsă pe sarcină rezistivă, deoarece puterea medie disipată în condiții extreme, P_{medmax} , este de 4,4 W la integratul TCA150T și 2,4 W la TBA790T.

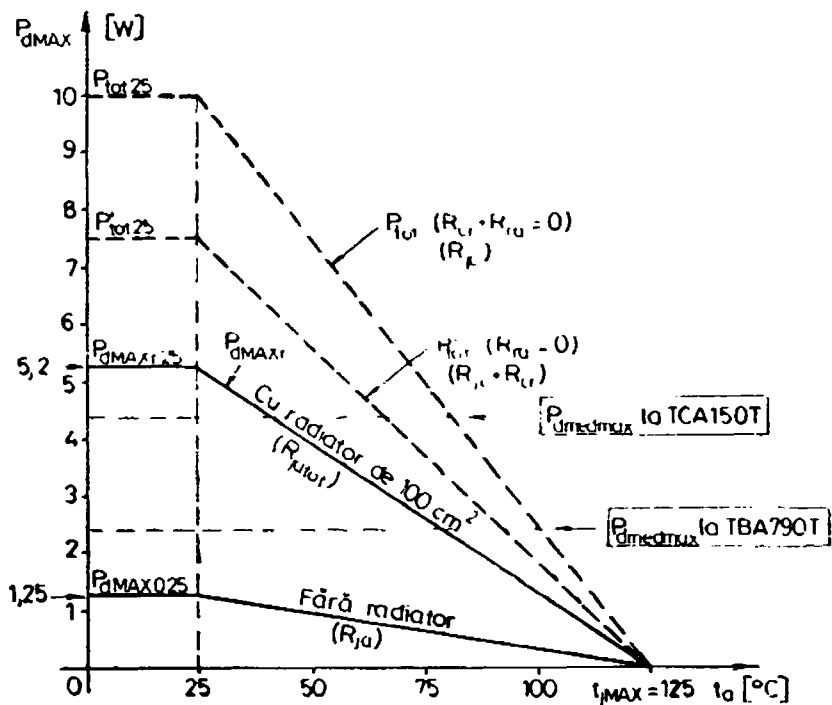


Fig. 1.3. Diagrama puterilor disipate maxime pe capsula amplificatoarelor TBA790T și TCA150T.

Fără radiator, se poate beneficia de o putere disipată maximă la $t_a = 25^\circ\text{C}$ — $P_{dMAX025}$ — de numai 1,25 W, iar la o temperatură a mediului mai mare, de o putere ce se recalculează cu relația

$$P_{dMAX0} = P_{dMAX025} \cdot \frac{125 - t_{a\max}}{100}. \quad (1.1)$$

Funcționând pe o sarcină rezistiv-inductivă (difuzoare), puterea disipată medie pe capsulă se mărește, situație de care trebuie să se țină seamă în aplicații. Amplificarea de tensiune cu reacție (fig. 1.4) se calculează cu relația

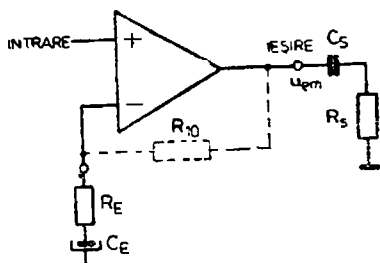


Fig. 1.4. Realizarea reacției negative paralel-serie.

Condensatorul C_S are rolul de a elimina reacția negativă de regim static care s-ar realiza pe același circuit și care nu mai e necesară ($E/2$ la ieșire este impus

prin reacția de autoconcentrare). Capacitatea condensatorului trebuie să îndeplinească o condiție de forma

$$C_E > \frac{10}{2\pi f_s R_E}, \quad (1.3)$$

pentru ca frecvența limită de jos f_s a amplificatorului să poată fi impusă de condensatorul de la ieșire, C_s , care este cel mai mare din schemă (și care ar trebui mărit în cazul cind C_E nu ar fi supradimensionat).

Caracteristica de frecvență fără reacție și fără corecție a amplificatoarelor TBA790T și TCA150T în domeniul frecvențelor mari și pe o sarcină rezistivă redusă are forma din fig. 1.5. Pe ea se poate trasa o linie orizontală la amplificarea cu reacție dorită și se poate vedea dacă amplificatorul cu reacție negativă este stabil sau nu. Punctul S , aflat la o amplificare cu reacție A_u de cca 47 dB, reprezintă limita de stabilitate a amplificatorului fără corecție.

Pentru amplificări de peste 47 dB nu mai este necesară corecția caracteristicii de frecvență. Corecția sau „compensarea“ se realizează prin conectarea unui condensator între ieșirea amplificatorului (pinul 12) și intrarea etajului pilot (pinul 5). Valoarea condensatorului de corecție (pentru sarcină rezistivă de $5 \dots 10 \Omega$) este dată de diagrama din fig. 1.6. Tot de aici se poate determina (cu aproximare) banda de frecvență obținută la amplificarea cu reacție stabilită. În unele aplicații, cind compensarea prin C_1 este nesatisfăcătoare, se mai utilizează o capacitate suplimentară de corecție, C_2 , între pinul 5 și masă, de valoare $(5 \dots 10) C_1$.

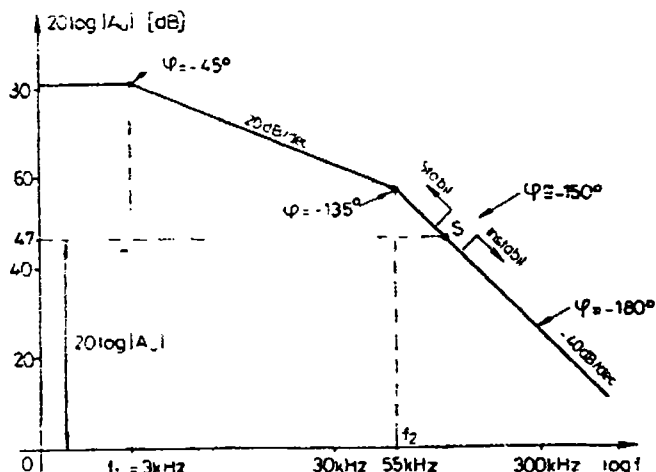


Fig. 1.5. Caracteristica de frecvență a amplificatoarelor fără reacție necorectate și delimitarea zonei de stabilitate fără corecție

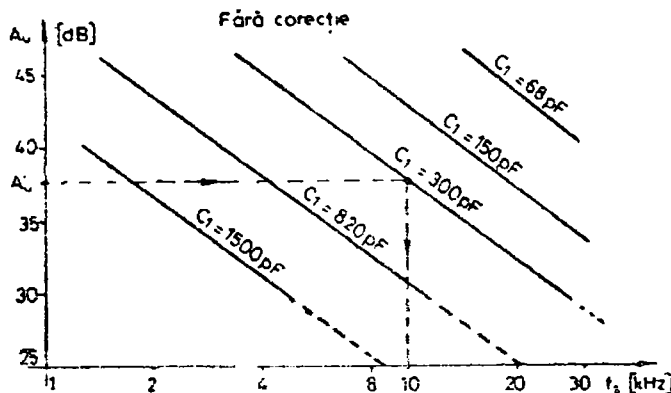


Fig. 1.6. Stabilirea capacității de corecție C_1 în funcție de amplificarea cu reacție necesară și banda impusă (f_s).

În cazul cind la ieșirea amplificatorului integrat se realizează puterea utilă maximă, amplificarea de tensiune cu reacție nu este mai mică decât 30 dB, de aceea diagramele de corecție din catalog nu sunt prelungite sub această valoare. În alte aplicații (oscilatoare sinusoidale) este posibil să se folosească amplificări cu reacție pînă la 20 dB și rezistențe de sarcină mai mari decît 10 Ω , situație în care nu se poate cunoaște exact valoarea capacității necesare pentru corecție. De altfel, aceasta depinde mult și de montajul concret realizat pe cablajul imprimat [6]. Tot la oscilatoare poate să apară o amplitudine mai mare a tensiunii de intrare și este necesar să se țină cont de limitarea acesteia la cca 0,4 V, din cauza deschiderii (la tensiune mai mare) a unei joncțiuni colectoare de tranzistor, cuprinsă între intrarea + și masă, ceea ce ar conduce la o puternică deformare a semnalului de ieșire.

La conceperea cablajului imprimat pentru circuitele cu integratele TBA790T și TCA150T trebuie să se aibă în vedere o serie de reguli prezentate în [6]. Dintre acestea, cele mai importante sunt

- executarea unui cablaj cît mai compact,
- trasarea circuitului de intrare cît mai departe de cel de ieșire, eventual separate printr-un traseu de masă,
- respectarea conexiunilor de masă ale preamplificatorului și ale amplificatorului final (pini separați),
- scurtarea la maximum a terminalelor componentelor,
- evitarea unei bucle inchise pentru traseul de masă, buclă în care pot să apară curenti perturbatori.

De asemenea, se recomandă folosirea cablului ecranat pentru aducerea semnalului de intrare, realizarea unor lipituri sigure și evitarea socului pentru circuitul integrat.

1.1. AMPLIFICATOARE DE AUDIOFRECVENȚĂ

Amplificatoarele integrate TBA790T și TCA150T se utilizează în special ca amplificatoare de audiofrecvență, în configurația cu sarcina în conexiunea bootstrap (legată la pinul +E, de alimentare, fig. 1.7) sau în configurația cu sarcina în afara conexiunii bootstrap (legată la masă, fig. 1.8).

Cind sursa de semnal nu prezintă o legătură galvanică spre masa montajului sau cind ea prezintă și o componentă continuă de tensiune

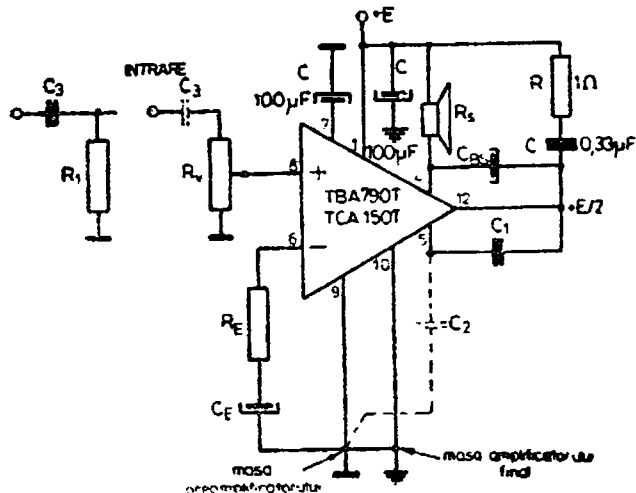


Fig. 1.7. Amplificator de audiofrecvență cu difuzorul în conexiunea bootstrap.

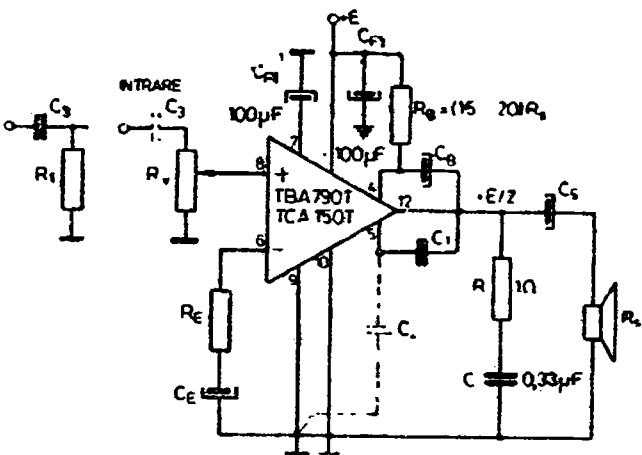


Fig. 1.8. Amplificator de audiofrecvență cu difuzorul în afara conexiunii bootstrap.

ce impune o separare prin condensator, trebuie prevăzută o rezistență de legătură spre masă mai mică decât $1 M\Omega$ (dacă sursa de semnal poate funcționa corect, chiar mai mică de $100 k\Omega$), pentru ca decalarea suplimentară a tensiunii statice de ieșire față de $E/2$ să fie neglijabilă (pentru $1 M\Omega$ decalarea poate fi de $0,3 V$!). Pe figuri s-a marcat cu linie întreruptă condensatorul de corecție C_2 , care este folosit numai în cazul cînd nu se pot suprîma eventualele oscilații ale amplificatorului cu reacție negativă, rămase după introducerea lui C_1 .

Un al doilea circuit de corecție utilizat în cele două scheme, realizat cu rezistență $R=1 \Omega$ și condensatorul $C=0,33 \mu F$, este absolut necesar pentru evitarea defectării amplificatorului, el înălăturînd oscilațiile de înaltă frecvență ce pot să apară în bucla închisă formată de intrările dublelor.

Utilizarea în cadrul conexiunii bootstrap a sarcinii R_s (fig. 1.7) este posibilă atunci cînd aceasta admite o componentă de curent continuu de cîțiva mA, ceea ce în general nu pune probleme.

În fig. 1.8, pentru realizarea conexiunii bootstrap este necesară rezistență suplimentară R_B , care se adoptă de 15—20 ori mai mare decît R_s sau $|Z_s|$ (în cazul sarcinii rezistiv-inductive).

Pentru realizarea unui amplificator audio la care să se evite deteriorarea integratului, este necesar să se efectueze o serie de calcule, prezentate detaliat în [14], care pornesc de la cîteva date inițiale, dintre care unele nu se cunosc, în general, de către utilizatori. Este vorba de diagrama impedanței difuzoarelor în funcție de frecvență [6] (pe care uzina producătoare nu o livrează împreună cu acestea). De asemenea, nu se știe sau nu se poate stabili riguros frecvența la care trebuie efectuat calculul puterii disipate pe capsulă în cazul sarcinii rezistiv-inductive pe care o constituie un difuzor.

Dacă amplificatorul integrat se utilizează într-o aplicație cu frecvență constantă și se cunoaște sarcina Z_s , la această frecvență (prin componentele ei R_s și L_s), nu sînt dificultăți în efectuarea calculelor. Dar pentru instalații de sonorizare este greu de precizat frecvența la care se va lucra cu putere utilă maximă. Oricum, este necesară aflarea impedanței difuzorului în zona frecvenței limită de sus a benzii (ce se va impune amplificatorului prin condensatorul de colecție C_1).

Intrucît puterea disipată medie maximă pe capsulă în cazul unei sarcini rezistiv-inductive este [6]

$$P_{d\text{medmax}RL} = \frac{P_{d\text{medmax}|Z_s|}}{\cos \varphi}, \quad (1.4)$$

unde: unghiul φ reprezintă defazajul dintre tensiunea și curentul din sarcină la frecvență maximă de lucru, iar puterea de la numărător reprezintă valoarea calculată pentru o sarcină rezistivă egală cu $|Z_s|$, la un amplificator de audiofrecvență se va face verificarea puterii disipate medii maxime atît la frecvența de ordinul $400 Hz$, unde difuzorul se prezintă ca o sarcină rezistivă (R_s), cît și la frecvență limită de sus fă benzii, unde sarcina este rezistiv-inductivă (relațiile mai exacte sunt 1.8 și 1.9).

Puterea utilă maximă ce se poate obține pe sarcină, cu distorsiuni neliniare de 5%, cu ajutorul amplificatorului TBA790T este [14] :

$$P_{s \max} \cong 0,108 \frac{E_{\max}^2}{R_s} \cdot \frac{1}{\left(1 + \frac{1,15}{R_s}\right)^2}, \quad (1.5)$$

pentru sarcină rezistivă (la frecvența de 400 Hz) ;

$$P_{s \max} \cong 0,108 \frac{E_{\max}^2}{|Z_s|} \cdot \frac{\cos \varphi}{\left(1 + \frac{1,15}{R_s}\right)^2}, \quad (1.6)$$

pentru sarcină rezistiv-inductivă (la frecvența f_s).

Pentru amplificatorul integrat TCA150T, în (1.5) și (1.6) se modifică factorul 1,15 în 0,45 și se utilizează, desigur, valoarea corespunzătoare E_{\max} din tabelul 1.1.

Puterea maximă P_s ce se poate obține cu un anumit factor de distorsiuni neliniare d se poate apoi determina din graficul dat în fig. 1.9. În general, pentru $P_s < 3,3$ W se poate utiliza amplificatorul TBA790T, iar pentru puteri de pînă la $P_s < 7,7$ W, amplificatorul TCA150T [14].

Este necesar să se facă verificarea virfului de curent de ieșire cînd rezistența R_s este mai mică decît $R_{s \min}$ dată în tabelul 1.1

$$i_{sm} \cong \frac{E}{2R_s} < i_{sm \ max}, \quad (1.7)$$

acesta din urmă fiind 1,5 A sau 2,3 A, în funcție de circuitul integrat utilizat.

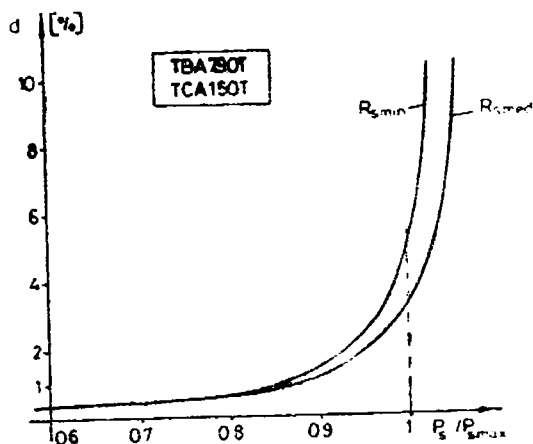


Fig. 1.9. Legătura dintre factorul de distorsiuni și puterea maximă pe sarcină.

Puterea disipată medie maximă pe capsulă se calculează cu relația

$$P_{d\text{medmax} R} \cong \frac{0,05 E^2}{R_s} + I_0 E \quad (1.8)$$

pentru sarcină rezistivă (la frecvența 400 Hz), sau

$$P_{d\text{medmax} RL} \cong \frac{0,05 E^2}{|Z_s| \cos \varphi_s} + I_0 E \quad (1.9)$$

pentru sarcină rezistiv-inductivă (la frecvența f_s), unde I_0 reprezintă curentul consumat în repaus de circuitul integrat și consemnat în tabelul 1.1 în funcție de tensiunea E .

Se utilizează radiator pentru circuitul integrat numai cind

$$\begin{aligned} P_{d\text{medmax} R} &\geq P_{dM,AX0} = 1.25(125 - I_{0\text{ max}}) \\ (\text{sau } P_{d\text{medmax} RL}) \end{aligned} \quad (1.10)$$

Amplitudinea tensiunii de pe sarcină este

$$u_{em} = \sqrt{2P_s R_s} \quad \text{sau} \quad u_{em} = \sqrt{\frac{2P_s Z_s}{E \cos \varphi}} \quad (1.11)$$

iar amplificarea de tensiune cu reacție

$$A'_u = \frac{u_{em}}{u_{in}} \quad (1.12)$$

unde amplitudinea tensiunii de intrare u_{in} trebuie să fie cunoscută. Astfel se determină valoarea necesară a rezistenței R_B , ce realizează reacția negativă împreună cu R_{10} (7,8 kΩ, integrată)

$$R_B = \frac{R_{10}}{A_u - 1} \quad (1.13)$$

Curentul continuu maxim, consumat de la sursa de alimentare este

$$I_{medmax} = \frac{E}{2\pi(R_s + R_{sat})} + I_0. \quad (1.14)$$

cu $R_{sat} = 1,15 \Omega$ pentru TBA790T sau $0,45 \Omega$ pentru TCA150T.

Condensatoarele din amplificatoarele de audiofrecvență (fig. 1.7 și 1.8) se dimensionează, cu următoarele relații în funcție de frecvență limită de jos f_s impusă

$$C_s \cong C_{BS} = \frac{1,1}{2\pi f_s R_s} \quad (1.15)$$

$$C_B \geq \frac{10}{2\pi f_s R_B} \quad (1.16)$$

$$C_S \geq \frac{20}{2\pi f_s (R_s + R_1)} \quad (1.17)$$

Pentru C_E s-a dat anterior relația de calcul (1.3). Tensiunile nominale ale condensatoarelor trebuie să fie adoptate conform tabelului 1.2.

Tabelul 1.3

Condensator	C_{F2}	C_{F1}	C_{BS}, C_S, C_H	C_A	C_3
$U_s >$	E	$2/3E$	$E/2$	$3V$	conform situației din circuitul de intrare

Pentru alimentarea amplificatoarelor integrate utilizate în fig. 1.7 și 1.8 se recomandă să se folosească tensiune stabilizată. Condensatorul de corecție se adoptă cu ajutorul diagramei din fig. 1.6, pe baza frecvenței f , și a amplificării A'_u calculate.

1.2. OSCILATOR SINUSOIDAL RC

Circuitul integrat TBA790, conceput și utilizat ca amplificator de audiofreqvencă, se poate folosi, cu rezultate bune, și ca generator de oscilații (oscilator) de putere medie. Un exemplu de aplicație este prezentat în fig. 1.10.

Schimba este un oscilator RC cu rețea Wien pentru frecvență variabilă, realizată după modelele tradiționale [8, 15]. Semnalul de ieșire, de amplitudine 3 V, are frecvență reglabilă între 700 Hz și 5 000 Hz. Reglajul se realizează cu potențiometrul tandem, cu secțiunile R incluse în cîte una dintre ramurile rețelei Wien. Problemele legate de oscilatoarele cu acest tip de rețea sint prezentate amănunțit în paragraful 2.7. Relațile de dimensionare pentru elementele din rețeaua Wien sint

$$2 + \frac{C_2}{C_1} = A'_u = \frac{u_{cm}}{u_{tm}} \quad (1.18)$$

$$f_{min} = \frac{1}{2\pi(R' + R'')\sqrt{C_1 C_2}} \quad (1.19)$$

$$f_{max} = \frac{1}{2\pi R' \sqrt{C_1 C_2}} \quad (1.20)$$

Pentru o amplitudine a semnalului de ieșire $u_{cm} = 3$ V și $u_{tm} = 0,2$ V rezultă o amplificare cu reacție $A'_u = 15$, care se realizează prin dimensiunarea rezistenței echivalente $R_E || r_{ds}$ conform relației

$$A'_u = \frac{R_{1s} + R_E || r_{ds}}{R_E || r_{ds}} \quad (1.21)$$

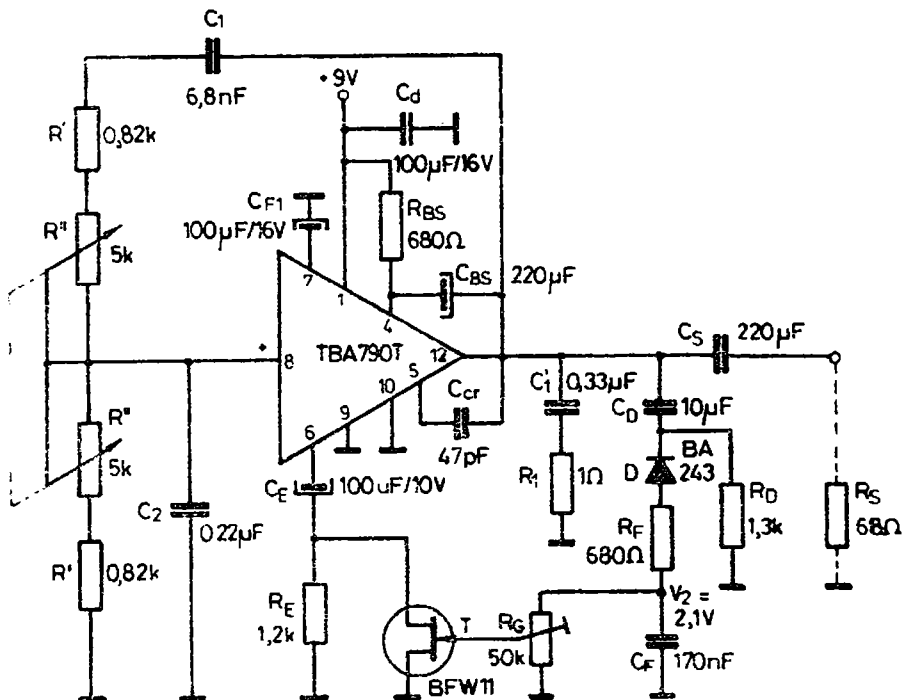


Fig. 1.10. Oscilator RC cu rețea Wien cu amplificator TBA790T

Amplitudinea semnalului de intrare pentru amplificatorul TBA790T este limitată sub 0,4 V, aşa cum s-a arătat la începutul capitolului. Utilizând o rețea Wien cu elemente egale, semnalul de ieșire poate ajunge la o amplitudine de numai 1,2 V [15]. Pentru a se asigura o amplitudine mai mare a tensiunii de ieșire s-a adoptat o rețea Wien cu componente înegale.

Schema din fig. 1.10 se caracterizează printr-o foarte bună stabilitate a amplitudinii la modificarea frecvenței. Reglajul este asigurat de tranzistorul cu efect de cimp BFW11, a cărui rezistență dinamică drenă-sursă, r_{ds} , apare conectată în paralel cu rezistența R_E , intrînd astfel în buclă de reacție negativă a amplificatorului. Rezistența r_{ds} a TECJ-ului are o variație importantă în funcție de tensiunea continuă de comandă pe grilă U_{cs} , întrucât acesta lucrează în regiunea inițială a caracteristicilor [15].

Tensiunea drenă-sursă a tranzistorului cu efect de cimp este alternativă, cu amplitudinea de cîteva zecimi de volt [14]. Această amplitudine s-a ales mult mai mică decît tensiunea de virf $U_p = 4$ V a tranzistorului.

Schema de comandă pe grilă a TECJ-ului este realizată cu redresorul cu filtru (detector), care cuprinde dioda D , rezistența R_F și condensatorul C_F . Tensiunea de comandă propriu-zisă pentru TECJ (U_c) se

obiține pe cursorul rezistenței semireglabile P și are o valoare de $0,2 \div 1$ V (trebuie să fie mai mică decit U_B). Calculul de dimensionare a componentelor dintr-un circuit de detecție se face în paragraful 2.7 în mod amănuntit.

A fost necesar să se prevadă condensatorul C_D , care separă semnalul alternativ de componenta continuă peste care este suprapus la ieșirea amplificatorului. Rezistența R_D este necesară pentru a asigura o cale de descărcare a condensatorului C_D , astfel ca tensiunea detectată să poată urmări variația tensiunii de ieșire.

Cuplajul între oscilator și sarcină este capacativ, realizat prin condensatorul C_S . S-a utilizat amplificatorul cu sarcina în afara conexiunii bootstrap, deoarece R_S are un capăt la masă. Rezistența din conexiunea bootstrap $R_H = 10 R_S$, întrucât amplificatorul are suficientă rezervă de putere.

Condensatorul de corecție pentru circuitul TBA790 s-a ales inițial conform diagramei din fig. 1.6, care corespunde aplicației amplificatorului integrat într-un circuit cu sarcina R_S de ordinul $4 \div 5$ Ω. Astfel, pentru o amplificare $A_{II}' = 30$, ce corespunde aproximativ 30 dB, rezultă, din grafic, la o bandă mai mare de 10 kHz ($> f_{max}$), o capacitate de ordinul 820 pF. Înțînd cont de situația concretă din fig. 1.10, unde $R_S = 60$ Ω, adică de 15 ori mai mare decât aceea pentru care este valabilă diagrama din fig. 1.6, s-a utilizat o capacitate de corecție de 15 ori mai mică, deci 47 pF. Soluția a fost confirmată experimental.

1.3. OSCILATOR SINUSOIDAL LC

Cel mai simplu oscilator cu integrat TBA790T sau TCA150T se poate realiza pe principiul oscilatorului LC în punte [20, 14], prezentat cu detalii în paragraful 2.9. În cazul de față (fig. 1.11), puntea este formată din rezistențele R_F , $R_{10} = 7,8$ kΩ (integrată), $R_3 = R_3' + R_3''$ și de impedanța la rezonanță a circuitului oscilant derivată L, C . Tensiunea de pe circuitul oscilant, având o amplitudine u_{im} nu mai mare de $0,4$ V, se aplică la intrarea neinversoare printr-o diodă sau o rezistență de valoare mare (≥ 150 kΩ). Aceasta servește la polarizarea inversă a jonctiunii colectoare a primului tranzistor (T_1 , pnp) din etajul de intrare diferențial, pentru ca să nu intre în saturare în semiperioadele negative ale tensiunii alternative de intrare.

Introducerea diodei în circuitul de intrare al amplificatorului determină însă deplasarea cu cca $0,3 \dots 0,4$ V a tensiunii statice de la ieșire față de valoarea centrală $E/2$. Aceasta nu este un inconvenient însemnat cind se folosește o tensiune de ieșire sub excursia maximă posibilă, ceea ce la oscilatoare sinusoidale constituie o situație normală. Folosirea rezistenței în locul diodei nu determină o deplasare sesizabilă a tensiunii statice de ieșire.

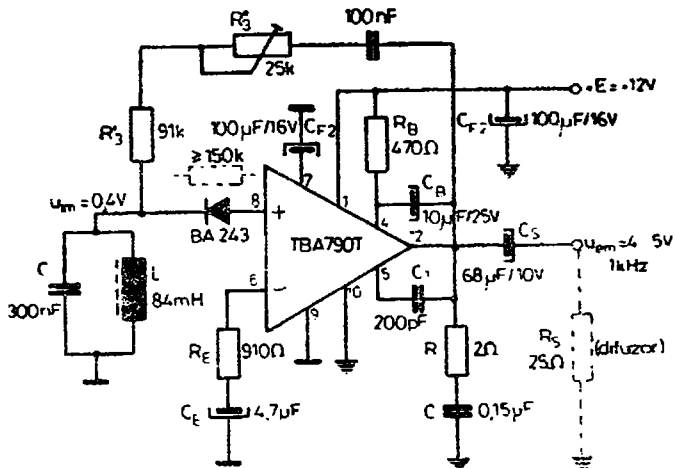


Fig. 1.11. Oscilator LC în punte cu amplificator TBA790T.

Racția pozitivă a oscilatorului este realizată prin R_3 și este ajustabilă pentru a se putea stabili amplitudinea necesară la ieșire. Aici este suficient un singur reglaj de amplitudine, deoarece pe circuitul oscilant LC amplitudinea tensiunii trebuie doar să nu depășească 0,4 V. Oscilatorul nu are limitare de amplitudine, întrucât această tensiune este mai mică decât tensiunea de deschidere a două joncțiuni inseriate între ele (dioda și joncțiunea colectoare amintită) și conectate în paralel pe circuitul oscilant.

Este însă posibilă folosirea unei limitări de amplitudine cu diodă, așa cum se va vedea în paragraful 2.9.

Oscilatorul concret din fig. 1.11 asigură la ieșire o tensiune sinusoidală cu amplitudinea de 4...5 V, având factor de distorsiuni neliniare de 1% și frecvență de 1 kHz.

Circuitul integrat nu necesită radiator, deoarece puterea disipată medie pe el nu depășește 300 mW.

Cind sarcina are valori de ordinul zecilor de ohmi, iar frecvența oscilatorului se stabilește pînă la 10 kHz, este indicată utilizarea unui circuit de corecție R, C cu impedanță mai mare ($R=2\Omega$, $C=0,15\mu F$), pentru a nu șunta sarcina.

Condensatoarele C_s , C_b , C_a se dimensionează inițial la frecvența de oscilație, cu relațiile date în paragraful 1.1, apoi se amplifică toate de cel puțin 10 ori, pentru că amplificatorul nu trebuie să introducă defazaj la frecvența de oscilație. Numai astfel se poate impune exact frecvența de oscilație de către circuitul L, C .

Condensatorul de cuplaj C_3 trebuie să prezinte o reactanță neglijabilă față de R_3 , pentru a nu introduce nici el defazaj

$$C_3 \gg \frac{\omega_0}{2\pi f_0 R_3}. \quad (1.22)$$

Rezistența de reacție R_3 se determină cu relația aproximativă

$$R_3 \approx \frac{X_L}{R_{pe}} A'_u; \quad (1.23)$$

în care : X_L este reactanța $2\pi f_0 L$ a bobinei, R_{pe} — rezistență de pierderi serie a circuitului L, C (la joasă frecvență dată practic numai de rezistență în curent continuu a conductorului de bobinaj), iar A'_u — amplificarea cu reacție

$$A'_u = \frac{R_{re} + R_E}{R_E}. \quad (1.24)$$

Din cauza capacităților mari utilizate în circuit, oscilatorul din fig. 1.11 pornește lent ($10 \dots 20$ s, valori mai mari pentru soluția cu rezistență în loc de diodă la intrare). Alte dezavantaje ale oscilatorului mai sunt : dependența amplitudinii tensiunii de ieșire de tensiunea de alimentare și de temperatura mediului (din cauza celor două joncțiuni de la intrare, aflate în paralel cu circuitul oscilant). În cazul soluției cu rezistență la intrare, stabilitatea amplitudinii în timp și față de temperatură mediului este mai bună.

CAPITOLUL 2

APLICAȚII ALE AMPLIFICATOARELOR OPERAȚIONALE

În electronica liniară, circuitul integrat utilizat cel mai frecvent este „amplificatorul operațional“, denumit astfel, impropriu, din cauza destinației sale principale. După cum se știe, cu amplificatorul de curent continuu integrat se realizează un amplificator operațional numai după atașarea unor rețele exterioare, cind circuitul are o anumită funcție.

Tipurile principale de amplificatoare operaționale produse în țară sunt prezentate în tabelul 2.1, specificându-se cele mai importante performanțe ale fiecărui tip [31, 32, 11, 14].

Tabelul 2.1

Tipul amplificatorului integrat	Particularități	Performanțe deosebite
ROB709	<ul style="list-style-type: none">— Corecția prin trei componente în funcție de amplificare— Lipsa protecției la scurtcircuit	<ul style="list-style-type: none">— Derivă termică de tensiune $3 \dots 10 \mu\text{V}/^\circ\text{C}$— Frecvență limită pentru amplitudine de 1 V la ieșire în regim sinusoidal (cu amplificare 10) : 500 kHz
ROB101	<ul style="list-style-type: none">— Corecție prin două componente, capacitatea în funcție de amplificare— Protecție la scurtcircuit la ieșire	<ul style="list-style-type: none">— Rezistență de intrare tipică 2 MΩ— Frecvență limită pentru amplitudine 1 V la ieșire în regim sinusoidal (cu amplificare 10) : 800 kHz— Derive termice reduse

Tabelul 2.1 (continuare)

Tipul amplificătorului integrat	Particularități	Performanțe deosebite
SA741	<ul style="list-style-type: none"> — Condensator de corecție integrat — Protecție de scurteircuit la ieșire 	<ul style="list-style-type: none"> — Rezistență de intrare tipică $2\text{ M}\Omega$ — Amplificare fără reacție tipică 200 000
SM324	<ul style="list-style-type: none"> — Patru amplificatoare într-o capsulă, fără posibilitate de echilibrare — Protecție la scurteircuit — Condensator de corecție integrat — Poate comanda circuite logice TTL 	<ul style="list-style-type: none"> — Consum mic de curent de alimentare (fără sarcină) — Alimentare cu tensiune redusă (până la $\pm 1,5\text{ V}$)
ROB115	<ul style="list-style-type: none"> — Amplificator rapid — Lipsa protecției la scurteircuit 	<ul style="list-style-type: none"> — Factor de rejecție a semnalului comun : 92 dB — Viteză de urmărire (slew rate) la amplificare 10 : $38\text{ V}/\mu\text{s}$ la amplificare 1 : $18\text{ V}/\mu\text{s}$ — Bandă de frecvență la semnal mic : 20 MHz
ROB74	<ul style="list-style-type: none"> — Intrare pe tranzistor TECJ, capacitate de corecție integrată — Protecție la scurteircuit 	<ul style="list-style-type: none"> — Rezistență de intrare foarte mare — Amplificare tipică : 10^4 — Viteză de urmărire : $6\text{ V}/\mu\text{s}$
SM201A 301A	<ul style="list-style-type: none"> — Protecție la scurteircuit — Temperatură de funcționare : SM201A : $-25^\circ\text{C} \dots +65^\circ\text{C}$ 	<ul style="list-style-type: none"> — Tensiune de decalaj (offset) tipică $0,7 \dots 2\text{ mV}$ — Derivă termică de tensiune tipică $3\text{ }\mu\text{V}/^\circ\text{C}$ (SM201A)
SM108A 208A 308A	<ul style="list-style-type: none"> — Nu are prevăzută echilibrare — Alimentare cu tensiune redusă până la $\pm 2\text{ V}$ — Protecție la scurteircuit — Temperatură de funcționare : SM108A : $-55^\circ\text{C} \dots +125^\circ\text{C}$, SM208A : $-25^\circ\text{C} \dots +85^\circ\text{C}$ 	<ul style="list-style-type: none"> — Tensiune de decalaj (offset) tipică : $0,3\text{ mV}$ — Current de polarizare tipic $0,8 \dots 1,5\text{ nA}$ — Derivă termică de tensiune tipică : $1 \dots 2\text{ }\mu\text{V}/^\circ\text{C}$ — Rezistență de intrare : $10\text{ M}\Omega$ — Amplificare fără reacție : 300 000 — Factor de rejecție a semnalului comun tipic : 110 dB
ROB3100	— De bandă largă	<ul style="list-style-type: none"> — Viteză de urmărire tipică la amplificare 10 : $70\text{ V}/\mu\text{s}$; la amplificare 1 : $25\text{ V}/\mu\text{s}$ — Tensiune de decalaj (offset) tipică : 1 mV — Frecvență limită pentru amplificare unitară : 38 MHz
ROB3140	<ul style="list-style-type: none"> — Intrare pe tranzistoare MOS — Protecție la scurteircuit 	<ul style="list-style-type: none"> — Rezistență de intrare foarte mare — Frecvență limită pentru amplificare unitară : 4,5 MHz — Viteză de urmărire tipică la amplificare 1 : $9\text{ V}/\mu\text{s}$

D ✓

Este interesantă o evidențiere a celor mai bune performanțe ale amplificatoarelor operaționale produse în țară, în forma dată în tabelul 2.2.

Tabelul 2.2

Caracteristica	Cel mai performant amplificator operațional	Valoare tipică a caracteristicii
Amplificare fără reacție	ROB74	10^6
Rezistență de intrare	ROB3140	$1,5 \text{ G}\Omega$
Tensiune de decalaj (offset)	SM108A/208A	0,3 mV
Derivă termică de tensiune	SM108A/208A	$1 \mu\text{V}/^\circ\text{C}$
Derivă termică de curent	SM108A/208A	$1,5 \text{ pA}/^\circ\text{C}$
Zgomot (pentru banda de 100 Hz)	SM108A/208A	0,5 μV
Factorul de rejecție a semnalului comun	SM108A/208A	110 dB
Domeniul de temperatură de funcționare	SM108A	$-51 \dots +125^\circ\text{C}$
Bandă de frecvență la amplificare unitară	ROB3100	38 MHz
Viteză de urmărire la amplificare cu reacție $A_v=1$	ROB3100	25 V/ μs
Incărcare cu curent de ieșire ($R_o = 250 \Omega$)	ROB3100	30 mA
Pret de vinzare minim (pe capsulă)	SA741	

Din tabelul 2.2 se remarcă performanțele deosebite ale amplificatorului operațional SM108A [11], care se utilizează în special în amplificatoare de măsură pentru semnale mici.

Având în vedere diversitatea mare a tipurilor de amplificatoare operaționale disponibile, se prezintă în continuare conexiunile la capsulă și circuitul de echilibrare doar pentru amplificatoarele uzuale SA741 și SM324 (ultimul nu prezintă terminale speciale pentru echilibrare, aceasta putindu-se face pe una din intrări) (fig. 2.1 ; 2.2).

2.1. CONVERSIA DOMENIULUI DE TENSIUNE

Deseori, pentru comanda prin tensiune a unui circuit integrat sau a unui circuit electronic cu tranzistoare discrete (de exemplu surse de curent constant), este necesară o tensiune de comandă cu valoarea cuprinsă într-un anumit domeniu, ce diferă de acela al tensiunii de comandă disponibile.

Transformarea domeniului tensiunii disponibile în domeniul necesar pentru comanda unui anumit circuit se face cu ajutorul unui amplificator operațional [14] și este denumită „conversia domeniului de tensiune“. Se deosebesc două cazuri :

- cazul în care cele două tensiuni variază în același sens, și
- cazul în care cele două tensiuni au sensuri de variație opuse.

In primul caz se utilizează circuitul din fig. 2.3, a, tensiunea disponibilă fiind aplicată la intrarea noninversoare. Prin calculul compunzător

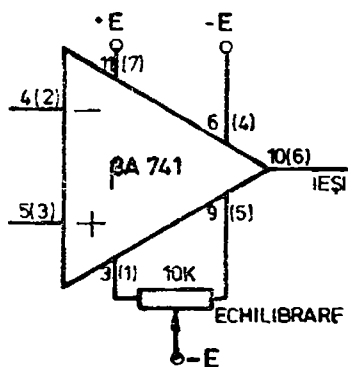
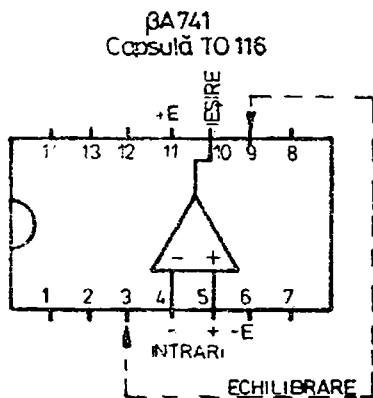
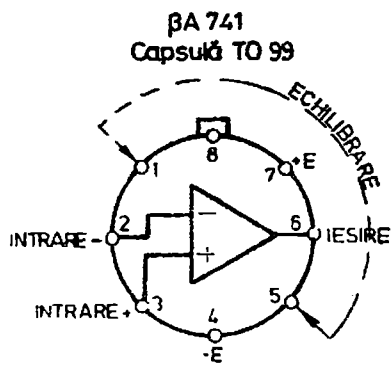


Fig. 2.1. Conexiunile la capsulă și echili-
brarea amplificatorului βA741.

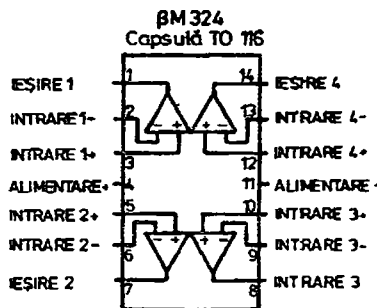
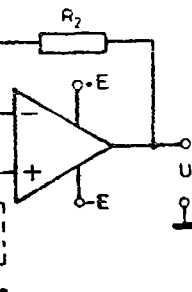


Fig. 2.2. Conexiunile la capsula
amplificatorului integrat βM324.

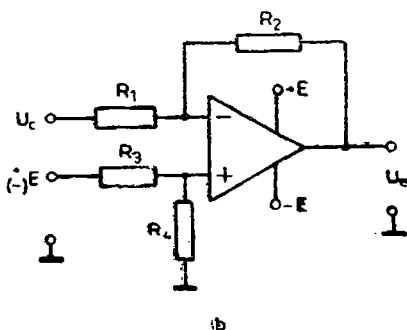
a

b

c



a



b

Fig. 2.3. Schemele amplificatoarelor
operacionale convertoare de
domeniu.

al circuitului se poate realiza la ieșire (tensiunea U_e) domeniul necesar de tensiune.

Pentru primul caz, fiind date limitele domeniului tensiunii de comandă disponibile U_c și $U_{c_{max}}$, și fiind impuse limitele domeniului tensiunii necesare $U_{e_{min}}$ și $U_{e_{max}}$, se calculează factorul de divizare al divizorului $R_3—R_4$ [14]

$$d = \frac{U_{e_{max}} - U_{e_{min}}}{1,5(U_{c_{max}} - U_{c_{min}})}. \quad (2.1)$$

Dacă rezultă $d > 1$, se adoptă $d = 1$ și nu mai este necesară divizarea, deci, nici rezistența R_4 . În caz contrar se va utiliza rezistența R_4 . Se determină apoi valoarea unei tensiuni fixe care ar trebui aplicată la intrarea inversoare (prinț-o rezistență $R_1 = R'_1 \parallel R''_1$) și care se va realiza de fapt cu ajutorul unei surse $+(-) E$ existente și a divizorului $R'_1—R''_1$

$$U_1 = \frac{dU_{e_{max}}(1 + A_u) - U_{e_{min}}}{A_u}, \quad (2.2)$$

cu $A_u = 0,5$ în cazul cind a rezultat $d < 1$ sau cu

$$A_u = \frac{U_{e_{max}} - U_{e_{min}}}{U_{e_{max}} - U_{e_{min}}} - 1, \quad (2.3)$$

în cazul cind s-a adoptat $d = 1$. Semnul tensiunii U_1 arată semnul tensiunii E ce alimentează divizorul $R'_1—R''_1$.

În continuare, adoptându-se rezistența R_2 de ordinul $5\dots 10\text{ k}\Omega$ (pentru ca divizorul $R_1—R_2$ să nu încarce puternic ieșirea amplificatorului), rezultă rezistențele circuitului din fig. 2.3, a cu ajutorul relațiilor

$$R'_1 = \frac{R_2 E}{A_u C_1} \quad (\text{cu } A_u = 0,5 \text{ în cazul } d < 1), \quad (2.4)$$

$$R''_1 = \frac{U_1}{E - U_1} R'_1. \quad (2.5)$$

$$R_3 = \frac{R'_1 \parallel R''_1 \parallel R_2}{d}, \quad (2.6)$$

$$R_4 = \frac{R_3}{1-d} \quad (\text{cind } d < 1). \quad (2.7)$$

Pentru al doilea caz, în care tensiunea de comandă se aplică la intrarea inversoare (fig. 2.3, b), se calculează amplificarea

$$A_u = \frac{U_{e_{max}} - U_{e_{min}}}{U_{c_{max}} - U_{c_{min}}} \quad (2.8)$$

și tensiunea

$$U_1 = \frac{A_u U_{c_{max}} + U_{e_{min}}}{1 + A_u}, \quad (2.9)$$

Semnul tensiunii U_1 arată semnul tensiunii E ce alimentează divizorul R_3-R_4 . Adoptând la fel ca mai sus pe R_2 , rezultă rezistențele

$$R_1 = \frac{R_2}{A_u}, \quad (2.10)$$

$$R_3 = \frac{E}{U_1} (R_1 || R_2), \quad (2.11)$$

$$R_4 = \frac{U_1}{E-U_1} R_3. \quad (2.12)$$

Toate rezistențele se normalizează la valori fără apropiație de cele calculate, folosind categorii cu toleranță 1 – 2%.

Întrucit conversia domeniului unei tensiuni intervine în special la valori ale tensiunii de ieșire și ale domeniului așteptat de ordinul volților, necesitând amplificări reduse, nu este importantă eroarea dată de offsetul și deriva amplificatorului. Poate fi astfel utilizat în scopul conversiei de domeniu orice tip de amplificator integrat uzual.

2.2. AMPLIFICATOARE CU CIȘTIG VARIABIL

O gamă largă de aplicații necesită utilizarea unei amplificatoare la care să fie posibilă modificarea amplificării între anumite limite. Comanda amplificării poate fi realizată manual sau automat (prin un semnal de comandă), în funcție de aplicații concrete. În general, semnalul de comandă este o mărime de curent continuu, tensiune sau curent.

Aplicațiile cele mai cunoscute se întâlnesc în aparatura radio TV sub denumirea de „RAA” — reglaj sau control automat al amplificării. În cele ce urmează se vor prezenta aplicații mai puțin cunoscute, realizate cu circuite integrate, în special în domeniul frecvențelor joase (audio), din care se pot aminti: circuite pentru reglajul de la distanță a volumului unei audiiții muzicale; circuite amplificatoare compresoare și expandoare de dinamică; circuite de tip „RAA” în domeniul frecvențelor joase etc.

Principial, modificarea amplificării se poate realiza acționând asupra parametrilor unuia sau a mai multora din elementele componente ale circuitului amplificator. Aplicațiile prezentate în continuare sunt grupate după tipul elementelor asupra cărora acționează semnalul de comandă. În general acestea sunt elemente active de circuit: tranzistorul bipolar, la care se utilizează modificarea pantei, g_m , prin modificarea curentului de colector, I_c ; tranzistorul cu efect de cimp, funcționând în regiunea inițială a caracteristicilor de ieșire, la care rezistența drenă-sursă, r_{ds} , se modifică liniar cu tensiunea grilă-sursă, u_{gs} ; diode semiconductoare la care rezistența dinamică, r_s , se modifică în funcție de curentul continuu prin diodă, I_D .

2.2.1. AMPLIFICATOR CU CIŞTIG VARIABIL CU CIRCUIT INTEGRAT βA726

Circuitul integrat βA726 [5] conține două tranzistoare monolitice de tip *npn*, total independente, o oglindă simplă de curent neconectată cu cele două tranzistoare și un circuit termostat ce permite menținerea temperaturii cipului la o valoare constantă în raport cu variațiile în anumite limite ale temperaturii mediului ambiant. Circuitul este livrat într-o capsulă de plastic cu 14 terminale.

În fig. 2.4 se prezintă modul de conectare la cele 14 terminale a elementelor componente.

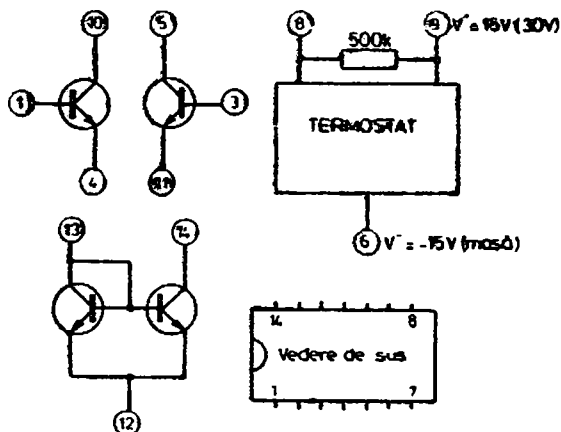


Fig. 2.4. Conexiunile la capsulă ale circuitului integrat βA726.

În fig. 2.5 se prezintă o primă schemă concretă de amplificator cu amplificarea comandată de o tensiune continuă. Sunt prezentate toate datele necesare realizării practice a circuitului.

Principiul de funcționare este simplu. Amplificarea de tensiune, A_v , este dată de relația

$$A_v = g_m \cdot R_C, \quad (2.13)$$

unde

$$R_C = \frac{R_{C1} \cdot R_1}{R_{C1} + R_1}. \quad (2.14)$$

Panta g_m a tranzistorului depinde de curentul de colector, I_{C1} , prin relația

$$g_m = 40 \cdot I_{C1} \text{ [mA/V]}, \quad (2.15)$$

valabilă la temperatură obișnuită (25°C).

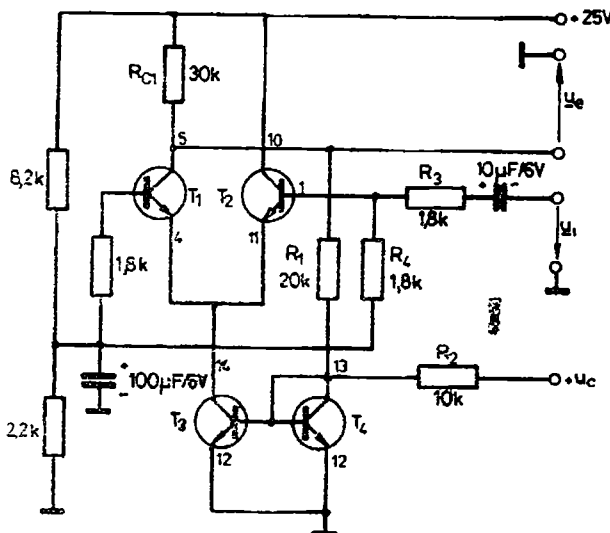


Fig. 2.5. Amplificator cu cîstig variabil prin tensiune continuă.

Din (2.13) și (2.14) se obține

$$A_u = 40 \cdot R'_c \cdot I_{C1} \quad (2.16)$$

unde curentul se exprimă în [mA] și rezistența în [$k\Omega$].

Tranzistoarele din circuitul βA726 permit modificarea curentului de colector între limitele extreme de $10 \mu A$ și $5 mA$, deci, se poate realiza o variație a amplificării de aproximativ 500 de ori.

La realizarea practică trebuie respectată, cu strictețe, relația

$$R_1 = 2R_2, \quad (2.17)$$

în scopul menținerii căt mai constante a potențialului colectorului tranzistorului T_1 , la variația comandată a curentului de colector.

Schela propusă permite reglajul amplificării în raport de $1 : 100$ pentru o variație a tensiunii de comandă între $0,6 V$ și $20 V$. Semnalul maxim admis la intrare, în condițiile unui factor de distorsiuni al semnalului de ieșire redus (sub 1%), este de $20 mV$, virf la virf. Frecvența maximă a semnalului de intrare este de aproximativ $50 kHz$, iar cea minimă de $100 Hz$. Frecvența minimă poate fi micșorată sau mărită, crescând sau micșorând valoarea capacității C_1 . Se poate folosi o relație aproximativă de dimensiune pentru C_1 ,

$$C_1 = \frac{1}{2\pi(R_3 + R_4)f_s} \quad (2.18)$$

unde f_s este frecvența minimă impusă.

Folosind relațiile deduse anterior se poate projecța un circuit cu alți parametri față de cei realizați, cu valorile concrete date în fig. 2.5.

Pentru I_C se scrie relația simplă

$$I_C = \frac{U_C - 0,6}{2R_2} \quad (2.19)$$

Dezavantajul circuitului propus este acela că tensiunea maximă admisă la intrare poate fi doar de cîteva zeci de mV. Mărind raportul între R_3 și R_4 se poate mări nivelul tensiunii admise la intrare, dar se înrăutățește raportul semnal/zgomot al circuitului amplificator.

O soluție practică, ce înlătûră acest dezavantaj, este prezentată în fig. 2.6.

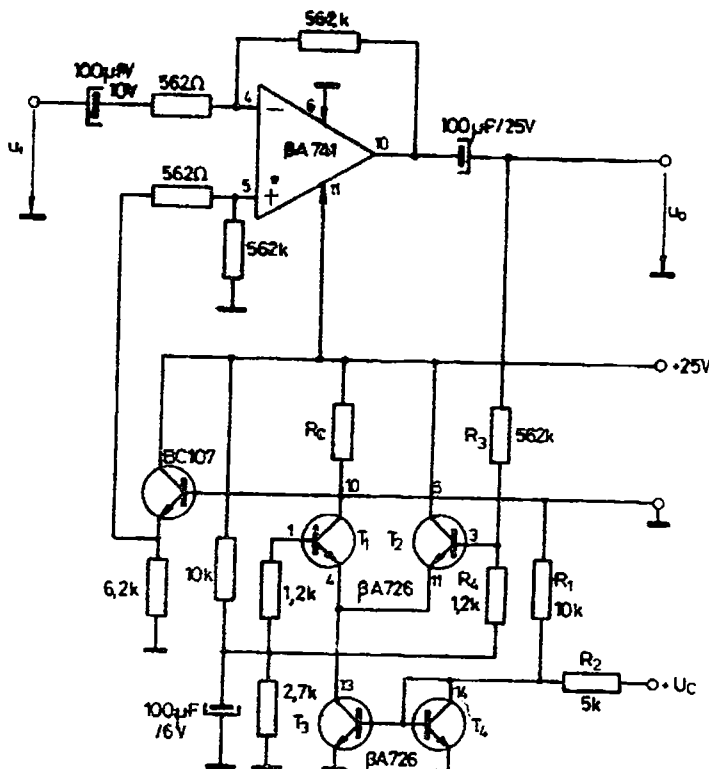


Fig. 2.6. Amplificator cu ciștag variabil cu nivel al tensiunii de intrare mărit.

Funcționarea poate fi înțeleasă urmărind schema bloc a circuitului amplificator din fig. 2.7.

Se observă că amplificatorul simplu, prezentat anterior, este introdus în bucla de reacție negativă a unui amplificator cu amplificare constantă

A. Astfel, se divizează semnalul de ieșire, nu cel de intrare ca la circuitul anterior.

Se poate deduce ușor amplificarea de tensiune

$$A_u = \frac{u_o}{u_i} = - \frac{A}{1 + K \frac{AR_2}{R_1 + R_2}} \quad (2.20)$$

unde K este o notație pentru amplificarea ce se calculează cu relația (2.16).

Dacă se adoptă

$$A = \frac{R_1 + R_2}{R_2} \quad (2.21)$$

se obține

$$A_u = - \frac{A}{1 + K}. \quad (2.22)$$

Amplificatorul operațional utilizat este de tipul $\beta A741$, alimentat de o singură sursă de tensiune. Conexiunile se referă la capsula T0 116.

Cu valorile indicate se poate obține o plajă de reglaj a amplificării de aproximativ 130, la o variație a tensiunii de comandă de 20 V.

Folosind relațiile (2.19), (2.20), (2.21), (2.22) se poate proiecta un circuit amplificator cu alți parametri.

Circuitele simple propuse pot fi utilizate, de exemplu, în sisteme de comandă la distanță a volumului unei auditii sonore, îndeplinind rolul de preamplificator în amplificatoare pentru traductoare optice (pe post de receptor pentru telecomandă în infraroșu).

Circuitele din fig. 2.6 și 2.7, completate cu un circuit redresor și un circuit de comparație integrator (așa cum se va putea vedea în exemplele următoare), pot deveni circuite de reglaj automat al amplificării.

2.2.2. AMPLIFICATOARE CU CIȘTIG VARIABIL FOLOSIND TRANZISTOARE CU EFECT DE CIIMP ȘI AMPLIFICATOARE OPERAȚIONALE

Tranzistorul cu efect de ciimp, TEC, atât de tip grilă jonctiune, cât și tipul grilă izolată prezintă, la valori mici ale tensiunii drenă-sursă, U_{DS} , o dependență liniară între curentul de drenă, I_D , și tensiunea U_{GS} . Deci, la valori mici ale tensiunii U_{GS} , TEC se comportă ca o rezistență a cărei valoare poate fi controlată prin tensiunea grilă-sursă U_{GS} [74]. În fig. 2.8 este prezentată o familie de astfel de caracteristici. Conductanța drenă-sursă, g_{ds} , se poate calcula cu relația

$$g_{ds} = g_0 \left(1 - \frac{U_{GS}}{U_P} \right). \quad (2.23)$$

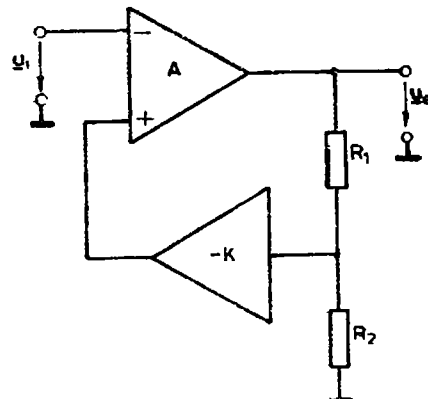


Fig. 2.7. Schema bloc a amplificatorului din fig. 2.6.

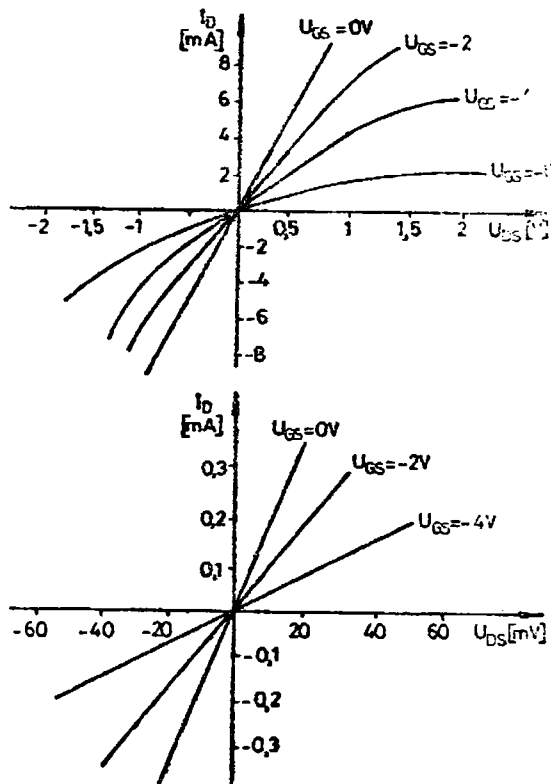


Fig. 2.6. Caracteristicile tranzistorului TECJ în regimul triodă.

unde

$$g_{ds} = \left(\frac{2I_{DSS}}{U_T} \right). \quad (2)$$

Valorile uzuale sunt

$$(r_{ds})_{min} = \frac{k}{(g_{ds})_{max}} = 20 \Omega \div 1000 \Omega,$$

$$(r_{ds})_{max} = \frac{k}{(g_{ds})_{min}} = 0,1 M\Omega \div 10 M\Omega.$$

Pe baza dependenței $g_{ds} = f(U_{ds})$ se pot realiza circuite amplificatoare cu eșting variabil, implementând divizare simplă, cu factor de divizare comandat sau divizoare comandate în bucla de reacție a unor amplificatoare operaționale. Se vor analiza ambele situații.

Pentru a putea extinde plaja tensiunii U_{ds} la care TEC-ul se comportă ca o rezistență liniară, se poate utiliza o soluție simplă, prezentată în fig. 2.9. Se observă aplicarea unui semnal de reacție, suprapus tensiunii de comandă, egal cu jumătate din tensiunea de drenă.

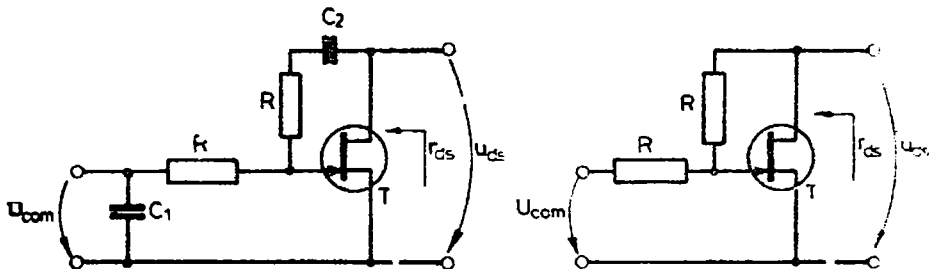


Fig. 2.9. Extinderea plajei de tensiune U_{ds} pentru comportare liniară a TECJ

Rezistența R se alege mare, pentru a nu șunta rezistența r_{ds} . Elecția conexiunii se poate observa din fig. 2.10, unde se prezintă caracteristicile experimentale pentru un tranzistor TEC de tip KP303E. Rezistența r_{ds} , pentru circuitul prezentat, se poate calcula cu relația

$$r_{ds} = \frac{r_0}{1 - \frac{I_{ds}}{2L_P}}, \quad (2.25)$$

unde

$$r_0 = \frac{1}{g_a}$$

Tensiunile U_{ds} limită, între care este valabilă relația (2.25), se determină cu

$$U_{ds} = \pm (U_{GS} - 2L_P). \quad (2.26)$$

Pentru tensiuni U_{ds} în afara limitelor, caracteristica nu mai este liniară

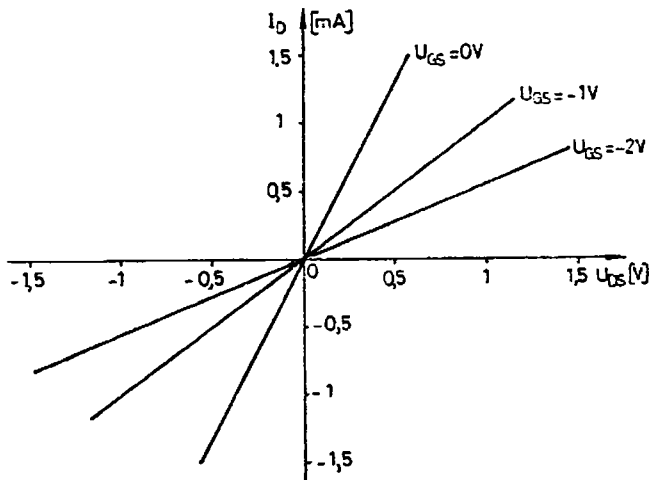


Fig. 2.10. Caracteristicile liniarizate ale unui TECJ.

Atenuatoare cu factor de atenuare controlat prin tensiune folosind TEC

În fig. 2.11 se prezintă cel mai utilizat tip de attenuator controlat prin tensiune.

Atenuarea γ se calculează cu relația

$$\gamma = \frac{r_{ds}}{R+r_{ds}} \quad (2.27)$$

Limitele gamei de atenuare depind de tipul tranzistorului folosit, ca și de atenuarea reziduală admisibilă, γ_r , atunci cind r_{ds} ia valoarea maximă r_{dsM} .

Rezistența R se poate dimensiona cu relația

$$R = r_{dsM} \left(\frac{1}{\gamma_r} - 1 \right). \quad (2.28)$$

Atenuarea limită inferioară, γ_m , se obține pentru valoarea minimă a rezistenței drenă sursă, r_{dsmin}

$$\gamma_m = \frac{r_{dsmin}}{R+r_{dsmin}}. \quad (2.29)$$

Pentru ca attenuatorul să nu introducă distorsiuni importante, datorită neliniarității TEC-ului, nivelul semnalului de ieșire trebuie limitat la cel mult cîteva zeci de milivolti.

Extinderea gamei de tensiuni de ieșire se poate realiza cu circuitul din fig. 2.12, ca o aplicație la cele arătate mai sus privind liniarizarea caracteristicilor unui TEC [74]. Față de montajul simplu de attenuator, distorsiunile se reduc de la 10% la 0,1–0,3% la aceeași amplitudine a semnalului de ieșire.

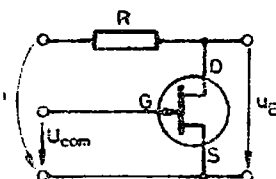


Fig. 2.11. Atenuator controlat prin tensiune cu TECJ.

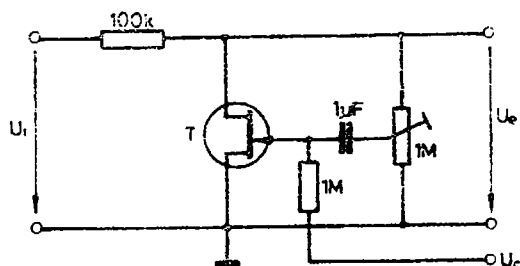


Fig. 2.12. Circuit pentru extinderea gamei de tensiune.

În fig. 2.13, a, b, c se prezintă cîteva variante simple de realizare a cîstigului variabil, în amplificatoare care folosesc circuite cu TEC.

O schemă completă de amplificator [75] cu controlul automat al amplificării, folosind divizor cu TEC, este prezentată în fig. 2.14.

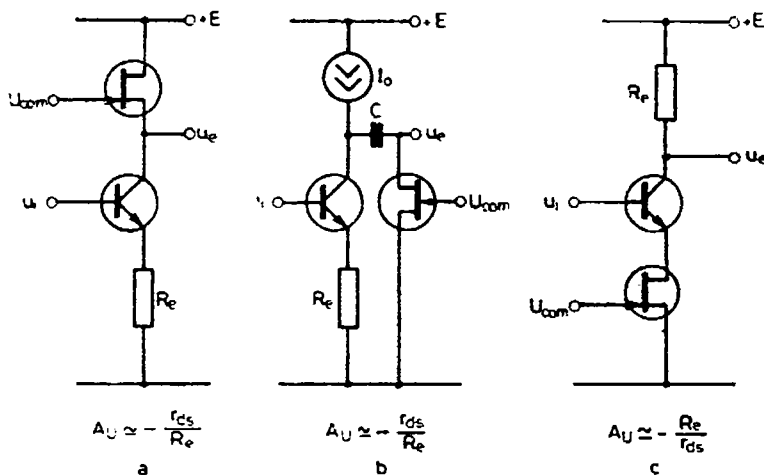


Fig. 2.13. Circuite amplificatoare simple cu ciștig variabil prin tensiune continuă, folosind TEC.

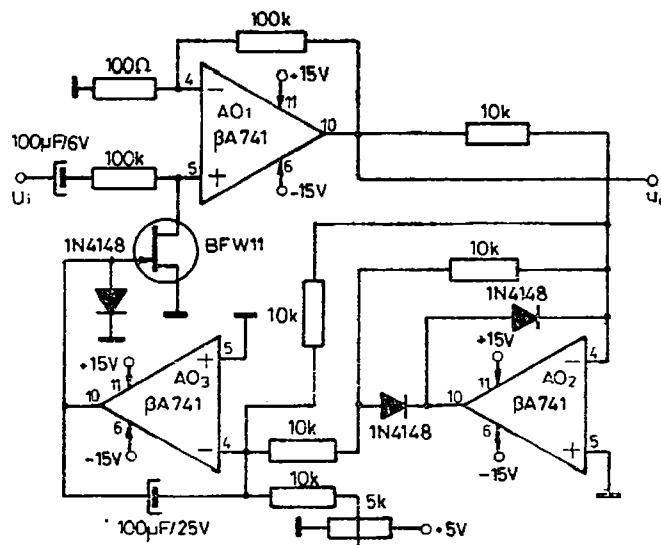


Fig. 2.14. Amplificator cu ciștig controlat automat folosind divizor cu TEC.

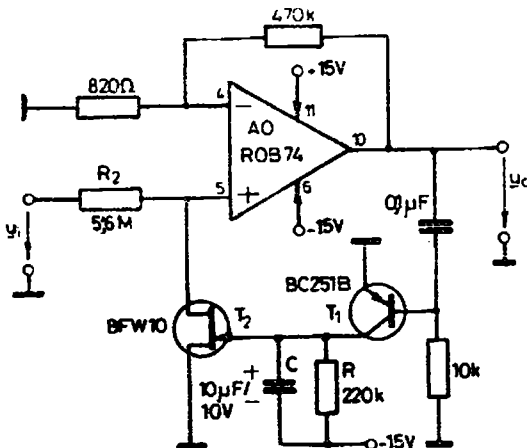


Fig. 2.15. Amplificator cu cișug controlat automat cu o gamă dinamică de 80 dB

Circuitul asigură o gamă de reglaj a amplificării de 1 1 000. Amplificatorul operațional AO_1 este în montaj neinversor, cu un ciștig fix de 1 000. Amplificatoarele AO_2 și AO_3 asigură comanda automată a ciștișului prin tensiunea aplicată grilei tranzistorului TEC-J de tip BFW10. AO_2 este montat într-o configurație de redresor de precizie, iar AO_3 — de comparator-integrator. Amplitudinea semnalului de ieșire poate fi reglată, între 0 și 5 V, prin modificarea cu P_1 a tensiunii de referință furnizată comparatorului cu AO_3 .

Gama tensiunii de intrare este de 1 1 000; amplitudinea minimă depinde de nivelul de ieșire, ca și de raportul semnal/zgomot admis.

Frecvența maximă a semnalului amplificat depinde de tipul amplificatoarelor operaționale folosite. Pentru tipul $\beta A741$ este de aproximativ 1 kHz.

Un circuit mai simplu [75], funcționând după același principiu cu cel anterior, se poate urmări în fig. 2.15.

Circuitul asigură o gamă de reglaj dinamic de aproximativ 80 dB. Semnalul minim la intrare, pentru care la ieșire se asigură un nivel constant, este 2 mV (vîrf la vîrf). Tensiunea de ieșire are o amplitudine de aproximativ 1,1 V (vîrf la vîrf).

Funcționarea este simplă. Divizorul comandat este format din R_2 și T_2 (un TEC-J de tip BFW10), iar închiderea buclei de reglaj, adică obținerea tensiunii de comandă grilă-sursă pentru T_2 , este realizată de circuitul redresor-amplificator implementat cu tranzistorul T_1 .

Referința, față de care se stabilește nivelul semnalului la ieșire, este tensiunea de deschidere a joncțiunii bază emitor a tranzistorului T_1 (aproximativ 0,55 V). Creșterea peste această valoare a tensiunii de ieșire este stopată de activarea buclei de reglaj crește curentul de colector I_C , scade tensiunea grilă sursă a tranzistorului T_2 (în valoare absolută). Deci, scade rezistența drenă-sursă, efectul rezultant fiind creșterea factorului de divizare al tensiunii de intrare. Va exista o variație a tensiunii

de ieșire (sistemul de reglaj este de tip proporțional), cu atât mai mică ca și amplificarea în curent a tranzistorului T_1 este mai mare și tensiunea de virf U_r pentru T_2 este mai mică (în modul). La realizarea practică a circuitului se recomandă selectarea celor două tranzistoare după criteriul arătat anterior.

Constanta de timp RC trebuie să fie mult mai mare decit cea mai mare perioadă a semnalului de amplificat. O relație aproximativă, între cele două mărimi, este

$$RC \approx 10 T_{\text{max}}. \quad (2.30)$$

Deci, frecvența minimă f_{min} a semnalului amplificat este

$$f_{\text{min}} = \frac{10}{2\pi RC}. \quad (2.31)$$

cu valorile indicate rezultă $f_{\text{min}} = 60$ Hz. Constanta de timp RC determină timpul de răspuns t_r al amplificatorului la variații de semnal rapida la intrare. Se poate calcula aproximativ cu relația

$$t_r = 2,2 RC. \quad (2.32)$$

Amplificatorul operational AO este de tip ROB74, operational cu tranzistoare TEC-J la intrare. Utilizarea sa este necesitată de valoarea mare a rezistenței R_2 , din divizorul comandat, impusă de gama largă de reglaj a amplificării.

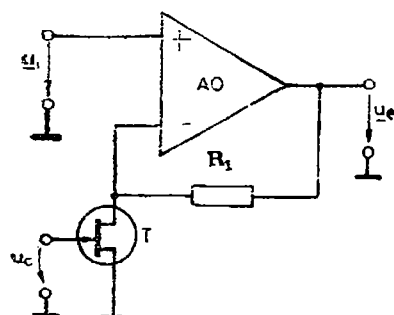
Amplificatoare cu ciștiș variabil folosind tranzistorul TEC-J în buclă de reacție a unui amplificator operational [76]

Un control liniar al ciștișului, în raport aproximativ de 1 : 1 000, poate fi obținut cu un tranzistor TEC-J conectat în circuitul de reacție negativă al unui amplificator operational neinvensor. Este, de fapt, un divizor comandat implementat ca circuit de reacție negativă. Configurația circuitului este foarte simplă și poate fi urmărită în fig. 2.16.

Amplificarea de tensiune se poate calcula cu relația

$$A_v = 1 + \frac{R_1}{r_{ce}}, \quad (2.33)$$

Fig. 2.16. Amplificator cu ciștiș controlat prin modificarea reacției negative la un AO.



unde rezistența drenă-sursă r_{ds} este

$$r_{ds} = \frac{U_P}{U_P - U_{GS}} r_0 \quad (2.34)$$

și rezistența drenă-sursă minimă r_0 este

$$r_0 = r_{ds} \mid \text{pt. } U_{GS} = 0. \quad (2.35)$$

Notind cu U_c tensiunea de comandă

$$U_c = U_r - U_{GS}. \quad (2.36)$$

se obține

$$A_u = 1 + \frac{R_1}{r_0} \frac{U_c}{U_r}. \quad (2.37)$$

Relația (2.37) arată o dependență liniară a cîștigului de tensiunea de comandă.

Dacă $U_c = 0$, adică $U_{GS} = U_P$, cîștigul devine unitar. În extrema cealaltă, $U_c = U_r$ sau $U_{GS} = 0$, cîștigul este maxim și se poate calcula cu relația

$$A_{u\max} = 1 + \frac{R_1}{r_0}. \quad (2.38)$$

Cind se dorește obținerea unui cîștig minim mai mare decât unitatea, circuitul din fig. 2.16 se modifică ca în fig. 2.17.

Pentru amplificarea de tensiune se poate stabili relația

$$A_u = 1 + \frac{R_1}{R_2} + \frac{R_1 U_c}{r_0 U_r}. \quad (2.39)$$

Amplificarea minimă este

$$A_{u\min} = 1 + \frac{R_1}{R_2}. \quad (2.40)$$

Nivelul maxim al semnalului de intrare, pentru distorsiuni acceptabile, este limitat la cîteva zeci de milivolti. Banda de frecvență a amplifi-

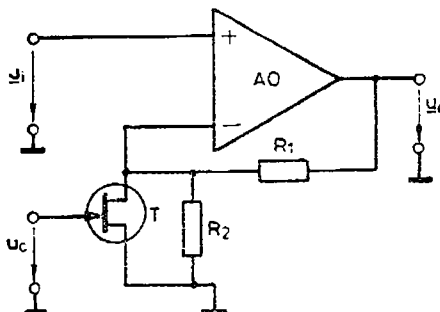


Fig. 2.17. Amplificator cu cîștig controlat prin reacție negativă și având amplificarea minimă supraunitară.

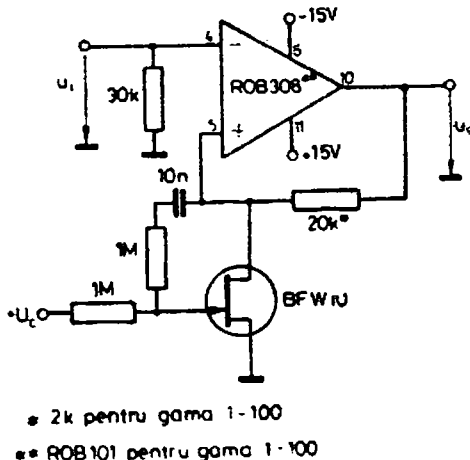


Fig. 2.18. Amplificator cu ciștig variabil prin tensiune continuă cu AO ROB308.

catorului este dependentă de ciștigul maxim dorit și de banda corespunzătoare amplificării unitare a amplificatorului operațional folosit.

Reducerea distorsiunilor și mărirea nivelului semnalului de intrare se pot realiza folosind procedeul de liniarizare a caracteristicilor TEC-ului descris în subparagraful anterior. Tot în același context, se recomandă utilizarea unor TEC-J-uri cu tensiune de prag mare.

Pentru domeniul de frecvență audio (aproximativ pînă la 20 kHz) se recomandă, în ordinea preferinței, următoarele tipuri de amplificatoare operaționale ROB308, ROB101, ROB709, βM324.

În fig. 2.18 este prezentat un exemplu practic de circuit amplificator cu ciștig reglabil. Se observă introducerea grupului $C-R$ pentru liniarizarea caracteristicilor TEC-J-ului, de tip KP303E sau BFW10.

Cu amplificatorul operațional ROB308 se obțin următoarele performanțe : plaja de reglaj a ciștigului 1 : 1 000, tensiunea maximă la ieșire 8,5 V virf la virf pentru o bandă de frecvență de 20 kHz.

Folosind un amplificator operațional de tip ROB101 sau 1/4 din βM324, rezultatele obținute sunt mai slabe : domeniul de reglaj al ciștigului de numai de 1 : 100 pentru o bandă de frecvență de 10 kHz și semnalul maxim la ieșire în jur de 4 V (virf la virf).

Aplicațiile circuitului prezentat sunt numeroase ; cele mai importante sunt : oscilatoare armonice cu punte Wien ; comanda de la distanță a nivelului unei audii muzicale, circuite expandoare și compresoare de nivel. În situația în care se dispune de o pereche de tranzistoare TEC-J, se pot realiza două circuite identice, deci, posibilitatea de utilizare și în sistemele stereo.

Ca exemplificare, în fig. 2.19 se prezintă schema bloc a unui circuit expandor compresor de nivel, iar în fig. 2.20 schema practică a unui circuit expandor în domeniul audio.

Funcționarea circuitului expandor este simplă ; circuitul amplificator cu ciștig reglabil, conținînd amplificatorul operațional AO₁(1/4 din βM324)

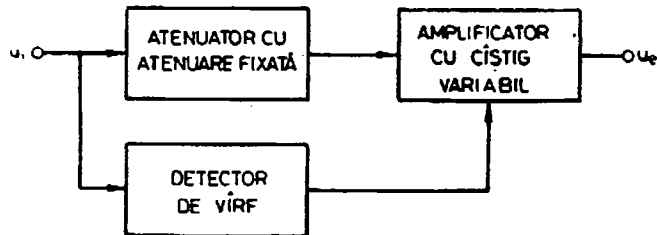


Fig. 2.19. Schema bloc a unui circuit expandor/compresor de dinamică

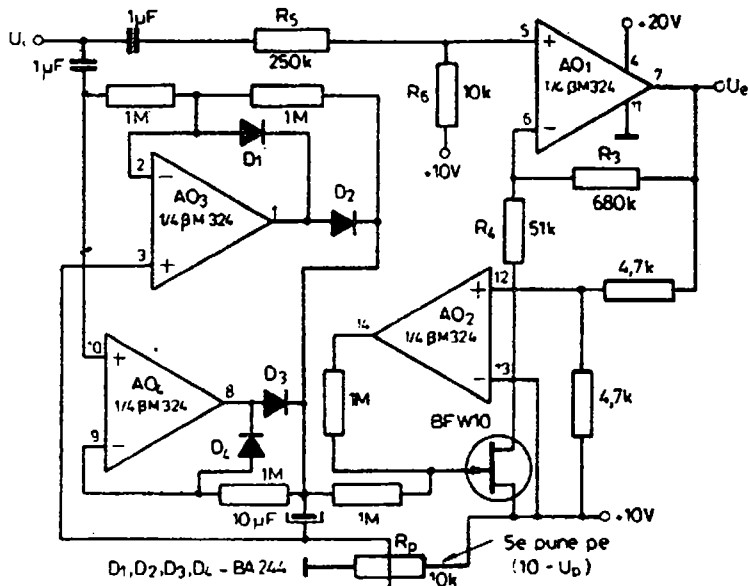


Fig. 2.20. Circuit expandor de dinamică cu AO.

și tranzistorul TEC-J BFW10, este de tipul descris anterior. Deosebirea apare la circuitul de liniarizare a caracteristicii tranzistorului TEC-J ; aici, utilizându-se amplificatorul operațional AO_2 , se introduce un TEC-J în buclă de reacție negativă. Detectorul de vîrf este de tip bialternanță și este realizat cu amplificatoarele operaționale AO_3 , AO_4 ($1/2 \beta M324$).

Rezistențele R_3 și R_4 determină o variație logaritmică (necesară unui expandor audio) a amplificării în raport cu tensiunea de comandă dată de redresor, proporțională cu semnalul de intrare ; caracteristica obținută este prezentată în fig. 2.21.

Divizorul fix, conținând rezistențele R_5 și R_6 , are rolul de a fixa ciștigul la aproximativ 0 dB pentru un semnal de intrare aflat la mijlocul domeniului de variație.

Distorsiunile semnalului sunt mici (sub 0,2 %) ; banda de frecvență, cu amplificatorul operațional indicat, este de aproximativ 20 kHz.

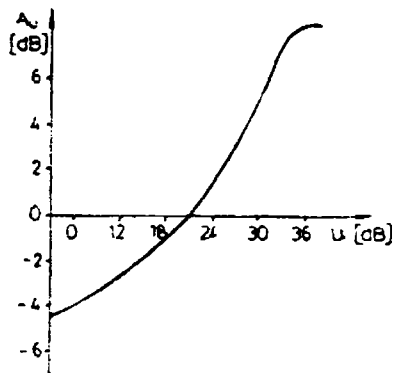


Fig. 2.21. Caracteristica intrare-iesire a circuitului din fig. 2.20.

La realizarea practică a circuitului se vor respecta valorile componentelor indicate pe figură, singurul reglaj fiind efectuat cu semireglabilul R pentru tensiunea inițială de comandă a tranzistorului TEC-J. Reglajul este necesar, deoarece tensiunea de prag pentru TEC-J diferă de la un tranzistor la altul.

Un circuit compresor se poate realiza după aceeași schemă cu unui circuit expandor, singura deosebire apărând la modul de prepolarizare a TEC-J-ului. Comanda inițială trebuie să corespundă stării de rezistență drenă-sursă minimă (amplificării maxime pentru semnale mici la intrare). Folosind tranzistoare TEC-J duble se pot realiza (prin dublarea circuitelor) sisteme expandoare și compresoare pentru semnale stereo.

2.2.3. AMPLIFICATOARE CU CIȘTIG REGLABIL CU DIODE SEMICONDUCTOARE

Folosind caracteristica tensiune-curent a diodei semiconductoare se poate realiza, simplu, divizoare comandate. Pentru un curent direct prin diodă, I_D , mult mai mare decât curentul invers, rezistența dinamică a diodei este

$$r_d = \frac{V_T}{I_D}. \quad (2.41)$$

Aproximarea este bine verificată pentru diodele cu siliciu la care curentul invers este de ordinul nanoamperilor.

În fig. 2.22 se prezintă schema unui divizor comandat cu diodă. Raportul de divizare, γ , definit ca

$$\gamma = \frac{U_o}{U_i} \quad (2.42)$$

este

$$\gamma = \frac{r_d}{R + r_d}. \quad (2.43)$$

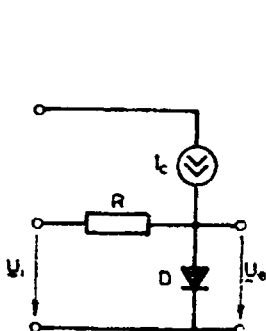


Fig. 2.22. Atenuator, controlat prin curent, cu diodă semiconductoare.

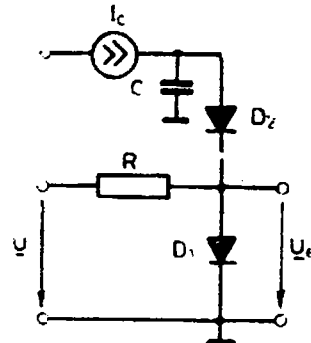


Fig. 2.23. Extinderea domeniului de tensiuni de ieșire pentru comportarea liniară a divizorului din fig. 2.22.

Modificind curentul I_c al generatorului de curent constant, se modifică r_d , deci, atenuarea introdusă. Practic se poate realiza o variație maximă a raportului de divizare de aproximativ 1 : 500.

Pentru obținerea unor distorsiuni mici ale semnalului de ieșire este necesar ca amplitudinea maximă a componentei alternative a curentului prin diodă să fie mult mai mică decât componenta continuă a curentului de comandă.

Circuitul din fig. 2.23 elimină parțial acest dezavantaj prin funcționarea în contratimp a două diode de același tip, simultan comandate. Capacitatea C pune la masă, în regim alternativ, anodul diodei D_2 , măsură necesară funcționării simetrice a celor două diode.

Pentru rapoarte de divizare mai mari se pot lega în cascadă mai multe divizoare. Pentru obținerea maximului gamei de variație a atenuării este indicată conectarea între divizoare a unor amplificatoare separatoare. În fig. 2.24 este prezentată o schemă concretă folosind două divizoare.

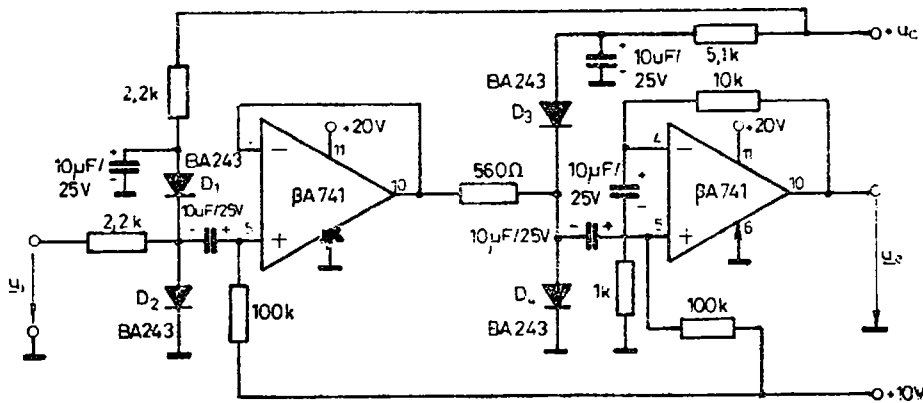


Fig. 2.24. Amplificator cu cîstig comandat prin tensiune continuă folosind divizoare cu diode.

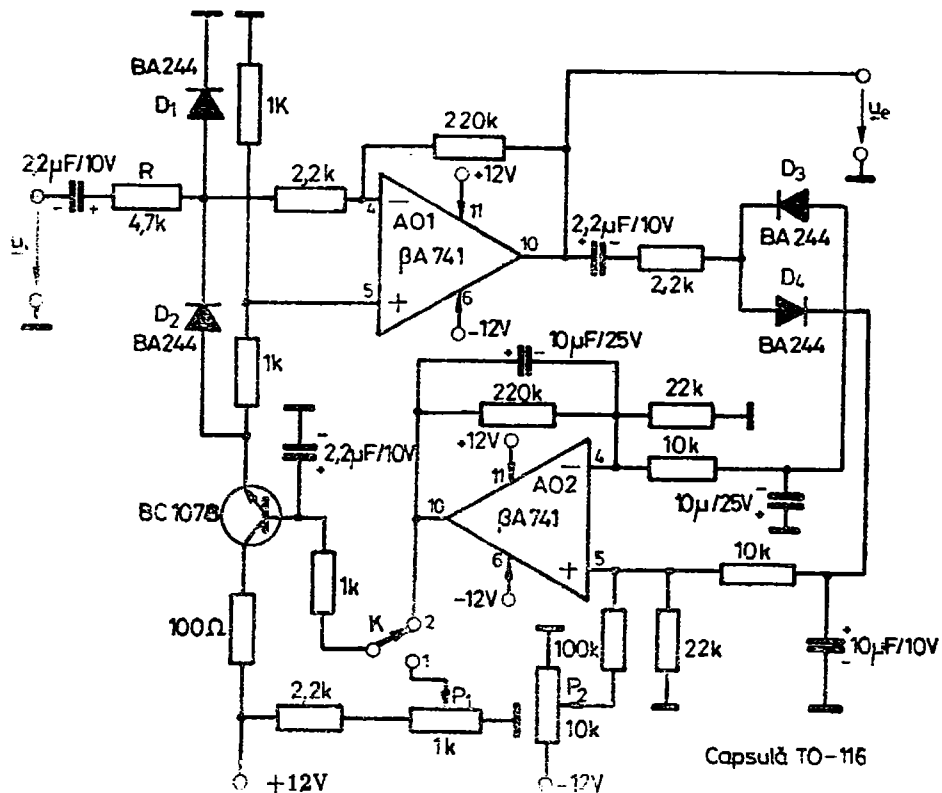


Fig. 2.25. Amplificator cu reglaj automat al amplificării și nivel prestabilit al tensiunii de ieșire.

Gama de variație a ciștigului este de aproximativ 1 : 5 000 pentru o bandă de frecvență de 100 kHz. Tensiunea de comandă, U_c , trebuie modificată între 0,5 V și 6 V.

Un circuit complet [75], cu reglajul automat al amplificării și nivel prestabilit al tensiunii de ieșire este prezentat în fig. 2.25.

Divizorul comandat este realizat cu diodele D_1 , D_2 și rezistența R . Amplificatorul operațional AO_1 , în montaj diferențial, realizează un ciștig de aproximativ 100. Diodele D_3 și D_4 împreună cu amplificatorul operațional AO_2 realizează funcția de redresor de precizie și regulator proporțional, al cărui semnal de ieșire reprezintă tensiunea de comandă pentru divizorul de la intrare. Amplitudinea semnalului de ieșire poate fi modificată, în anumite limite, cu ajutorul potențiometrului P . Există și posibilitatea unui reglaj manual al amplificării, cu intrerupătorul K în pozi-

1, prin potențiometrul P_1 .

În fig. 2.26 este prezentată o altă modalitate de utilizare a divizorului cu diode, și anume în bucla de reacție negativă a unui amplificator ope-

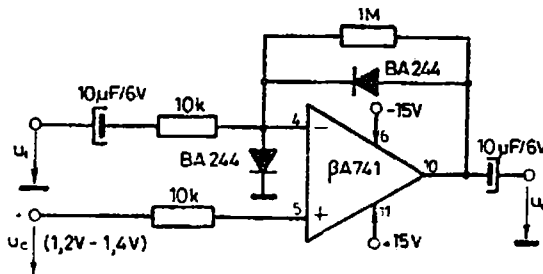


Fig. 2.26. Amplificator reglabil cu gamă dinamică de 80 dB.

rațional. Avantajul principal, față de divizorul simplu, este extinderea gamei de reglaj.

Cu toată simplitatea, circuitul prezintă performanțe foarte bune folosind diode de tip BA244 și un amplificator operațional ROB208 se poate obține o gamă de reglaj a amplificării de 80 dB (1—10 000) și o bandă frecvență de aproximativ 1 kHz, circuitul fiind utilizat ca amplificator pentru un traductor optic.

2.3. REDRESOR DE PRECIZIE BIALTERNANȚĂ

Redresorul de precizie constituie unul dintre circuitele cu o largă aplicabilitate în domeniul măsurării mărășimilor alternative sinusoidale, ca urmare a performanțelor remarcabile pe care le prezintă: o precizie ridicată (erori mai mici de 0,1%), precum și posibilitatea utilizării într-un domeniu larg de frecvențe (de la zero până la sute de kHz). Urmat de un filtru trece-jos, circuitul devine un convertor curent alternativ (c.a.) — curent continuu (c.c.) de precizie.

Schela uzuală a unui redresor de precizie bialternanță este prezentată în fig. 2.27. Amplificatorul operațional A_1 , împreună cu diodele D_1 , D_2 și rezistențele R_1 , R_2 alcătuiesc un circuit limitator de precizie [4]. Cele două diode se vor găsi una în stare de conducție și cealaltă în stare blocată, după cum $u_i < 0$ (cind conduce D_1), respectiv $u_i > 0$ (cind conduce D_2). Considerind amplificatorul operațional A_1 ideal (adică având ciștigul în tensiune de valoare infinită și curenții, respectiv tensiunea de decalaj de intrare, nuli) și neglijînd curenții reziduali ai diodelor D_1 , D_2 , comportarea limitatorului de precizie este descrisă de relațiile [4] (fig. 2.27)

$$\begin{cases} u_{e1} = -\frac{R_2}{R_1} u_i & \text{pentru } u_i > 0, \\ u_{e1} \geq 0 & \text{pentru } u_i < 0. \end{cases} \quad (2.44)$$

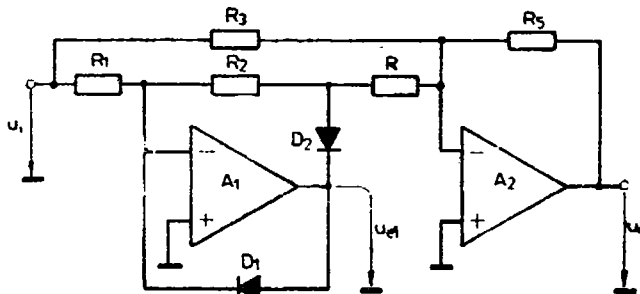


Fig. 2.27. Schema de principiu a unui redresor de precizie bialternanță.

Se constată ușor, pe baza expresiilor de mai sus, că pentru un semnal de intrare sinusoidal tensiunea u_i va reproduce numai alternanțele pozitive (la fază inversată și amplificate cu raportul R_2/R_1), iar în rest va fi nulă. Observația justifică funcționarea circuitului analizat drept limitator de precizie.

Pentru realizarea funcției de redresare dublă-alternanță, tensiunea obținută la ieșirea limitatorului de precizie se însumează cu semnalul de intrare. În acest scop este utilizat un amplificator-sumator realizat cu amplificatorul operațional A_2 (fig. 2.27). Pe baza relațiilor cunoscute vînd în vedere notațiile din figură se poate scrie [7]

$$u_r = -\frac{R_2}{R_1} u_{r1} + \frac{R_3}{R_4} u_i. \quad (2.45)$$

respectiv, utilizând relația (2.44), rezultă apoi

$$u_r = \begin{cases} \frac{R_2 R_3}{R_1 R_4} - \frac{R_3}{R_4} u_i & \text{pentru } u_i > 0, \\ \frac{R_3}{R_4} u_i & \text{pentru } u_i < 0. \end{cases} \quad (2.46)$$

Presupunind satisfăcută condiția

$$\frac{R_2 R_3}{R_1 R_4} = 2 \frac{R_3}{R_4}, \quad (2.47)$$

expresia (2.46) devine

$$u_r = \begin{cases} \frac{R_3}{R_4} u_i & \text{pentru } u_i > 0, \\ -\frac{R_3}{R_4} u_i & \text{pentru } u_i < 0. \end{cases} \quad (2.48)$$

Relațiile de mai sus reflectă în mod evident funcționarea circuitului din fig. 2.27 drept redresor de precizie bialternanță, cele două semiperioade ale semnalului de intrare fiind redate la ieșire cu aceeași polaritate și la fel amplificate (de R_5/R_3 ori).

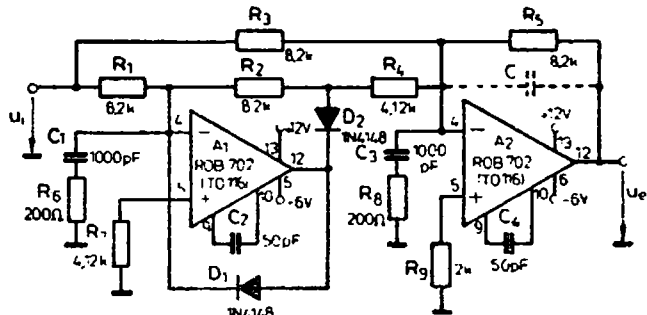


Fig. 2.28. Redresor de precizie bialternanță cu amplificatorul ROB702.

Pentru proiectare se stabilește inițial valoarea raportului R_5/R_3 , în funcție de amplificarea pe care trebuie să o realizeze circuitul (rel. 2.48) [7]. Din (2.47) rezultă apoi produsul $(R_2/R_1)(R_5/R_3)$, pe baza căruia se alegă raportul R_2/R_1 , respectiv R_5/R_4 . Se trece, în fine, la calculul efectiv al rezistențelor R_1, R_2, \dots, R_5 , urmărindu-se ca valorile calculate să fie de ordinul cîtorva $k\Omega$. Condiția se impune pentru ca să rezulte curenți prin circuit de valori mult mai mari decît curenții de intrare ai amplificatoarelor operaționale, respectiv curenții reziduali ai diodelor (neglijăți în relațiile stabilite). În cazul particular al unui circuit care realizează numai redresarea bialternanță, fără amplificarea semnalului de intrare, raportul $R_5/R_3=1$, iar din (2.47) rezultă $(R_2/R_1)(R_5/R_4)=2$. În acord cu valorile acestor rapoarte se alege în mod ușual $R_3=R_3=R_2=R_1=R$ și $R_4=R/2$ [4].

Schema completă a unui redresor de precizie bialternanță, cu amplificare unitară, este dată în fig. 2.28. Prin utilizarea amplificatoarelor operaționale de bandă largă ROB702 [32], compromisul precizie-bandă de trecere, ce caracterizează orice redresor de precizie, a fost transat în favoarea ultimului parametru. Erorile care apar se datorează, pe de o parte, curenților de intrare relativ mari, precum și valorii finite a amplificării în buclă deschisă a amplificatoarelor operaționale, iar pe de altă parte curenților reziduali ai diodelor D_1, D_2 . Cu creșterea frecvenței semnalului de intrare erorile se măresc, în special datorită creșterii curenților inversi prin diodele D_1, D_2 , ca urmare a prezenței capacităților parazite ale acestora. Precizia circuitului este determinată și de strictețea cu care sunt respectate rapoartele de rezistențe R_2/R_1 , R_5/R_3 și R_5/R_4 .

În cazul schemei din fig. 2.28, a cărei amplificare este unitară, tensiunea de decalaj la ieșire este neglijabilă. Datorită acestui fapt nu a fost prevăzut circuitul pentru anularea tensiunii de decalaj. Elementele R_6, C_1, C_2 și, respectiv, R_8, C_3, C_4 realizează corecția caracteristicii de frecvență a amplificatoarelor operaționale A_1, A_2 , asigurînd o bandă de trecere la semnal mic de cca 3,5 MHz.

Determinarea erorilor unui redresor de precizie bialternanță reprezintă, mai cu seamă la frecvențe ridicate (sute de kHz), o problemă extrem de dificilă. Datorită acestui fapt, pentru circuitul din fig. 2.28 a fost măsu-

rată caracteristica de amplitudine în c.c., rezultând erori de neliniaritate mai mici de 0,5 %, corespunzător variației tensiunii de intrare în intervalul ± 2 V. Aprecierea comportării circuitului cu frecvența s-a făcut pe baza dependenței erorii valorii medii a tensiunii de ieșire de frecvență semnalului sinusoidal aplicat la intrare. În acest scop, amplificatorul-sumator realizat cu amplificatorul operational A_2 a fost transformat într-un amplificator-sumator-integrator, prin conectarea în circuitul de reacție negativă a capacității C (fig. 2.28). Circuitul astfel rezultat reprezintă, de fapt, un convertor c.a.-c.c. de precizie. Pentru o tensiune sinusoidală de intrare cu amplitudinea de 2 V, eroarea relativă a valorii medii a tensiunii de ieșire a fost mai mică de 1 % în intervalul de frecvență 0—500 kHz.

Este de menționat că deși parametrii specificați mai sus nu caracterizează complet funcționarea redresorului de precizie bialternanță, cunoașterea valorii lor se dovedește suficientă în majoritatea aplicațiilor practice ale acestui tip de circuit.

2.4. AMPLIFICATOR DE AUDIOFRECVENȚĂ

În fig. 2.29 este prezentată o soluție interesantă de amplificator operational de putere a cărui funcționare se bazează pe valoarea mare a factorului de rejecție a tensiunii de alimentare (SVR) și pe configurația în clasă B a etajului de ieșire [4].

Datorită valorii mari a factorului SVR, curentii I_1 și I_2 , luați de amplificatorul integrat AI de la sursa $+E$ și, respectiv, de la sursa $-E$, reproduc cu fidelitate forma de variație în timp a semnalului amplificat și sunt defazați cu 180° . Deci, căderile de tensiune generate de acești curenti pe rezistențe pot comanda eficient și corect cele două tranzistoare complementare ale etajului în contratimp de ieșire. În acest mod, amplificatorul integrat, cu o sarcină optimă $R_1=47 \Omega$, este transformat în generator de curent și are rol de etaj pilot.

Etajul în contratimp în clasă B, realizat cu dubleți fără inversare de tip T_1-T_2 , T_3-T_4 , are rol numai de amplificator de curent. Prin circuitul de reacție negativă, ce include rezistențele R_3 , R_4 și condensatorul C_3 , cuprins între intrarea inversoare a A.I. și punctul comun al colectoarelor tranzistoarelor T_1 și T_3 (borna de ieșire), se realizează reunirea etajului pilot cu etajul final în contratimp într-un amplificator operational de putere.

Impedanța condensatorului C_3 în banda de frecvență audio (datorită valorii mici $C_3=6 \cdot 10^{-12} F$) are valoare foarte mare comparativ cu R_4 ; din această cauză rezistența totală de reacție este

$$R_r = R_3 + R_4. \quad (2.49)$$

și amplificarea de tensiune a amplificatorului operational de putere este

$$G_v = 20 \log \frac{R_3 + R_4}{R_1} = 20 \text{ dB}. \quad (2.50)$$

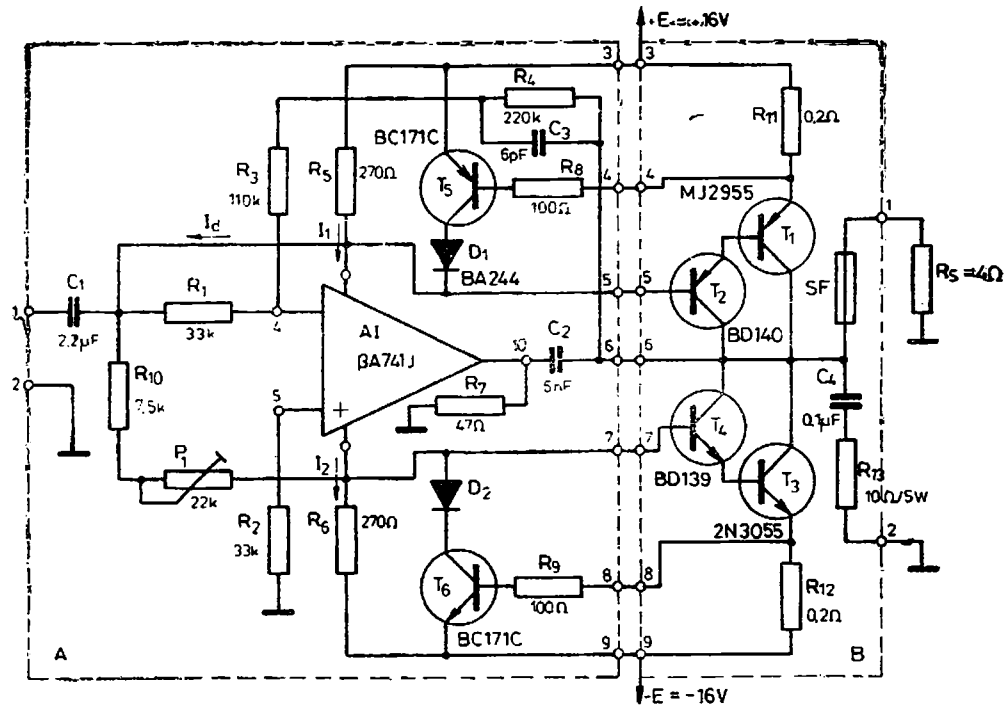


Fig. 2.29. Amplificator final de audiofrecvență cu performanțe ridicate.

Rezistența de reacție, $R_r = R_3 + R_4$, realizează în același timp o reacție negativă și în curent continuu, având ca efect menținerea tensiunii nule de ieșire în regim static, chiar dacă tensiunile de alimentare nu sunt strict simetrice.

Pentru asigurarea stabilității amplificatorului operațional de putere se introduce o compensare cu avans-întârziere de fază prin intermediu condensatoarelor $C = 6 \text{ pF}$ și $C_2 = 6 \text{ nF}$ [71]. Omiterea acestor condensatoare sau nerescoparea valorilor indicate duce la deformarea semnalului de ieșire.

Valorile rezistențelor R_5 și R_6 trebuie să fie astfel alese încât, în cazul cind AI necomandat consumă curentul maxim de alimentare, dubleții etajului final să fie blocați. Alegind $I_d = 2 \text{ mA}$ în regim staționar prin divisorul $R_5 - R_{10} - P_1 - R_6$ alimentat între $+E$ și $-E$ și ținând cont că pentru amplificatorul integrat $\beta A741J$ în gol sau cu tensiune de ieșire 0 V, curentul $I_{10} = I_{20} = 1,7 \text{ mA}$ (valoare tipică [31]), din relația

$$R_5 (I_{10} + I_d) < 2U_{BE0} = 1,2 \text{ V.} \quad (2.51)$$

rezultă

$$R_5 = 270 \Omega.$$

Distorsiunile neliniare pot să apară în etajul final în contratimp fie în urma derivei potențialului zero al colectorului comun al dubletelor (borna de ieșire), fie la trecerile prin zero ale tensiunii sinusoidale de ieșire. Aici însă, se elimină deriva potențialului zero prin reacția negativă în curent continuu amintită, iar delimitarea distorsiunilor datorate trecerilor prin zero se face prin polarizarea adecvată a dubletelor printr-o reglare fină a valorii curentului I_a cu potențiometrul $P_1 = 25 \text{ k}\Omega$.

Realizând ieșirea amplificatorului operațional de putere pe colectorul comun al tranzistoarelor complementare de putere, pe lîngă simplificarea montării tranzistoarelor pe radiatorul de răcire, se asigură și o polarizare, practic, independentă de variația rezistenței de sarcină.

Pentru cazul scurtcircuitării accidentale a rezistenței de sarcină R_s , etajul final este protejat în două moduri. În primul rînd, se stabilește curentul limită I_{slim} ce poate fi livrat de tranzistoarele finale de putere fără a periclită termic funcționarea lor (de regulă, acest curent limită este cu 40% mai mare decât curentul corespunzător puterii maxime de ieșire) și se limitează la această valoare curentul colector al tranzistoarelor T_1 și T_3 cu ajutorul tranzistoarelor T_5 , respectiv T_6 polarizate cu cădere de tensiune pe R_{11} , respectiv pe R_{12} . În al doilea rînd, se introduce în serie cu ieșirea o siguranță fuzibilă SF cu rolul de a rupe curentul I_{slim} . Deci, în cazul scurtcircuitării accidentale a rezistenței de sarcină, tranzistoarele T_5 și T_6 cu R_{11} și R_{12} limitează curentul de colector la I_{slim} pe intervalul de timp necesar siguranței fuzibile să rupă acest curent.

Amplificatorul operațional de putere cu rol de amplificator de audiofrecvență este prezentat în fig. 2.29 sub forma a două subansambluri subansamblul A, reprezentînd partea de putere mică și subansamblul B, reprezentînd partea de putere mare.

Subansamblul A este realizat pe cablaj imprimat; configurația acestuia și desenul de montare este prezentat în fig. 2.30.

Tranzistoarele subansamblului B sunt montate pe un radiator de aluminiu $110 \times 80 \times 15 \text{ mm}$ cu 8 aripioare verticale, eloxat în negru și cu suprafață totală de radiație 216 cm^2 . Componentele R_{11} , R_{12} , C_4 , R_{13} , siguranță fuzibilă și cele 9 borne de acces ale subansamblului B sunt realizate pe o placă cu cose, fixată pe radiator.

Soluția de amplificator de audiofrecvență prezentată are, pe lîngă o bandă de frecvență largă și distorsiuni neliniare foarte mici, încă un avantaj, acela al modificării puterii maxime de ieșire prin intermediul valorilor tensiunii de alimentare cu păstrarea performanțelor de bandă și distorsiuni neliniare.

Caracteristicile principale ale amplificatorului de audiofrecvență din fig. 2.26 sunt:

- tensiuni maxime de alimentare : $\pm 21 \text{ V}$,
- tensiuni de alimentare minime : $\pm 10 \text{ V}$,
- putere de ieșire : $6 \text{ W} \dots 40 \text{ W}$,
- tensiunea de intrare : $0,3 \text{ V} \dots 1,8 \text{ V}$,
- banda de frecvență : $5 \text{ Hz} \dots 50 \text{ kHz}$,
- distorsiuni neliniare la $0,8P_{max}$; sub 0,1%.

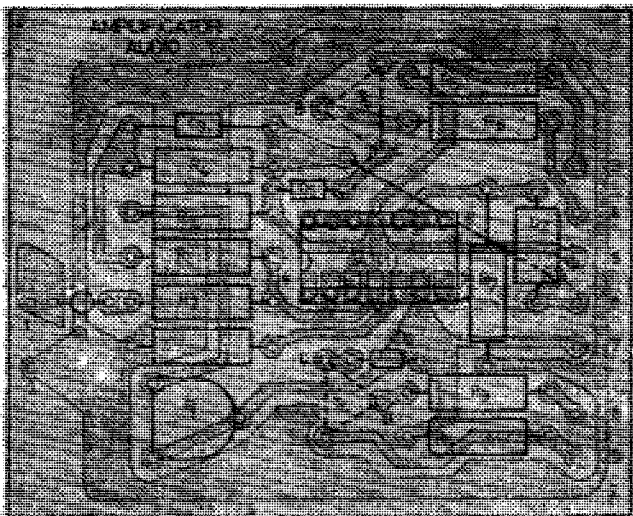


Fig. 2.30. Cablajul imprimat și desenul de montare al subansamblului A din amplificatorul de audiofrecvență.

2.5. TRANSFORMATOR FUNCȚIONAL

Amplificatorul operațional, denumit „transformator funcțional”, poate realiza o legătură între tensiunea de ieșire și de intrare care aproxi- mează prin segmente o caracteristică de transfer neliniară impusă. Dacă această caracteristică are pantă monoton crescătoare sau descrescătoare, și este plasată într-una din perechile de cadrane I-II, III-IV (fig. 2.31) sau I-III, II-IV (fig. 2.32) sau traversează chiar trei cadrane (carac- teristicile din fig. 2.31, a, b, c, d, deplasate în jos), ea poate fi realizată cu ajutorul unui singur amplificator operațional ce include o rețea cu rezis- tențe și diode [14, 18]. Dacă se impune realizarea unor caracteristici de altă formă decât cele date mai sus, sunt necesare mai multe amplificatoare operaționale și rețele mai complicate [77].

În nici un caz nu se poate realiza o formă de caracteristică de trans- fer care prezintă, pentru o anumită valoare a tensiunii de intrare, două valori diferite ale tensiunii de ieșire.

2.5.1. TRANSFORMATOR FUNCȚIONAL CU UN SINGUR AMPLIFICATOR OPERAȚIONAL

Caracteristica de transfer de forma dată în fig. 2.31, a se realizează cu ajutorul amplificatorului operațional din fig. 2.33 [14, 78], unde ten- siunea de intrare este U_1 , iar U_2 reprezintă o tensiune fixă de deplasare

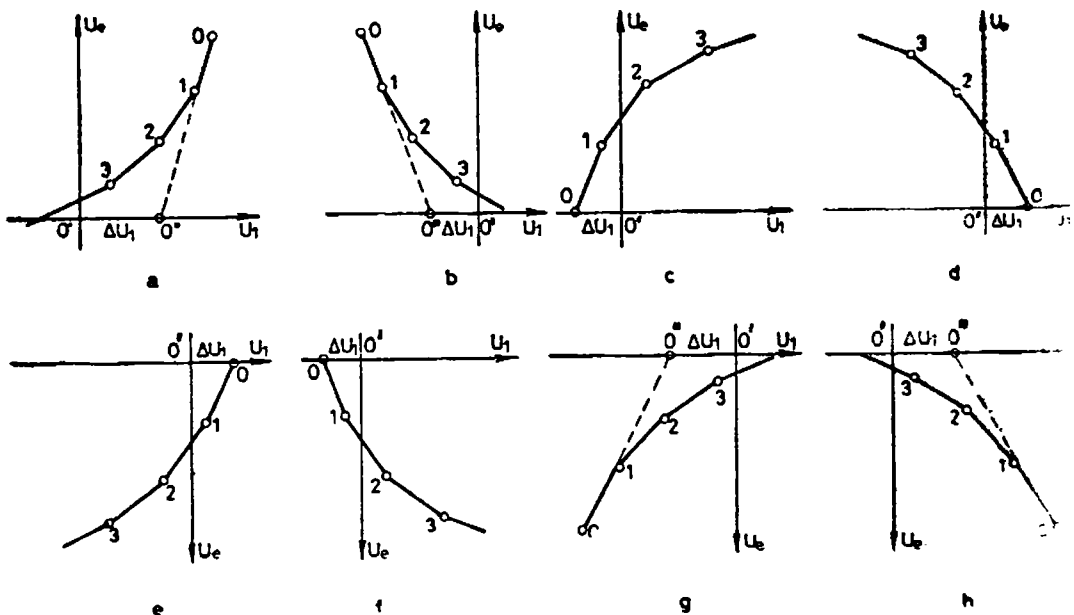


Fig. 2.31. Caracteristici de transfer ce se pot realiza cu transformator functional cu un singur amplificator operatiunal.

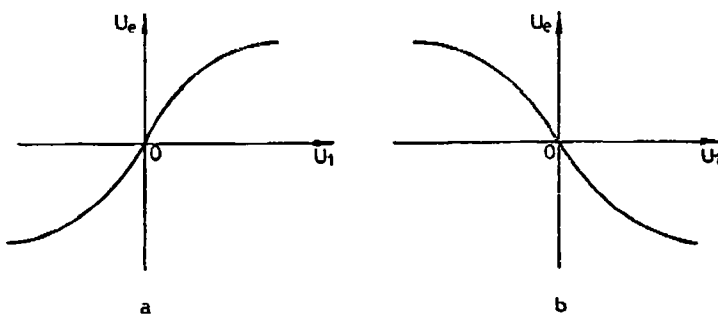


Fig. 2.32. Alte caracteristici de transfer realizable cu un singur amplificator operatiunal.

paralela a segmentului cu panta maximă (segmentul 0-1) al caracteristicii. În lipsa tensiunii de deplasare, prelungirea segmentului cu panta maximă ar trece obligatoriu prin originea sistemului de coordonate $U_1—U_e$, ceea ce nu poate constitui decit un caz particular.

Transformatoarele funktionale care realizează celelalte caracteristici de transfer din fig. 2.31 se obțin pornind de la circuitul din fig. 2.33 prin următoarele modificări [14] :

- aplicarea tensiunii U_1 la intrarea inversoare printr-o rezistență R , (caracteristica din fig. 2.33, b),

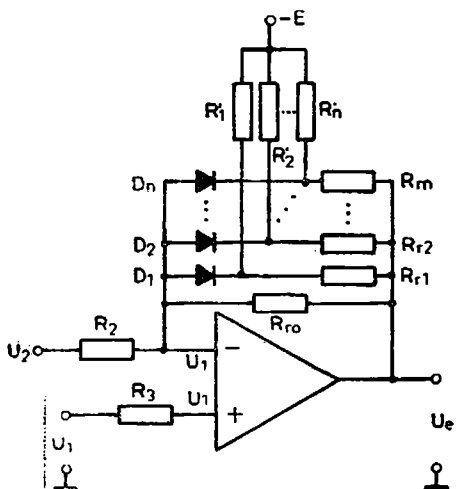


Fig. 2.33. Transformator funcțional ce realizează caracteristica din fig. 2.31, a.

- inversarea sensului diodelor (fig. 2.33, c),
- ambele modificări de mai sus (fig. 2.33, d),
- inversarea semnului tensiunii E (fig. 2.33, e),
- inversarea semnului tensiunii E și aplicarea tensiunii U_1 la intrarea inversoare printr-o rezistență R_1 (fig. 2.33, f),
- inversarea semnului tensiunii E și a sensului diodelor (figura 2.33, g),
- toate cele trei modificări întilnite de mai sus (fig. 2.33, h).

În cazul cînd tensiunea U_1 se aplică la intrarea inversoare, intrarea neinversoare se leagă la masă prin rezistență R_3 .

Punctele de frîngere ale caracteristicilor de transfer au fost notate astfel încît, la toate, segmentul 0—1 să aibă pantă maximă (să corespundă situației cînd toate diodelc sunt blocate). Astfel, cînd tensiunile U și U_e ating valorile din punctul 1 se deschide dioda D_1 , în punctul 2 se deschide D_2 etc. La deschiderea unei diode se conectează în paralel cu ramurile ce includ rezistența de reacție R_{ro} și diodele deschise anterior, o nouă rezistență, care conduce la scăderea rezistenței totale de reacție și a amplificării de tensiune (deci a pantei segmentului coresponzător).

Numărul de segmente necesar depinde de eroarea relativă maximă admisă la aproximarea caracteristicii de transfer neliniare prin segmente de dreaptă. Eroarea relativă maximă din cadrul fiecărui segment se definește cu ajutorul fig. 2.34 și a relației

$$e_r = \frac{\Delta u_e}{U_e} \cdot 100 [\%]. \quad (2.52)$$

Eroarea relativă maximă trebuie să fie aproximativ aceeași pe toate segmentele. Atunci cînd ea coboară sub valoarea impusă, numărul de segmente este cel minim necesar.

Dintre cele două moduri de aproximare prin segmente a caracteristicii de transfer, date în fig. 2.34, soluția a doua, cu punctele de frîngere în afara caracteristicii, conduce la erori relative de ambele semne, dar mai mici decit în celălalt caz (fig. 2.34, a) ceea ce în multe cazuri constituie o situație avantajoasă.

In cazul unci caracteristici de transfer cu pantă monoton variabilă, pentru realizarea unei erori relative maxime uniforme pe toate segmentele, punctele de frîngere trebuie să fie mai apropiate unele de altele în zonele de curbură maximă, în special cînd acestea sunt amplasate în regiunea de valori reduse ale tensiunii de înșire.

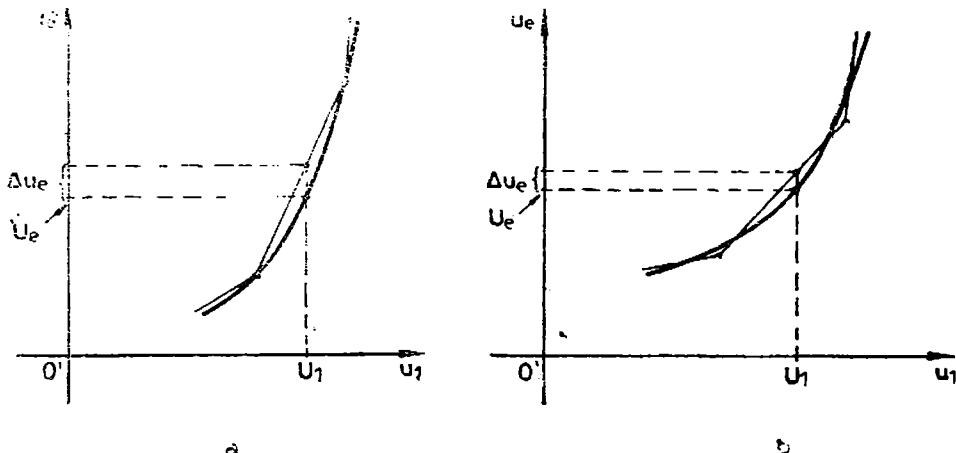


Fig. 2.34. Definirea erorii relative pentru un segment al caracteristicii de transfer.

Pentru obținerea unor caracteristici de forma celor din fig. 2.31, a, b, c, d, dar deplasate în jos, astfel încât unele segmente ale acestora să apară sub axa orizontală, este necesar ca pentru ramurile $R - R'$, corespunzătoare acestor segmente, să se folosească tensiune de alimentare $+E$ în loc de $-E$. Prin urmare, vor exista în general două grupe de ramuri cu diode și rezistențe, una alimentată de la $-E$, iar a doua — de la $+E$.

Pentru realizarea unor caracteristici cu inflexiune de formă dată în fig. 2.32 sau deplasate pe orizontală ori verticală este necesar ca ramurile corespunzătoare segmentelor unei jumătăți de caracteristică să conțină diodele conectate în un sens și să folosească tensiune de alimentare $-E$ (pentru segmente aflate deasupra axei) sau $+E$ (pentru segmente aflate sub axă, eventual începând deasupra axei). Ramurile corespunzătoare celeilalte jumătăți de caracteristică trebuie să conțină diodele conectate în sens invers și să folosească tensiunile de alimentare potrivit $-E$ sau $+E$. Pentru stabilirea sensului diodelor, în aceste cazuri, se va analiza sensul corespunzător caracteristicilor date în fig. 2.31 care intră în componența celor din fig. 2.32 (ce urmează a fi realizate).

O astfel de combinație a două caracteristici din fig. 2.31 este posibilă pentru faptul că ele au aceeași tensiune ΔU_1 (tăietura pe axa U_1 a segmentului 0—1 sau a prelungirii lui), deci necesită aceeași tensiune fixă U_2 .

O problemă importantă care apare la realizarea caracteristicilor de transfer impuse este aceea a valorilor posibile ale pantei segmentelor și a limitării acestora. Cînd trebuie realizate caracteristici care reclamă aplicarea tensiunii U_1 la intrarea inversoare, se poate obține practic orice pantă a segmentelor, în timp ce, în cazul aplicării lui U_1 la intrarea neinversoare, nu se poate realiza pantă subunitară. În ultimul caz, folosind o divizare corespunzătoare a tensiunii U_1 la intrarea neinversoare, se poate totuși obține o pantă (în ansamblu) subunitară. Divizarea duce la schim-

barea scării tensiunii pe axa orizontală a caracteristicilor de transfer și la creșterea pantelor segmentelor, definite $\Delta u_1/\Delta u_2$.

Principalele relații folosite la dimensionarea unui transformator funcțional de tipul celui din fig. 2.33 [14] sint:

— pentru cazul cind tensiunea U_1 este aplicată la intrarea neinversoare

$$1 + \frac{R_{rech_k}}{R'_{ech2k}} = a_k \quad (2.53)$$

reprezentând relația pantei segmentului ce începe în punctul k , cu

$$R_{rech_k} = R_0 || R_{r1} || \dots || R_{rk} \quad (2.54)$$

$$R'_{ech2k} = R_2 || R'_1 || \dots || R'_k \quad (2.55)$$

și

$$\frac{U_{ek} - U_{1k} + U_{D0}}{-E + U_{1k} - U_{D0}} = \frac{R_{rk}}{R'_k}, \quad (2.56)$$

reprezentând relația distribuirii tensiunii pe divizorul $R_{rk} - R'_k$ în momentul deschiderii diodei D_k , cind la intrare și la ieșire apar tensiunile U_{1k} , U_{ek} ;

— pentru cazul cind tensiunea U_1 este aplicată la intrarea inversoare printr-o rezistență R_1 ,

$$\frac{R_{rech_k}}{R_1} = a_k \quad (2.57)$$

și

$$\frac{U_{ek} + U_{D0}}{-E - U_{D0}} = \frac{R_{rk}}{R'_k}. \quad (2.58)$$

În relațiile de mai sus, tensiunile U_{1k} , U_{ek} și E se introduc cu semnul lor, iar U_{D0} se introduce cu semnul plus cind diodele au sensul din fig. 2.33 sau cu minus în caz contrar. Tensiunea U_{D0} se ia de 0,1 V pentru diode cu contact punctiform de germaniu și 0,45 V pentru diode de siliciu. Pantele a_k se determină pe segmentul ce începe în punctul k prin raportul $\Delta u_1/\Delta u_2$, considerind variațiile celor două tensiuni între capetele segmentului.

Rezistențele R_1 , R_2 (în particular se poate lua $R_2 = R_1$) se adoptă de valori 5...10 kΩ pentru a rămâne mici față de rezistență de intrare a amplificatorului integrat. Dacă se alege o valoare mai mică este posibil să rezulte rezistențele R_{rk} și R'_k dintr-o ramură prea mică, care ar încărca puternic ieșirea amplificatorului [14] și ar conduce la erori din cauza neglijării rezistenței dinamice a diodei D_k .

Rezistența R_3 de la intrarea neinversoare se dimensionează din condiția ca să se minimizeze erorile datorate decalajului inițial și derivei de curent [14]. Dacă tensiunile U_1 și U_2 au valori de ordinul voltilor, iar valoările pantelor a_k nu depășesc cîteva zeci, echilibrarea amplificatorului integrat nu este în general necesară.

Tensiunea de deplasare U_2 se determină cu una din relațiile :

$$U_2 = \Delta U_1 \left(1 + \frac{R_2}{R_{re}}\right) \quad \text{sau} \quad U_2 = -\Delta U_1 \frac{R_2}{R_1}, \quad (2.59)$$

după cum tensiunea U_1 este aplicată la intrarea neinversoare sau inversoare a amplificatorului.

Pentru realizarea tensiunii fixe U_2 și a rezistenței R_2 se poate utiliza un divizor de tensiune conectat la una din cele două surse de polarități diferite disponibile (de alimentare a integratorului). O astfel de soluție a fost deja prezentată în paragraful 2.1.

În fig. 2.35 se prezintă o aplicație concretă a transformatorului funcțional cu un singur amplificator operațional. Este vorba de un circuit care realizează transformarea unei tensiuni alternative triunghiulare simetrice cu amplitudinea de 1 V într-o tensiune alternativă aproximativ sinusoidală, cu amplitudinea de 5 V. Caracteristica de transfer a circuitului are forma din fig. 2.32, b și este aproximată prin 4 segmente în fiecare cadrant (fig. 2.36). Ea se obține prin eliminarea variabilei timp din funcțiile de ieșire și de intrare într-un sfert din perioadă. Întrucât tensiunea de intrare este liniar variabilă în timp, rezultă o legătură între tensiunile u_e și u_i , care este o porțiune dintr-o sinusoidă. Aceasta se aproximează prin segmente cu o eroare relativă maximă de cca 1%. Tensiunea de ieșire prezintă un factor de distorsiuni apropiat de 1%, iar principala ei componentă armonică are frecvența de cca 16 ori mai mare. În cazul cînd, într-o aplicație concretă, frecvența tensiunii de intrare este aproximativ constantă, se poate îmbunătăți forma tensiunii „sinusoidale“ prin utilizarea unui filtru activ trece-jos avînd frecvența de tăiere de cîteva ori mai mare decît aceea a semnalului fundamental.

În aplicația considerată, avînd o caracteristică de transfer ce trece prin originea sistemului de coordinate, unde are panta maximă, rezultă o tensiune de deplasare $U_2=0$. Echilibrarea inițială a amplificatorului cu intrarea la masă este simplă, deoarece pentru $U_e=0$ nici o diodă nu conduce și nu aplică tensiune la intrare.

Folosind pentru tensiunea U_1 intrarea inversoare se obține o tensiune de ieșire cu fază opusă, ceea ce nu constituie însă un dezavantaj.

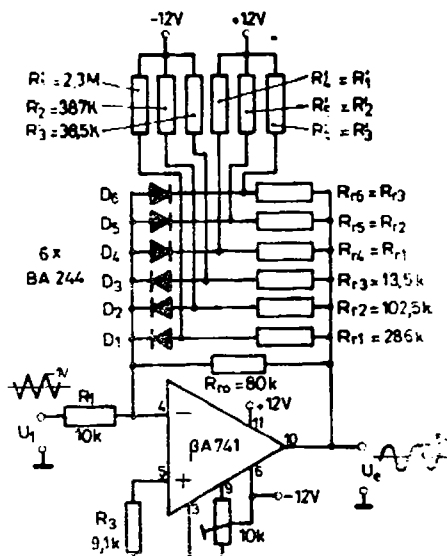


Fig. 2.35. Transformator funcțional utilizat la generarea unui semnal sinusoidal din semnal triunghiular.

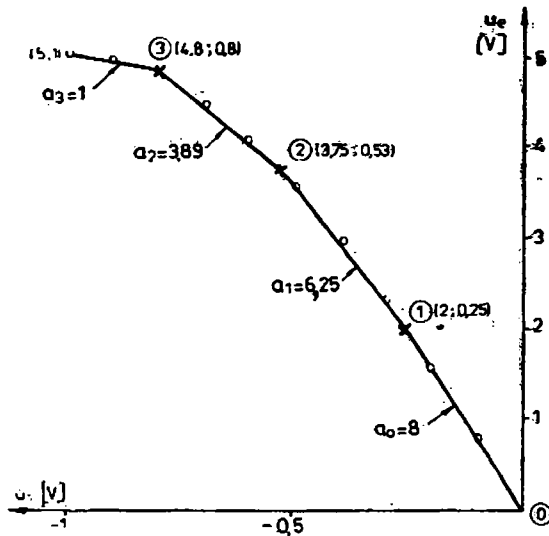


Fig. 2.36. Caracteristica de transfer în cadranul II pentru circuitul din fig. 2.35.

În aplicațiile în care este necesară modificarea frecvenței unei tensiuni aproximativ sinusoidale printr-o tensiune continuă se poate realiza simplu [23, 22] un generator de tensiune triunghiulară simetrică, având frecvență comandată liniar prin tensiune care apoi se combină cu un transformator funcțional de tipul celui studiat aici.

Frecvența maximă de funcționare corectă a unui transformator funcțional de tipul dat în fig. 2.35 este limitată de viteza de urmărire a amplificatorului integrat utilizat. Pentru amplificator β A741 și o amplitudine a tensiunii de ieșire de 5 V rezultă o frecvență maximă de cca 25 kHz [14].

2.5.2. TRANSFORMATOR FUNCȚIONAL ACORDABIL CU MAI MULTE AMPLIFICATOARE OPERAȚIONALE

O caracteristică de transfer aproximată prin segmente de dreaptă cu pantă variabilă după o lege oarecare nu poate fi realizată cu un singur amplificator operational, pe principiu utilizat anterior. În acest caz se poate aplica un alt principiu, care constă în realizarea unei caracteristici de transfer globale (fig. 2.37) prin însumarea unor caracteristici de transfer simple (fig. 2.38).

Desigur, nu se poate realiza astfel o caracteristică globală ce prezintă două valori ale tensiunii de ieșire u_e , pentru o valoare a tensiunii de intrare u_i .

O caracteristică de transfer simplă, de forma dată în fig. 2.38, se poate obține cu rețeaua de rezistențe și diodă din fig. 2.39. Punctul de

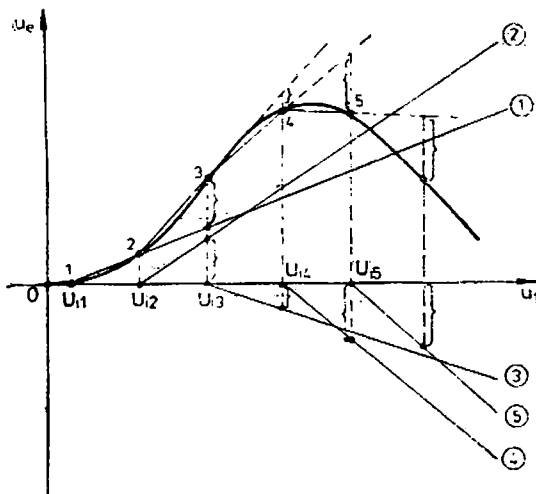


Fig. 2.37. Descompunerea unei caracteristici de transfer globale în caracteristici simple.

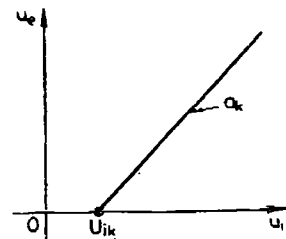
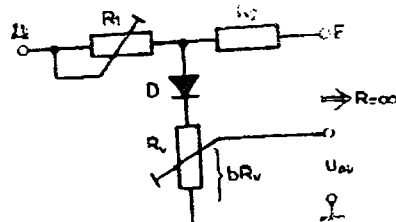


Fig. 2.38. Caracteristica de transfer simplă („segment”) realizabilă cu circuitul din fig. 2.39.

Fig. 2.39. Rețea cu rezistențe și diodă pentru generarea unei caracteristici simple.



fringere al caracteristicii se determină pentru situația cînd dioda se deschide, dar are încă un curent neglijabil

$$U_{ik} = -\frac{R_1}{R_2} E_{ref} + U_{D0} \frac{R_1 + R_2}{R_2}, \quad (2.60)$$

și se poate ajusta prin intermediul rezistenței R_1 între aproximativ 0 și $-E_{ref}$.

Panta dreptei din fig. 2.38 este

$$a_k = \frac{\Delta u_e}{\Delta u_i} = \frac{b(R_s || R_2)}{R_1 + (R_s || R_2)}, \quad (2.61)$$

și se poate ajusta prin intermediul coeficientului b (deci prin potențiometrul R_s) între 0 și valoarea maximă (pentru $b=1$)

$$a_{kmax} \frac{1}{1 + \frac{R_1}{R_s || R_2}}. \quad (2.62)$$

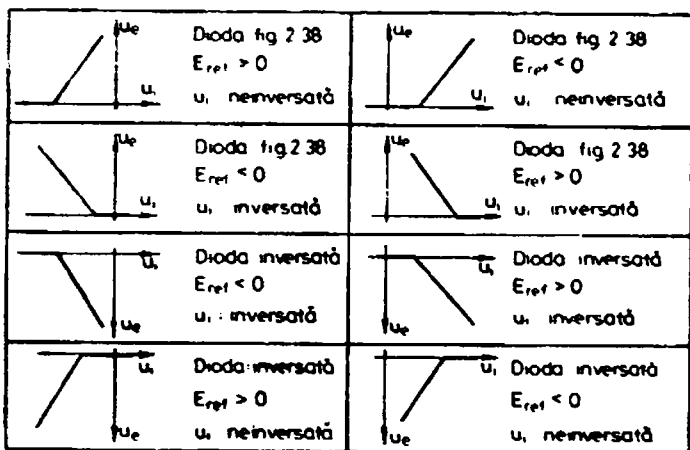


Fig. 2.40. Forme de caracteristici simple și condițiile de realizare.

Aceasta poate fi făcută 1 pentru $R_1=0$. Tensiunile u' și u'' se pot scale astfel încât să fie suficientă această pantă maximă (u_i și u' se pot amplifica în mod corespunzător).

Pentru realizarea unor valori U_{ik} pozitive este necesară o tensiune de referință, E_{ref} , negativă (relația 2.60), iar pentru valori U_{ik} negative este necesară o tensiune de referință E_{ref} pozitivă.

În scopul obținerii unui transformator funcțional universal, adică a unui circuit care să poată realiza orice formă de caracteristică de transfer, traversând mai multe cadrane (chiar și toate patru cadranele), este necesar să se utilizeze cele opt forme de caracteristici simple din fig. 2.40. Acestea se obțin cu ajutorul unor circuite simple, de tipul celui din fig. 2.38, în care se stabilește sensul corespunzător al diodei, semnul tensiunii de referință E_{ref} , și, după caz, se utilizează tensiunea de intrare direct sau inversată printr-un amplificator operațional.

În fig. 2.40 se observă unele reguli și anume :

— tensiunea de referință are totdeauna semn opus față de semnul tensiunii de intrare sau al tensiunii de intrare inverse — cind aceasta se folosește la intrarea circuitului cu rezistențe și diodă,

— dacă diodele au sensul din fig. 2.38 se realizează caracteristica simple în cadranele I și II,

— pentru realizarea caracteristicilor din cadranele III și IV, sensul diodelor trebuie inversat față de cel din fig. 2.38,

— inversarea semnului tensiunii de referință duce la deplasarea caracteristicilor pe orizontală, dintr-un cadran în altul.

La realizarea unui transformator funcțional universal trebuie ținut cont de faptul că este posibil ca o caracteristică de transfer globală să se descompună în diagrame simple, care se obțin, toate, fie numai cu tensiune de intrare neinversată, fie numai cu tensiune de intrare inversată. Acest fapt a fost luat în considerare la alcătuirea schemei din fig. 2.41.

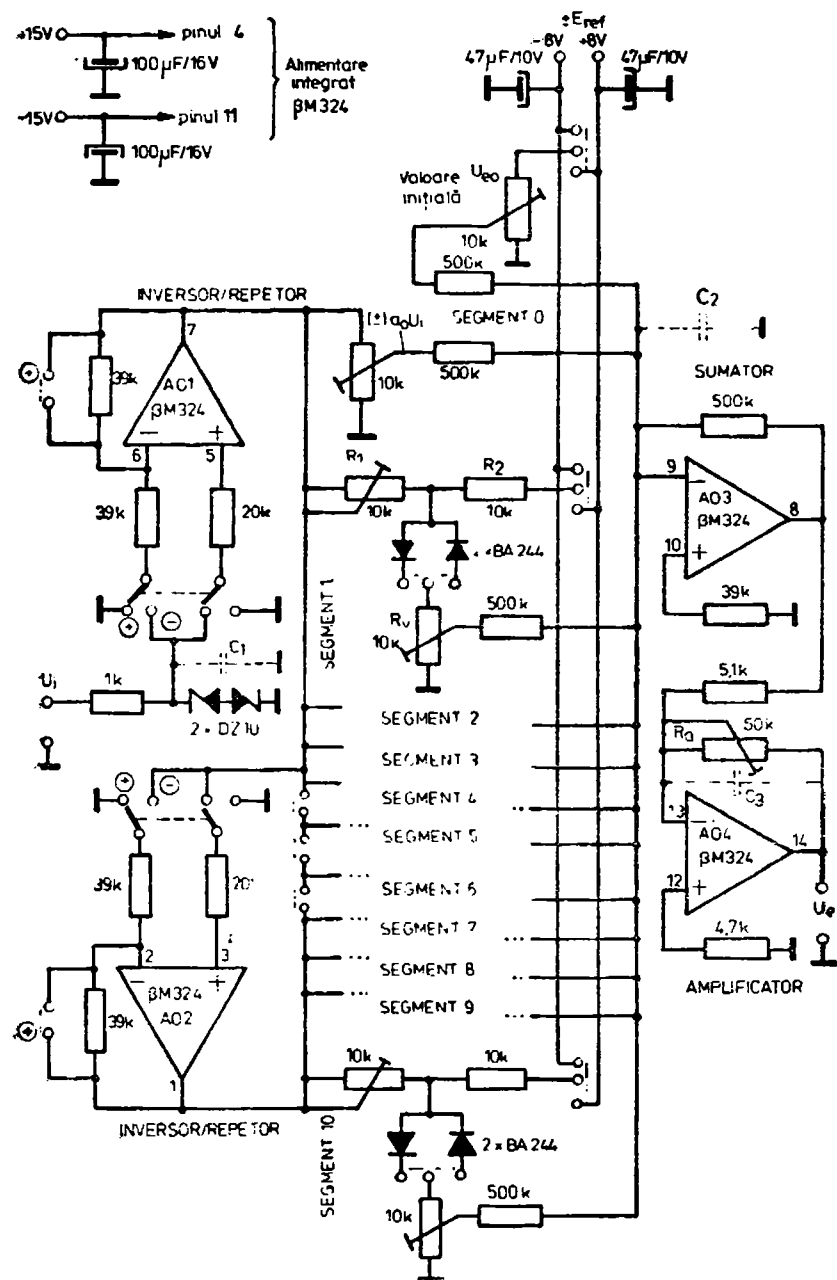


Fig. 2.41. Transformator funcțional universal ajustabil.

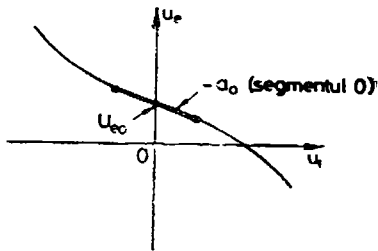


Fig. 2.42. Exemplu de caracteristică de transfer realizabilă cu transformatorul din fig. 2.41.

prin prevederea unor comutări la intrările și în reacția celor două amplificatoare operaționale $A01$ și $A02$ astfel încât să se poată realiza fie un repetor și un inversor, fie două inversoare, fie două repetoare.

Schema din fig. 2.41 realizează în general operația

$$U_e = U_{e0} + a_0 U_i + \sum_{k=1}^n a_k (U_i - U_{ik}), \quad (2.63)$$

unde termenii din sumă reprezintă caracteristicile de transfer simple amintite anterior, denumite și „segmente“.

Întrucît circuitul are formează „segmentul 0“, adică un segment inițial care pleacă de la axa u_i , sau traversează axa (fig. 2.42), avind pantă $+(-)a_0$, este legat definitiv la ieșirea amplificatorului $A01$, regimul de funcționare al acestuia din urmă (de inversor sau repetor) este impus de semnul pantei a_0 ce trebuie realizată. Pentru obținerea unei pante $-a_0$, amplificatorul $A01$ se conectează ca inversor iar pentru o pantă $+a_0$, ca repetor. În practică nu apar cazuri ca să fie necesar inversor sau repetor numai pentru realizarea acestui segment inițial. De asemenea, cînd toate caracteristicile simple (segmente) se obțin cu inversarea sau fără inversarea tensiunii u_i , circuitul pentru segmentul 0 necesită aceeași tensiune de intrare, ca și restul circuitelor ce generează segmente. De aceea circuitul pentru segmentul 0 se poate conecta definitiv la ieșirea unuia din amplificatoare (aici $A01$) împreună cu 4 circuite care realizează segmente.

Au fost necesare două amplificatoare la intrare, deoarece unul singur ar fi prea puternic încărcat cu mai mult de 5...6 circuite generatoare de segmente, iar cînd un amplificator este folosit ca inversor este necesar și un repetor pentru a se evita încărcarea directă a sursei ce furnizează tensiunea U_i , de către circuitele ce utilizează tensiune neinversată. Tot în acest ultim scop, amplificatorul $A02$ este atacat cu tensiune U_{ii} sau $-U$ de la ieșirea lui $A01$, deci se va pregăti circuitul lui corespunzător funcției pe care trebuie să o realizeze.

Comutările necesare în schema din fig. 2.41 se pot face (la o aplicație concretă) prin punți de cositor între două insule apropiate din cablajul imprimat sau prin legături între contactele de la 2—3 couple montate pe placa circuitului, la care s-au scos legăturile corespunzătoare (ceea ce este mult mai complicat și mai scump, deoarece couplele ar trebui să aibă 81 contacte). S-au prevăzut posibilități de schimbare a sensului diodelor, a semnului tensiunii de referință (adoptată aici de 8 V) și de conectare a 4, 5

sau 6 circuite generatoare de segmente pe o ieșire de la A01 sau A02. În cazul cînd ambele amplificatoare au aceeași funcție, se va lăsa totuși deschisă legătura dintre ieșirile lor, între circuitele pentru segmentele 5 și 6. În general, cînd o parte din segmente se realizează pe baza tensiunii U_i și altă parte pe baza tensiunii $-U_i$, nu sunt necesare mai mult de 6 segmente ce impun alimentarea cu una din tensiuni. În schemă s-a prevăzut deci posibilitatea de grupare a pînă la 6 circuite cu aceeași tensiune de alimentare.

În circuitul de intrare al amplificatoarelor A01 și A02 s-a prevăzut limitarea tensiunii la cca 10 V, pentru a se evita valorile accidentale periculoase.

A fost prevăzut un potențiometru care stabilește „valoarea inițială” U_{e0} a tensiunii de ieșire, definită pentru $U_i = 0$ (fig. 2.42).

Amplificatorul operational A03 are rol de sumator pentru cele 12 tensiuni posibile și are amplificare unitară pentru fiecare. Dimensiunea caracteristicii de transfer globale se poate stabili apoi cu ajutorul amplificatorului operațional A04, care poate realiza o amplificare pînă la 10, A04 face și inversarea suplimentară necesară, întrucît sumatorul este și el inversor.

Intrucît toate tensiunile ce se aduc la sumator sunt ajustabile, rezistențele fixe nu trebuie să fie de precizie mai bună de $\pm 5\%$. Este indicat ca în aplicații importante, rezistențele semivariabile să fie cu peliculă metalică.

Procedura pentru „acordarea” transformatorului funcțional universal propus, pentru o aplicație concretă (după ce a fost stabilit modul de utilizare și alimentare al amplificatoarelor A01 și A02 și al circuitelor generatoare de segmente), este următoarea.

a. Se stabilește $U_i = 0$, potențiometrul pentru valoare inițială se pune în poziția cu $U_{e0} = 0$, potențiometrul pentru segmentul 0 se pune cu cursorul în poziția de jos ($a_0 = 0$), potențiometrele R_s se pun toate cu cursorul în partea de sus ($b = 1$), rezistențele R_1 se introduc complet (pentru ca fringerile să fie depărtate de originea sistemului de coordonate), iar din rezistența R_a ce impune amplificarea se introduc cca 5 k Ω (pentru amplificare 1).

b. Se începe acordarea cu stabilirea valorii U_{e0} necesară (cînd caracteristica de transfer globală nu intersectează axa u_e , $U_{e0} = 0$).

c. Se stabilește apoi panta cerută a segmentului 0, cu potențiometrul pentru $a_0 U_i$ (presupunind că funcția lui A01 a fost stabilită pentru a obține semnul corect al lui a_0). Ultimul reglaj se face dind mai întîi lui U valoarea din primul punct de fringere al caracteristicii globale (plecind de la segmentul 0 într-o direcție), apoi ajustând pe a_0 pînă ce tensiunea U_e ia valoarea corespunzătoare acestui punct. Dacă s-a ajuns la capătul potențiometrului și nu s-a atins valoarea U_e necesară, se mărește amplificarea operaționalului A04 din R_a .

d. Se ajustează în continuare rezistența semivariabilă R_1 din circuitul stabilit pentru generarea primului segment, pînă ce tensiunea U_e începe să se modifice (foarte puțin) dovedind apariția fringerii.

e. Se stabilește la intrare valoarea tensiunii U_i corespunzătoare celei de a doua fringeri și se ajustează potențiometrul R_s , din același circuit de

generare a primului segment, pînă ce U_e ia valoarea din cel de al doilea punct de frîngere.

f. Se relau punctele d și e pentru segmentul următor, și se repetă operațiile pînă la epuizarea segmentelor dintr-un cadran. Apoi se reia acordarea pentru segmente din partea opusă a segmentului 0.

Dacă la unul din segmente nu a putut fi realizată panta necesară cu un singur circuit generator de segment, se va mări amplificarea din R_s (reluîndu-se acordarea) sau se va mai utiliza încă un circuit în același scop.

Domeniul de tensiune de intrare este delimitat cu aproximatie de $\pm E_{ns}$. Domeniul tensiunii de ieșire pentru o alimentare cu ± 15 V a integratorului este de cca $\pm 13,5$ V.

Condensatoarele C_1 , C_2 , C_3 se utilizează cînd tensiunea U_e este periodică și cu frecvență pînă la cîțiva kHz (pentru amplitudini mari ale tensiunii U_e). Rolul lor este acela de a realiza filtre trece-jos care să elimine zgomote sau componente armonice superioare ce apar din cauza aproximării caracteristiciei de transfer prin segmente. În acest scop, condensatoarele se vor dimensiona corespunzător.

Semnul + notat în circuitele amplificatoarelor $A01$ și $A02$ arată conexiunile necesare pentru realizarea regimului de repetor. Semnul — arată conexiunile necesare pentru regimul de inversor.

Dacă se prelucrează o tensiune U_1 suficient de mare pentru ca de către inițiale ale amplificatoarelor integrate să nu conțeze față de aceasta, transformatorul universal propus poate utiliza o singură capsulă de amplificator cuadruplu $\beta M324$.

Cele două perechi de surse de alimentare se pot realiza cu stabilizatoare integrate duale ROB 1468 (Capitolul 5), fiind necesari curenti de cel mult 10...20 mA.

2.6. SURSA DE CURENT BILATERALA COMANDATĂ CU TENSIUNE

Schema sursei de curent bilaterale cu amplificator operational este bine cunoscută (fig. 2.43) [26, 15, 14]. Ea poate alimenta cu curent constant, de un sens sau alt sens, o sarcină care are punct de masă. Curentul este

$$I_s = (U_2 - U_1) \frac{A_s}{R_s} . \quad (2.64)$$

unde s-a notat :

$$A_s = \frac{R_3}{R_1} . \quad (2.65)$$

reprezentînd amplificarea de tensiune pentru intrarea inversoare. Prin semnul diferenței tensiunilor de la cele două intrări se impune sensul

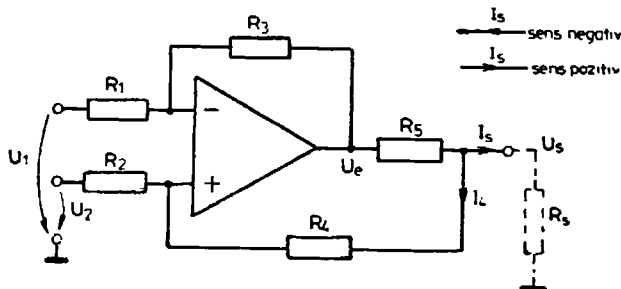


Fig. 2.43. Sursă de curent constant bilaterală.

curentului I_s . De obicei, sursa se folosește cu o singură tensiune de comandă.

Pentru ca circuitul să constituie o sursă de curent de calitate, pentru rezistente trebuie să fie îndeplinită „condiția exactă“ (folosită la dimensionare [14])

$$R_1(R_4 + R_5) - R_2R_3 = 0. \quad (2.66)$$

In [14, 26] s-a arătat că rezistența de ieșire, principalul parametru al sursei de curent, depășește o valoare minimă garantată

$$R_e \geq \left(\frac{R_b}{A_s} + R_4 \| R_5 \right) \frac{1}{4t}, \quad (2.67)$$

unde t reprezintă toleranța rezistențelor folosite în valori relative.

Prin impunerea, într-o aplicație, a limitelor gamei curentului și a tensiunii de comandă, din relația (2.64) rezultă că raportul A_s / R_s este fixat. Prin urmare, pentru creșterea rezistenței de ieșire este necesar ca R_4 , cît mai ales R_5 (care este totdeauna cea mai mică dintre acestea) să fie mai mari. Valoarea rezistenței R_5 este limitată superior la

$$R_5 < \frac{U_{max} - U_{min}}{I_{max} + I_s}, \quad (2.68)$$

unde tensiunile și curentii sunt definiți în fig. 2.43, iar I_4 poate avea în unele cazuri și semnul minus. Deoarece se utilizează o rezistență R_4 de valoare mare, acest curent rezultă însă redus.

Se poate obține ușor pentru rezistența de ieșire a sursei de curent o valoare minimă de cîteva sute de kΩ, adoptînd rezistențele circuitului numai pe baza toleranței. Dacă acestea se selecteză suficient de exact, se poate obține o rezistență de ieșire de cîțiva MΩ. Pentru creșterea rezistenței R_5 , cînd în relația (2.68) curentul I_4 are semnul pozitiv, se poate utiliza un al doilea amplificator operațional, conectat ca repetor în ramura cu R_4 (fig. 2.44). Astfel, $I_4 = 0$ și prin R_5 trece doar curentul de sarcină.

Pentru acest circuit relația curentului rămîne aceeași (2.64), dar rezistența de ieșire minimă devine

$$R_e \geq \left(\frac{R_b}{A_s} + R_5 \right) \frac{1}{4t}. \quad (2.69)$$

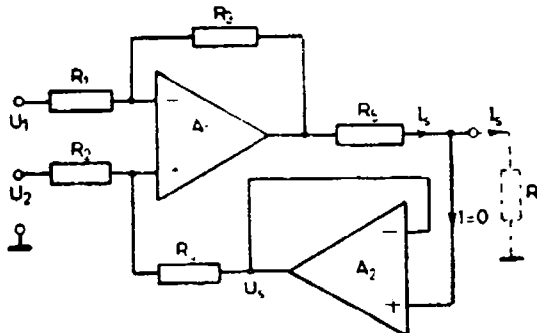


Fig. 2.44. Sursă de curent constant bilaterală cu performanțe îmbunătățite.

și crește cu puțin față de valoarea dată de relația (2.67). Deoarece în cazul circuitului din fig. 2.44 condiția ca acesta să fie o sursă de curent este mai simplă (nu include pe R_5)

$$R_1R_4 - R_2R_3 = 0, \quad (2.70)$$

rezultă că numai 4 din cele 5 rezistențe trebuie să fie de precizie.

Pentru aducerea rezistenței de ieșire la valori foarte mari ($>10 \text{ M}\Omega$) este necesară introducerea unei rezistențe semivariabile de $50 \dots 100 \Omega$ în ramura cu R_4 și ajustarea ei pe baza măsurării rezistenței de ieșire a circuitului [26].

Calculul unei surse de curent de tipul analizat se poate face pe baza relațiilor date mai sus, după adoptarea rezistențelor $R_1 = R_2$ de valoare cîteva zeci de $\text{k}\Omega$ (mult mai mică decît rezistența de intrare a amplificatorului integrat). Este necesar să se adopte amplificator integrat cu amplificare fără reacție de valoare cît mai mare ($\beta\text{A741}, \beta\text{M324}, \text{ROB101}, \dots$) [14].

Pentru realizarea unui anumit domeniu de curent prin sarcină cînd tensiunea de comandă prezintă și ea un domeniu de variație, este în general necesară o a doua tensiune, fixă, rezultată din relația (2.64). Aceasta se poate asigura cu ajutorul unui divizor, așa cum s-a văzut în paragraful 2.1.

Sursele de curent bilaterale intervin în numeroase aplicații concrete [36, 78, 5] și reprezintă componente de bază ale sistemelor de prelucrare analogică a semnalelor.

2.7. OSCILATOR SINUSOIDAL RC

Dintre oscilatoarele sinusoidale de tip *RC*, cu amplificator operațional, cel mai răspîndit este oscilatorul cu circuit Wien și reglare de amplitudine cu tranzistor cu efect de cîmp cu jonctiune (TECJ) [14, 36, 8], prezentat în fig. 2.45 pentru frecvență de oscilație fixă.

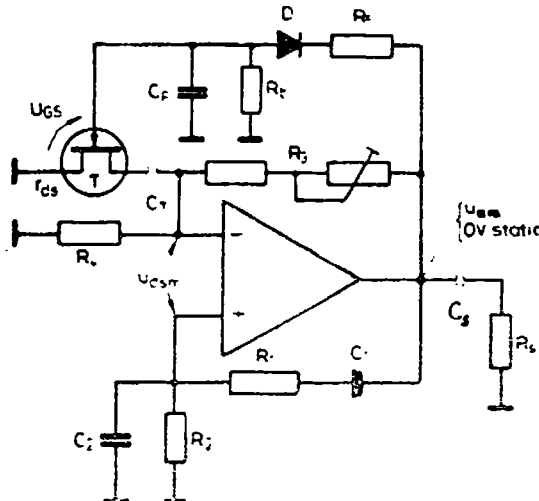


Fig. 2.45. Oscilator sinusoidal RC cu circuit Wien și reglare de amplitudine cu TECJ.

Tranzistorul de reglare a amplitudinii, aici cu canal n , este amplasat în paralel cu rezistența R_4 și intervine în amplificarea de tensiune prin rezistență lui dinamică r_{ds} , [14]. Întrucât tensiunile statice de la ieșire și intrări sunt apropiate de zero, condensatoarele de separare C_s și C_t nu sunt în general necesare. Ele intervin în cazul cînd sarcina saú circuitul de limitare prezintă componente continue (se utilizează uneori o rezistență între drenă și grilă la tranzistor, [36]). Circuitul detector de amplitudine, compus din dioda D și elementele R_b , C_F , are rolul de a furniza o tensiune U_{GS} apropiată ca formă de o tensiune continuă, proporțională cu amplitudinea u_{em} a tensiunii de ieșire.

Rezistența R_5 asigură evitarea încărcării puternice a ieșirii amplificatorului de către circuitul de detecție și trebuie să fie de cel puțin cîteva zeci de kohm. Rezistența de balast a detectorului, R_b , permite funcționarea normală a redresorului monoalternanță cu filtru capacativ compus din dioda D și C_F și anume, preia componenta continuă a curentului redresat și realizează o cale de descărcare a condensatorului C_F pentru ca tensiunea pe acesta să poată urmări variațiile amplitudinii u_{em} .

Rezistența R_4 poate îndeplini și rolul de a reduce efectul dispersiei valoarii rezistenței r_{ds} a tranzistoarelor TECJ [14], care ar impune ajustarea în domeniu mai larg (deci mai puțin fină) a rezistenței de reacție R_3 . În acest caz

$$R_4 = (1 \dots 2) r_{dsmax} \quad (2.71)$$

Rezistența dinamică r_{ds} a tranzistorului TECJ este

$$r_{ds} = \frac{1}{g_m} \frac{U_P}{U_P - U_{GS}} \quad (2.72)$$

unde : U_P reprezintă tensiunea de vîrf, iar

$$g_{m0} = \frac{2I_{DSS}}{U_P} \quad (2.73)$$

reprezintă conductanță mutuală determinată în punctul de curent de saturatie maxim, I_{DSS} , și tensiune $U_{GS} = 0$.

Rezistența r_d poate avea o valoare minimă și una maximă din cauza disperziei de fabricație a curentului I_{DSS} și a tensiunii U_P .

Deoarece amplificarea de tensiune pentru circuitul din fig. 2.45 este

$$A_e = 1 + \frac{R_s}{r_{ds} || R_s}, \quad (2.74)$$

se constată că ea poate fi controlată prin intermediul lui r_d , deci al lui U_{GS} , care este legată de amplitudinea tensiunii de ieșire. În acest mod se realizează un control automat al acesteia din urmă.

Inainte de calculul circuitului detector se adoptă rezistența R_s (cîteva zeci de $k\Omega$) și tensiunea U_{GS} (de obicei $0,5 \dots 1$ V, mai mică decit U_P , desigur, [14]). Pentru calculul rezistenței de balast, R_b se face apel la noțiuni de la circuitul redresor [15]. Astfel, se știe că dioda se deschide doar în intervalul 2θ , numit „unghi de conductie“ (fig. 2.46, a). Cunoscând datele diodei de detectie U_{DO} și r_d (tensiunea de deschidere și rezistența dinamnică definită conform figurii 2.46, b), se calculează

$$\cos \theta = \frac{U_{GS} + U_{DO}}{U_{em}} \quad (2.75)$$

și apoi unghiul θ în radiani și $\sin \theta$, cu ajutorul cărora rezultă curentul mediu redresat prin diodă

$$I_{r0} = \frac{U_{em}}{\pi(R_s + r_d)} (\sin \theta - \theta \cos \theta). \quad (2.76)$$

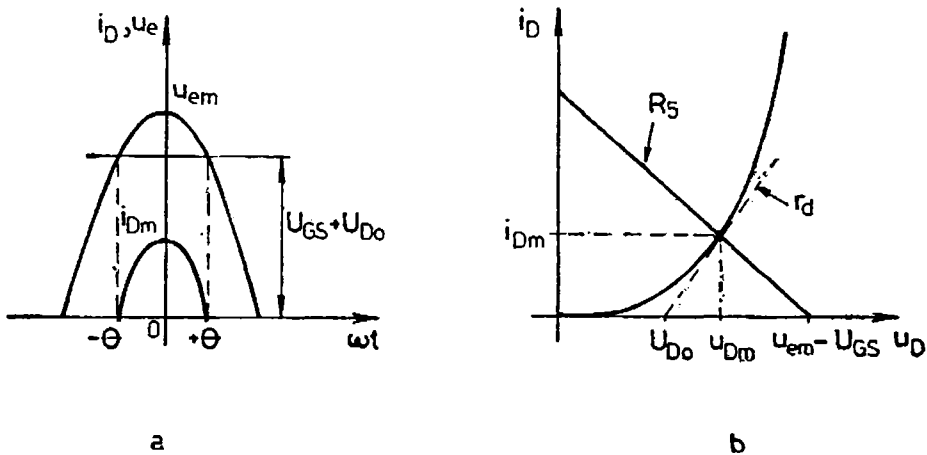


Fig. 2.46. Stabilirea regimului de funcționare al diodei de detectie

Rezistența de balast necesară este

$$R_b = \frac{U_{os}}{I_{rs}}. \quad (2.77)$$

Pentru ca pulsăriile tensiunii U_{os} să fie cât mai reduse (ele conduc la distorsiuni neliniare mărite ale tensiunii de ieșire a oscilatorului) se impune condensatorul de filtraj C_F astfel încât constanta de timp a circuitului de descărcare să indeplinească o condiție de forma

$$C_F R_b \gg \frac{T}{2}. \quad (2.78)$$

în perioada T corespunzătoare frecvenței inferioare a gamei oscilatorului în cazul cind acesta este realizat pentru frecvență variabilă. Produsul $C_F R_b$ nu se poate adopta totuși exagerat de mare față de $T/2$, deoarece atunci circuitul de limitare devine prea lent și întârzie reglarea tensiunii U_{os} la unele variații mai rapide (de exemplu, la modificarea rezistenței de sarcină a oscilatorului).

La determinarea componentelor circuitului Wien [8, 14, 36] se vor utiliza condiția de amplitudine a oscilatorului

$$1 + \frac{R_1}{R_2} + \frac{C_2}{C_1} = A_s \quad (2.79)$$

și condiția de fază, scrisă în forma :

$$f_0 = \frac{1}{2\pi\sqrt{R_1 R_2 C_1 C_2}}, \quad (2.80)$$

reprezentând frecvența de oscilație. În cazul unui oscilator cu modificarea frecvenței într-o anumită gamă prin intermediul unui potențiometru tandem (fig. 2.47) se utilizează, la dimensionarea circuitului Wien, condițile [14] :

$$f_{0min} = \frac{1}{2\pi(R' + R'')\sqrt{C_1 C_2}}; \quad f_{0max} = \frac{1}{2\pi R'\sqrt{C_1 C_2}} \quad (2.81)$$

În cazul cind se dorește modificarea cuasilineară a frecvenței în funcție de unghiul de rotație al axului potențiometrului tandem, este necesar să se folosească potențiometru logaritmic și să se conecteze la punctul comun al cursoarelor, capetele la care apare variația mai rapidă a rezistențelor variabile.

Folosind amplificatoare integrate obișnuite (de exemplu ROB101), pentru semnale de ieșire cu amplitudinea de ordinul 1,5...2 V (necesară din cauza căderilor pe circuitul detector) se poate realiza o frecvență de oscilație maximă de cca 250 kHz (pe o rezistență de sarcină totală $R_s \gg 10 \text{ k}\Omega$, [14]). Este posibilă creșterea frecvenței spre 1 MHz prin reducerea amplitudinii tensiunii de ieșire, dar atunci, înainte de detecție, aceasta

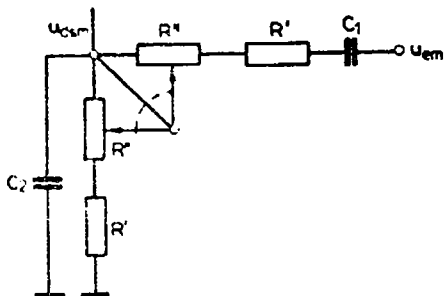


Fig. 2.47. Circuit Wien cu potențiomетru tandem pentru modificarea frecvenței

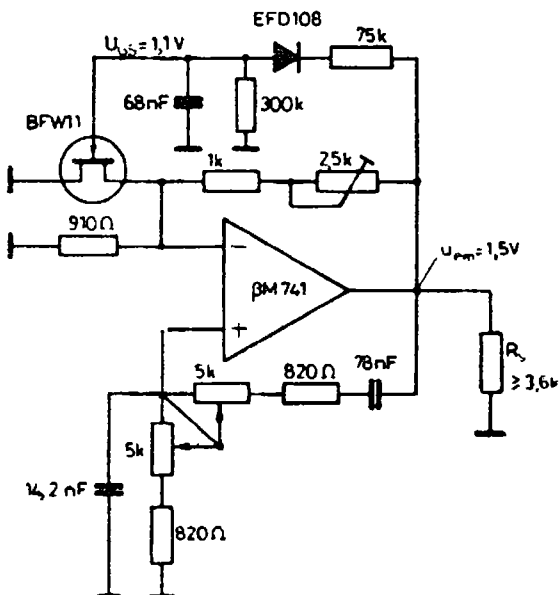


Fig. 2.48. Oscilator sinusoidal de 670–5 500 Hz.

trebuie amplificată cu un tranzistor sau un alt doilea circuit integrat. Pentru realizarea unor frecvențe peste 1 MHz este necesar să se folosească amplificatoare integrate de bandă largă (paragraful 2.1).

In [36] se prezintă schema concretă a unui oscilator *RC* de tip Wien mai complicat, cu reglaj automat al amplificării folosind un TECJ și un regulator cu amplificator operațional. Se asigură astfel un nivel redus al distorsiunilor semnalului generat.

In fig. 2.48 se prezintă o schemă concretă de oscilator *RC* cu circuit Wien, cu amplificator operațional, care asigură la ieșire o amplitudine de 1,5 V. Gama de frecvență realizată este de 670 Hz...5 500 Hz. Semnalul prezintă un factor de distorsiuni neliniare mai mic decât 2% iar în gama de frecvență dată, amplitudinea variază cu mai puțin de 2%.

2.8. OSCILATOARE SINUSOIDALE RC ÎN CUADRATURĂ

În literatura de specialitate [4, 8] se prezintă teoria generală idealizată a oscilatoarelor sinusoidale RC care furnizează simultan la ieșire semnale în cuadratură ($U_m \sin \omega t$, $U_m \cos \omega t$). Două circuite de bază s-au impus în aplicațiile practice. Schema de principiu [8] a oscilatorului în care amplificatoarele operaționale AO_1 , AO_2 sunt utilizate ca circuite integratoare (fig. 2.49) este mai rar utilizată în practică, din cauza distorsiunilor nelineare mari, introduse de circuitul de limitare realizat cu diode polarizate.

O creștere a performanțelor montajului prezentat în fig. 2.49 se obține [4] prin înlocuirea celui de-al doilea integrator cu un filtru activ trece jos, realizat cu amplificatorul operațional AO_2 (fig. 2.50).

Filtrul activ atenuază suplimentar față de integrator armonicele tensiunii, a cărei fundamentală este frecvența de oscilație (dacă se asigură în regiunea de tăiere o pantă mai mare de -20 dB/dec) și introduce un defazaj dependent de frecvență, ceea ce contribuie la o mai bună stabilitate.

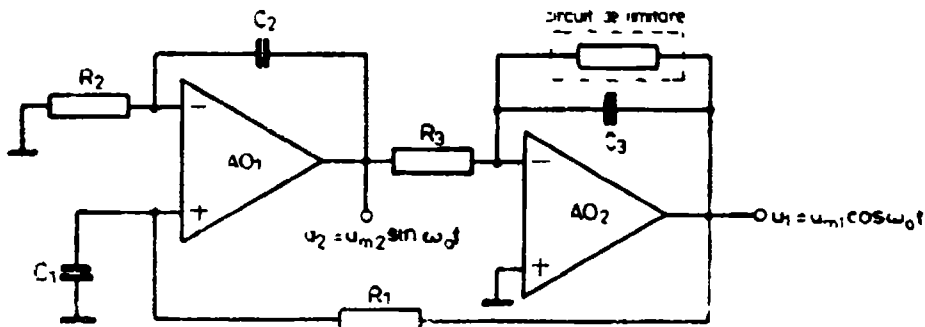


Fig. 2.49. Oscilator în cuadratură cu integratoare.

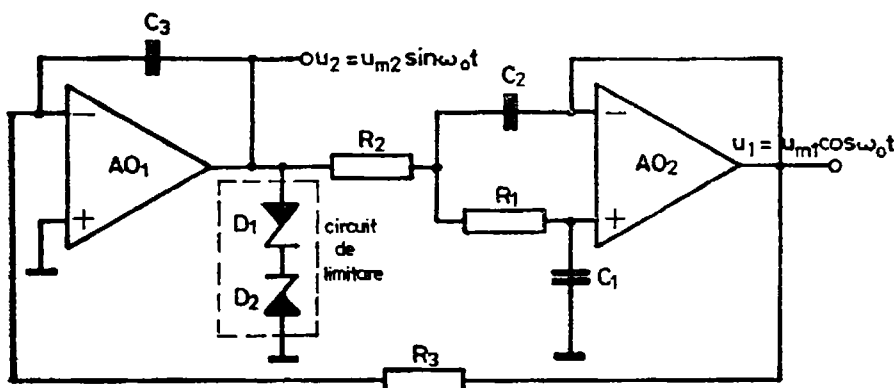


Fig. 2.50. Oscilator în cuadratură cu integrator și filtru activ trece-jos.

litate a frecvenței oscilațiilor. Întrucât majoritatea oscilatoarelor în caudatură de precizie utilizează ca referință schema de principiu prezentată în fig. 2.50, în continuare, toate considerațiile de precizie și stabilitate se referă la acest circuit.

Filtrul activ realizat cu amplificatorul operațional AO_2 are o caracteristică de transfer $H_f(j\omega)$ de tipul Butterworth de ordinul doi [60]:

$$H_f(j\omega) = \frac{1}{-\left(\frac{\omega}{\omega_0}\right)^2 + j\sqrt{2}\frac{\omega}{\omega_0} + 1}, \quad (2.82)$$

unde

$$\omega_0 = \frac{1}{\sqrt{R_1 R_2 C_1 C_2}} \quad (2.83)$$

reprezintă pulsăția de rezonanță.

Acest tip de filtru asigură o caracteristică de transfer cu modulul maxim plat în banda de trecere și care scade rapid (-40 dB/dec) în afara ei. Ca urmare filtrul nu participă la determinarea amplitudinii oscilațiilor, ci asigură doar, prin caracteristica de fază, selectivitatea reacției pozitive din oscilator.

Responsabil de valoarea și stabilitatea amplitudinii oscilațiilor rămîne practic numai integratorul realizat cu amplificatorul operațional AO_1 .

În ipoteza că se ia în considerare rezistența finită de pierderi paralele R_p , a condensatorului, funcția de transfer $H_I(j\omega)$ a integratorului real este

$$H_I(j\omega) = -\frac{1}{\frac{R_s}{R_p} + j\omega C_s R_p} \quad (2.84)$$

(și care desigur conduce la expresia funcției de transfer a integratorului ideal, pentru $R_p \rightarrow \infty$). Modulul

$$|H_I(j\omega)| = \frac{1}{R_s \sqrt{\frac{1}{R_p^2} + (\omega C_s)^2}} \quad (2.85)$$

și argumentul funcției de transfer

$$\operatorname{tg} \varphi_I = \omega C_s R_p = \frac{1}{\operatorname{tg} \delta} \quad (2.86)$$

sînt reprezentate grafic în fig. 2.51 a, atît pentru integratorul ideal, cît și pentru cel real.

Din analiza graficului și a relațiilor stabilite pentru integratorul real se observă că modulul funcției de transfer a integratorului real este mai mic decît cel calculat pentru integratorul ideal. Ca urmare, pentru această schemă, amplitudinile celor două oscilații U_{m1} , U_{m2} obținute la ieșiri vor avea valori ușor diferite.

Avînd în vedere că amplificatoarele operaționale sînt prevăzute cu reacție a variației surselor de alimentare și că funcționează cu o reacție negativă puternică, stabilitatea amplitudinii oscilației va fi dictată, în

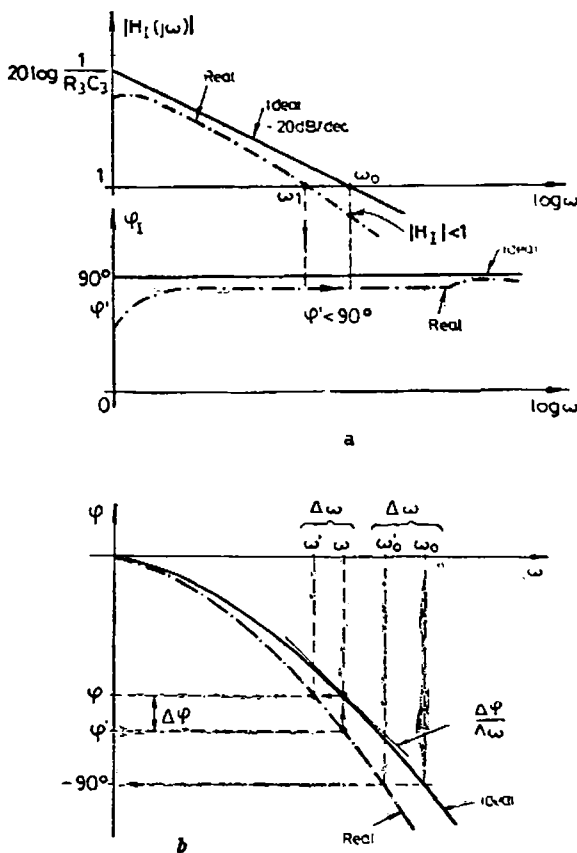


Fig. 2.51. Caracteristicile de transfer și de fază ale integratorului și caracteristica fază-frecvență a oscilatorului.

principal, de circuitul de limitare a amplitudinii, realizat cu diodele zener D_1 , D_2 și de variația în timp și cu temperatura a parametrilor componentelor utilizate.

În [69] se arată că stabilitatea amplitudinii oscilațiilor este dependentă de toleranța și coeficienții de temperatură ai componentelor pasive din schema oscillatorului. Există desigur posibilitatea teoretică de a obține la o anumită frecvență, într-un domeniu limitat de temperatură, o variație relativă nulă a modulului funcției de transfer a integratorului real, dacă se sortează atent componentele (în rapoarte bine stabilite și cu coeficienți de temperatură convenabil adoptați).

Întrucât frecvența de oscilație este dependentă de variația totală a fazei, precizia și stabilitatea frecvenței de oscilație trebuie analizate împreună, considerind caracteristica fază-frecvență a oscillatorului. Se poate arăta [69] că, într-o primă aproximare, precizia frecvenței de oscilație

este dependentă de toleranța componentelor pasive din schema filtrului. Dar, pentru o anumită frecvență, defazajul introdus de filtru φ , este dependent de modificarea pulsării de rezonanță ω_0 datorită variației cu temperatura a componentelor din schema filtrului

$$\Delta\varphi_F = - \frac{\sqrt{2}\omega(\omega^2 + \omega_0^2)}{\omega^4 + \omega_0^2} \Delta\omega_{F0} \quad (2.87)$$

O analiză similară, făcută pornind de la funcția de transfer a integratorului real, conduce la concluzia că, datorită modificării cu temperatura a unghiului de pierderi δ al condensatorului de integrare, defazajul total introdus de integratorul φ , suferă o variație

$$\Delta\varphi_I = -\Delta\delta. \quad (2.88)$$

Condiția de fază pentru generarea oscilațiilor impune

$$\Delta\varphi_I + \Delta\varphi_F = 0. \quad (2.89)$$

După înlocuiri și simplificări, se obține relația care descrie dependența de temperatură și de toleranța componentelor a frecvenței de oscilație

$$\frac{\Delta\omega_0}{\omega_0} = - \frac{1}{2} \left(\frac{\Delta R_1}{R_1} + \frac{\Delta R_2}{R_2} + \frac{\Delta C_1}{C_1} + \frac{\Delta C_2}{C_2} \right) - \frac{\omega^4 + \omega_0^4}{\sqrt{2}\omega \cdot \omega_0(\omega^2 + \omega_0^2)} \cdot \Delta\delta. \quad (2.90)$$

Aceste abateri sunt reprezentate grafic pe caracteristica reală fază-frecvență a oscilatorului, dată în fig. 2.51, b.

Graficul indică modul în care se modifică frecvența de oscilație față de valoarea proiectată, datorită toleranțelor și dependenței de temperatură a componentelor electronice pasive din schema oscilatorului. Întrucât defazajul introdus de integratorul real este mai mic decât 90° și depinde puternic de calitatea condensatorului de integrare, oscilațiile în cuadratură realizate după această schemă nu vor oscila pe frecvență impusă, ci la o frecvență puțin mai mică.

Din analiza relațiilor stabilite și a graficelor prezentate în fig. 2.51, a și fig. 2.51, b se desprind următoarele recomandări practice, care trebuie luate în considerație la proiectarea oscilatoarelor în cuadratură realizate după schema din fig. 2.50 :

- pentru o pornire sigură sau pentru evitarea întreruperii oscilațiilor, datorită modificării temperaturii, apare necesitatea asigurării unei amplificări supraunitare pentru integrator, chiar cu riscul creșterii distorsiunilor de neliniaritate ;

- egalarea amplitudinii oscilațiilor furnizate la cele două ieșiri se poate realiza simplu, punând o rezistență R_3 de valoare mai mică decât cea obținută prin proiectare (o rezistență fixă R_3' și un potențiometru semireglabil P , ca în fig. 2.52) ;

- stabilitatea amplitudinii oscilațiilor fiind determinată și de variația tensiunilor de deschidere a diodelor de limitare, pentru a evita împerecherea celor două diode D_1, D_2 este bine să se introducă suplimentar o rezistență $R_4 \gg r_d + r_s$, aşa cum se arată în fig. 2.52. În acest fel se reduc

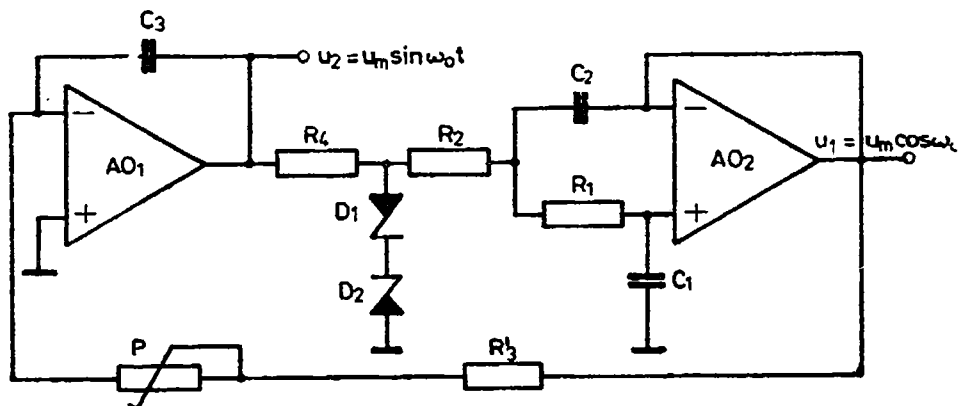


Fig. 2.52. Oscilator în cuadratură cu pornire sigură și distorsiuni neliniare scăzute.

distorsiunile de neliniaritate, întrucât semnalul $U_2 = U_m \sin \omega_0 t$ nu se mai culege direct de pe circuitul de limitare;

— pentru a crește stabilitatea frecvenței de oscilație, se impune utilizarea unui condensator C_3 de calitate (multistrat, mică) și pentru integratorul AO_1 se recomandă utilizarea unui amplificator operațional de precizie (ROB308);

— Relația (2.90) indică posibilitatea compensării parțiale a efectelor produse de toleranță finită a componentelor pasive și de modificarea parametrilor electrici cu temperatură. Prin alegerea corespunzătoare a componentelor, se pot obține — într-un domeniu limitat de temperatură — oscilatoare de precizie cu o stabilitate ridicată a frecvenței de oscilație.

A fost realizat un oscilator în cuadratură după schema din fig. 2.52, care furnizează semnale sinusoidale și cosinusoidale cu amplitudinea 3,1 V cu frecvența $f_0 = 2560$ Hz. S-au utilizat amplificatoare operaționale de tip β A741J alimentate la tensiuni continue de ± 12 V, rezistențe cu peliculă metalică; $R_1 = R_2 = 82 \text{ k}\Omega \pm 1\%$; $R_3 = 62 \text{ k}\Omega \pm 1\%$; $R_4 = 330 \text{ k}\Omega \pm 1\%$; $P = 25 \text{ k}\Omega / 0,5 \text{ W}$; condensatoare stiroflex $C_1 = C_3 = 510 \text{ pF} / 63 \text{ V}$, $C_2 = 1,1 \text{ nF} / 63 \text{ V}$ și diode Zener $D_1 = D_2$ de tip DZ6V2Z.

Experimentând oscilatorul în gama temperaturilor: $20-65^\circ\text{C}$, fără o preselecție a componentelor utilizate, s-au obținut variații ale amplitudinii oscilațiilor mai reduse decât 2,4% și distorsiuni neliniare mai mici decât 1,2%. Variațiile frecvenței de oscilație au fost mai mici decât 2,8%, iar stabilitatea de lungă durată mai bună de 0,8%.

În fig. 2.53 se prezintă schema electrică de principiu a unui oscilator RC sinusoidal în domeniul frecvențelor audio, cu distorsiuni de neliniaritate foarte scăzute. Oscilatorul în cuadratură propriu-zis este realizat cu amplificatoarele operaționale AO_1 , AO_2 , iar integratorul realizat cu AO_3 asigură un defazaj suplimentar cu 90° . Reacția negativă este asigurată prin rezistența R_4 , iar reacția pozitivă necesară menținerii oscilațiilor — prin rezistența R_6 .

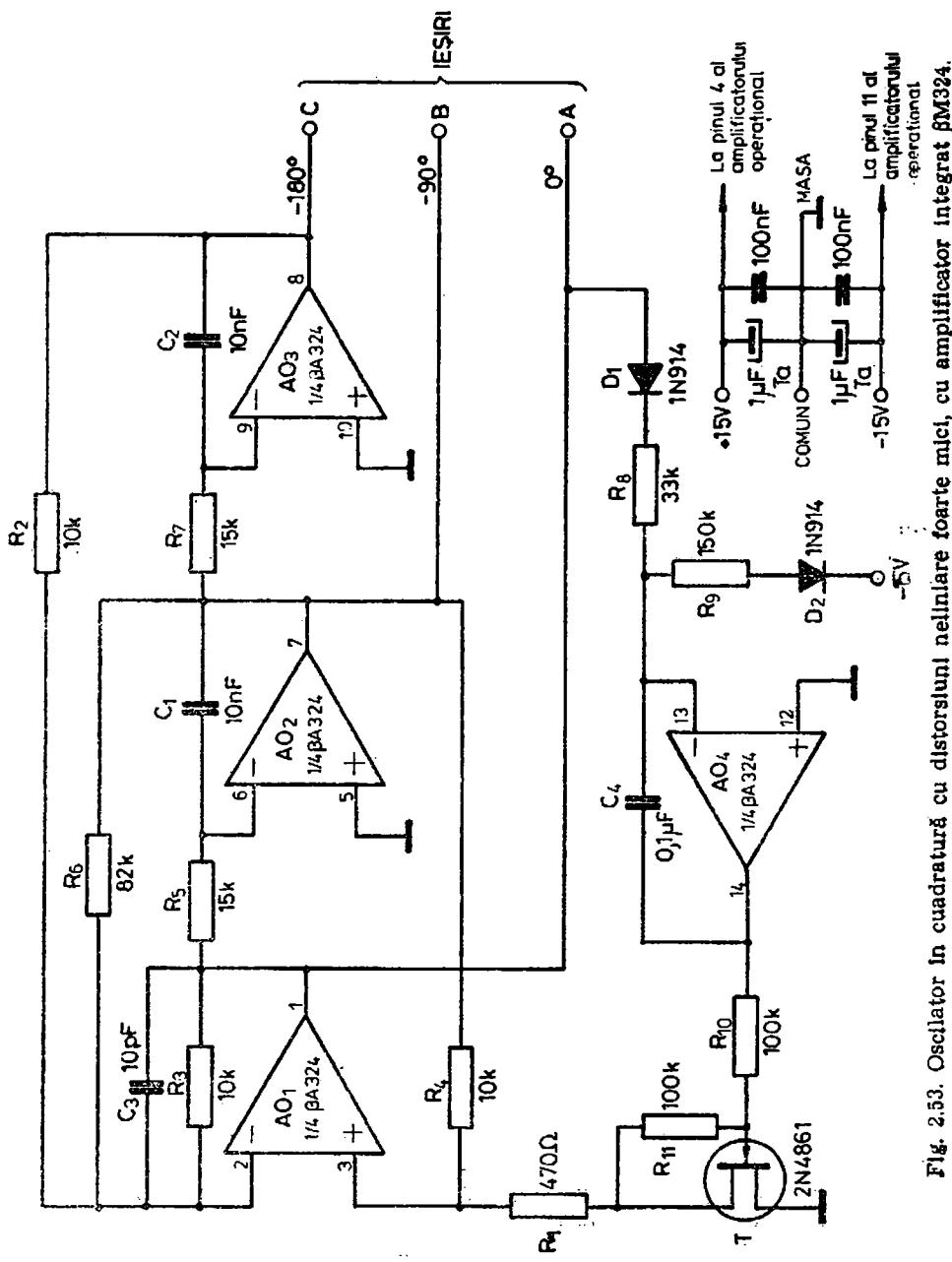


Fig. 2.53. Oscilator în cuadratură cu distorsiuni neliniare foarte mici, cu amplificator integrat μ M324.

Considerind $R_5 = R_7 = R$ și $C_1 = C_2 = C$, frecvența oscilațiilor produse se calculează cu relația

$$f_0 = \frac{1}{2\pi RC}. \quad (2.91)$$

Pentru valorile indicate pe schemă, frecvența de oscilație este aproape de 1 kHz.

Ca și în cazul altor tipuri de oscilatoare sinusoidale, reacția negativă și reacția pozitivă trebuie bine echilibrate, pentru a reduce distorsiunile neliniare. Pentru schema prezentată, echilibrarea celor două reacții este simplificată prin utilizarea unei bucle de control automat al amplificării.

Circuitul de control automat al amplificării cuprinde tranzistorul cu efect de cimp, T , conectat ca rezistență variabilă comandată în tensiune. Tensiunea de comandă este furnizată de integratorul realizat cu AO_4 , care primește la intrare semnalul redresat cu dioda D_1 . Ciștigul mare în curent continuu al integratorului realizat cu AO_4 asigură polarizarea corespunzătoare a grilei tranzistorului T . Rezistoarele R_{10} și R_{11} asigură o reacție negativă locală pentru tranzistorul T , în scopul reducerii distorsiunilor neliniare care apar la pornirea oscilatoarelor în quadratură. Valoarea mare a rezistențelor de reacție ($100 \text{ k}\Omega$) în raport cu rezistența scăzută a tranzistorului T (sute de ohmi) reduce intermodulația parazită a tensiunii de polarizare cu semnalul de curent alternativ. Cădereea de tensiune pe rezistență R_9 , împreună cu tensiunea sursei de -15 V constituie o referință pentru circuitul de control automat al amplificării, care o urmărește, pentru a menține constantă amplitudinea tensiunii de ieșire la aproximativ 5 V .

Oscillatorul din fig. 2.53 asigură distorsiuni neliniare la ieșirea A mai mari de $0,1\%$, distorsiunile măsurate la ieșirile B și C fiind și mai mici datorită filtrelor trece jos și a circuitelor integratoare realizate cu amplificatoarele operaționale AO_2 și AO_3 . Toate cele trei ieșiri au aceeași amplitudine, semnalele furnizate fiind defazate între ele cu 90° . Datorită celor trei faze disponibile la ieșire, că și distorsiunilor neliniare mici, oscillatorul prezentat poate fi utilizat în sisteme de instrumentație sau la comandă și reglajul servosistemelor.

Schema prezentată în fig. 2.54 generează două cercuri concentrice, care pot fi afișate pe tubul catodic cu deflexie electrostatică al unui osciloscop universal cu un singur spot.

Circuitul cuprinde un oscillator în quadratură realizat cu amplificatoarele operaționale AO_1 , AO_2 , care furnizează simultan două semnale sinusoidale cu frecvență $f_0 = 2560 \text{ Hz}$, defazate cu $\frac{\pi}{2}$ ($u_e = U_m \sin \omega t$, $u_o = U_m \cos \omega t$) necesare formării cercurilor pe tubul catodic al osciloskopului. Potențiometrul P_1 asigură reglajul necesar egalării amplitudinii celor două oscilații. Semnalele furnizate de oscillatorul în quadratură sunt disponibile direct (pentru formarea cercului mare) și atenuate (pentru formarea cercului mic) cu divizoarele P_4 , R_8 , respectiv P_5 , R_{10} . Pentru afișarea pe tubul catodic al unui osciloscop cu un singur spot a imaginii

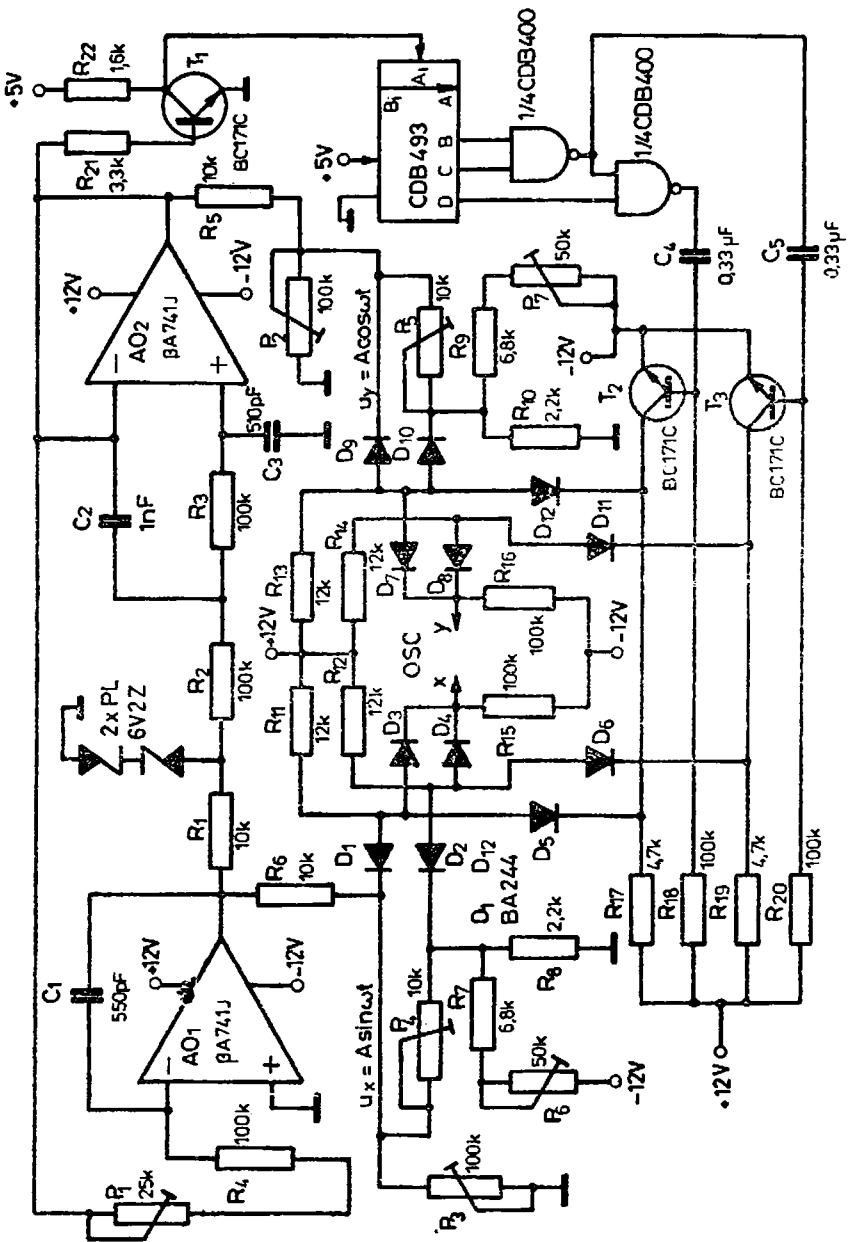


Fig. 2.54. Generator de cercuri concentrice pe tub catodic.

formată din două cercuri concentrice, este necesară multiplexarea celor patru semnale (directe și atenuate) pe fiecare canal al osciloscopului cu o perioadă de repetiție mai mică decât intervalul de persistență a imaginii pe ecran și pe retina ochiului uman (0,1 s).

Multiplexorul analogic realizat cu diode de comutație are două canale independente : canalul care selectează semnalele sinusoidale directe sau atenuate, realizat cu diodele $D_1 \dots D_6$ și canalul care selectează semnalele cosinusoidale directe sau atenuate realizat cu diodele $D_7 \dots D_{12}$.

Semnalele prezentate la cele două intrări ale unui canal din multiplexor sunt conectate, pe rînd, la ieșirea canalului într-o succesiune de stabilită și la intervale de timp determinate de starea de conducție sau blocare a tranzistoarelor T_2 , T_3 . În scopul obținerii semnalelor de comandă pentru multiplexor, sincrone cu cele sinusoidale, se preia de la una din ieșirile oscilatorului în quadratură un semnal sinusoidal, care este transformat cu ajutorul tranzistorului T_1 în impulsuri dreptunghiulare compatibile TTL. Acestea se aplică la intrarea divizorului de frecvență, realizat cu numărătorul CDB493. Ieșirile numărătorului activează circuitul de comandă al multiplexorului implementat cu portile logice CDB400, care blochează secvențial tranzistoarele T_2 , T_3 , determinând succesiunea și perioadele de timp în care se afișează cele două cercuri.

În acest mod, la cele două ieșiri ale multiplexorului analogic, conectate la intrările x și y ale osciloscopului, se obțin semnale repetitive care determină formarea celor două cercuri concentrice.

Potențiometrele P_2 și P_3 permit reglajul amplitudinii pe axele de coordonate ale celor două cercuri, iar potențiometrele P_6 și P_7 corectează axarea cercului mic față de poziția cercului mare.

Generatorul de cercuri concentrice afișate pe tub catodic poate fi utilizat la realizarea unei aparaturi electronice de testare a personalului uman, în laboratoare de medicina muncii, laboratoare de psihologie sau medicină sportivă. Astfel, schema prezentată, dezvoltată cu afișarea simultană pe osciloscop și a unui punct mobil, determinat să execute mișcări coordonate în planul celor două cercuri, poate fi folosită în construcția unui aparat electronic pentru testarea capacităților psiho-motorii ale persoanelor ce deservesc utilaje cu comandă prin manete.

2.9. OSCILATOR LC IN PUNTE

În prezent există posibilitatea realizării oscilatoarelor *LC* cu amplificator operațional pînă la frecvențe de cîteva zeci de MHz. Ca urmare, a fost relansat oscilatorul *LC* în punte [20, 21, 14] al cărui principiu, cunoscut [1], a fost aplicat în circuite cu componente discrete. Acest tip de oscilator prezintă calități deosebite în legătură cu stabilitatea frecvenței și amplitudinii tensiunii de ieșire [1, 21] și este deosebit de simplu (fig. 2.55).

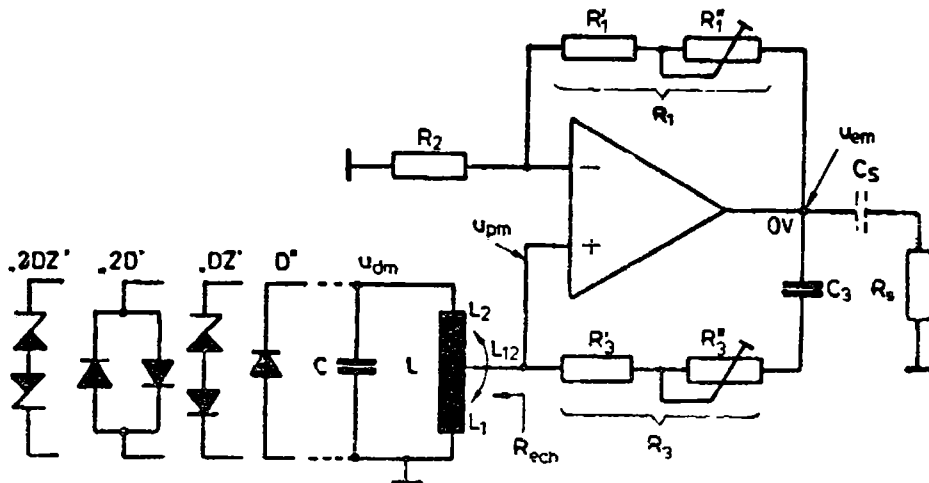


Fig. 2.55. Oscilator LC în punte cu limitare de amplitudine.

În circuit rezistențele R_1 și R_2 realizează reacția negativă ce impune amplificarea de tensiune. Deoarece circuitul oscilant derivatie $L-C$ încearcă la o frecvență foarte apropiată de cea de rezonanță (presupunând că amplificatorul nu introduce defazaj), prin rezistența R_3 și rezistența echivalentă la priză a circuitului oscilant, R_{ech} , se realizează o reacție pozitivă care asigură funcționarea ca oscilator. Condensatorul are rolul de a înălța o reacție pozitivă pentru regim static (este un condensator decuplaj) și reactanța lui trebuie să fie neglijabilă față de R_3 , pentru a nu se introduce defazaje suplimentare în circuitul de reacție.

Oscilatorul LC din fig. 2.55 poate funcționa în bune condiții și fără diodă sau diode de limitare a amplitudinii. Se obțin, și în acest caz, performanțe satisfăcătoare ale tensiunii de ieșire [20] :

- factor de distorsiuni neliniare : $d < 0,1\%$,
- instabilitatea frecvenței la temperatură a mediului aproximativ constantă : $\Delta f/f = 1,5 \cdot 10^{-3}$,
- instabilitatea amplitudinii la temperatură aproximativ constantă $\Delta u_{am}/u_{em} = 0,5 \cdot 10^{-2}$,
- variația relativă a frecvenței cu temperatura : $8 \cdot 10^{-5}/^{\circ}\text{C}$,
- variația relativă a amplitudinii cu temperatura : $6 \cdot 10^{-4}/^{\circ}\text{C}$.

Rezultatele s-au obținut folosind condensator cu polistiren, bobină cu miez de ferită tip oală din material MZ5 [79], un raport $R_1/R_2 = 4$ și o amplitudine a tensiunii de ieșire de 1 V.

Oscilatorul fără limitare de amplitudine are calități bune la variația temperaturii mediului, deoarece nu conține un dispozitiv sensibil la temperatură (junctiuni). Performanțele sunt aici impuse de componente L , C .

Cind stabilitatea frecvenței și amplitudinii în mediu cu temperatură aproximativ constantă nu sunt satisfăcătoare, se impune o limitare de amplitudine, deoarece stabilitatea frecvenței este legată de aceea a ampli-

tudinii [1]. Pentru limitare se poate utiliza un dispozitiv cu acționare într-o singură semiperioadă a tensiunii de la bornele circuitului oscilant (notat cu „D“ sau „DZ“ în fig. 2.55) sau un dispozitiv cu acționare în ambele semiperioade (notat cu „2DZ“ sau „2D“).

În cazul dispozitivelor D și 2D, tensiunea pe circuitul oscilant va avea o amplitudine de ordinul 0,5...0,6 V, iar în celealte două cazuri, o amplitudine de ordinul voltilor, care se poate adopta după necesități. Dioda compusă, notată DZ sau 2DZ, poate include un tip de diodă stabilizatoare cu coeficient de temperatură redus, eventual o diodă compensată termic. Dioda D sau diodele 2D pot fi jonctiuni ale tranzistoarelor din circuitul integrat termostatat βA726 [21]. Aceasta va permite obținerea unor stabilități mai bune ale frecvenței și amplitudinii la modificarea temperaturii mediului.

Desigur, introducerea unei limitări de amplitudine cu dispozitiv nelinier conduce la înrăutățirea factorului de distorsiuni neliniare al tensiunii de ieșire. Creșterea acestui factor este însă neexagerată, aşa cum se va vedea în continuare.

Rezistența de sarcină a circuitului, R_s , poate fi de valoare coborâtă, pînă la 1 kΩ, dar trebuie ținut cont că viteza de urmărire a amplificatorului depinde mult de aceasta și deci frecvența maximă (la o amplitudine dată și la un factor de distorsiuni redus) este limitată superior. Pentru obținerea unor amplitudini mai mari la frecvențe mai ridicate este necesar ca rezistența de sarcină totală (compusă din R_s , R_1+R_2 , R_3+R_{ccb} în paralel) să aibă o valoare, dacă este posibil, peste 10 kΩ [14].

Știind că [1] pentru un raport $R_1/R_2=1$ (adică o amplificare egală cu 2 pentru intrarea neinversoare) se obține stabilitatea maximă a frecvenței de oscilație, în cazul unui astfel de raport impus și a unor tensiuni u_{em} și u_{dm} (pe dioda de limitare) impuse, este necesar să se utilizeze o priză pe bobina circuitului oscilant. O priză pe brațul capacativ nu poate fi utilizată practic, din cauza complicării circuitului de polarizare a intrării neinversoare a amplificatorului.

Un dezavantaj al acestui tip de oscilator îl constituie faptul că modificarea frecvenței de oscilație prin intermediul componentelor L , C , cu menținerea constantă a amplitudinii, se poate face doar într-o gamă foarte restrînsă.

Funcționarea diodelor ca dispozitiv de limitare în acest tip de oscilator se bazează pe modificarea rezistenței lor dinamice „de vîrf“ în funcție de amplitudinea tensiunii aplicate. Astfel, pentru vîrful tensiunii alternative de pe circuitul oscilant, o diodă ajunge într-un punct de funcționare din cota caracteristicii curent-tensiune (fig. 2.56), în care rezistența dinamică de semnal mic, r_{dm} (avind valorile din tabelul 2.3), este puternic dependentă de tensiune. Variatia amplitudinii tensiunii de ieșire a oscillatorului dintr-o cauză oarecare conduce la modificarea rezistenței r_{dm} , iar aceasta — la modificarea rezistenței echivalente R_{ccb} (prezentată de circuitul oscilant la priză). Are loc în continuare o modificare a divizării tensiunii u_{em} pe R_3 și R_{ccb} , care face ca tensiunea de la intrarea neinversoare a amplificatorului — u_{pm} — să se modifice în sensul de readucere a tensiunii de ieșire spre valoarea prevăzută.

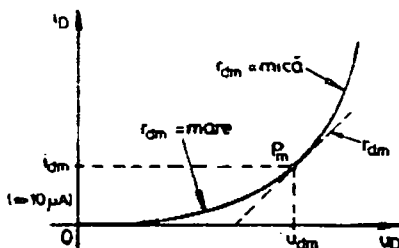


Fig. 2.56. Definirea rezistenței dinamice „de virf“ a diodeli de limitare

Stabilirea valorii rezistențelor dinamice „de virf“ se face astfel încât să se asigure un compromis între eficiența limitării de amplitudine și menținerea factorului de distorsiuni neliniare (fig. 2.56).

Valoarea rezistenței dinamice recomandate pentru diferite tipuri de dispozitive de limitare este dată în tabelul 2.3.

Tabelul 2.3

Tipul dispozitivului	D	2D	DZ	2DZ
r_{d_m} [kΩ]	0,5 ... 1,5	1,5 ... 2,5	2,5 ... 3,5	3,5 ... 4

Din cauza unor curenti mai mari prin diodele stabilizatoare decât prin diodele obișnuite (de comutare) pentru aceleași valori ale rezistenței dinamice de virf, distorsiunile neliniare sunt mai mari în cazul primei diode [14]. Din acest motiv, la dispozitivele cu diode stabilizatoare se sacrifică parțial eficiența limitării de amplitudine pentru menținerea factorului de distorsiuni neliniare la o valoare acceptabilă. Astfel, se lucrează cu valori r_{d_m} mai mari decât la diode simple.

Trebuie remarcat faptul că rezistența cu care intervine un dispozitiv de limitare în paralel cu circuitul oscilant nu este r_{d_m} , ci o rezistență de valoare mult mai mare [14, 21] care nu afectează exagerat de mult factorul de calitate al circuitului LC.

Cea mai bună soluție de limitare a amplitudinii oscilațiilor o constituie aceea a două diode în antiparalel (2D), realizată cu jonctiuni de tranzistorie din circuitul integrat termostatat de tip βA726 [21].

Calculul unui oscilator LC în puncte este prezentat în [14]. Sunt importante cîteva etape ale acestui calcul. Astfel, alegerea amplificării cu reacție pentru intrarea inversoare se face pe baza relației :

$$A_a = \frac{R_1}{R_2} > \frac{2\pi f_0 u_{cm}}{\left(\frac{du_s}{dt}\right)_{max}}. \quad (2.92)$$

În care f_0 este frecvența de oscilație, iar la numitor apare viteza de urmărire (slew-rate) la amplificare unitară, a amplificatorului integrat adoptat.

Factorul de conectare al bobinei este

$$k = \frac{1}{1+A_u} \frac{u_{em}}{u_{cm}}, \quad (2.93)$$

iar cind rezultă supraunitar se stabilește la valoarea 1, recalculindu-se amplificarea de tensiune. Factorul de conectare se definește

$$k = \frac{u_{em}}{u_{cm}} = \frac{L+L_1-L_2}{2L}, \quad (2.94)$$

unde intervin inductanțele totală și ale secțiunilor bobinei.

Dimensionarea rezistenței de reacție pozitivă R_3 , în cazul unei limitări cu diodă simplă, se face cu ajutorul relației

$$R_3 \cong k^2 Z_{r0} \frac{2,2 r_{dm} A_u - X_L}{2,2 r_{dm} + X_L}. \quad (2.95)$$

În cazul unei limitări cu dispozitiv „2D“, coeficientul 2,2 al lui r_{dm} se înlocuiește cu 0,5, iar în cazul unui dispozitiv „DZ“ cantitatea din membră drept al relației se înmulțește cu 0,5. Pentru cazul dispozitivului „2DZ“ nu a fost încă stabilită corecția ce trebuie făcută în formula de mai sus.

În relație intervin următoarele mărimi :

- impedanța la rezonanță a circuitului LC neîncărcat

$$Z_{r0} = \frac{X_L^2}{R_{ps}}, \quad (2.96)$$

— reactanța bobinei la frecvența de rezonanță, X_L ,

— rezistența de pierderi serie a circuitului oscilant neîncărcat, R .

[14, 15].

Este important, mai ales la frecvență joasă, să se obțină pentru o valoare mare, astfel încât să rezulte o capacitate mică a condensatorului de cuplaj C_3 (nu se poate utiliza condensator electrolitic) și să se evite încărcarea puternică a ieșirii de către ramura $R_3 - R_{cm}$.

În cazul cind nu se utilizează limitare de amplitudine, relația lu se reduce la

$$R_3 = k^2 Z_{r0} A_u. \quad (2.97)$$

La un oscilator cu limitare de amplitudine prin diodă simplă nete, măstată, stabilind punctul de funcționare de virf ca în fig. 2.57, se poate realiza următoarele performanțe (în aceleasi condiții pentru care s-a prezentat performanțele oscilatorului fără limitare de amplitudine) :

— factor de distorsiuni neliniare : $d = 0,175\%$

— instabilitatea frecvenței la temperatură a mediului aproximativ constantă $\Delta f/f < 10^{-4}$,

— instabilitatea amplitudinii în aceleasi condiții

$$\Delta u_{em}/u_{em} = 7 \cdot 10^{-4},$$

— variația relativă a frecvenței cu temperatura : $1,2 \cdot 10^{-4}/^\circ C$,

— variația relativă a amplitudinii cu temperatura : $3,7 \cdot 10^{-5}/^\circ C$.

Intr-adevăr, pentru o temperatură aproximativ constantă a mediului se obțin performanțe mult îmbunătățite, dar crește sensibilitatea la variația temperaturii. În schimb, prin utilizarea limitării de amplitudine, va-

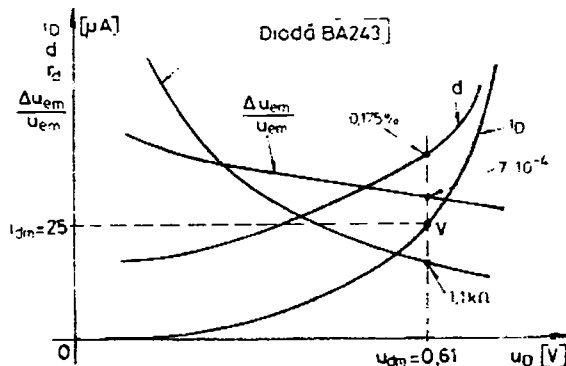


Fig. 2.57. Alegerea punctului de virf pentru dioda β A243.

Variația tensiunii de alimentare și a sarcinii oscilatorului nu mai are practică efect asupra amplitudinii și frecvenței tensiunii de ieșire.

În scopul compensării termice a dispozitivului de limitare, se poate folosi o combinație între o diodă stabilizatoare cu tensiunea nominală de 4,7...5,6 V și o diodă simplă (dispozitiv „DZ“), care va lucra însă cu o tensiune de virf $u_{dm} = 3,1 \dots 4,1$ V pentru ca să se atingă o rezistență $r_{dm} = 2,5 \dots 3,5$ k Ω . Eficiența limitării de amplitudine se reduce, distorsiunile neliniare cresc, dar variația relativă a amplitudinii cu temperatura se poate îmbunătăți de 10 ori față de cazul utilizării unei diode simple [14].

Pentru ajustarea amplitudinii tensiunilor pe dispozitivul de limitare și la ieșirea oscilatorului (u_{dm} și u_{-m}) sunt necesare două rezistențe semi-variaibile (imprecizia calculelor poate fi de 10%). După ajustare, acestea pot fi înlocuite cu rezistențe fixe.

În fig. 2.58 se prezintă schema concretă a unui oscilator în punte cu amplificator operațional, având limitare de amplitudine cu două diode termostatare în antiparalel [21]. Diodele sunt de fapt jonctiuni colectoare de tranzistoare din circuitul integrat termostatat β A726. Punctul de funcționare de virf al acestor diode s-a stabilit, astăzi cum se arată în fig. 2.59, la o tensiune $u_{dm} = 0,475$ V și $i_{dm} = 22$ μ A, unde $r_{dm} \approx 2$ k Ω .

Oscilatorul din fig. 2.58 prezintă $u_{dm} = 1$ V; frecvența de oscilație de 23,5 kHz și utilizează un raport $R_1/R_2 = 1$, un circuit oscilant cu factor de calitate fără încărcare $Q_0 = 35$, o bobină realizată pe miez de ferită MZ5 de tip oval, cu $L = 1,9$ mH, un condensator de stiroflex cu $C = 24$ nF și numai rezistențe cu peliculă metalică.

S-au obținut la acest oscilator următoarele performanțe la temperatură aproximativă constantă :

- instabilitatea frecvenței : mai mică de $3 \cdot 10^{-5}$
- instabilitatea amplitudinii : mai mică de $2 \cdot 10^{-4}$,
- factor de distorsiuni neliniare : 0,11%, care sunt mai bune decât cele realizate la un oscilator similar cu o singură diodă simplă în aceleși condiții.

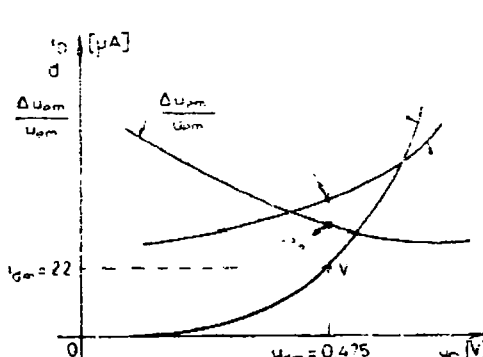
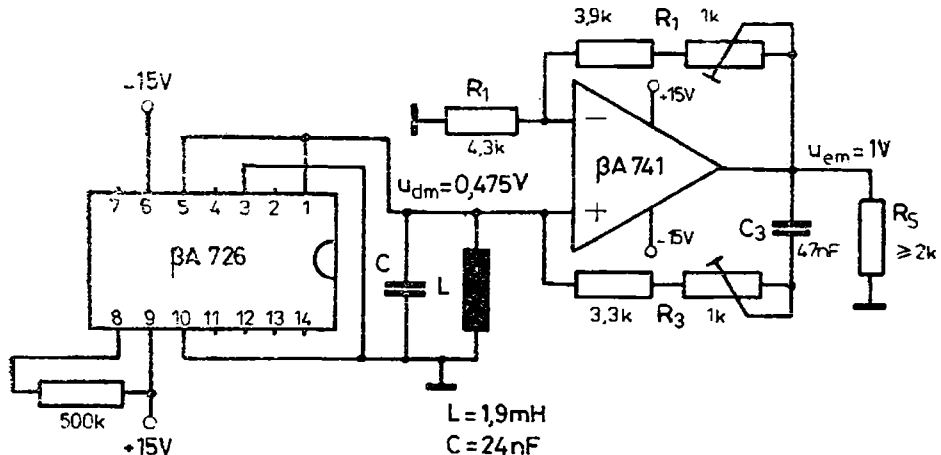


Fig. 2.59. Stabilirea punctului de virf al diodelor termostatate.

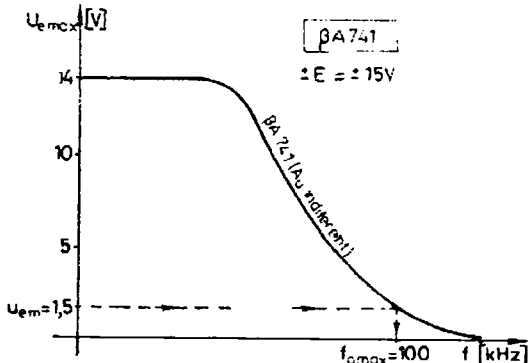


Fig. 2.60. Caracteristica amplitudine semnal sinusoidal-frecvență maximă a amplificatorului $\beta A741$.

La temperatură variabilă a mediului s-au obținut performanțele
 — variația relativă a frecvenței: $1,3 \cdot 10^{-4}/^{\circ}\text{C}$,
 — variația relativă a amplitudinii $1 \cdot 10^{-3}/^{\circ}\text{C}$,
 care tind spre valorile realizate la oscilatorul fără limitare de amplitudine, ceea ce este normal, deoarece efectul temperaturii prin intermediul diodelor termostatate este aproape complet suprimit.

Performanțele obținute atestă eficiența soluției din fig. 2.58.

Cu ajutorul unui amplificator integrat $\beta A741$ se pot realiza oscilații sinusoidale LC (sau RC) pentru amplitudine de $1,5$ V pînă la o frecvență maximă de ordinul a 100 kHz (fig. 2.60).

2.10. FILTRU ACTIV TRECE-BANDĂ CU REACȚIE MULTIPLĂ

Filtrele active de tip Butterworth asigură cea mai plată caracteristică amplitudine-frecvență în banda de trecere, și pe măsură ce ordinul funcției de transfer crește, caracteristica reală se apropie de caracteristica ideală.

Caracteristica normată trece-bandă de tip Butterworth de ordinul n este [80]

$$H(s) = \frac{(11)^n K}{P_n(s)}, \quad (2.98)$$

unde s este frecvență normată complexă, K — constantă pozitivă și $P_n(s)$ — polinomul Butterworth de ordinul n , dat de expresia

$$P_n(s) = s^n + a_{n-1}s^{n-1} + \dots + a_1s + 1. \quad (2.99)$$

În acest fel caracteristica filtrului trece-bandă de ordinul întii este

$$H_1(s) = -\frac{K_1}{s+1}. \quad (2.100)$$

Pentru a obține caracteristica de transfer în banda de trecere nenormată, se transformă relația (2.100) folosind notația

$$S = \frac{\omega_0}{\Delta\omega} \left(\frac{s}{\omega_0} + \frac{\omega_0}{s} \right) \quad (2.101)$$

unde : ω_0 — pulsația la rezonanță și $\Delta\omega$ banda frecvențelor de trecere. Rezultă astfel

$$H_1(s) = -\frac{K_1 \cdot \Delta\omega \cdot s}{s^2 + \Delta\omega \cdot s + \omega_0^2} \quad (2.102)$$

și similar, caracteristica de transfer de ordinul doi

$$H_2(s) = \frac{K_2 \cdot \Delta\omega^2 \cdot s^2}{s^4 + \gamma \cdot \Delta\omega \cdot s^3 + (2\omega_0^2 + \Delta\omega^2)s^2 + \gamma \cdot \omega_0^2 \cdot \Delta\omega \cdot s + \omega_0^4}. \quad (2.103)$$

Această expresie se mai poate scrie

$$H_2(s) = H_{21}(s) \cdot H_{22}(s) \quad (2.104)$$

unde

$$H_{21}(s) = -\frac{K_{21} \cdot \Delta\omega \cdot s}{s^2 + \alpha \cdot \omega_{01} s + \omega_{01}^2}; \quad H_{22}(s) = -\frac{K_{22} \cdot \Delta\omega \cdot s}{s^2 + \alpha \cdot \omega_{02} s + \omega_{02}^2}. \quad (2.105)$$

Prin identificarea coeficienților din relațiile (2.103) și (2.104) se obține sistemul

$$\begin{cases} \alpha(\omega_{01} + \omega_{02}) = \gamma \cdot \Delta\omega \\ \omega_{01}^2 + \alpha^2 \cdot \omega_{01} \cdot \omega_{02} + \omega_{02}^2 = 2 \cdot \omega_0^2 + \Delta\omega^2 \\ \omega_{01}^2 \cdot \omega_{02}^2 = \omega_0^4, \end{cases} \quad (2.106)$$

care permite determinarea pulsăriilor $\omega_{01,2}$:

$$\omega_{01,2} = \frac{\sqrt{(4-\alpha^2)\omega_0^2 + \Delta\omega^2 \pm \sqrt{\Delta\omega^2 - \alpha^2 \cdot \omega_0^2}}}{2}. \quad (2.107)$$

Condiția de existență a radicalilor

$$\Delta\omega^2 - \alpha^2 \cdot \omega_0^2 > 0 \quad (2.108)$$

este satisfăcută pentru

$$\alpha < \frac{\Delta\omega}{\omega_0} = \delta. \quad (2.109)$$

Dacă inegalitatea (2.109) este adevarată, atunci este satisfăcută și condiția

$$(4-\alpha^2) \cdot \omega_0^2 + \Delta\omega^2 > 0. \quad (2.110)$$

În aceste condiții, pulsăriile ω_{01}, ω_{02} sunt reale, pozitive și se pot calcula cu relațiile

$$\omega_{01} = a\omega_0; \quad \omega_{02} = \frac{\omega_0}{a}, \quad (2.111)$$

unde :

$$a = \sqrt{\frac{\delta^2 - \alpha^2}{4} + 1} + \sqrt{\frac{\delta^2 - \alpha^2}{4}} \quad (2.112)$$

Desvoltind rezultă

$$\alpha^2 = \frac{4 + \delta^2 \pm \sqrt{(4 + \delta^2)^2 - 4\gamma^2 \cdot \delta^2}}{2}, \quad (2.113)$$

unde este necesară condiția

$$4 + \delta^2 \geq 2\gamma\delta. \quad (2.114)$$

Dacă coeficientul $\gamma < 2$, inegalitatea (2.114) este totdeauna satisfăcută, dacă factorul de calitate $\frac{1}{\delta} > 1$.

Pentru a se asigura filtrului un factor de calitate supraunitar, în relația (2.113) se consideră numai semnul minus în fața radicalului, și atunci

$$a = \sqrt{\frac{4 + \delta^2 - \lambda}{2}}, \quad (2.115)$$

cu :

$$\lambda = \sqrt{(4 + \delta^2)^2 - 4\gamma^2 \delta^2}. \quad (2.116)$$

La baza construirii filtrelor active trece-bandă cu reacție multiplă de ordinul n stau celule elementare de filtre trece-bandă cu caracteristică de tip Butterworth de ordinul întii sau doi, conectate în cascadă [80].

Schema filtrului activ trece-bandă cu reacție multiplă din fig. 2.8 prezintă avantajul utilizării unui număr scăzut de componente pasive

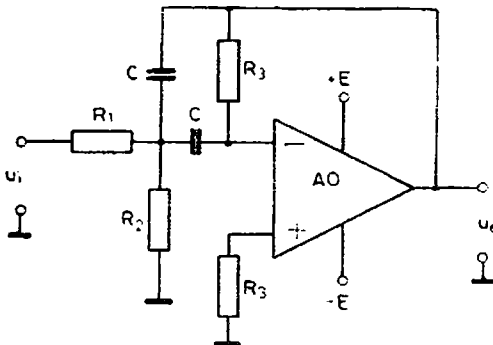


Fig. 2.61. Schema unei celule de filtru activ trece-bandă cu reacție multiplă.

Funcție de transfer pentru celula elementară este

$$H(s) = \frac{\frac{1}{R_1 \cdot C} \cdot s}{s^2 + \frac{2}{R_s C} s + \left(\frac{1}{R_1} + \frac{1}{R_s} \right) \cdot \frac{1}{R_s C^2}} \quad (2.117)$$

Alegind convenabil valoarea condensatorului C (pentru banda de trecere dorită) și precizând valoarea constantei K_1 , din relațiile (2.102) și (2.117) se obțin expresiile de calcul al rezistoarelor din schemă :

$$\begin{cases} R_1 = \frac{1}{K_1 \cdot \Delta\omega \cdot C} \\ R_2 = \frac{\Delta\omega}{(2\omega_0^2 - K_1 \cdot \Delta\omega^2)C} \\ R_s = \frac{2}{C \cdot \Delta\omega}. \end{cases} \quad (2.118)$$

Dacă se dorește obținerea unei funcții de transfer de forma $H_{2i}(s)$ cu coeficienții K_{2i} ($i=1, 2$) preziati, atunci din relațiile (2.105) și (2.117) se obțin

$$\begin{cases} R_1 = \frac{1}{K_{2i} \cdot \Delta\omega \cdot C} \\ R_2 = \frac{\alpha}{(2\omega_{0i} - \alpha \cdot K_{2i} \cdot \Delta\omega)C} \\ R_s = \frac{2}{\alpha \cdot \omega_{0i} \cdot C} \end{cases} \quad (2.119)$$

Pe baza relațiilor prezентate s-a proiectat și experimentat un filtru activ trece-bandă cu reacție multiplă având impuse

$$f_0 = 400 \text{ Hz}; \Delta f = 200 \text{ Hz}.$$

Utilizind două celule elementare de filtru activ după schema prezentată în fig. 2.61 cu caracteristică de tip Butterworth de ordinul doi, conectate în cascadă, s-au calculat coeficienții :

$$\delta = 0,5, \lambda = 4, \gamma = 1,41, x^2 = 0,125, a = 1,19, f_{01} = 476 \text{ Hz}, f_{02} = 336 \text{ Hz}.$$

Considerind $K_{21} = K_{22} = \omega = 0,353$ și $C = 20 \text{ nF}$ sau obținut următoarele valori pentru rezistoarele din schemă

Celula 1 $R_1 = 113 \text{ k}\Omega ; R_2 = 3,05 \text{ k}\Omega ; R_3 = 94,6 \text{ k}\Omega$,

Celula 2 : $R_1 = 113 \text{ k}\Omega ; R_2 = 4,37 \text{ k}\Omega ; R_3 = 134 \text{ k}\Omega$.

S-au utilizat condensatoare de polistiren și rezistențe cu peliculă metalică.

Amplificatoarele operaționale utilizate în schema filtrului trecebandă prezentat au fost de tip βA741J. Caracteristica de transfer reală a filtrului experimentat a rezultat cu : $f_0 = 420 \text{ Hz}$ și $\Delta f = 190 \text{ Hz}$ (apropiate de cele impuse la calcul). Filtrul a prezentat ambele pante de 80 dB/dec și o atenuare a semnalului în mijlocul benzii de 4,2. Trebuie remarcat faptul că folosirea unor condensatoare cu pierderi mici (cu polistiren) este obligatorie cînd rezistențele filtrului rezultă de valori mari ($> 100 \text{ k}\Omega$). De asemenea, se constată că nu este încă pusă la punct o soluție pentru împunerea sau calculul în avans a atenuării filtrului la mijlocul benzii.

2.11. COMPARATOR INDICATOR CU FEREASTRĂ

În literatura de specialitate este cunoscută schema pentru comparator cu fereastră ce utilizează două comparatoare dedicate.

În fig. 2.62 se prezintă o aplicație în care se stabilește dacă tensiunea de urmărit este mai mare decît pragul superior al ferestrei de tensiune, dacă este cuprinsă între cele două praguri sau dacă este mai mică decît pragul inferior de tensiune. Comparatoarele sunt realizate cu amplificatoare operaționale.

Tensiunea de intrare U_i poate fi aplicată direct sau printr-un divizor $R_4 - R_5$. Dacă U_i nu depășește tensiunea $+E$, divizorul poate să lipsească.

Nivelurile tensiunilor de prag cu care se face comparația se calculează simplu cu relațiile :

$$U_1 = \frac{E}{R_1 + R_2 + R_3} (R_2 + R_3) \quad (2.120)$$

$$U_2 = \frac{E}{R_1 + R_2 + R_3} R_3. \quad (2.121)$$

Diodele luminiscente indică, succesiv, dacă tensiunea este prea mare, în limite normale sau prea mică. Ele se pot alege și de culori diferite (de

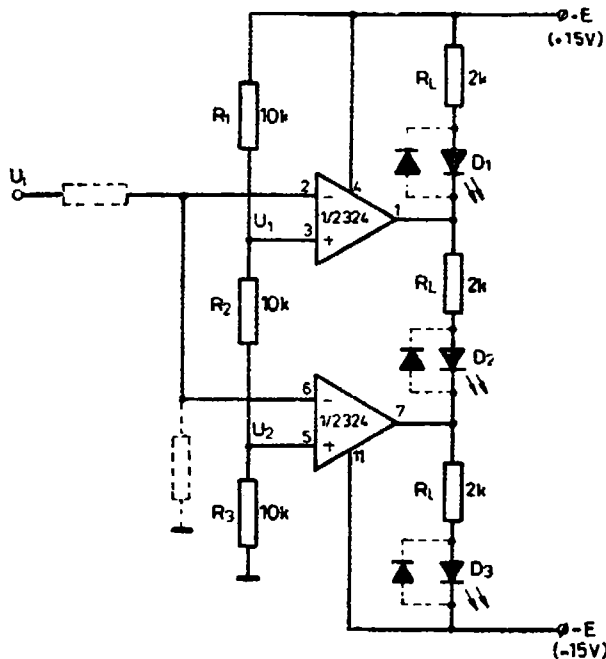


Fig. 2.62. Comparator-indicator cu fereastră cu circuit β M324.

exemplu D_1 — roșu, D_2 — verde și D_3 — galben). Rezistențele R_L de limitare a curentului prin diode se calculează cu relația :

$$R_L = \frac{2E}{10 \div 15 \text{ mA}} \cdot [k\Omega] \quad (2.122)$$

Ca și comparatoare sunt utilizate două amplificatoare operaționale. Se poate utiliza circuitul β M358 (dublu amplificator operațional) sau circuitul β M324 (amplificator operațional quadruplu), pentru a se folosi un singur circuit integrat.

Funcționarea schemei este simplă. Dacă U_1 este mai mare decit U_2 , amplificatoarele comparatoare A_1 , A_2 au la ieșire nivelul $-E$. Prin urmare, numai dioda D_1 are tensiune pozitivă în anod și negativă în catod și luminează, în timp ce D_2 și D_3 sunt blocate. Dacă U este cuprinsă între U_1 și U_2 , A_1 are la ieșire $+E$ iar A_2 — nivelul $-E$. Deci, D_1 este blocată, D_2 conduce și luminează, iar D_3 este blocată. Dacă U_1 este sub nivelul U_2 , A_1 și A_2 au la ieșire nivelul $+E$ și D_1 , D_2 sunt blocați, iar D_3 va conduce indicind tensiune sub pragul minim.

In fig. 2.62 este dată o aplicație concretă în care U_1 variază între 0 și 15 V și trebuie comparată cu pragurile +10 V și +5 V. S-au utilizat două amplificatoare din circuitul β M324. Pentru o eventuală protejare a diodelor luminiscente la tensiune inversă, se pot conecta în antiparalel cu fie-

care cite o diodă (1N4001). Se mai pot adăuga rezistențe de $10\text{ M}\Omega$ între ieșirile lui A_1 și A_2 și intrările lor neinversoare pentru a asigura un histerezis.

Diodele luminiscente pot fi din cîte un optocuplou. În acest caz se pot sintetiza semnale de comandă (de exemplu de nivel TTL) în funcție de nivelul tensiunii de intrare U_i .

2.12. TRADUCTOR INDUCTIV DE POZIȚIE ȘI VIBRAȚII SPAȚIALE

Există o varietate bogată de aplicații care solicită determinarea cu precizie a poziției unui obiect sau detectarea și înregistrarea vibrațiilor spațiale ale obiectului în jurul unei poziții relative de echilibru. În literatură de specialitate [55, 56, 57] sunt prezentate numeroase metode și principii de realizare a traductoarelor de poziție și vibrații spațiale, dar nu toate sunt precise sau comode de aplicat. La construcția și realizarea traductoarelor de poziție și vibrații spațiale, metodele inductive s-au dovedit de mare sensibilitate și precizie, în raport cu realizarea relativ simplă a lor. Un astfel de traductor inductiv de poziție și vibrații spațiale este construit după schema electrică de principiu prezentată în fig. 2.63 [58].

Oscilatorul de înaltă frecvență, de tip Clapp modificat, realizat cu tranzistorul T_1 , furnizează oscilații sinusoidale cu frecvență de 220 MHz și amplitudinea de 10 V virf la virf.

Prin intermediul bobinei L_1 oscilatorul creează în spațiul supus detecției un cîmp electromagnetic de înaltă frecvență. Apariția unui obiect în cîmpul bobinei L_1 are ca efect inducerea în acesta a unor curenti de înaltă frecvență, și ca urmare are loc scăderea factorului de calitate a circuitului acordat L_1-C_3 , modificarea frecvenței proprii de rezonanță și reducerea amplitudinii oscilației. Nivelul și frecvența oscilației produse sunt transpusă apoi, prin intermediul circuitului acordat L_2-C_{12} , cuplat magnetic cu oscilatorul, și a detectorului realizat cu diodele D_1 , D_2 , într-un nivel continuu ce furnizează informații asupra poziției obiectului față de bobina traductor. Peste acest nivel continuu se suprapune un semnal variabil legat de vibrațiile spațiale ale obiectului.

Semnalele detectate se aplică amplificătoarelor separatoare realizate cu tranzistoarele T_2 , T_3 și în continuare amplificatorului de bandă îngustă realizat cu IC_1 . Semnalele variabile sunt redresate cu ajutorul redresorului de precizie realizat cu IC_2 , apoi integrate de grupul $R_{14}-C_{18}$ și sunt disponibile la borna de măsură M_1 , care oferă informații asupra amplitudinii vibrațiilor produse.

Semnalul continuu obținut la ieșirea amplificatorului separator realizat cu tranzistorul T_3 este integrat prin intermediul grupului $R_{17}-C_{19}$ și este disponibil la borna de măsură M_2 , care oferă informații asupra poziției corpului detectat.

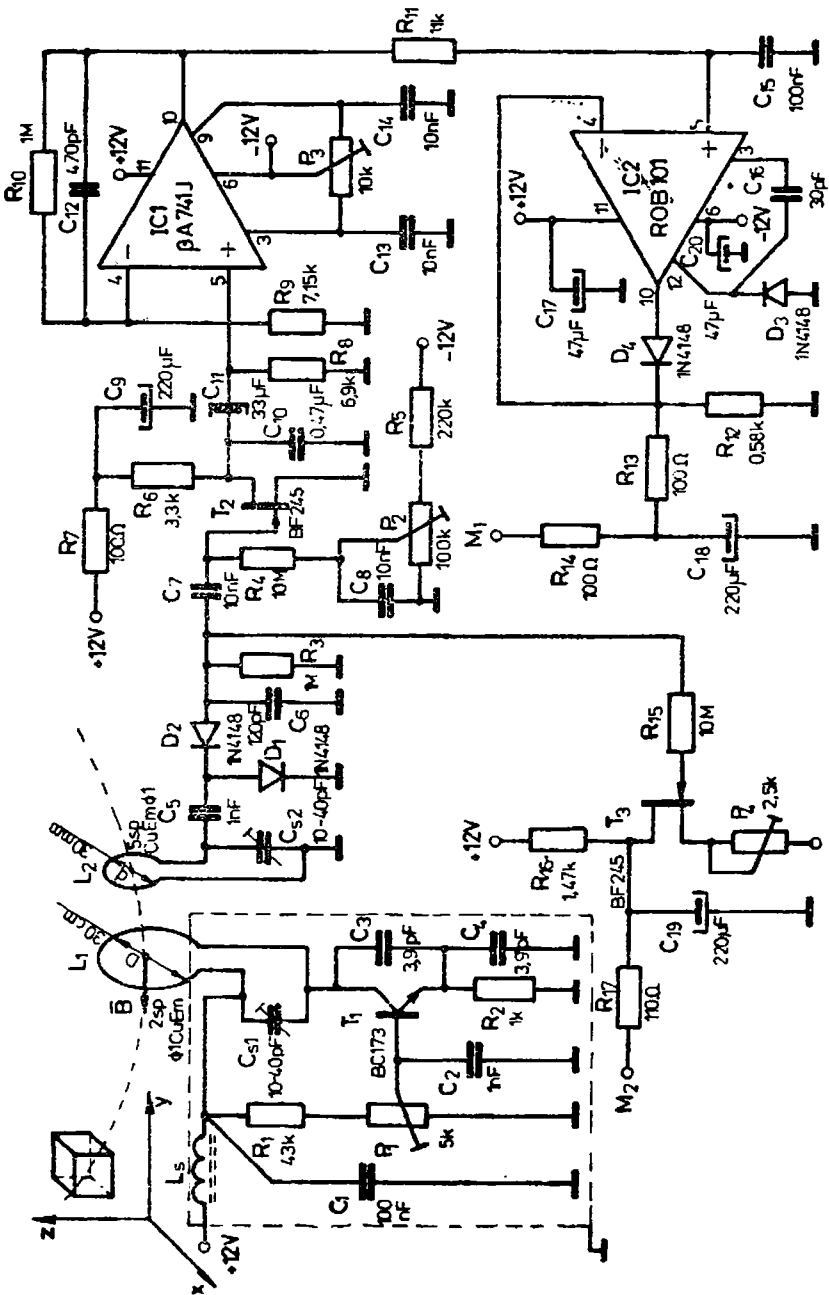


Fig. 2.63. Traductor inductiv de pozitie și vibrații spațiale.

Semnalele furnizate la cele două borne de măsură M_1 și M_2 pot fi măsurate și afișate sau memorate cu aparatură specializată pentru prelucrări numerice și investigări statistice pe o perioadă de timp determinată.

Acordul traductorului se realizează în absența corpurilor de detectat, urmărind un maxim al semnalului redresat. Alimentarea traductorului se face în curent continuu la ± 12 V față de masă. Curentul consumat nu depășește 30 mA.

Utilizat în aplicații de detecție și analiză a poziției și tremurului mîinii umane, s-au măsurat variații ale frecvenței de oscilație de aproximativ 5 %, prin apropierea mîinii pînă la distanța de 35 cm de traductor. Amplitudinea semnalului de poziție este în relație de invers proporționalitate cu pătratul distanței și ia valori cuprinse între 0 și 7 V pentru mină situată la distanțe mai mici de 120 mm față de bobina traductor. Nivelul de ieșire corespunzător vibrațiilor spațiale oferă semnale de aproximativ 2 V pentru o vibrație a mîinii cu amplitudinea de 1 mm în jurul unei poziții relative de echilibru situată la distanța de 35 cm față de traductor.

Domeniul de aplicabilitate al traductorului prezentat nu este limitativ. Traductorul inductiv de poziție și vibrații spațiale poate fi utilizat cu bune rezultate în toate aplicațiile de precizie care necesită detecția poziției și a vibrațiilor spațiale a unor obiecte metalice și nemetalice care produc pierderi în înaltă frecvență.

CAPITOLUL 3

APLICAȚII ALE CIRCUITULUI INTEGRAT BM3900

Circuitul integrat BM3900 conține 4 amplificatoare diferențiale de curent (ADC) independente dar cu alimentare comună. Amplificatorul diferențial de curent, cu reprezentarea simbolică din fig. 3.1, are ca mărime de intrare diferența dintre doi curenti, iar ca mărime de ieșire, o tensiune. Deoarece raportul dintre mărimea de ieșire și mărimea de intrare are dimensiunea $[\Omega]$, ADC poate fi considerat și ca un „amplificator transrezistență“. În literatura de specialitate, ADC este întâlnit sub denumirea „amplificator operațional Norton“ sau simplu „amplificator Norton“.

Schema bloc principală a amplificatorului diferențial de curent este prezentată în fig. 3.2, b, iar în fig. 3.2, a este dată capsula DIL14 cu specificațiile pinilor.

Oglinda de curent cu T_4 și D_1 are rol de repetor de curent i_I^+ și realizează în baza tranzistorului T_1 curentul de comandă

$$i_{B1} = i_I^- - i_I^+ \quad (3.1)$$

Amplificarea de tensiune este realizată cu tranzistorul T_1 pe principiul „totul pe un etaj“. T_1 prezintă deci sarcina activă — sursa de curent $i_{B1} = 200 \mu\text{A}$. Tranzistorul T_2 , în montaj de repetor pe emitor, are rolul de separare a sarcinii de colectorul lui T_1 , pentru a se menține amplificarea de tensiune ridicată a acestuia.

Amplificarea totală de curent $\beta_1 \cdot \beta_2$, este mică pentru un amplificator de curent și de aceea se intercalează între T_1 și T_2 tranzistorul pnp T_3 , care duce la creșterea amplificării totale de curent pînă la 10^5 . Datorită lui T_3 , rezistența de sarcină se reflectă în colectorul lui T_1 multiplicată cu aproximativ $\beta_2 \beta_3$, deoarece sursa de curent I_{Q1} debitează, practic, întregul său curent în baza tranzistorului T_2 . Creșterea valorii rezistenței dinamice în colectorul lui T_1 permite atingerea

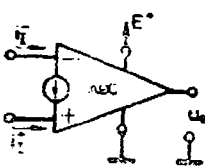


Fig. 3.1. Reprezentarea amplificatorului diferențial de curent.

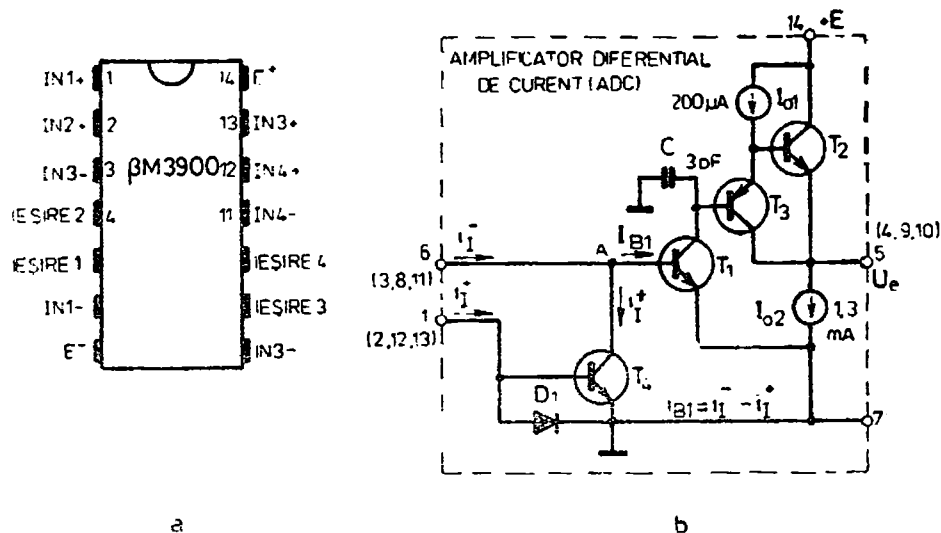


Fig. 3.2. Schema bloc a unui amplificator și conexiunile la capsulă ale integratului **BM3900**.

în or amplificări mari de tensiune (cca 70 dB). Compensarea caracteristicii frecvență se face cu un condensator integrat $C=3\text{ pF}$.

Excursia maximă de tensiune la ieșire este limitată de intrarea în saturare a sursei de curent I_{02} și de tensiunea de polarizare a tranzistorului. Valoarea ei este

$$U_{emax} = E^+ - 1 \quad [\text{V}]. \quad (3.2)$$

Tensiunea minimă de ieșire este tensiunea pe sursa de curent I_{02} în saturare și are valoarea $U_{emin}=0,1 \text{ [V]}$.

Caracteristicile electrice principale ale amplificatorului Norton sunt [11]

- tensiunea de alimentare $E^+ = +4 \text{ V} \quad +36 \text{ V}$,
- curentul absorbit de la sursa de alimentare de capsulă cu $R_s = \infty$ în toate ieșirile, pentru $E=15 \text{ V}$ tipic 6 mA,
- amplificarea de tensiune la $R_s = \infty$ și $f = 100 \text{ Hz}$ tipic 8 200
- frecvența de tăiere la cîstig unitar 2,5 MHz,
- viteza de creștere a tensiunii de ieșire (slew-rate) ... 0,5 V/ μs .
- curentul de polarizare la intrare ... $I_n = 30 \text{ nA}$.

În fig. 3.3 sunt reprezentate caracteristicile transimpedanță ale amplificatorului diferențial de curent din BM3900 pentru două tensiuni uzuale de alimentare, $E^+ = +15 \text{ V}$ și $E^+ = +30 \text{ V}$, și pentru valoarea limită a rezistenței de sarcină, $R_s = \infty$.

Din convergența caracteristicilor se observă utilitatea definirii unui curent de polarizare I_B (curentul de polarizare I_{B1} al tranzistorului din fig. 3.2, b) corespunzător tensiunii minime de ieșire, practic independent de sarcină și de tensiunea de alimentare. Valoarea tipică a curentului I_B

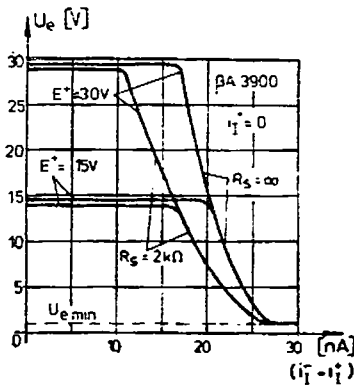


Fig. 3.3. Caracteristicile trans-impedanță ale amplificatorului diferențial de curent.

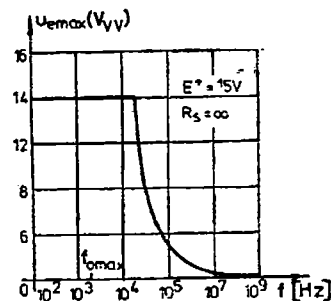


Fig. 3.4. Diagrama tensiune de ieșire sinusoidală nedeformată — frecvență

este de 30 nA ; o variație a diferenței $I_B = i_{I^-} - i_{I^+} = 10 \text{ nA} \div 30 \text{ nA}$ asigură explorarea întregului domeniu al tensiunii de ieșire.

Din fig. 3.4, care prezintă tensiunea disponibilă la ieșire în funcție de frecvență, se determină frecvența semnalului maxim nedistorsionat, $f_{max} = 2 \text{ kHz}$, și excursia de tensiune disponibilă în semnal nedistorsionat la $f_0 > f_{max}$.

$$U_{em} = \frac{5R}{2 \cdot \pi \cdot f_0} \quad (3.3)$$

Amplificatorul Norton este un circuit mai puțin obișnuit ca mod de utilizare și ca performanțe. Prețul redus pe amplificator, consumul mic de putere de la sursele de alimentare, marea sa versatilitate recomandă circuitul integrat βM3900 pentru aplicații în care se dispune de o singură sursă de alimentare. Aplicațiile sale necesită rezistențe de valori mari (ceea ce este avantajos în privința puterii consumate) și a unor valori mici pentru eventualele condensatoare din scheme. Trebuie, însă, multă atenție la influența mare pe care o are asupra amplificatorului capacitățile parazite.

3.1. APlicații în CURENT CONTINUU

S-a prezentat anterior structura și funcționarea amplificatorului diferențial de curent din βM3900 (Norton). În literatura de specialitate [76, 7] se prezintă o gamă largă de aplicații, în special în curent alternativ.

Utilizarea în curent continuu a amplificatorului Norton implică o serie de probleme legate de dificultatea obținerii unei tensiuni nule la ieșire

pentru o tensiune nulă la intrare, deci, a unei tensiuni de offset, raportată la intrare, mică.

In unele aplicații mai puțin pretențioase se pot imagina configurații de circuite în curent continuu asemănătoare cu cele ce utilizează amplificatoare operaționale.

3.1.1. AMPLIFICATORUL SUMATOR

O primă variantă de amplificator sumator este cea din fig. 3.5. Pe baza schemei echivalente din fig. 3.6 se poate deduce ușor relația de calcul pentru U_o :

$$U_o = \frac{R}{R_2} U_2 - \frac{R}{R_1} U_1 + U_B \left(1 + \frac{R}{R_1} - \frac{R}{R_2} \right) \quad (3.4)$$

În practică se folosesc, de obicei, ponderi egale pentru U_1 și U_2 , ($R = R'$) ; deci, avem o relație mai simplă :

$$U_o = \frac{R}{R'} (U_2 - U_1) + U_B \quad (3.5)$$

este aproximativ 0,5 V și reprezintă tensiunea bază-emitor a celor două tranzistoare de la intrările amplificatorului.

În varianta prezentată, circuitul se alimentează de la o singură sursă de tensiune continuă, $+E$, cu valori între 15 V și 30 V.

Dezavantajul principal este prezența tensiunii de offset la ieșire, egală cu U_B . Relația (3.5) este adevărată pentru tensiuni de intrare $U_2 > U_B$ și $U_1 - U_2 > 0$.

Avantajele principale sunt simplitatea și posibilitatea de prelucrare a unor tensiuni de intrare mult mai mari decât tensiunea de alimentare, prin

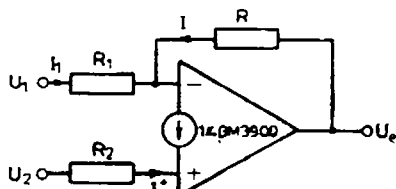


Fig. 3.5. Amplificator-sumator cu LM3900.

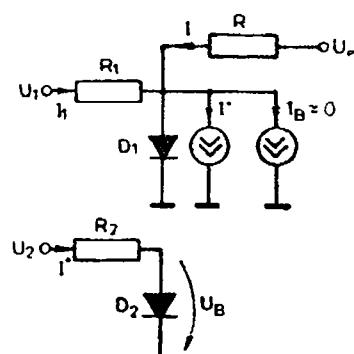


Fig. 3.6. Schema echivalentă a circuitului din fig. 3.5 cu conversie.

alegerea corespunzătoare a rezistențelor R_1 și R_2 . O dimensionare aproximativă se poate face cu relațiile :

$$R_{1m\in} = \frac{U_{1M\in}-0,5}{0,1-0,2} \quad [\text{k}\Omega] \quad (3.6)$$

$$R_{2m\in} = \frac{U_{2M\in}-0,5}{0,1-0,2} \quad [\text{k}\Omega] \quad (3.7)$$

Dacă se alege varianta cu $R_1 = R_2$, din (3.6) și 3.7) se ia valoarea cea mai mare. Valorile uzuale sunt cuprinse între $100 \text{ k}\Omega - 1 \text{ M}\Omega$. În varianta cind tensiunile U_1 și U_2 sunt fixe, rezistența R_2 se va dimensiona cu relația :

$$R_2 = \frac{U_2}{10^{-3}} \quad [\text{k}\Omega], \quad (3.8)$$

pentru că oglinda de curent lucrează optim (transfer unitar) la un curent de $10 \mu\text{A}$.

În fig. 3.7 se prezintă o schemă concretă utilizabilă în aplicația de conversie de domeniu a unei tensiuni continue.

Dezavantajul offsetului la ieșire este eliminat în circuitul din fig. 3.8. Folosind relația (3.5) se poate deduce ușor tensiunea de ieșire U_e .

$$U_e = \frac{U_2 + U_1}{2}. \quad (3.9)$$

Relația (3.9) este verificată pentru tensiuni $U_2 > U_1$ și $U_2 + U_1 > 0$.

Alimentând amplificatorul Norton cu două surse de tensiune simetrice ($+E$ și $-E$), se poate realiza o configurație de amplificator cu tensiune de ieșire nulă pentru o tensiune de intrare nulă.

Circuitul de polarizare este cel din fig. 3.9. Se poate arăta ușor că potențialul punctului A este zero și tensiunea de ieșire U_e este nulă. Dioda

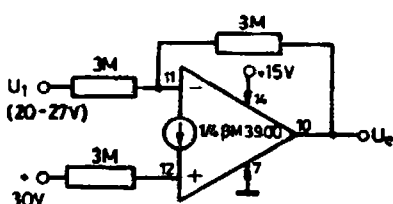


Fig. 3.7. Circuit amplificator cu conversie de domeniu.

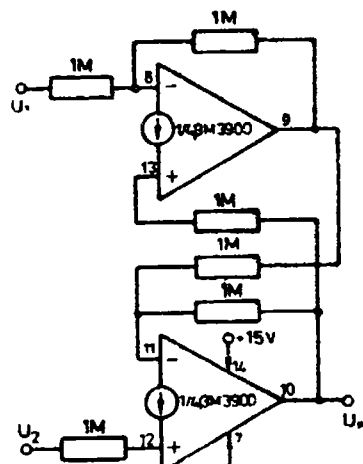


Fig. 3.8. Amplificator-sumator cu eliminarea offsetului.

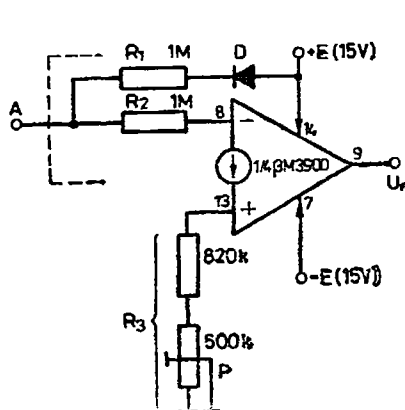


Fig. 3.9. Alimentarea de la două surse simetrice de tensiune continuă a integratului βM3900.

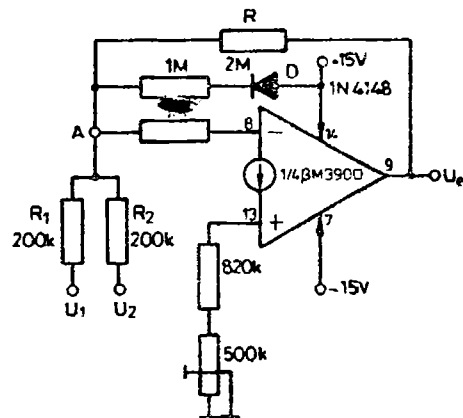


Fig. 3.10. Amplificator-sumator cu βM3900 alimentat de la două surse simetrice.

D_1 contribuie la mărirea stabilității polarizării la variații de temperatură. La realizarea practică se va respecta riguros egalitatea $R_1 = R_2 = R_3$. Potențiometrul P permite compensarea eventualelor diferențe, ajustând la zero tensiunea de ieșire (realizează „echilibrarea”).

Pe baza schemei anterioare, în fig. 3.10 este prezentat un sumator-inversor cu două intrări. Se observă adaptarea ca bornă de intrare inversoare a punctului A (de potențial zero) din fig. 3.9. Pentru alte valori decât cele din fig. 3.10, tensiunea de ieșire se poate calcula cu relația

$$U_o = - \left(\frac{R}{R_0} U_1 + \frac{R}{R_0} U_2 \right). \quad (3.10)$$

Relația (3.10) este adevărată pentru tensiuni de intrare negative, pozitive sau orice combinație între ele.

3.1.2. CONVERTOARE TENSIUNE-CURENT, CURENT-TENSIUNE

O combinație între un amplificator Norton și un tranzistor bipolar permite realizarea unui circuit simplu sursă de curent comandată în tensiune. Sunt două configurații posibile în funcție de sensul curentului de ieșire.

În fig. 3.11 este prezentată o schemă practică de convertor tensiune-curent, cu bornă a rezistenței de sarcină conectată la masă (sau eventual la o sursă de tensiune negativă).

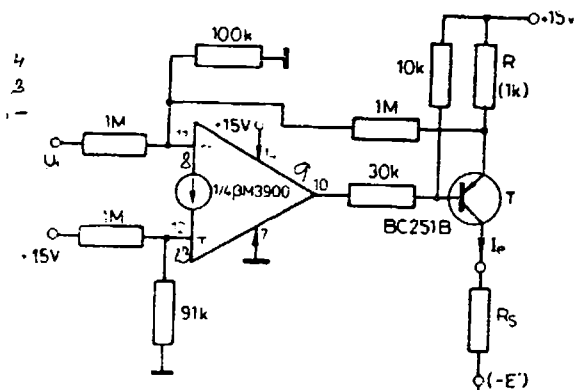


Fig. 3.11. Sursă de curent comandată în tensiune cu rezistența de sarcină conectabilă la masă.

Funcția de transfer a convertorului tensiune curent este

$$\frac{I_o}{U_i} = \frac{1}{R} \quad (3.11)$$

Pentru exemplul concret din fig. 3.11

$$\frac{I_o}{U_i} = 1 \left[\frac{\text{mA}}{\text{V}} \right]. \quad (3.12)$$

Valoarea maximă a rezistenței de sarcină, R_s , este determinată de valoarea maximă a curentului I_o , a tensiunii de alimentare $+E$ și eventual de valoarea sursei de tensiune negativă $-E'$. Dacă se dă I_o , $+E$, $-E'$, rezistența de sarcină maximă se poate calcula cu relația

$$R_{SM} = \frac{E + E' - U_{CE\text{m}}}{I_o} - R_s. \quad (3.13)$$

unde $U_{CE\text{m}}$ este tensiunea la limita regiunii de saturare a tranzistorului T (0.7 V).

Domeniul admis al tensiunilor de intrare este cuprins între 0 și o valoare maximă pozitivă determinată de valoarea maximă a curentului I_o , conform relației (3.11).

In fig. 3.12 este implementată o sursă de curent, cu sensul curentului în rezistența de sarcină inversat față de cea anterioară. Pentru polarizarea corectă a tranzistorului T , o bornă a rezistenței de sarcină se conectează la $+E$ sau, eventual, la o altă sursă de tensiune pozitivă. Relația tensiune-curent este identică cu cea prezentată anterior.

Valoarea maximă a rezistenței de sarcină se calculează cu relația (3.13), unde se pune $E' = 0$ V.

Ideea unui convertor curent-tensiune este dată de principiul de funcționare al amplificatorului Norton (comandă în curent la intrare).

O primă configurație este prezentată în fig. 3.13. Se poate deduce o nouă funcție de transfer curent-tensiune care are forma

$$U_i = I_o \cdot R. \quad (3.14)$$

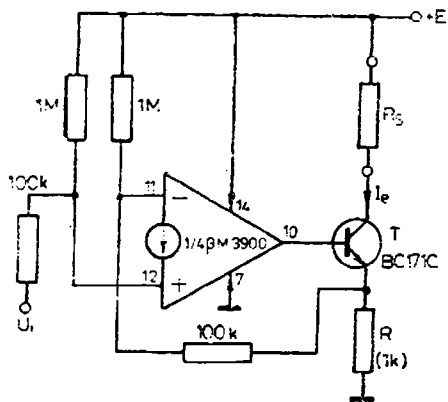


Fig. 3.12. Sursă de curent comandată în tensiune cu β M3900 și cu un tranzistor *n-p-n*.

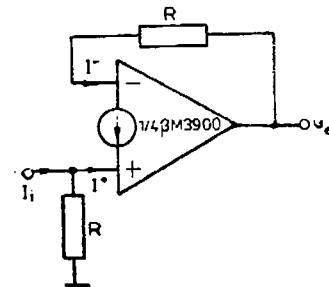


Fig. 3.13. Convertor curent-tensiune cu β M3900.

Valoarea maximă a curentului este limitată de valoarea maximă, I_{c} , admisă de oglinda de curent, de aproximativ 20 mA.

Excursia tensiunii de ieșire este de aproximativ E , practic între 0,1 V și $E - 1$ V. Cu aceste limitări se poate dimensiona, cu relația (3.14), rezistența R în funcție de domeniul curentului I_i . Dezavantajul circuitului simplu prezentat constă în imposibilitatea începerii de la zero a conversiei curent-tensiune. Valoarea minimă a curentului de intrare $I_{i\min}$, de la care este adevărată relația (3.14) depinde de rezistența R și se poate calcula simplu

$$I_{i\min} = \frac{0,5}{R} \quad [\text{mA}], \quad [\text{k}\Omega]. \quad (3.15)$$

Cu o alimentare simetrică a circuitului Norton ($+E$ și $-E$) se elimină dezavantajul menționat anterior.

Circuitul concret este prezentat în fig. 3.14. Funcția de transfer tensiune-curent este dată de relația (3.14), valabilă atât pentru sensuri pozitive, cât și negative ale curentului de intrare, inclusiv $I_i = 0$. Cu potențio-

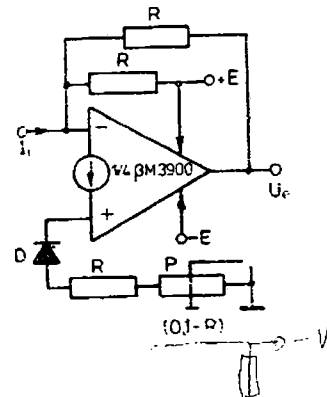


Fig. 3.14. Convertor curent-tensiune cu extinderea domeniului curentului de intrare.



metrul P , de valoare aproximativ $0,1 R$, se aduce tensiunea de ieșire la zero cind $I_B = 0$, compensând diferențele între tensiunile de alimentare și dintre tensiunea pe dioda D și tensiunea U_D , specifică amplificatorului Norton.

Limitările în proiectarea valorii rezistenței R cu relația (3.14) sunt impuse de excursia maximă a tensiunii la ieșirea amplificatorului (în cazul de față între $E - 1$ V și $-E$) și valoarea maximă a curentului admis de oglinda de curent. Se poate calcula o valoare minimă pentru R cu relația

$$R_{min} = \frac{20}{E - 1,2} \quad [k\Omega], [V]. \quad (3.15)$$

3.1.3. COMPARATOARE

Curentul efectiv de comandă, I_B , al primului tranzistor din amplificatorul Norton este dat de diferența curentilor I^- și I^+ ai celor două intrări. Amplificarea mare în curent (în jur de 10^6) face ca I_B să aibă valori foarte mici, de ordinul 20–50 nA, pentru orice nivel al tensiunii U_s de la ieșirea amplificatorului.

Dacă I_B este aproape zero, tensiunea U_s devine aproximativ E (tensiunea de alimentare). Dacă I_B depășește de cîteva ori valoarea nominală (20–50 nA), tensiunea de ieșire U_s devine practic zero.

Se realizează practic comparația între I^- și I^+ și implicit comparația între cele două tensiuni de intrare ce determină curentii respectivi. Observația făcută stă la baza funcționării circuitului comparator simplu din fig. 3.15.

În tabelul alăturat se prezintă stările ieșirii comparatorului în raport cu ordinea nivelelor celor două tensiuni de intrare. Zona de indecizie, U , depinde în principal de valoarea rezistenței R și de variația necesară, I_B , a curentului de comandă. O relație aproximativă de calcul este

U_1, U_2	U_o
$U_1 > U_2$	0
$U_1 < U_2$	V^+
$U_1 = U_2$	nedeterminată

$$U \cong R \cdot \Delta I_B. \quad (3.16)$$

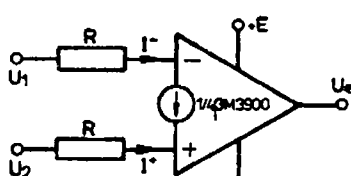


Fig. 3.15. Schema principală a unui comparator cu LM3900.

Practic ΔI_B este de aproximativ 50—100 nA. Rezistență R se dimensionează cu relația

$$R = \frac{U_a}{10 \div 20} \quad [\text{M}\Omega], \quad (3.17)$$

ce asigură amplificarea cea mai apropiată de 1 a oglinzi de curent de la intrarea „+”.

Alegerea unei rezistențe R de valoare mai mică decât cea calculată cu relația (3.17) conduce la erori de indecizie suplimentare prin scăderea sub unu a amplificării oglinzi de curent.

Circuitul poate fi utilizat în aplicații ce nu necesită precizii deosebite, având avantajul simplității și economicității, cu o capsulă $\beta M3900$ putând fi realizate patru comparatoare.

În fig. 3.16 se prezintă o aplicație concretă a unui circuit de semnalizare la depășirea unei valori prestabilite a tensiunii de intrare. Funcționarea este foarte simplă. La depășirea tensiunii de referință (reglabilă între 3 și 10 V), tensiunea de ieșire a amplificatorului devine $+E$, tranzistorul T se satură și becul se aprinde semnalizând depășirea.

O aplicație mai complexă este prezentată în fig. 3.17. Este vorba de un circuit multiprag pentru indicarea în trepte a nivelului mediu al unei tensiuni de intrare alternative. Cele patru LED-uri se aprind pe rînd la creșterea tensiunii U_c pe măsura depășirii succesive a celor patru tensiuni de referință. În tabelul 3.1 se poate urmări ordinea de aprindere a LED-urilor pentru diverse valori ale tensiunii redresate U_c , față de tensiunile de referință (există relația $U_1 < U_2 < U_3 < U_4$).

Tabelul 3.1

U_c, U_1, U_2, U_3, U_4	D_1	D_2	D_3	D_4
$U_c < U_1$	stins	stins	stins	stins
$U_1 < U_c < U_2$	aprins	stins	stins	stins
$U_2 < U_c < U_3$	aprins	aprins	stins	stins
$U_3 < U_c < U_4$	aprins	aprins	aprins	stins
$U_c > U_4$	aprins	aprins	aprins	aprins

Primul amplificator realizează funcția de redresor de precizie monosimetric (care constituie o altă aplicație a integratului $\beta M3900$). În lipsă

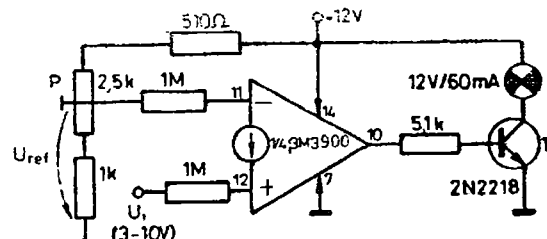


Fig. 3.16. Sesizor de nivel cu $\beta M3900$.

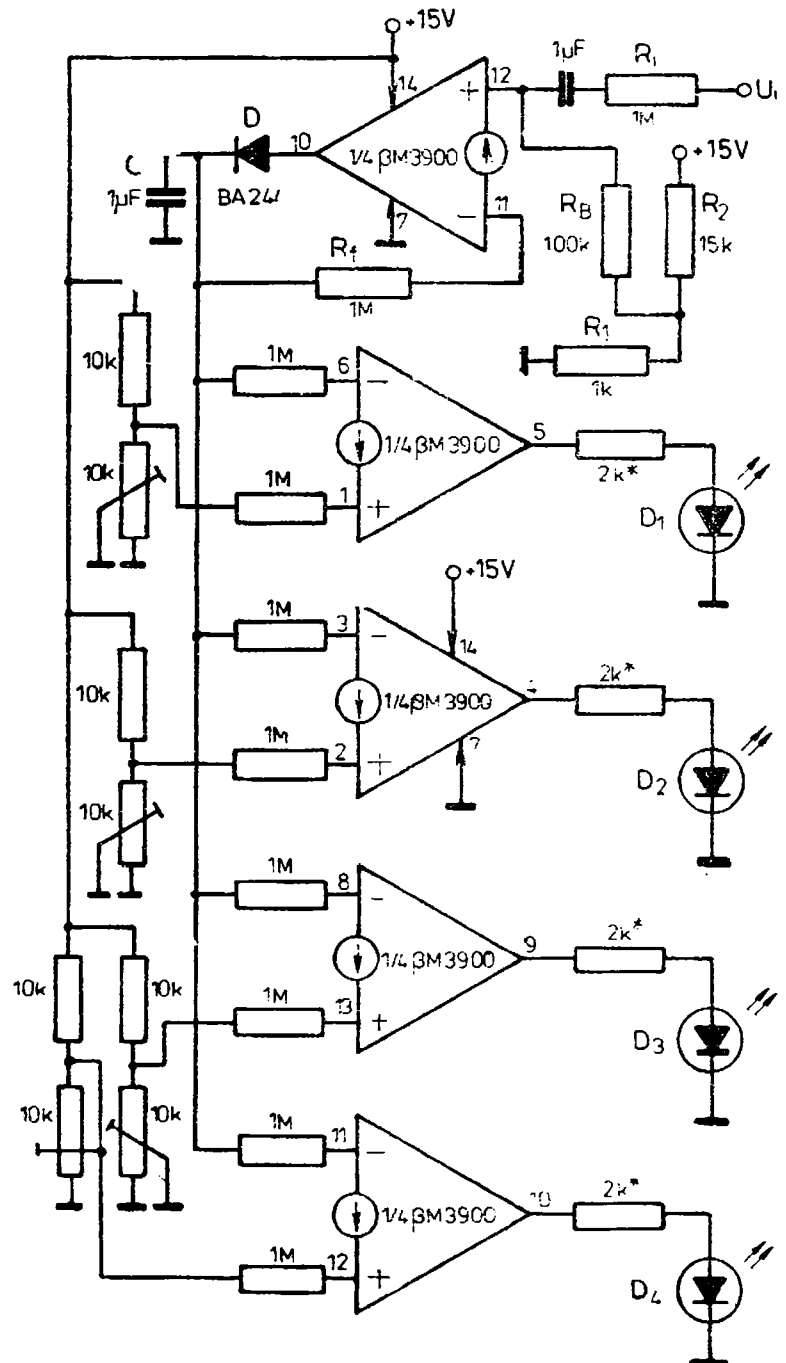


Fig. 8.17. VU-metru cu β M3900.

semnalului de intrare, pe capacitatea C există o tensiune inițială dată de relația

$$U_{c0} = \frac{E}{R_f} R_B + U_B \left(1 - \frac{R_d}{R_f} \right) \quad (3.18)$$

Pentru exemplul concret, $U_{c0}=0,6$ V, valoarea tensiunii inițiale se va lua în considerare la stabilirea programelor de comparație (toate pragurile se vor ridica în sus cu valoarea U_{c0}).

Circuitul mai poate realiza și o amplificare

$$A_u = \frac{R_f}{R_i + r_d}; \quad (3.19)$$

unde

$$r_d = \frac{25}{I} [k\Omega], [mA]. \quad (3.20)$$

Pentru circuitul din fig. 3.17, $A_u \approx 1$.

O aplicație imediată a circuitului prezentat este sistemul indicator de tip VU-metru. Prin utilizarea a două sau trei capsule de β M3900 se poate realiza o comparație pe 8 sau 12 niveluri de semnal, deci, afișaj pe 8 sau 12 LED-uri. Circuitul se realizează simplu, prin extinderea schemei prezentate în fig. 3.17, fără a se afecta amplificatorul redresor pentru toate comparațoarele.

Printr-o modificare simplă, introducerea unei reacții de la un comparator la altul, se poate realiza o comandă secvențială a LED-urilor (un singur LED aprins pentru fiecare nivel de tensiune de intrare).

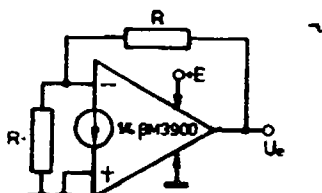
3.1.4. TRADUCTOR DE TEMPERATURA CU β M3900

Ideea circuitului este sugerată de particularizarea relației (8.4), în care, dacă se impune $U_1=U_2=0$, tensiunea de ieșire devine :

$$u_e = u_{BE} \left(1 + \frac{R}{R_1} \right). \quad (3.21)$$

deci, o tensiune de ieșire multiplu de U_{BE} (tensiunea bază emitor a primului tranzistor din amplificator Norton). Se știe că tensiunea directă pe o joncțiune semiconductoră cu siliciu variază aproximativ cu -2 mV/ $^{\circ}$ C la modificări ale temperaturii joncțiunii.

Fig. 3.18. Schema de principiu a traductorului de temperatură cu β M3900.



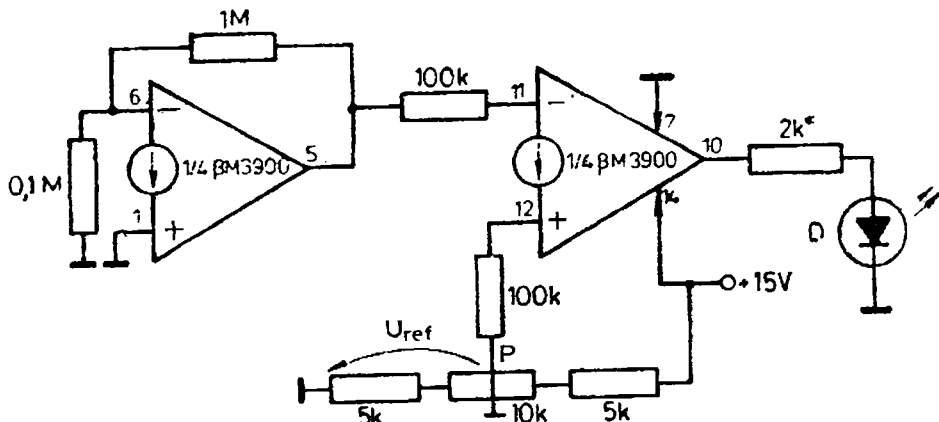


Fig. 3.19. Sesizor de temperatură maximă preselectabilă cu afişaj prin LED.

Ca urmare, variația utilă la ieșirea traductorului este

$$\Delta U_e = -2 \left(1 + \frac{R}{R_1} \right) [mV/^\circ C]. \quad (3.22)$$

O capsulă de β M3900 permite, pe lângă funcția de traductor, și unele prelucrări ale tensiunii U_e cu celelalte trei amplificatoare. O aplicație se prezintă în fig. 3.19.

Este vorba de un senzor de temperatură extremă. Cu amplificatorul unu s-a implementat funcția de traductor și cu al doilea funcția de comparator. Temperatura maximă sesizată se poate modifica din $+U_{ref}$, cu potențiometrul P_0 . La depășirea valorii preselestate a temperaturii, tensiunea de la ieșirea comparatorului devine $+E$ și LED-ul se aprinde. În locul afișajului se poate conecta un element de execuție, de exemplu un releu, ca în fig. 3.20, traductorul putând fi utilizat într-o instalație de automatizare.

Cu valorile indicate se poate stabili orice valoare a temperaturii maxime sesizate, între aproximativ $10^\circ C$ și $75^\circ C$.

Reglajul circuitului este simplu. Se aduce capsula integratului la temperatura maximă ce trebuie sesizată (măsurată cu un termometru de precizie) și se regleză potențiometrul P pînă la aprinderea LED-ului sau acționarea releului. Reglajul este necesar, existînd diferență de la o capsulă la alta a tensiunii U_{BE} .

Folosind mai multe comparatoare se pot sesiza mai multe niveluri de temperatură preselestate. Un exemplu pentru trei niveluri este dat în fig. 3.21.

Reglajul pentru fiecare nivel se face ca mai sus. Dezavantajul acestui tip de traductor este inerția termică relativ mare a capsulei integratului (cîteva minute), fiind util în aplicații lente variabile în timp.

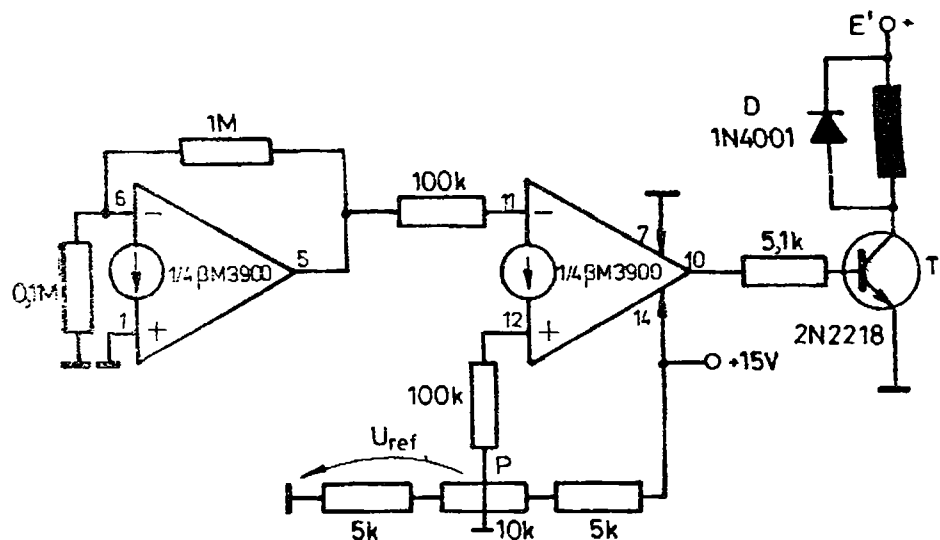


Fig. 3.20. Sesizor de temperatură maximă cu element de execuție la ieșire.

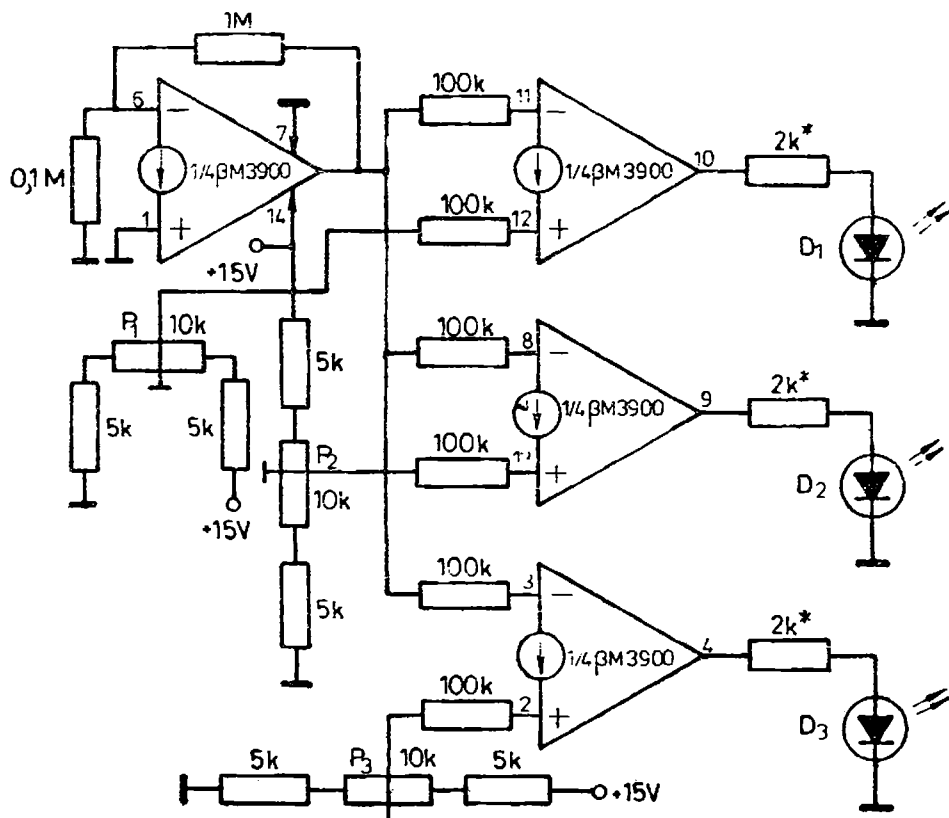


Fig. 3.21. Sesizor de temperatură cu trei niveluri prestabilite.

Combinind traductorul cu un amplificator sumator, din cele prezentate în subparagraful (3.1.1) se pot realiza circuite de măsurare continuă a temperaturii între anumite limite prestabilite.

3.2. GENERATOR DE FUNCȚII

Cu amplificatorul operațional Norton quadruplu β M3900 se poate construi un generator de funcții, utilizând un minim de componente electronice [59]. Schema prezentată în fig. 3.22 furnizează la ieșire trei tipuri de semnale cu polaritate pozitivă sinusoidală, dreptunghiular și triunghiular. Amplificatorul operațional A_1 , conectat ca integrator, generează semnalul triunghiular, care este utilizat ca semnal de intrare atât pentru formatorul de semnale dreptunghiular, cât și pentru generatorul de semnal sinusoidal. Comparatoriul realizat cu amplificatorul operațional A_2 formează semnalul dreptunghiular, iar filtrul trece-bandă realizat cu amplificatorul operațional A_3 generează semnalul sinusoidal. Cel de-al patrulea amplificator operațional A_4 , disponibil în capsulă, poate fi utilizat ca etaj de ieșire pentru oricare din semnalele generate.

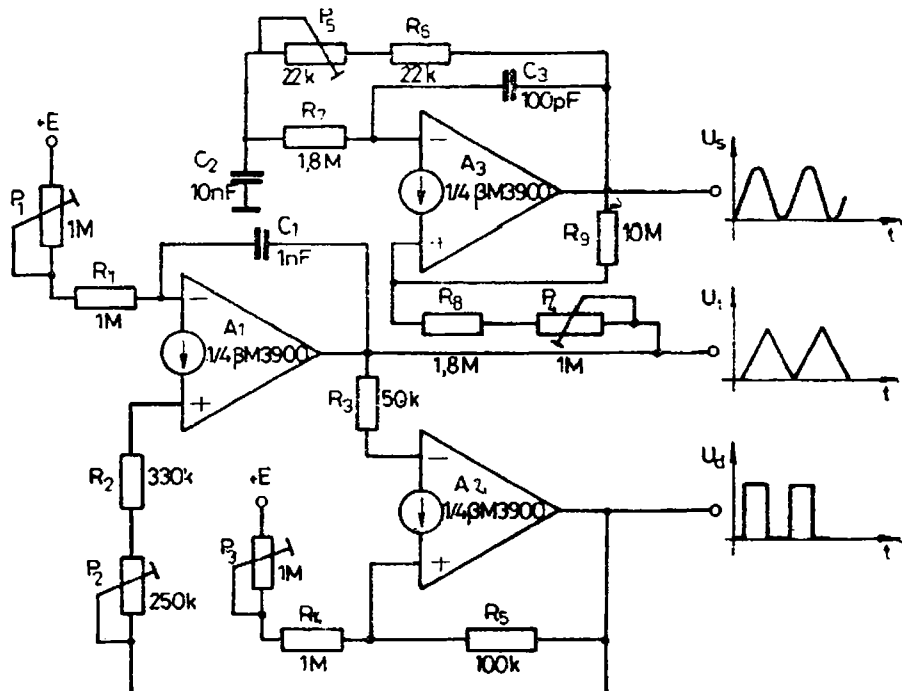


Fig. 3.22. Generator de funcții cu β M3900.

Frecvența de oscilație se poate calcula cu relația

$$f = \frac{1}{2\pi C_1(R_1 + P_1)}, \quad (3.23)$$

și pentru valorile prezentate pe schemă este de aproximativ 1 kHz.

Schema se poate alimenta cu o singură tensiune continuă $+E$ în domeniul garantat pentru alimentarea amplificatorului operațional Norton quadruplu $\beta M3900$ [31], (4—36 V pentru $\beta M3900A$, respectiv 4—18 V pentru $\beta M3900B$). Amplitudinea semnalelor furnizate depinde de tensiunea de alimentare și, pentru o valoare stabilită, se poate regla din potențiometrele P_1 — pentru semnalul triunghiular, P_3 — pentru semnalul dreptunghiular și P_4 — pentru semnalul sinusoidal.

Potențiometrul P_2 permite reglajul factorului de umplere, iar potențiometrul P_5 , prin acordarea filtrului trece bandă, minimizează distorsiunile semnalului sinusoidal. Chiar fără o selecție prealabilă a componentelor pasive, distorsiunile de neliniaritate ale semnalului sinusoidal nu depășesc 2,5 %.

3.3. FILTRE ACTIVE

Filtrele active realizate cu amplificatoare operaționale au la bază scheme de integratoare diferențiale [4]. Întrucât construcția integratoarelor diferențiale cu amplificatoare operaționale obișnuite necesită componente passive suplimentare, filtrele active care utilizează amplificatoare operaționale cu intrare diferențială de curent (Norton) sunt mai ieftine și mai simplu de realizat. În fig. 3.23 se prezintă schema de bază a unui filtru activ versatil (trece-bandă și trece-jos) realizat cu trei din cele patru amplificatoare operaționale disponibile în capsula circuitului integrat $\beta M3900$. Schema conține două integratoare diferențiale realizate cu amplificatoarele operaționale AO_2 și AO_3 și un etaj de amplificare diferențial realizat cu amplificatorul operațional AO_1 . Cel de-al patrulea amplificator operațional disponibil în capsula circuitului integrat $\beta M3900$ poate fi utilizat ca etaj amplificator-separator pentru unul din cele două semnale U_{e1} (trece-bandă), U_{e2} (trece-jos) disponibile la ieșirea filtrului. Proiectarea filtrului prezentat în fig. 3.23 presupune stabilirea frecvenței centrale f_0 a filtrului trece-bandă și a factorului de calitate dorit.

Pentru simplificare se poate considera

$$C_1 = C_2 = C \quad (3.24)$$

$$2R_1 = R_2 = R_3 = R. \quad (3.25)$$

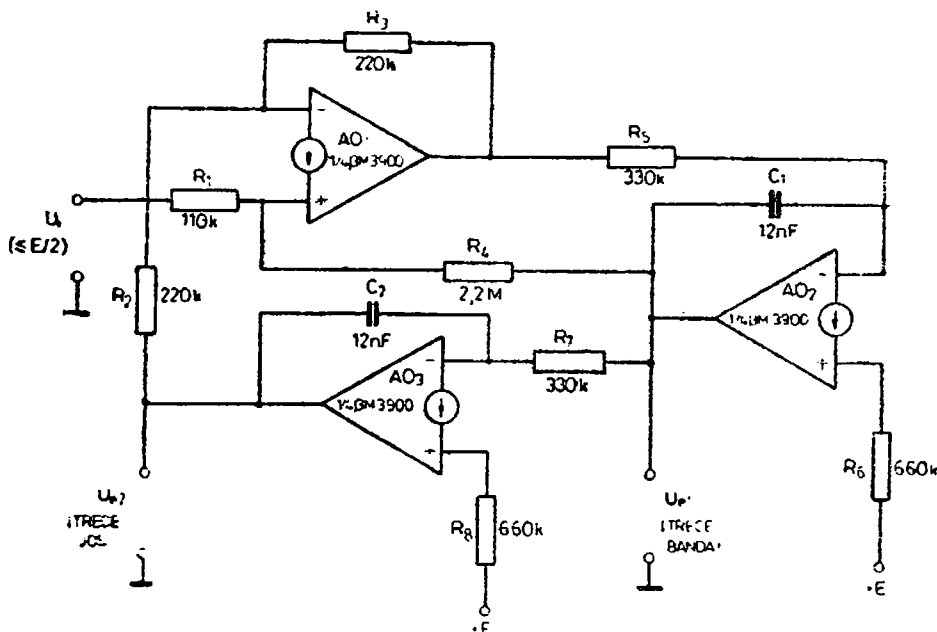


Fig. 3.23. Filtru activ trece-bandă și trece-jos cu trei amplificatoare.

cu valori convenabil alese (dacă se poate, condensatoare cu polistiren). Atunci se poate calcula

$$R_4 = R_1(2R - 1) \quad (3.26)$$

$$R_5 = R_7 = \frac{1}{2\pi f_0 \cdot C} \quad (3.27)$$

Pentru polarizarea intrărilor neinversoare ale integratoarelor sunt necesare rezistoarele

$$R_6 = R_8 \cong 2R_5 \quad (3.28)$$

Ciștigul total al filtrului H_0 la mijlocul benzii de frecvență va fi

$$H_0 \cong \frac{R_4}{R_1} \quad (3.29)$$

Valorile indicate pe schema din fig. 3.23 au fost calculate pentru o frecvență centrală a filtrului activ trece-bandă $f_0 = 945$ Hz și o bandă de trecere $\Delta f = 50$ Hz, la un factor de calitate măsurat $Q = 20$.

Filtrul activ prezentat în fig. 3.24 utilizează numai două amplificatoare operaționale conectate ca integratoare diferențiale [81].

Frecvența centrală a filtrului trece-bandă se calculează cu relația

$$f_0 = \frac{1}{2\pi R_1 C} \quad (3.30)$$

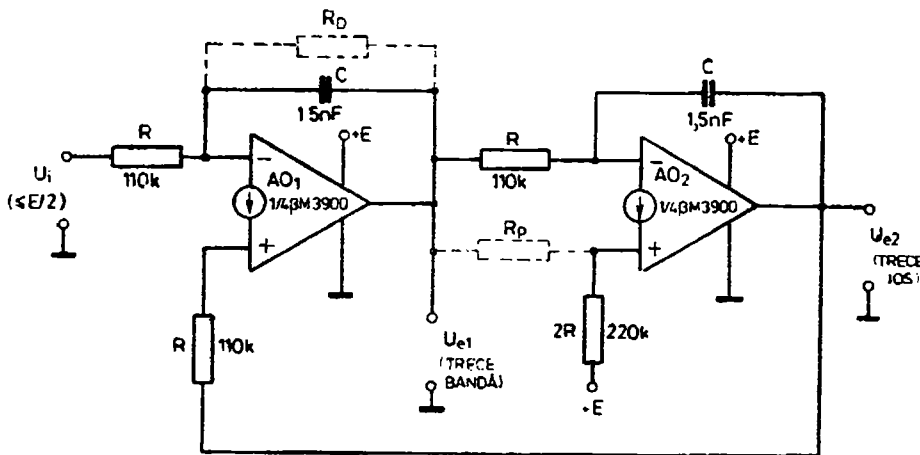


Fig. 3.24. Filtru activ cu două amplificatoare.

In schema filtrului din fig. 3.24, frecvența centrală măsurată este de aproximativ 950 Hz. Factorul de calitate al filtrului poate fi modificat cu ajutorul rezistoarelor R_D și R_p . Pentru creșterea factorului de calitate trebuie adăugată rezistența R_p , iar pentru micșorarea factorului de calitate trebuie adăugată rezistența R_D .

Utilizând $R_p = 10 \text{ M}\Omega$, factorul de calitate a crescut de la valoarea nominală ($Q=250$) la $Q'=260$, iar prin introducerea unei rezistențe $R_D = 10 \text{ M}\Omega$, factorul de calitate a scăzut la $Q''=10$, așa cum se poate constata pe caracteristica de frecvență a filtrului prezentată în fig. 3.25.

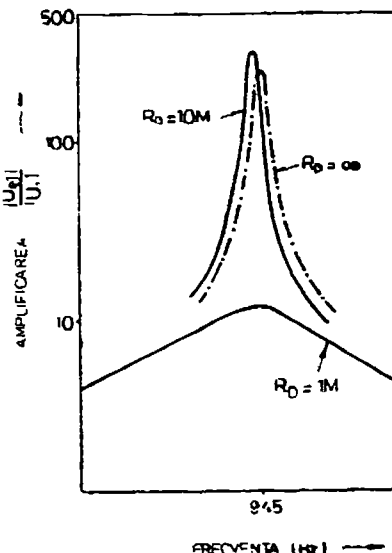


Fig. 3.25. Caracteristica de frecvență a filtrului din fig. 3.24.

Ca și la filtrul precedent, semnalele aplicate la intrare trebuie să satisfacă condiția

$$U_i \leq \frac{U_2}{2} \quad (3.31)$$

Celelalte două amplificatoare operaționale disponibile în capsula circuitului integrat βM3900 pot fi utilizate ca amplificatoare-separatoare pentru semnalele de ieșire U_{o1} (trece-bandă) și U_{o2} (trece-jos).

APLICAȚII ALE COMPARATOARELOR INTEGRATE

4.1. PARTICULARITĂȚI ȘI PARAMETRI SPECIFICI

Comparatoarele sunt amplificatoare operaționale specializate, care indică prin mărimea tensiunii de ieșire dacă una din tensiunile de intrare este mai mare sau mai mică decât tensiunea celeilalte întrări, considerată drept referință. În fig. 4.1 a fost reprezentat simbolul unui comparator de tensiune, împreună cu caracteristica de transfer a circuitului (curba trasață cu linie continuă). În mod firesc, celor două valori limite U_{OL} și U_{OH} ale tensiunii de ieșire li se asociază variabilele „0“ și „1“, proprii circuitelor logice și numerice. Această trăsătură placează comparatoarele în familia circuitelor denumite „de interfață“ [4] (semnal analogic la intrare — semnal logic la ieșire).

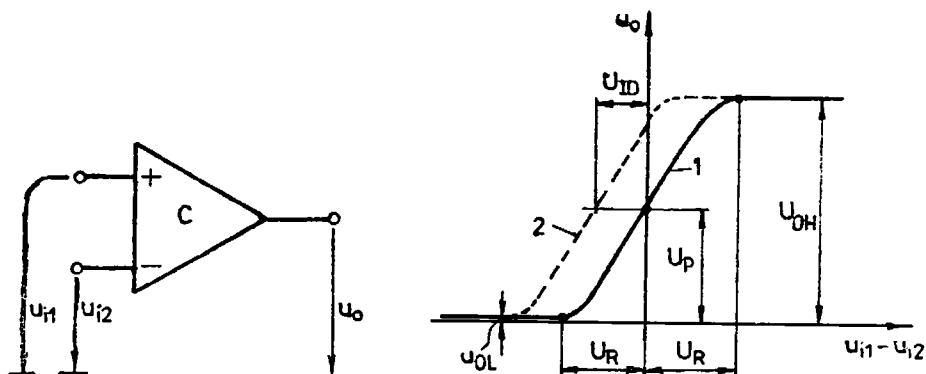


Fig. 4.1. Simbolul unui comparator de tensiune și caracteristica de transfer aferentă acestui circuit. Cele două curbe corespund unei tensiuni nule de decalaj la intrare (1), respectiv unei tensiuni de decalaj U_{tD} (2).

În legătură cu caracteristica de transfer, reprezentată în fig. 4.1, se impune următoarea precizare. Deoarece sarcina comandată de comparator este, de regulă, un circuit logic, punctul median al caracteristicii de transfer trebuie să corespundă — în mod normal — tensiunii de prag U_p , a circuitului logic (1,4 V în cazul familiei TTL). Cu alte cuvinte, pentru o tensiune de intrare diferențială nulă, tensiunea de ieșire trebuie să se situeze la valoarea de prag (fig. 4.1). Se asigură în acest fel ca punctul corespunzător unei tensiuni de intrare nule din caracteristica de transfer să fie „echidistant” față de cele două stări logice „0” și „1” la ieșire.

Utilizarea corectă a comparatoarelor integrate presupune cunoașterea următorilor parametri, mai importanți [7] :

— Rezoluția, definită ca tensiunea de intrare diferențială U_R necesară pentru a determina o decizie logică la ieșire (fig. 4.1). Ea depinde, evident, de căstigul în tensiune A_v al comparatorului, conform relației

$$U_R = \frac{U_{OL} - U_{OL}}{A_v} = \frac{U_p - U_{OL}}{A_v}, \quad (4.1)$$

motiv pentru care este specificată uneori, indirect, prin ultimul parametru.

— Tensiunea de decalaj (U_{ID}), care reprezintă tensiunea diferențială ce trebuie aplicată la intrare pentru ca la ieșire să se atingă nivelul de prag U_p . Prezența decalajului determină deplasarea cu valoarea U_{ID} a caracteristicii reale de transfer (curba trasată punctat în fig. 4.1) față de caracteristica ideală (curba desenată cu linie continuă).

— Curentul de polarizare, definit ca media aritmetică a celor doi curenti de intrare pentru o tensiune de ieșire egală cu tensiunea de prag U_p .

— Curentul de decalaj la intrare, reprezentând valoarea absolută a diferenței curentilor de intrare pentru o tensiune de ieșire egală cu tensiunea de prag.

— Timpul de răspuns, dat de intervalul de timp dintre momentul aplicării la intrare a unui semnal treaptă de tensiune și momentul în care tensiunea la ieșirea comparatorului atinge valoarea U_p . Acest parametru este specificat în condițiile în care tensiunea treaptă depășește cu o anumită cantitate * (superioară tensiunii de decalaj) nivelul continuu de la intrarea de referință.

Pe lîngă parametrii menționați, caracteristicile comparatoarelor integrate sunt specificate și printr-o serie de alți parametri, dintre care unii privesc mărimele de intrare (tensiunea maximă de intrare de mod comun respectiv de mod diferențial etc.), iar alții se referă la ieșire (sortanță, tensiunea de saturare etc.). Definițiile pentru acești parametri sunt cele cunoscute de la studiul amplificatoarelor operaționale [4, 7], respectiv a circuitelor integrate numerice [38]. În cazul comparatoarelor prevăzute cu intrări de esantionare (inhibare, strobare), prin intermediul cărora este posibilă autorizarea sau inhibarea funcționării circuitului, se definesc parametri și pentru aceste intrări : valorile curentilor de intrare corespunzătoare celor două stări logice la ieșire și timpul de întârziere a răspunsului la comanda de esantionare.

* Overdrive (engl.)=supracomandă.

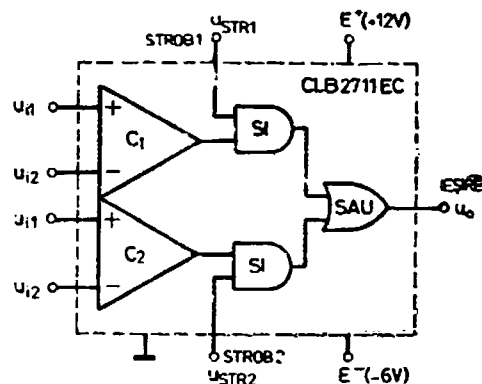


Fig. 4.2. Schema logică a comparato-rului dual CLB2711EC.

În anexa 4.1 sunt prezentate valorile tipice pentru principaliii parametri ai unor comparatoare monolitice produse în țară [7, 11, 39].

Comparatorul dual CLB2711EC, din prima generație, a fost conceput în vederea obținerii unui timp de răspuns minim, sacrificind amplificarea (și deci rezoluția), precum și valoarea curentului de intrare, respectiv puterea disipată în circuit [7, 40]. Din punct de vedere logic, schema comparatorului dual se prezintă ca în fig. 4.2. Se constată că ieșirea circuitului reprezintă funcția logică SAU (în logica pozitivă) a ieșirilor celor două comparațoare C_1 , C_2 ale dublului comparator integrat. Totodată, ieșirile comparațoarelor C_1 , C_2 pot fi inhibate, ca urmare a conectării lor la intrările unor circuite ce realizează funcția logică SI (în logica pozitivă). Dependența tensiunii de la ieșirea comparatorului dual de nivelul semnalului u_{STR} aplicat intrărilor de strobare este dată de relația [40, 7]

$$u = u_{STR} - u_{BE} \quad (4)$$

în care $u_{BE} \approx 0,65$ V reprezintă tensiunea bază-emitor a unui tranzistor funcționând în zona activă. Rezultă că pentru $u_{STR} = 0$, respectiv $u_{STR} = 3$ V, tensiunea de ieșire poate atinge nivelurile TTL corespunzătoare „0” și „1” logic.

În legătură cu comparatorul dual CLB2711EC, sunt demne de reținut și următoarele precizări.

— Ieșirile mai multor comparațoare pot fi conectate împreună realizându-se funcția „SAU CABLAT”, în condițiile în care nivelurile tensiunii de ieșire rămân în limitele admisibile pentru circuitele TTL sau DTL.

— Strict vorbind, ieșirea unui singur comparator nu este compatibilă TTL, curentul maxim ce poate fi absorbit în starea cu nivel coborât la ieșire fiind de cca 0,9 mA [7]. Pentru realizarea unei sortanțe unitare, diferența de curent pînă la 1,6 mA — necesară comandării unei porti TTL — este asigurată prin conectarea între ieșire și E^- a unei rezistențe exterioare mai mici de 8,6 kΩ. Se subliniază că, în principiu, este posibilă obținerea unei sortanțe mai mari ca 1, prin diminuarea corespunzătoare a rezistenței conectate între ieșire și E^- . În această situație este micșorată însă

ANEXA 4.1.

Tipul circuitului integrat	Tensiune de decalaj la intrare [mV]	Curent de polarizare la intrare [μ A]	Tensiuni de intrare admisibile — de mod comun [V] — de mod diferențial [V]	Amplificare în tensiune [V/V]	Timpul de răspuns [ns]	Observații
Comparator dual CLB2711EC	1	25	± 7 ± 5	1 500	40	<ul style="list-style-type: none"> — ieșire cu SAU cablat — intrări de eșantionare pentru fiecare canal — compatibil TTL, DTL
Comparator quadruplu SM339 Comparator dublu SM393	2	0,25	$-1,5 \dots E+36$	70 000	1 300	<ul style="list-style-type: none"> — include 4, respectiv 2 comparatoare independente și un etaj comun de alimentare — ieșiri cu colectorul în gol — compatibil TTL, DTL, ECL, MOS
Comparator de precizie ROB 311	2	0,1	± 12	200 000	200	<ul style="list-style-type: none"> — intrare de eșantionare — compatibil TTL, MOS, RTL, DTL
Comparator de viteză ROB 760	1	8	$\pm 4,5$	—	18	<ul style="list-style-type: none"> — ieșiri complementare și compatibile TTL — alimentare de la sursă simetrică

sensibil amplificarea în tensiune și deci rezoluția comparatorului, motiv pentru care se recomandă utilizarea unei sortanțe unitare.

— În aplicațiile care necesită un timp de răspuns cît mai mic, se recomandă alegerea soluției tranzitiei active din starea „1“ în starea „0“ (de durată mai scurtă decât comutarea inversă [7]).

Caracteristica favorabilă cea mai importantă a comparatorului dual CLB2711EC o constituie versatilitatea acestui circuit, determinată de existența în același cip a două comparatoare având ieșirile interconectate și a căror funcționare poate fi comandată prin intrările de strobare. Dintre dezavantaje se menționează curenții relativi mari de polarizare la intrare și necesitatea alimentării de la o sursă de tensiune negativă de valoare mai puțin uzuale ($E^- = -6$ V).

Comparatorul cuadruplu (dual) βM339 (βM393) a fost conceput utilizând tehnici specifice generației a III-a de amplificatoare operaționale și optimizat pentru o rezoluție bună, curenți de polarizare mici și putere consumată redusă, în defavoarea timpului de răspuns — de valoare relativ ridicată. Drept particularitate a acestui comparator se menționează ieșirea de tipul „cu colector în gol“ (OPEN COLLECTOR), caracteristică ce sporește aplicabilitatea circuitului. La cele menționate se mai adaugă posibilitatea alimentării cu o singură tensiune, a cărei valoare variază în limite largi (2–36 V).

Prezența ieșirii de tipul „cu colector în gol“ impune precizarea că bornele de intrare ale comparatorului sunt astfel notate încât tranzistorul de ieșire, cu colectorul în gol, se găsește în stare blocată, respectiv saturată, după cum potențialul bornei „+“ este mai mare, respectiv mai mic decît potențialul bornei „-“. Se va observa că, în urma acestei convenții, semnificația notării bornelor unui comparator obișnuit este perfect aplicabilă și în cazul comparatorului cu ieșire de tipul „cu colector în gol“, în situația că ieșirea este conectată printr-o rezistență la borna sursei E^+ (situație ce intervine frecvent în practică).

În aplicațiile care necesită o rezoluție ridicată (amplificare în tensiune de ordinul 10^5) și totodată un timp de răspuns bun (10^2 nanosecunde), se recomandă utilizarea comparatorului de precizie ROB311. Circuitul prezintă interes din punct de vedere aplicativ și ca urmare a faptului că este prevăzut cu o intrare de strobare prin care poate fi autorizată sau inhibată funcționarea comparatorului.

Circuitul ROB760 reprezintă comparatorul cu cel mai redus timp de răspuns dintre comparatoarele fabricate actualmente în țară. Conceput pentru a fi utilizat în convertoarele analog-numerice de viteză și ca detector de trecere prin zero în amplificatoarele de lectură pe disc și pe bandă, comparatorul prezintă două ieșiri complementare și compatibile TTL. Acest fapt permite simplificarea, în numeroase situații, a schemei circuitelor numerice comandate. Ca un neajuns se semnalează lipsa unei intrări de strobare, extrem de utilă în unele dintre aplicațiile pentru care circuitul a fost elaborat.

4.2. APLICAȚII ALE COMPARATORULUI DUAL CLB2711EC

Versatilitatea comparatorului dual CLB2711EC, subliniată anterior, este ilustrată de multitudinea de aplicații în care poate fi utilizat. Unele dintre acestea, cum sunt: discriminatorul de interval (cunoscut și sub denumirea de „comparator fereastră“) [4, 40], circuitul pentru citirea memorilor cu ferite [41], detector pentru două canale cu comandă de afișaj [11] etc. sunt bine cunoscute de către utilizatori. În cele ce urmează vor fi pre-

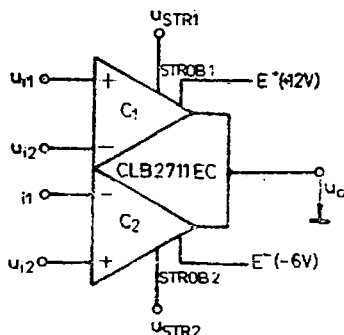


Fig. 4.3. Reprezentarea simplificată a schemei logice a comparatorului dual CLB2711EC.

zentate și alte aplicații ale comparatorului dual, în care sunt exploatate eficient toate facilitățile pe care le oferă circuitul. Se precizează, totodată, să pe parcursul prezentării va fi utilizată ori de câte ori este posibil, în locul schemei logice din fig. 4.2, reprezentarea simplificată echivalentă dată în fig. 4.3.

4.2.1. COMPARATOR DUAL CU REACȚIE POZITIVĂ TOTALĂ

Schela comparatorului dual cu reacție pozitivă totală se prezintă în fig. 4.4, a [43]. În fig. 4.4, b este reprezentată caracteristica de transfer aferentă circuitului (cu linie continuă) comparativ cu caracteristica de transfer a comparatorului fără reacție (curba trasată cu linie întreruptă).

Este lăsat de constatat că pentru o tensiune diferențială de intrare mai mică decât valoarea ΔU_r , necesară obținerii la ieșire a nivelului U_1 , tensiunea de ieșire a comparatorului C_2 va fi de nivel scăzut și prin urmare nu va influența tensiunea u_o . În consecință, funcționarea circuitului are loc în această situație conform caracteristicii de transfer fără reacție (datorită comparatorului C_1). La atingerea nivelului U_1 de către tensiunea u_o , ca urmare a creșterii semnalului diferențial de intrare, tensiunea la ieșirea comparatorului C_2 se mărește determinând creșterea tensiunii u_o . În urma acestui fapt este inițiat un proces de reacție pozitivă, care va determina comutarea comparatorului C_2 , respectiv a comparatorului dual în starea cu nivel ridicat la ieșire.

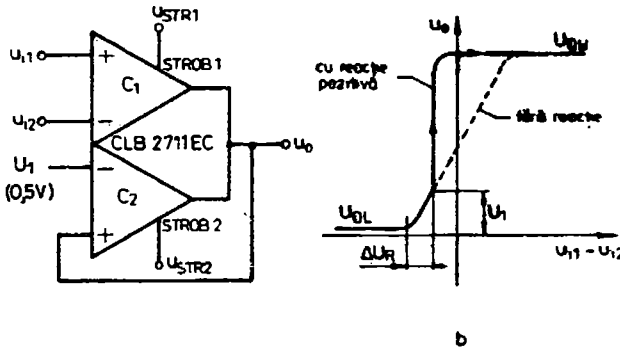


Fig. 4.4. Schema comparatorului cu reacție pozitivă totală (a) și caracteristica de transfer aferentă (b) (curba trasată cu linie continuă).

Este de remarcat că după comutare tensiunea U_0 se menține la **nivel ridicat**, indiferent de starea comparatorului C_1 , ca urmare a buclei de **reacție pozitivă** în care este inclus C_2 . Datorită acestui fapt, parcurgerea **caracteristicii de transfer** a comparatorului dual în sensul corespunzător **schimbării tensiunii diferențiale de intrare** este imposibilă, aşa cum rezultă — de altfel — și din fig. 4.4, b. O nouă operație de comparare poate fi inițiată numai după anularea tensiunii la ieșirea comparatorului C_2 , prin comanda corespunzătoare a intrării de eșantionare aferente acestuia.

Comparatorul dual cu reacție pozitivă prezintă cîteva aplicații **imediate**, după cum urmează.

a) Comparator de viteză și rezoluție ridicată, cu posibilități de **stabilire** și memorare a rezultatului comparării. Schema concretă și diagramele impulsurilor de comandă aplicate intrărilor de eșantionare sunt prezentate în fig. 4.5. Procesele de comparare au loc pe durata impulsurilor.

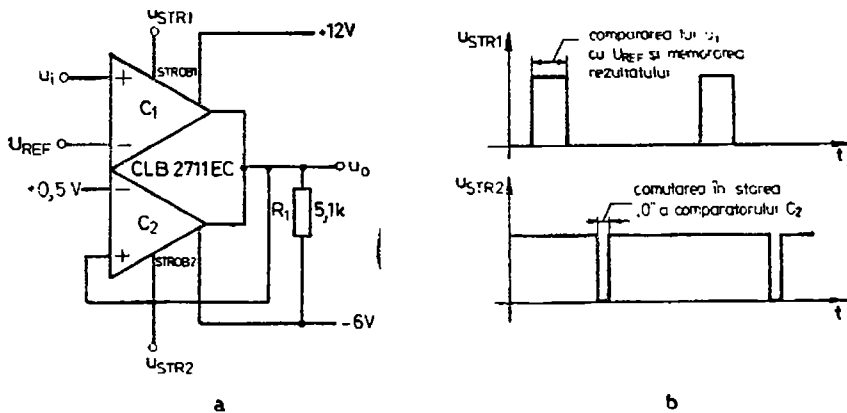


Fig. 4.5. Schema unui comparator de viteză și rezoluție ridicată, cu posibilități de memorare a rezultatului comparării (a). Diagramele impulsurilor de comandă aplicate intrărilor de eșantionare (b).

u_{STR_1} , situație în care sunt active ambele comparatoare C_1 , C_2 . Rezultatul comparării este memorat în continuare pînă la apariția primului impuls de ștergere u_{STR_2} , cînd se comandă comutarea în stare „0“ a comparatorului C_2 .

Tranziția din starea „0“ în starea „1“ a comparatorului dual cu reacție are loc în conformitate cu caracteristica de transfer dată în fig. 4.4, b. Avînd în vedere lipsa de simetrie față de axa verticală a acestei curbe, rezoluția comparatorului cu reacție nu poate fi determinată conform definiției prezentate în paragraful 4.1. O definiție mai realistă pentru acest parametru rezultă dacă se consideră rezoluția ca fiind variația ΔU_R a tensiunii de intrare pentru care tensiunea de ieșire își modifică valoarea de la nivelul inferior U_{OL} la nivelul superior U_{OH} , adică (fig. 4.4, b)

$$\Delta U_R = \frac{U_1 - U_{OL}}{A_u}. \quad (4.3)$$

Pentru $A_u = 1\ 500$ și $U_{OH} = 2,4$ V, în cazul comparatorului fără reacție pozitivă rezultă $U_R \approx 0,66$ mV (rel. 4.1), în timp ce pentru $U_1 = 0,5$ V și $U_{OL} = 0,4$ V se obține $\Delta U_R = 0,066$ mV. Comarind, acum, valorile $\Delta U_R = 0,066$ mV și $2U_R = 2 \cdot 0,66$ mV, pentru care se realizează în ambele situații o tranziție din starea „0“ în starea „1“ la ieșire, se constată că rezoluția comparatorului cu reacție pozitivă este de cca 20 de ori mai bună decît rezoluția comparatorului dual. Mai mult decît atît, această performanță remarcabilă se obține în condițiile în care parametrii ce caracterizează mărimele de intrare ale comparatorului nu sunt afectați ca urmare a aplicării reacției pozitive.

Trebuie subliniat însă, ca un dezavantaj, faptul că nivelul U_{OL} influențează direct rezoluția ΔU_R . Pentru a garanta o anumită valoare minimă a parametrului, se impune un calcul riguros al mărimeilor U_1 și U_{OL} .

Efectele favorabile ale aplicării reacției pozitive se manifestă și în ce privește timpul de răspuns, avînd în vedere că procesul de comutare odată inițiat se desfășoară accelerat și independent de valoarea și viteza de variație a semnalului diferențial de intrare. Timpul de răspuns al comparatorului cu reacție pozitivă, măsurat de la 50% din valoarea unui semnal sinusoidal de intrare avînd mărimea de 10 mV_{PP} la 50% din semnalul de ieșire, rezultă de cca 20 ns. Este interesant de observat că în cazul comparatorului de viteză ROB760 se obține un timp de răspuns apropiat ca valoare în condițiile în care mărimea semnalului de intrare este de trei ori mai mare (30 mV_{PP} [32]).

b) În numeroase aparate numerice de măsurat, cum sunt voltmetrele numerice cu dublă integrare, numărătoarele universale și altele, este utilizat un circuit avînd schema din fig. 4.6 [44, 45]. Pentru un semnal de intrare $u_i > U_{REF}$, U_{REF} fiind o tensiune de referință (în particular de valoare nulă), comparatorul C deschide circuitul poartă și impulsurile existente la cealaltă intrare a circuitului poartă sănătate. În cazul în care $u_i < U_{REF}$, accesul impulsurilor la intrarea numărătorului este blocat. Precizia măsurărilor în care este utilizat circuitul descris mai sus depinde de

* PP (peak-to-peak) = virf la virf (engl.).

Fig. 4.6. Circuit utilizat frecvent în aparatura numerică de măsurat (numărătoare universale, voltmetre numerice cu dublă integrare etc.).

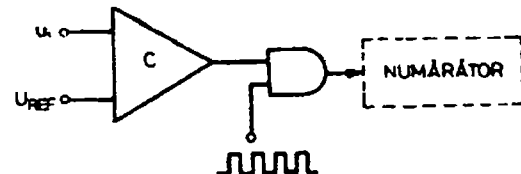
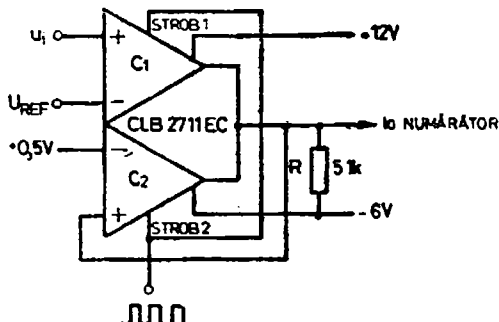


Fig. 4.7. Modul de comandă al unui comparator cu reacție pozitivă totală care realizează funcția circuitului din fig. 4.6.



rezoluția și timpul de răspuns al comparatorului, parametri ale căror valori trebuie să fie cît mai mici [45].

Dezideratele menționate mai sus sunt simultan satisfăcute dacă comparatorul C și circuitul poartă din fig. 4.6 sunt realizate cu ajutorul unui comparator cu reacție pozitivă totală, conectat ca în fig. 4.7 [43]. Se constată ușor că în intervalul dintre impulsurile ce urmează a fi numărate și care sunt aplicate intrărilor de strobare, nivelul tensiunii la ieșire va fi coborît, indiferent de mărimea tensiunii diferențiale de la intrare. Pe durata acestor impulsuri pot exista următoarele două situații :

- $u_i < U_{REF}$, caz în care tensiunea la ieșirea circuitului este de nivel coborît ;
- $u_i > U_{REF}$, situație în care se obține la ieșire un nivel ridicat (adică palierul unui impuls). Din cele prezentate rezultă că impulsurile aplicate intrărilor de strobare vor fi transmise la ieșire numai dacă $u_i > U_{REF}$, astfel încît comparatorul din fig. 4.7 este echivalent, sub aspect funcțional, cu circuitul reprezentat în fig. 4.6.

c) Comparatorul cu reacție pozitivă totală se pretează, datorită capacitatei de memorare a rezultatului comparării, spre a fi utilizat drept circuit basculant bistabil $R-S$ cu prag de declanșare reglabilă (fig. 4.8) [46].

Intrarea „+“ a comparatorului C_1 reprezintă borna „ S “ a bistabilului $R-S$. Bascularea în starea logică „1“ este evidentă, posibilă, numai dacă amplitudinea semnalului aplicat intrării „ S “ depășește nivelul de referință U_{REF} . Pentru rebascularea circuitului în starea „0“ se anulează, prin aplicarea unui impuls scurt, potențialul intrărilor de strobare, care constituie borna „ R “ a bistabilului. Circuitul prezintă timpi de comutare de valori

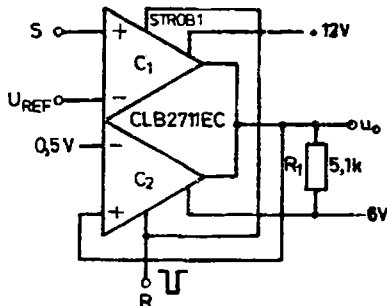


Fig. 4.8.: Utilizarea comparatoarelor dual cu reacție pozitivă totală drop bistabil $R-S$ cu prag de declanșare reglabil.

reduse : la comutarea în starea „1“ datorită procesului de reacție pozitivă, iar la comutarea în starea „0“ ca urmare a timpului de răspuns scurt pe intrările de eșantionare (12 ns [11]). Procesul de comparare al amplitudinii impulsului de declanșare se realizează cu rezoluția ridicată, specifică comparatorului cu reacție pozitivă totală.

4.2.2. CIRCUIT BASCULANT MONOSTABIL

Utilizarea comparatoarelor în scheme de circuite basculante monostabile este posibilă datorită valorilor reduse ale timpului de răspuns. Comparativ cu schemele consacrate de circuite basculante monostabile [47], monostabilele cu comparator prezintă avantajul că permit stabilirea unei ușurință și precizie a unui anumit nivel de declanșare la intrare.

În fig. 4.9, a este prezentată schema unui circuit basculant monostabil realizat cu comparatorul dual CLB2711EC [42].

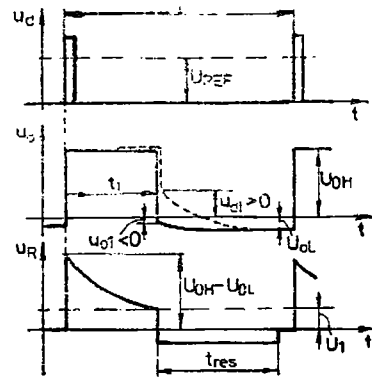
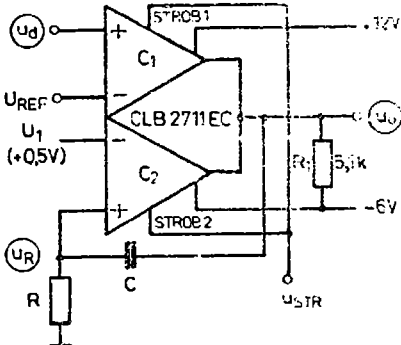


Fig. 4.9. Schema circuitului basculant monostabil realizat cu comparatorul dual CLB2711EC (a) și diagramele de timp ale tensiunilor în principalele puncte ale circuitului (b).

În esență, circuitul prezintă configurația unui comparator dual cu reacție pozitivă, cu diferență că în bucla de reacție a fost introdus condensatorul C . Datorită acestui fapt, după un anumit interval de timp t_i , de la declanșare, tensiunea de reacție pozitivă de la intrarea „+“ a comparatorului C_2 scade sub nivelul U_1 , determinând rebascularea circuitului (fig. 4.9, b). Durata t_i a impulsului generat este dată de expresia [46]

$$t_i = RC \ln \frac{U_{OH} - U_{OL}}{U_1}. \quad (4.4)$$

Pentru valorile uzuale $U_{OH} - U_{OL} \approx 3,5$ V și $U_1 = 0,5$ V, egalitatea de mai sus poate fi scrisă sub forma utilă în proiectare

$$t_i = 1,95 RC. \quad (4.5)$$

După generarea unui impuls, monostabilul tinde spre starea lui inițială, în care ajunge după un interval de timp t_{res} , numit timp de restabilire. Dependent de valoarea rezistenței R , inițierea procesului de restabilire poate avea loc în condițiile în care tensiunea de ieșire a monostabilului este pozitivă ($u_{o1} > 0$), respectiv nulă sau negativă ($u_{o1} < 0$) [46]. În continuare, tensiunea u_o tinde spre valoarea $U_{OL} = -(0,5 \dots 0,7)$ V, aşa cum este ilustrat în fig. 4.9, b (diagrama trazată cu linie continuă pentru $u_{o1} < 0$ și cu linie întreruptă corespunzător lui $u_{o1} > 0$).

Regimul de funcționare corespunzător lui $u_{o1} > 0$ este, evident, necorespunzător, deoarece mărește durata frontului de cădere a impulsului generat. Din punct de vedere aplicativ prezintă, deci, interes, cazul în care imediat după rebasculare $u_{o1} < 0$. Valoarea rezistenței R care asigură funcționarea în acest regim rezultă conform inegalității [46]

$$R \geq \frac{U_{OH} - U_1}{I_{OL} + I_{R1}}. \quad (4.6)$$

În expresia de mai sus $I_{OL} \approx 0,9$ mA reprezintă curentul ce poate fi absorbit de la sarcină de către comparatorul dual, în starea cu nivel coborât la ieșire, iar $I_{R1} = (E - u_{o1})/R_1$ semnifică curentul ce parcurge rezistența R_1 imediat după rebasculare. Considerind valorile uzuale $U_{OH} - U_1 \approx 3,5$ V și $I_{R1} = 1$ mA, în acord cu inegalitatea (4.6) se impune ca

$$R \geq 1,85 \text{ k}\Omega. \quad (4.7)$$

Pentru determinarea duratei timpului de restabilire se are în vedere că în intervalul t_{res} , condensatorul C se descarcă cu o constantă de timp dată, cu o bună aproximare, de produsul RC [46]. Pe baza acestei observații, durata timpului de restabilire rezultă conform expresiei [47]

$$t_{res} = 3RC. \quad (4.8)$$

Relațiile (4.5) și (4.7) permit calculul elementelor R , C ale circuitului basculant monostabil în funcție de durata necesară a impulsului generat. De regulă, se adoptă R în conformitate cu condiția impusă de inegalitatea (4.7), după care se calculează mărimea capacității C utilizând relația (4.5). Durata timpului de restabilire rezultă conform expresiei (4.8).

Circuitul basculant monostabil având schema din fig. 4.9, a este prevăzut cu posibilitatea autorizării, respectiv inhibării funcționării circuitului, prin comanda corespunzătoare a intrărilor de eșantionare (tensiunea u_{STR}).

Drept încheiere se subliniază că, spre deosebire de schema cunoscută de circuit basculant monostabil cu comparator [4], monostabilul realizat cu comparator dual prezintă avantajul că durata impulsului generat nu depinde de nivelul U_{REF} stabilit la intrare.

4.2.3. GENERATOARE DE TENSIUNE TRIUNGHIULARĂ

Schemele cunoscute în literatură de generatoare de tensiune triunghiulară, bazate pe utilizarea amplificatoarelor operaționale și a comparatoarelor [4], prezintă dezavantajul că nu permit reglarea amplitudinii unde generate. În cele ce urmează va fi prezentat un circuit pentru generația impulsurilor triunghiulare, care evită neajunsul menționat mai sus, asigurind totodată posibilitatea reglării independente a pantei de creștere respectiv de scădere a tensiunii furnizate.

Schema circuitului, prezentată în principiu în fig. 4.10, a, se caracterizează prin simplitate, rezultată ca urmare a utilizării comparatorului dual într-o conectare originală [48]. Pentru ușurință expunerii, comparatorul dual a fost reprezentat prin schema logică echivalentă (paragraful 4.1).

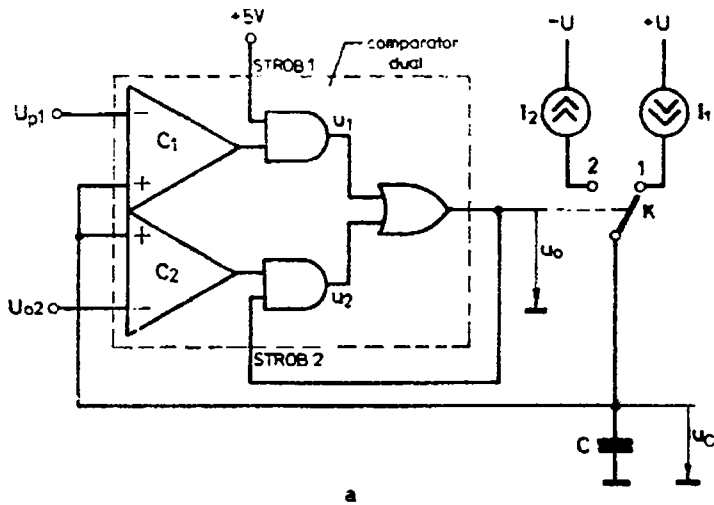
Presupunând că tensiunea de ieșire u_0 are nivel logic coborât, condensatorul C se va încărca cu un curent constant I_1 , prin intermediul cheii electronice K (conectată în poziția „1“). Drept rezultat, tensiunea u_c va crește liniar în timp (fig. 4.10, b). Acest proces continuă pînă la depășirea valorii de prag U_{p1} , cînd nivelul logic al tensiunilor u_1 , respectiv u_0 , devine ridicat („1“ logic).

Modificarea lui u_0 determină comutarea cheii K , fiind inițiat procesul de descărcare al condensatorului C , cu un curent constant de valoare I_2 . Totodată, prin micșorarea tensiunii u_c , comparatorul C_1 revine în starea logică „0“. Acest fapt nu modifică însă nivelul tensiunii u_0 , deoarece comparatorul C_2 se găsește în starea cu nivel „1“ logic la ieșire.

Trecerea de la procesul de descărcare la un nou proces de încărcare are loc în mod similar celor expuse mai sus, la scăderea tensiunii u_c sub nivelul de referință U_{p2} . Totodată, ca urmare a creșterii tensiunii u_c , comparatorul C_2 rebașculează, tinzînd să modifice din „0“ în „1“ logic nivelul tensiunii u_2 (diagrama trasată cu linie întreruptă). O asemenea modificare este nedorită, deoarece determină o valoare „1“ logic a tensiunii u_0 , fapt ce ar împiedica continuarea procesului de încărcare.

Menținerea la nivel coborât a tensiunilor u_2 , respectiv u_0 , după inițierea procesului de încărcare, se realizează prin conectarea intrării de eșantionare STROB2 la ieșirea comparatorului dual (fig. 4.10, a).

Din cele prezentate rezultă că tensiunea triunghiulară se obține la bornele condensatorului C . Amplitudinea acestei tensiuni în domeniul valorilor pozitive și negative poate fi reglată independent, prin modificarea



a

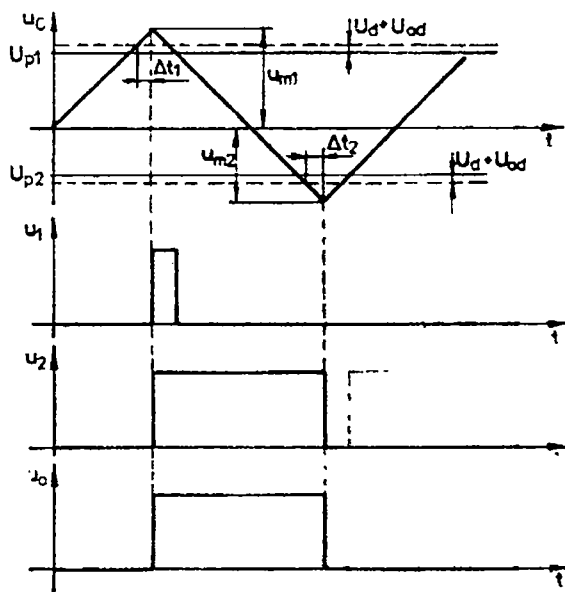


Fig. 4.10. Schema de principiu a generatorului de tensiune triunghiulară (a) și diagramele de timp aferente circuitului (b).

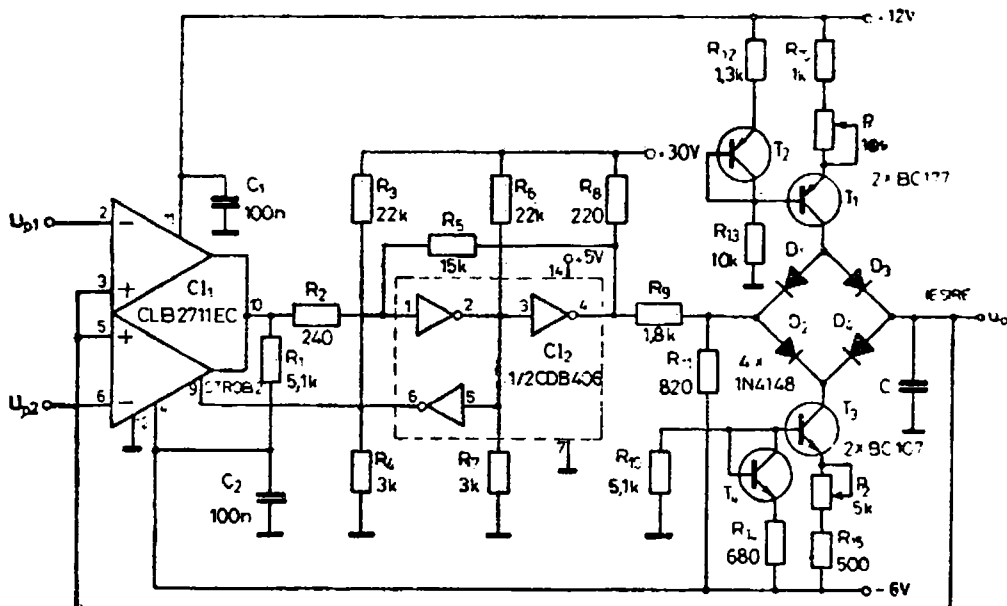
tensiunilor de prag U_{p1} , U_{p2} . Este posibilă, de asemenea, reglarea pantei de creștere, respectiv descreștere, modificând valorile curentilor I_1 și I_2 . Perioada de repetiție a impulsurilor triunghiulare generate depinde atât de tensiunile U_{p1} , U_{p2} , cît și de curentii I_1 , I_2 , conform relației (fig. 4.10. b).

$$T = C(U_{p1} - U_{p2}) \frac{I_1 + I_2}{I_1 I_2}. \quad (4.9)$$

În expresia de mai sus s-a considerat că $U_{p1} > 0$, respectiv $U_{p2} < 0$.

Schela electronică a circuitului analizat mai sus este dată în fig. 4.11. Circuitul include ca elemente esențiale comparatorul dual CI_1 , cheia electronică realizată cu diodele D_1 , ..., D_4 , conectate după o schemă în punte, precum și generatoarele de curent constant utilizând tranzistoarele T_1 , T_3 . În scopul reducerii zonei de indecizie și a îmbunătățirii timpului de răspuns al comparatorului, acesta este urmat de un circuit basculant Schmitt realizat cu două circuite invertoare integrate (CI_2). Un al treilea circuit invertor asigură semnalul necesar pentru comanda intrării de esanționare STROB2.

Pentru reglarea pantei de creștere și descreștere a tensiunii triunghiulare se modifică curentii furnizați de generatoarele de curent constant, utilizând potențiometrele P_1 , respectiv P_2 . Valorile extreme ale tensiunii generate pot fi reglate prin intermediul tensiunilor de prag U_{p1} , U_{p2} .



Numerotarea terminalelor se referă la capsula de plastic cu 14 terminale TO-116

Fig. 4.11. Schema electronică a generatorului de tensiune triunghiulară.

• Cu valorile componentelor indicate în schemă, curentii I_1 și I_2 pot fi modificati, acoperitor, în limitele 0,1—1 mA. Considerind $C=0,1 \mu\text{F}$ și $U_{p1}=2,5 \text{ V}$, $U_{p2}=-2,5 \text{ V}$, perioada de repetiție a tensiunii generate poate fi variată între $(10^{-1}-10^{-3}) \text{ s}$.

• Calitatea circuitului elaborat o constituie faptul că valorile extreme ale tensiunii generate diferă neglijabil de tensiunile de prag U_{p1}, U_{p2} . Mărimele U_{p1}, U_{p2} , la rîndul lor, pot fi măsurate cu erori mici, ca valori ale unor tensiuni continue. Rezultă că circuitul se pretează să fie utilizat în unele aplicații, în care este necesară cunoașterea cu o precizie relativ ridicată a amplitudinilor u_m , u_{m2} (fig. 4.10, b).

Dacă diferența

$$e_i = U_{pi} - u_{mi}, \quad i = 1, 2 \quad (4.10)$$

rezintă eroarea de amplitudine în domeniul tensiunilor pozitive ($i=1$) respectiv negative ($i=2$), valorile extreme ale lui $|e_i|$ rezultă conform relației (fig. 4.10, b).

$$|e_i| \leq |U_{1D}| + |U_{od}| + \Delta t_i S_i, \quad i = 1, 2. \quad (4.11)$$

În expresia de mai sus S_1 și S_2 reprezintă viteza de creștere, respectiv de scădere a tensiunii u_c , iar prin Δt_1 , Δt_2 au fost notați timpii de răspuns ai comparatoarelor C_1 , C_2 la comutarea în „1”, respectiv „0” logic, corespunzător unei supracomenzi $U_{od} \cdot U_{1D}$ reprezentă tensiunea de decalaj.

Relația (4.11) evidențiază următoarele aspecte importante

— În scopul micșorării erorii de amplitudine se impune utilizarea unor comparatoare cu tensiune de decalaj cât mai redusă și timpi de răspuns scăzuți.

— Eroarea $|e_i|$, pentru o amplitudine dată la ieșire, crește o dată cu frecvența de repetiție a undei generate, putind constitui — în anumite situații — un factor restrictiv pentru frecvența maximă atinsă.

Se menționează că atât în fig. 4.10, b, cât și în considerațiile de mai sus a fost neglijată întîrzierea introdusă la comutare de circuitul basculant Schmitt și cheia electronică K. Efectul acestei întîrziri este identic cu cel determinat de timpii de răspuns ai comparatoarelor și prin urmare valorile și (în general diferite pentru comutarea în „1”, respectiv „0” logic) trebuie incluse în mărimele Δt_1 , Δt_2 .

Timpii de răspuns ai circuitului din fig. 4.11 (inclusiv întîrzierea introdusă de circuitul basculant Schmitt și cheia K), măsurăți pentru o tensiune de supracomandă $U_{od}=1 \text{ mV}$, au rezultat $\Delta t_1=\Delta t_2 \cong 70 \text{ ns}$. Având în vedere că pentru comparatorul dual, la limită, $U_{1D}=5 \text{ mV}$ [11], în conformitate cu relația (4.11) se obține $|e_i| < 7,75 \text{ mV}$, corespunzător unei viteze de creștere respectiv descreștere de 25 V/ms .

O schemă cu performanțe superioare celei reprezentate în fig. 4.11, rezultate ca urmare a înlocuirii comparatorului dual cu două comparatoare prevăzute cu reacție pozitivă totală, este prezentată în [49].

4.2.4. DETECTOARE DE VÎRF

Comparatoarele reprezintă, alături de amplificatoarele operationale, dispozitive electronice larg utilizate în detectoarele de vîrf [4, 50, 51, 52]. În mod deosebit, prezența comparatorului dual în detectoarele de vîrf și de valoare extremă conferă acestor circuite valențe și posibilități greu de atins cu schemele clasice cunoscute [52, 54, 55, 56]. Pentru o ilustrare mai aprofundată a acestei afirmații, va fi prezentată în cele ce urmează schema unui detector de valori extreme realizat cu comparatorul dual CLB2711EG [56].

Funcția pe care trebuie să o realizeze un detector de valori extreme constă în investigarea tensiunii de intrare atât în domeniul valorilor pozitive cât și negative și furnizarea la ieșire a unei tensiuni de mărime egală cu valoarea extremă atinsă la intrare, precum și a unei informații privind semnul extremului. Este de preferat ca, indiferent de semnul extremului, tensiunea de la ieșirea detectoarelor să aibă aceeași polaritate, în vederea unei mai ușoare prelucrări ulterioare.

Utilizarea detectoarelor de vîrf pentru realizarea unui circuit care să satisfacă dezideratele menționate mai sus conduce la o schemă relativ complexă și care prezintă erori suplimentare față de erorile detectoarelor de vîrf componente [56]. O soluție în care sunt evităte aceste dezavantaje, ca urmare a utilizării unui comparator dual, este prezentată în principiu în fig. 4.12 [56].

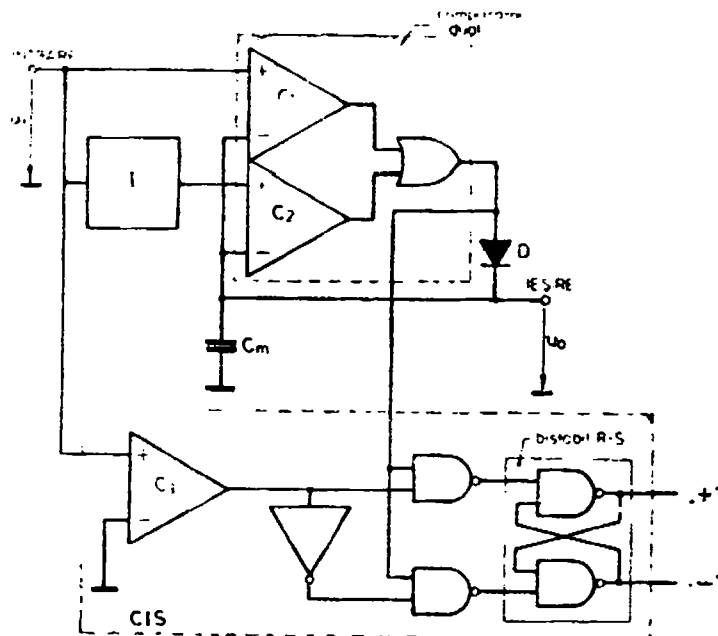


Fig. 4.12. Detector pentru valori extreme realizat cu un comparator dual. Schemă de principiu.

Comparatoarele C_1 , C_2 alcătuiesc împreună cu circuitul SAU, dioda D și condensatorul de memorare C_m — ca elemente comune — două detectoare de vîrf [7]. Primul detector reține valoarea de vîrf pozitivă iar cel de al doilea sesizează, datorită invertorului I de la intrare, valoarea de vîrf negativă. Dat fiind că memorarea tensiunilor de vîrf se face la bornele aceluiași condensator C_m , acesta va fi încărcat numai atunci cînd valoarea momentană a semnalului investigat, pozitivă sau negativă, depășește în valoare absolută valorile momentane precedente. În această situație, la bornele condensatorului de memorare se obține o tensiune de mărime egală cu valoarea extremă atinsă la intrare.

Stabilirea semnului extremului se realizează cu circuitele din blocul CIS (circuitele pentru indicarea semnului), după cum urmează. Ori de câte ori mărimea tensiunii de intrare depășește valoarea maximă precedentă, unul dintre comparatoarele C_1 , C_2 și în consecință și ieșirea circuitului SAU, trec pe o anumită durată în starea logică „1” (logică pozitivă). Drecht urmare, în funcție de nivelul semnalului de la ieșirea comparatorului C_3 , are loc bascularea bistabilului $R-S$. Dacă, spre exemplu, depășirea are loc în domeniul tensiunilor pozitive, cînd comparatorul C_3 se găsește în starea logică „1”, bistabilul este comutat încît se obține „1” logic la ieșirea „+”. În mod similar, pentru o depășire în domeniul valorilor negative, bistabilul este basculat în starea complementară. Cum ultima depășire corespunde valorii extreme a semnalului analizat, rezultă că starea finală a bistabilului va indica polaritatea extremului.

Este de remarcat simplitatea deosebită a schemei analizate, comparativ cu alte variante posibile, rezultată mai cu seamă ca urmare a ideii memorării tensiunii corespunzătoare valorii extreme la bornele unui singur condensator C_m . Trebuie subliniată, totodată, realizarea facilă a circuitului detector, avînd în vedere că cele două comparatoare și circuitul SAU reprezentă, de fapt, un singur circuit integrat (un comparator dual).

Schema electronică a detectorului de valori extreme (fără circuitele CIS pentru indicarea semnului, suficient de detaliate în fig. 4.12) este reprezentată în fig. 4.13. Circuitul invertor include un amplificator operational IC_1 , căruia i s-a aplicat o reacție de compensare de tipul cu „cuplaj-inainte” [7], în scopul obținerii unei benzi de trecere cît mai largi. Prin-tr-o alegere potrivită a parametrilor elementelor din circuitul de reacție (C_1 , C_2) s-a urmărit realizarea unei caracteristici de răspuns la impuls fără supracreșteri, care ar putea determina erori suplimentare. Spre deosebire de schema de principiu dată în fig. 4.12, circuitul detector include un repetor pe sursă (T_1). Repetorul face ca impedanța conectată la bornele condensatorului de memorare C_7 să fie suficient de ridicată, încît să rezulte o viteză de alterare redusă a tensiunii memorate (mai mică de 0,5 mV/s). Pentru delimitarea intervalelor de timp pe durata cărora este urmărit semnalul de intrare, se activează, respectiv se inhibă comparatorul dual cu un semnal de comandă corespunzător (nivel TTL), aplicat intrărilor de eșantionare (u_{STR}). Întrerupătorul K , normal deschis, servește la descărcarea completă a condensatorului de memorare înaintea inițierii unui nou proces de investigare.

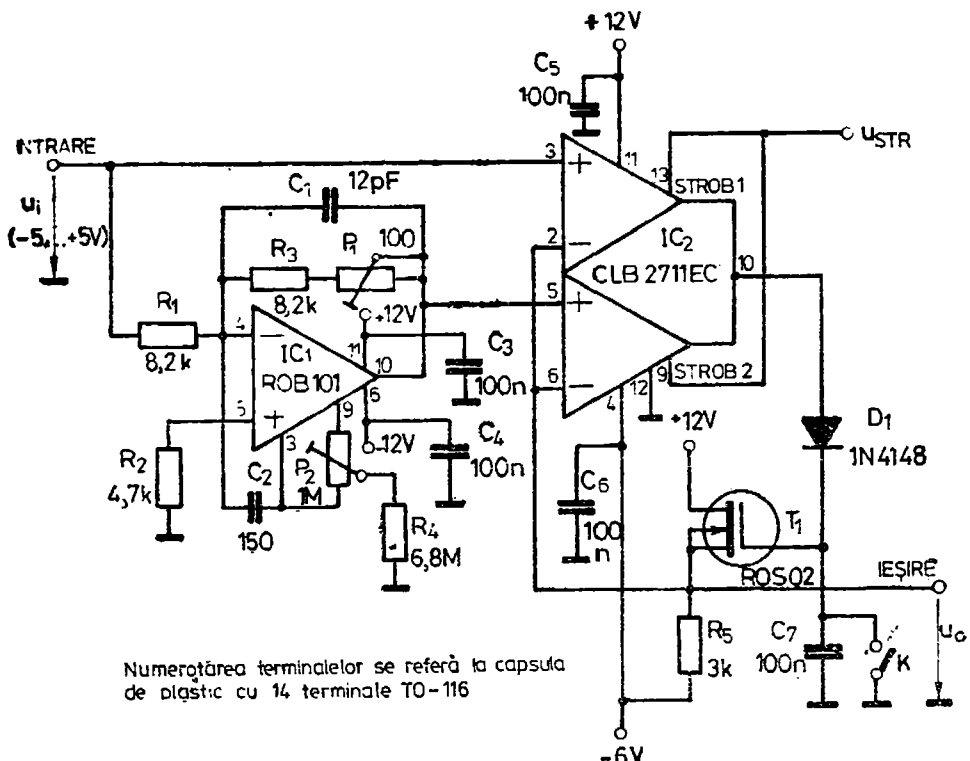


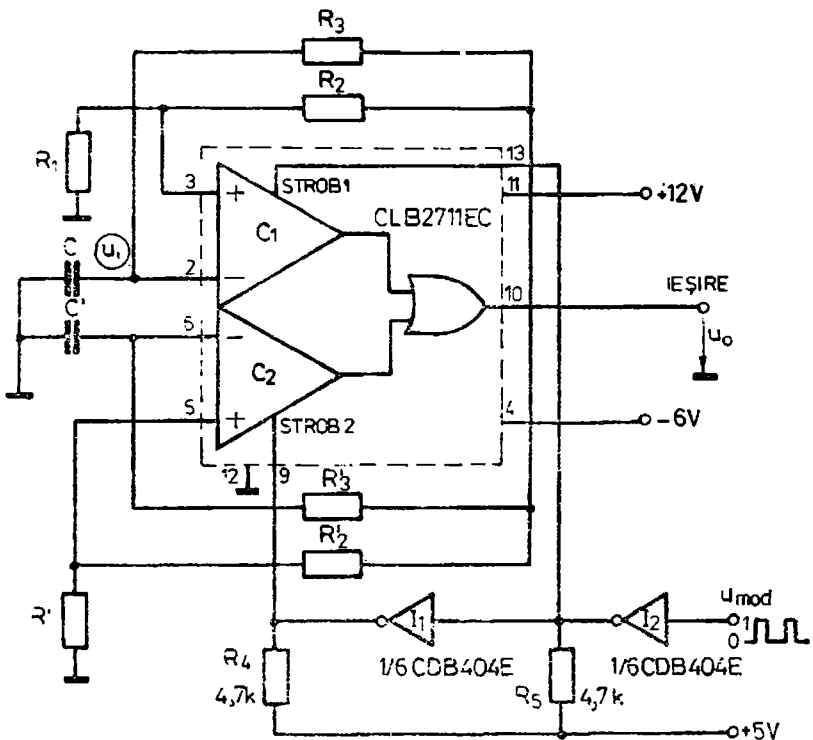
Fig. 4.13. Schema electronică a detectorului pentru valori extreme (fără circuitul de indicare a semnului).

În cazul detectorului din fig. 4.13 pot fi utilizate și alte circuite pentru indicarea semnalului extremului. Un asemenea circuit, a cărui funcționare se bazează pe posibilitatea activării/inhibării comparotorului dual prin intermediul intrărilor de eșantionare, este prezentat în [56, 54].

4.2.5. CIRCUITE GENERATOARE DE IMPULSURI DREPTUNGHIULARE

Posibilitatea și avantajele utilizării comparatoarelor în circuite destinate generării impulsurilor sunt cunoscute în literatură [4, 7]. În cazul comparotorului dual, la aceste avantaje se mai adaugă reducerea complexității circuitelor necesare într-o aplicație dată, față de situația în care s-ar utiliza comparatoare obișnuite și/sau creșterea aplicabilității pentru o schemă cu o anumită complexitate.

Primul circuit, prezentat în continuare, îl constituie un modulator cu deplasare de frecvență, cunoscut și sub denumirea de transmițător



Numerotarea terminalor se referă la capsula de plastic cu 14 terminale TO-116

Fig. 4.14. Modulator cu deplasare de frecvență (FSK) realizat cu comparatorul dual CLB2711EC.

FSK*, frecvență utilizată în transmiterea la distanță a informațiilor numerice [57]. Funcția pe care o realizează un asemenea circuit constă în generarea unei succesiuni de impulsuri dreptunghiulare, a căror frecvență de repetiție este modificată la două valori fixe f_0 și f_1 , corespunzător celor două valori „0“ și „1“ logic ale unui semnal modulator. Schema unui modulator cu deplasare de frecvență, realizat cu un comparator dual CLB2711EC, este dată în fig. 4.14 [58].

Cele două comparatoare C_1 și C_2 , din figură, sunt conectate fiecare după o schemă de generator care furnizează impulsuri dreptunghiulare cu frecvențele de repetiție f_0 (C_1) și f_1 (C_2). Prin activarea la un anumit moment a unui singur comparator și inhibarea funcționării celuilalt, se obțin la ieșirea comparatorului dual impulsuri cu frecvență de repetiție f_0 sau f_1 , după cum este activat C_1 , respectiv C_2 .

Funcționarea circuitelor generatoare de impulsuri dreptunghiulare realizate cu comparator este tratată în literatură [4]. Se precizează, to-

* Prescurtare de la Frequency-shift-keyed (engl.)

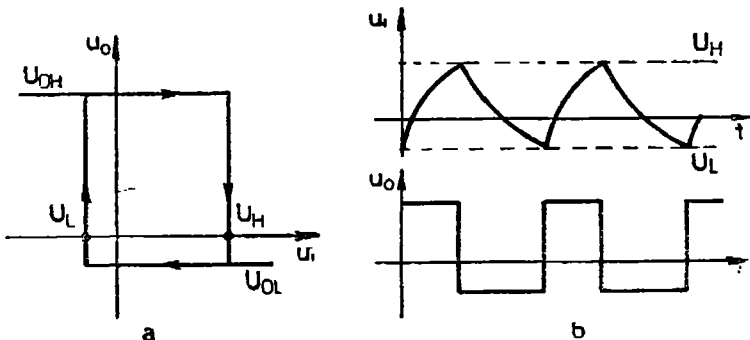


Fig. 4.15. Căracteristica de transfer a comparatorului C_1 , conectat ca circuit basculant Schmitt (a) și forma de variație în timp a tensiunii la intrarea acestui circuit (b).

tuși, că rezistențele R_1 și R_2 determină comportarea comparatorului C_1 față de intrarea „—“ cu un circuit basculant Schmitt, având caracteristica de transfer reprezentată în fig. 4.15, a. Neglijînd curentii de intrare ai comparatorului, tensiunile de prag U_H și U_L ale circuitului Schmitt, evidențiate în figură, sunt date de relațiile

$$U_H = \frac{R_1}{R_1 + R_2} = U_{oH}; \quad U_L = \frac{R_1}{R_1 + R_2} U_{oL}. \quad (4.12)$$

În această situație, drept urmare a proceselor de încărcare-descărcare ale condensatorului C prin rezistența R_3 , care conduce la modificarea tensiunii la intrarea circuitului Schmitt ca în fig. 4.15, b, se vor obține la ieșirea comparatorului dual impulsurile dreptunghiulare u_o . Perioada de repetiție T_0 a acestor impulsuri rezultă conform expresiei [58]

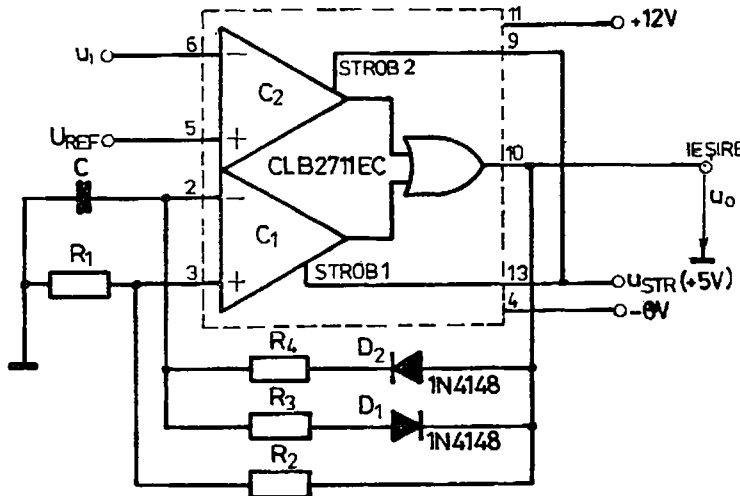
$$T_0 = \frac{1}{f_0} = R_3 C \ln \frac{U_{oH} - U_L}{U_{oH} - U_H} + R_3 C \ln \frac{U_{oL} - U_H}{U_{oL} - U_L}. \quad (4.13)$$

Se subliniază, totodată, că primul termen din membrul drept al egalității (4.13) reprezintă durata unui impuls generat (adică intervalul de timp în decursul căruia ieșirea modulatorului are nivel ridicat), în timp ce termenul al doilea corespunde intervalului dintre impulsuri.

Funcționarea generatorului pentru frecvența f_1 , realizat cu comparatorul C_2 , deține în mod asemănător cu funcționarea generatorului pentru frecvența f_0 , cu diferența că perioada de repetiție a impulsurilor generate este dată de expresia

$$T_1 = \frac{1}{f_1} = R'_3 C' \ln \frac{U_{oH} - U_L}{U_{oH} - U_H} + R'_3 C' \ln \frac{U_{oL} - U_H}{U_{oL} - U_L}. \quad (4.14)$$

Comanda intrărilor de eşantionare se realizează prin intermediul unor circuite logice inverse cu colector în gol I_1, I_2 . Este ușor de observat că pentru un nivel scăzut („0“ logic) al semnalului modulator u_{mod} (fig. 4.14), va fi activat comparatorul C_1 , obținindu-se la ieșirea circuitului impulsuri



Numerotarea terminalelor se referă la capsula de plastic cu 14 terminale TO-116

Fig. 4.16. Schema electronică a unui element de comparație dintr-un dispozitiv de automatizare, realizat cu comparatorul dual CLB2711EC.

dreptunghiulare cu frecvență de repetiție f_0 . În cazul unui semnal modulator cu nivel ridicat („1“ logic), frecvența de repetiție a impulsurilor generate va fi egală cu f_1 .

Cu privire la proiectarea elementelor modulatorului cu deplasare de frecvență, se recomandă ca valorile rezistențelor din circuitele generatoarelor de impulsuri să fie de ordinul cîtorva $k\Omega$. În această situație, cu toate neglijările făcute la stabilirea rel. (4.12), (4.13), (4.14) (curenți de intrare și rezistență de ieșire ale comparatorului dual), mărările calculate aproximează suficient de exact parametrii reali ai circuitului. Pentru următoarele valori ale componentelor: $R_1 = R'_1 = R_2 = R'_2 = 1 \text{ k}\Omega$, $R_3 = 2,1 \text{ k}\Omega$, $R'_3 = 1,91 \text{ k}\Omega$ și $C = 0,1 \mu\text{F}$, s-a obținut $f_0 = 2,025 \text{ kHz}$ și $f_1 = 2,225 \text{ kHz}$, durațele impulsurilor generate fiind $t_0 = 0,2 \text{ ms}$ și respectiv $t_1 = 0,3 \text{ ms}$.

Un alt exemplu de utilizare a comparatorului dual la generarea impulsurilor dreptunghiulare, cu aplicații în domeniul sistemelor de reglare automată, îl constituie circuitul avînd schema reprezentată în fig. 4.16 [59]. Acest circuit realizează comanda cu impulsuri dreptunghiulare a elementului de execuție, în situația în care tensiunea de intrare u , de valoare proporțională cu mărimea reglată, depășește nivelul de referință u_{REF} . În caz contrar, furnizarea impulsurilor este sistată.

În esență, circuitul constă dintr-un generator de impulsuri dreptunghiulare (comparatorul C_1 împreună cu elementele de circuit aferente) și un comparator de tensiune (comparatorul C_2). Dacă $u < U_{REF}$, nivelul tensiunii la ieșirea comparatorului dual, impuls de tensiunea de ieșire a comparatorului C_2 , va fi în permanență ridicat („1“ logic). Această stare corespunde regimului în care nu sunt furnizate impulsuri de comandă.

Pentru $u_s > U_{REF}$, situație în care tensiunea de ieșire a comparatorului C_2 este cu nivel coborât ("0" logic), impulsurile generate de C_1 sunt transmise la ieșirea circuitului.

Funcționarea generatorului de impulsuri realizat cu comparatorul C_1 nu diferă, în principiu, de funcționarea generatoarelor din modulatorul cu deplasare de frecvență. Spre deosebire de acestea însă, în cazul schematic din fig. 4.16 au fost prevăzute în circuitul de încărcare-descărcare al condensatorului C , diodele D_1 , D_2 . Ele permit modificarea independentă a duratei, respectiv intervalului dintre impulsurile generate. Astfel, în intervalul dintre impulsuri, cind conduce dioda D_2 ($u_s = U_{OH}$), încărcarea condensatorului C are loc prin rezistența R_4 , în timp ce pe durată impulsurilor, cind conduce D_1 , descărcarea se realizează prin R_3 . În consecință, durata t_1 a impulsurilor generate și respectiv intervalul t_2 dintre aceste impulsuri rezultă conform expresiilor (vezi rel. (4.13))

$$t_1 = R_3 C \ln \frac{U_{OH} - U_L}{U_{OL} - U_L}; \quad t_2 = R_4 C \ln \frac{U_{OH} - U_L}{U_{OH} - U_B} \quad (4.15)$$

în care notațiile au semnificația cunoscută.

La fel ca și în cazul generatoarelor de impulsuri din modulatorul cu deplasare de frecvență, rezistențele R_1 , R_2 , R_3 , R_4 se vor alege de ordinul cîtorva kΩ. Pentru valorile componentelor : $R_1 = R_2 = 1$ kΩ, $R_3 = 1,5$ kΩ, $R_4 = 14,3$ kΩ și $C = 0,1$ μF, s-a obținut $t_1 = 250$ μs și $t_2 = 1$ ms.

4.2.6. UTILIZAREA INDEPENDENTĂ A CELOR DOUA CIRCUITE DE COMPARARE DIN COMPARATORUL DUAL

Ideea utilizării independente a celor două circuite de comparare din comparatorul dual este tentantă, datorită avantajelor care rezultă :

- reducerea numărului necesar de componente, cu micșorarea corespunzătoare a puterii consumate de la sursa de alimentare ;
- disponibilitatea unei a treia ieșiri, care reprezintă funcția logică SAU (în logică pozitivă) între semnalele de la ieșirile celor două circuite de comparare.

Schema utilizată este reprezentată în fig. 4.17. Se constată că accesul la ieșirile comparatoarelor C_1 , C_2 este posibil, folosind în acest scop bornele de eşantionare $STROB\ 1$ și $STROB\ 2$, conectate la cele două ieșiri prin intermediul diodelor Zener DZ_1 , DZ_2 [7]. Dacă rezistența de sarcină este mai mică decit cca 10 kΩ sau se necesită comanda unor circuite logice TTL, conectarea la intrările de eşantionare se face folosind repetoarele pe emitor realizate cu tranzistoarele T_1 , T_2 . Conectarea directă la intrările de eşantionare a unei rezistențe de sarcină prea mici conduce la micșorarea cîstigului în tensiune al comparatorului și deci la înrăutățirea rezoluției.

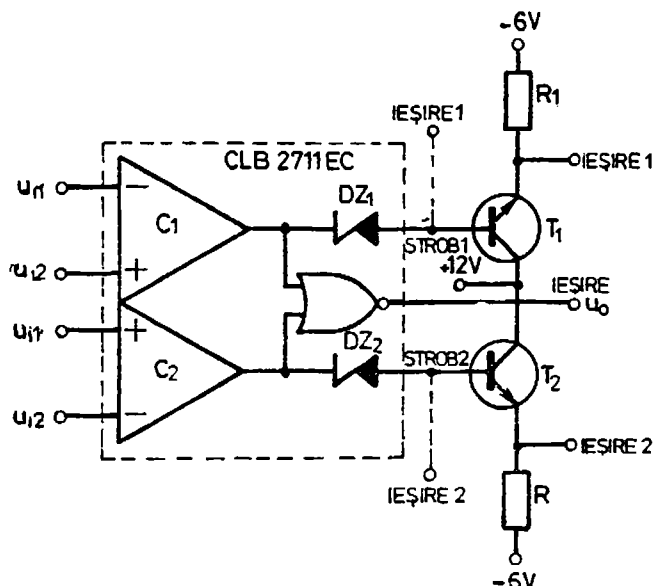
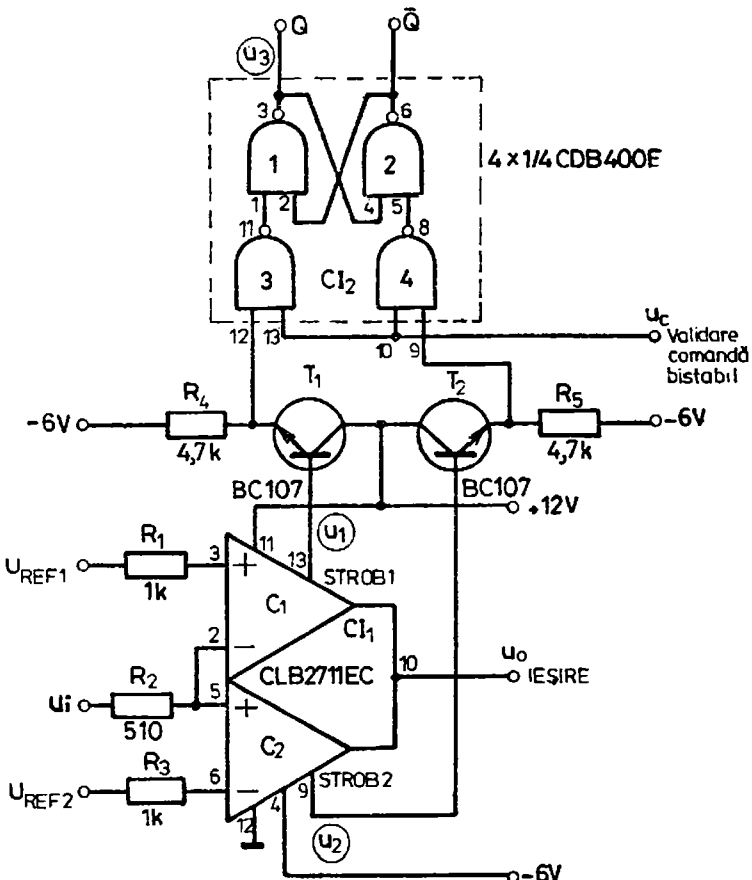


Fig. 4.17. Utilizarea independentă a celor două circuite de comparare C_1, C_2 dintr-un comparator dual.

Un exemplu de aplicare a ideii menționate îl constituie circuitul având schema reprezentată în fig. 4.18 [60]. Funcția pe care o realizează acest circuit constă în detectarea momentului trecerii prin zero a semnalului de intrare, cu indicarea sensului acestei treceri (de la valori pozitive spre valori negative sau viceversa). În fig. 4.19 sunt prezentate diagramele de timp ale tensiunilor în principalele puncte ale circuitului.

Comparatorul dual este utilizat drept discriminator de interval (fig. 4.18) [4], astfel încât pentru o tensiune de intrare $U_{REF2} < u_i < U_{REF1}$, tensiunea de ieșire u_o a comparatorului are nivel scăzut („0“ logic). Prin alegerea nivelurilor de referință U_{REF1}, U_{REF2} cu valori apropriate, tensiunea u_o va consta practic dintr-o succesiune de impulsuri ca în fig. 4.19, de durată suficient de mică încât să marcheze momentul trecerii prin zero al semnalului de intrare u_i .

Sensul trecerii prin zero este pus în evidență de un circuit basculant bistabil $R-S$, realizat cu doi operatori SI-NU (circuitele 1 și 2 din CI_2). Bistabilul este comandat cu semnalele obținute la ieșirile comparatoarelor C_1, C_2 , care sunt prelevate prin intermediul intrărilor de eșantionare $STROB\ 1, STROB\ 2$ și a repetoarelor pe emitor T_1, T_2 . Operatorii SI-NU 3 și 4 din circuitul CI_2 validează bascularea bistabilului $R-S$, funcție de nivelul logic al unui semnal de comandă u_c . Se constată ușor că starea bistabilului poate fi modificată numai dacă semnalul u_c are nivelul ridicat („1“ logic). În caz contrar este memorată în continuare starea precedentă.



Numerotarea terminalelor se referă la capsula de plastic cu 14 terminale TO-116

Fig. 4.18. Schema electronică a circuitului detector de trecere prin zero cu indicarea sensului de variație a tensiunii de intrare.

Pentru prezentarea funcționării circuitului de indicare a sensului de trecere prin zero, se va considera cazul unui semnal de intrare sinusoidal, ca în fig. 4.19. Se ve presupune, totodată, că este validată comanda bistabilului $R-S$, adică tensiunea u_c are o valoare corespunzătoare lui „1“ logic. În această situație, la depășirea nivelului de referință U_{REF1} de către semnalul de intrare u_i , comparatorul C_1 comută în starea cu nivel ridicat la ieșire (tensiunea u_1 în fig. 4.19), determinând bascularea bistabilului în starea „1“ ($Q=1$). Rebascularea bistabilului are loc o dată cu trecerea comparatorului C_2 în starea corespunzătoare unei tensiuni de ieșire cu nivel ridicat (u_2 în fig. 4.19), situație ce se realizează în momentul în care $u_i < U_{REF2}$.

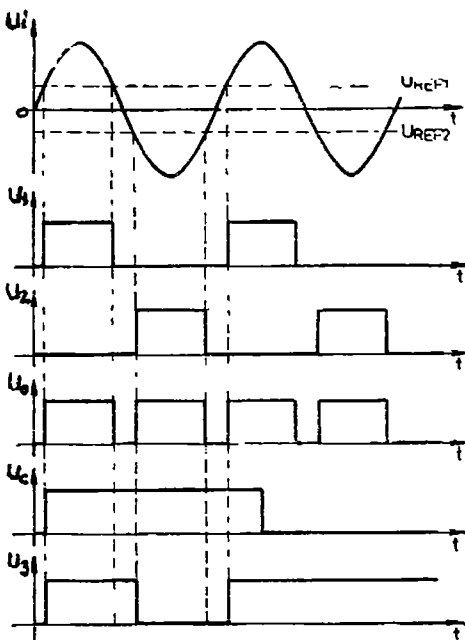


Fig. 4.19. Diagramme de temps des tensions dans les principales parties du circuit détecteur de passage à zéro.

Forma tensiunii rezultate la ieșirea bistabilului $R-S$, în urma proceselor de mai sus, se prezintă ca în fig. 4.19 (tensiunca u_3). Se va observa, totodată, că în reprezentarea tensiunii u_3 s-a avut în vedere faptul că, după inhibarea comenzi bistabilului $R-S$, este memorată starea corespunzătoare sensului ultimei treceri prin zero dinaintea comutării tensiunii u . Această facilitate este deseori utilă în aplicațiile practice.

Cu valorile componentelor indicate în schema din fig. 4.18 și pentru $U_{REF1} = -U_{REF2} = 20 \text{ mV}$, durata impulsurilor de ieșire u_0 a fost mai mică de $30 \mu\text{s}$, corespunzător unei tensiuni de intrare sinusoidale de $10 \text{ V}_{PP} / 50 \text{ Hz}$.

4.2.7. UTILIZAREA COMPARATORULUI DUAL CA AMPLIFICATOR OPERAȚIONAL

Din definiția dată în paragraful 4.1 pentru comparatorul integrat, se intrevede posibilitatea utilizării acestuia din urmă în aplicații specifice amplificatoarelor operaționale. Un asemenea mod de utilizare prezintă interes din punct de vedere aplicativ ca urmare a faptului că, în general, comparatoarele au o bandă de trecere mai largă decât amplificatoarele operaționale. Desigur că soluția în discuție comportă și dezavantaje. Dințre acestea se menționează excursia redusă a tensiunii de ieșire, dar mai ales imposibilitatea realizării unei anumite caracteristici de frecvență în

buclă închisă, datorită inexistenței punctelor de acces pentru conectarea elementelor de compensare. La fel ca și în exemplele precedente, utilizarea comparotorului dual în aplicații tipice amplificatoarelor operaționale conduce la avantaje suplimentare specifice, determinate de interconectarea ieșirilor comparatoarelor componente. Un exemplu ilustrativ din acest punct de vedere îl constituie redresorul de precizie dublă alternanță realizat cu un comparotor dual CLB2711EC [61].

Funcționarea circuitului se bazează pe posibilitatea realizării unor caracteristici de transfer în buclă închisă pentru comparatoarele componente ale unui comparotor dual, de forma celor prezentate în fig. 4.20, a. Se va remarcă că cele două caracteristici trec prin originea axelor de coordinate și că sunt simetrice în raport cu axa verticală. În această situație, și ca urmare a faptului că tensiunea de ieșire u_0 a comparotorului dual rezultă prin însumarea exclusiv a valorilor pozitive ale tensiunilor u_{01} și u_{02} de la ieșirile comparatoarelor componente [7], adică

$$u_0 = \begin{cases} u_{01} + u_{02}, & u_{01} > 0 \text{ și } u_{02} > 0 \\ u_{01}, & u_{01} > 0 \text{ și } u_{02} < 0 \\ u_{02}, & u_{01} < 0 \text{ și } u_{02} > 0 \\ U_{OL}, & u_{01} < 0 \text{ și } u_{02} < 0 \end{cases} \quad (4.16)$$

caracteristica de transfer globală a circuitului va avea forma reprezentată în fig. 4.20, b.

O asemenea comportare face posibilă utilizarea comparotorului dual prevăzut cu circuitele de reacție necesare realizării caracteristicilor de

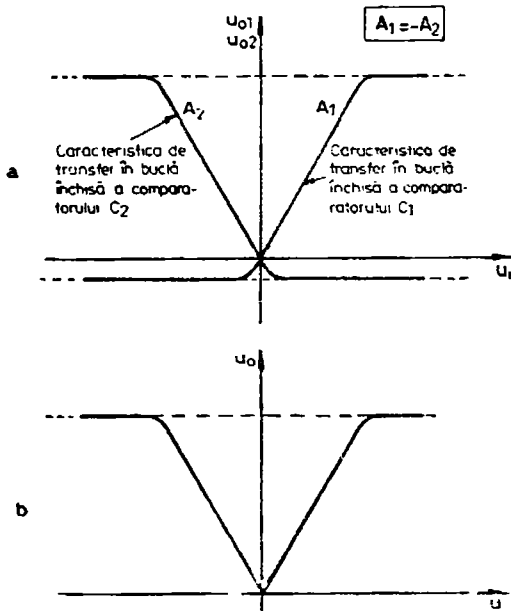


Fig. 4.20. Caracteristicile de transfer în buclă închisă ale comparatoarelor C_1, C_2 dintr-un comparotor dual (a) și caracteristica globală de transfer a comparotorului dual (b).

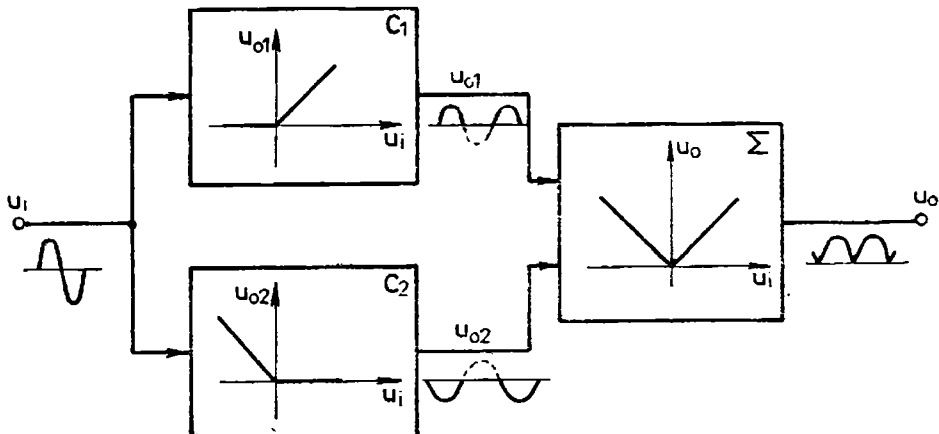


Fig. 4.21. Principiul de funcționare al unui redresor de precizie dublă-alternanță realizat cu un comparator dual CLB2711EC.

transfer din fig. 4.20, a, drept redresor de precizie dublă alternanță. În fig. 4.21 este ilustrată, în mod sugestiv, funcționarea circuitului redresor în cazul unui semnal de intrare sinusoidal.

Schema electronică a redresorului de precizie dublă alternanță, reprezentată în fig. 4.22, include comparatorul dual (C_1), elementele circuitelor de reacție necesare realizării caracteristicilor de transfer în buclă închisă (rezistențele R_1, R_2, R_3, R_4), precum și circuitele pentru poziționarea caracteristicilor de transfer față de originea axelor de coordonate (potențiometrele P_1, P_2 și rezistențele R_5, R_6). Condensatorul C are rolul de a realiza corecția caracteristicii de frecvență a celor două comparatoare C_1, C_2 , în scopul prevenirii apariției oscilațiilor ($C \approx 100 \text{ pF}$).

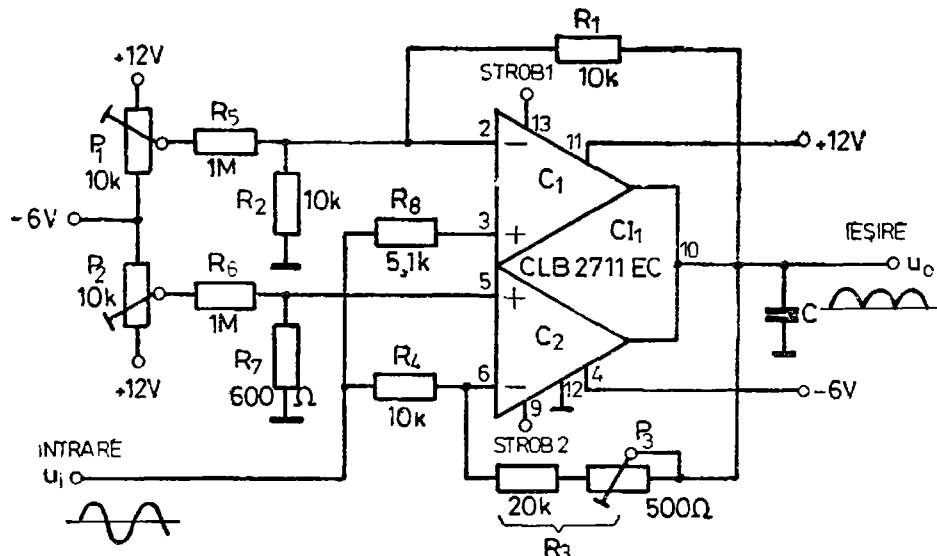
Comparitorul C_1 îndeplinește funcția de amplificator neinvertor pentru valorile pozitive ale semnalului de intrare, având cîstigul în tensiune dat de expresia [4]

$$A_{u1} = \frac{R_1 + R_2}{R_1}. \quad (4.17)$$

În cazul unui semnal de intrare cu valori negative, tensiunea de ieșire a amplificatorului neinvertor este limitată la valoarea $U_{OL} = -0,5 \text{ V}$ (fig. 4.20). Cel de al doilea comparitor (C_2), conectat ca amplificator invertor, asigură o amplificare în tensiune pentru valorile negative ale semnalului de intrare egală cu

$$A_{u2} = -\frac{R_3}{R_4}. \quad (4.18)$$

La fel ca și în cazul amplificatorului neinvertor, tensiunea de ieșire a amplificatorului invertor — corespunzătoare unui semnal de intrare cu valori pozitive, este limitată la valoarea U_{OL} . Se constată imediat, pe baza celor expuse mai sus, că atât amplificatorul neinvertor, cât și ampli-



Numerotarea terminalelor se referă la capsula de plastic cu 14 terminale TO-116

Fig. 4.22. Schema electronică a redresorului de precizie dublă-alternanță.

ficatorul invertor prezintă caracteristici de transfer de forma celor reprezentate în fig. 4.20, a.

Mărimea erorilor introduse de redresorul de precizie dublă alternanță depinde de exactitatea cu care sunt respectate în funcționare caracteristicile de transfer amintite mai sus. Această exactitate se referă la egalitatea în valoare absolută a pantelor din zona liniară a caracteristicilor de transfer, precum și la intersectarea acestora din urmă în originea axelor de coordonate. Pentru satisfacerea cerințelor menționate, la punerea în funcțiune a circuitului se necesită efectuarea următoarelor operații de reglare.

a) Corespunzător unui semnal de intrare nul, se reglează potențiometrul P_1 (comparatorul C_2 fiind inhibat), respectiv potențiometrul P_2 (comparatorul C_1 fiind inhibat), urmărindu-se obținerea unei tensiuni nule la ieșirea circuitului redresor. Inhibarea fiecărui comparator se realizează conectând la masă intrarea de eșantionare aferentă comparatorului respectiv. Executarea reglajelor de mai sus asigură poziționarea corectă a caracteristicilor de transfer în raport cu originea axelor de coordonate.

b) Se măsoară cîstigul în tensiune A_{u1} al amplificatorului neinvertor, pentru o tensiune continuă de intrare $u_i = 0,5 \text{ V}$. În continuare, se măsoară cîstigul A_{u2} al amplificatorului invertor ($u_i = -0,5 \text{ V}$) și prin reglarea potențiometrului P_3 se caută realizarea egalității $A_{u1} = -A_{u2}$. În acest fel se asigură egalitatea în valoare absolută a pantelor din portiunile liniare ale caracteristicilor de transfer. Acest fapt garantează — dată fiind apropierea între parametrii comparatoarelor C_1 , C_2 — simetria caracteristicilor în raport cu axa verticală.

Comportarea favorabilă cu frecvență a comparatorului dual face posibilă utilizarea redresorului de precizie dublă alternantă din fig. 4.21 într-un domeniu de frecvențe limitat superior la cca 1 MHz. O asemenea performanță este practic de neatins cu amplificatoarele operaționale de uz general. În scopul obținerii unei precizii ridicate în utilizarea circuitului, excursia tensiunii de intrare va fi limitată la $\pm 0,5$ V. Cu valorile componentelor indicate în schema din fig. 4.21, pentru care $A_{u1} = -A_{u2} = 2$, precizia măsurată, corespunzător unui semnal de intrare de 1 V_{PP} , a fost de 0,5%.

4.3. UNELE APlicațII ALE COMPARATORULUI CUADRUPUl BM339

Domeniul de aplicabilitate al comparatorului BM339 cuprinde întreaga gamă de circuite în care dau satisfacție comparatoarele de uz general, adică: convertoare A/N simple, generatoare de impulsuri, circuite de întârziere, oscilatoare comandate în tensiune etc. În cele ce urmează vor fi prezentate câteva dintre aplicațiile, mai simple, ale comparatorului BM339, pentru a ilustra metodologia de lucru cu acest circuit.

O primă aplicație avută în vedere o constituie discriminatorul de interval, a cărui schemă este reprezentată în fig. 4.23, a. Tensiunea de

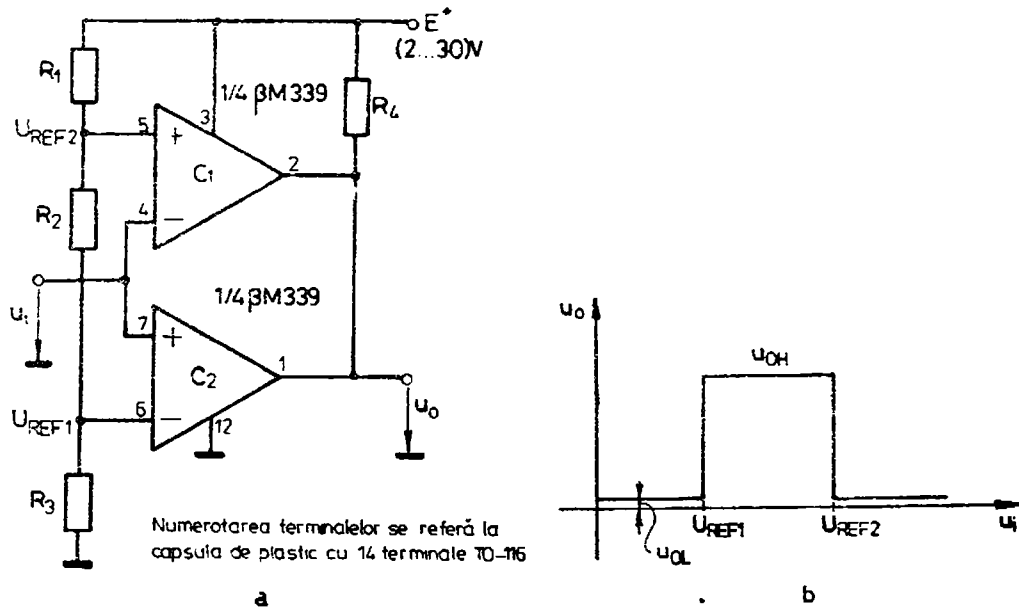


Fig. 4.23. Discriminator de interval (a) și caracteristica de transfer a acestui circuit (b).

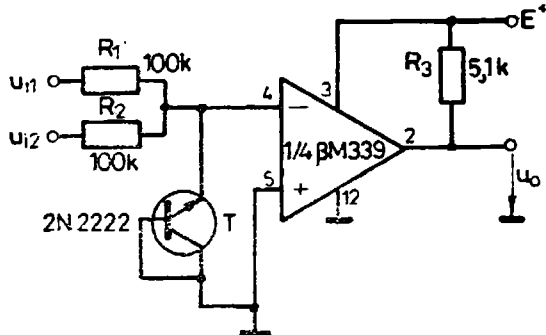


Fig. 4.24. Circuit de comparare a două tensiuni cu polaritate opusă.

Ieșire va avea nivel ridicat u_{OH} numai în situația în care tranzistoarele de la ieșirile ambelor comparatoare C_1 și C_2 vor fi blocate. În acest scop este necesar, conform celor precizate în paragraful 4.1, să fie satisfăcută dubla inegalitate (fig. 4.22, a)

$$U_{REF1} < u_i < U_{REF2}. \quad (4.19)$$

În orice alte condiții, tensiunea de ieșire va avea nivel scăzut ($u_0 = u_{OL} \approx 0$). Pe baza celor de mai sus, caracteristica de transfer a circuitului rezultă ca în fig. 4.23, b.

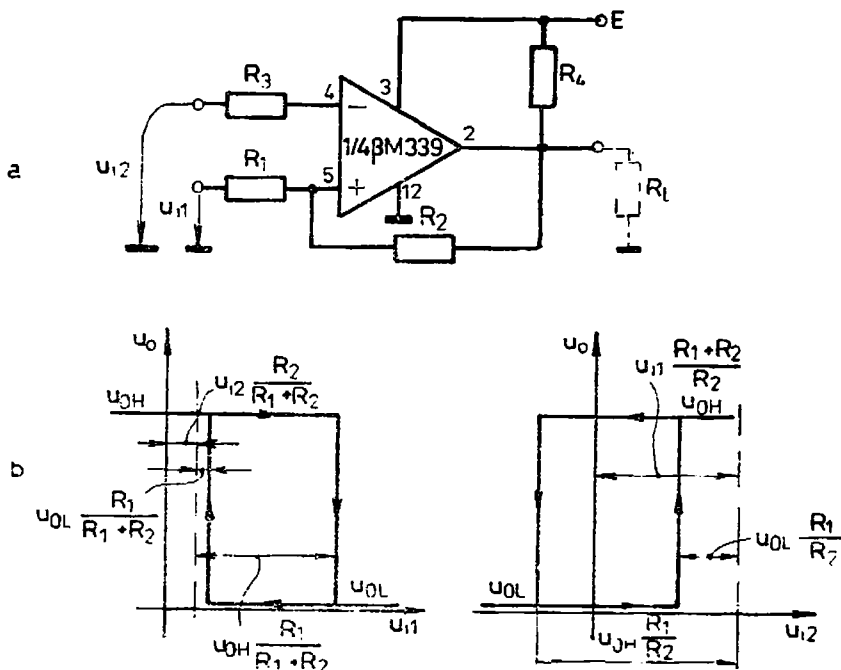


Fig. 4.25. Aplicarea reacției pozitive la comparatorul $\beta M339$ (a) și caracte- risticile de transfer rezultate (b).

O a doua aplicație se referă la circuitul de comparare a două tensiuni cu polaritate opusă (fig. 4.24). Se stabilește ușor că nivelul tensiunii de la ieșirea comparatorului depinde de mărimea tensiunilor de intrare, conform relației

$$u_0 = \begin{cases} u_{OL}, & |u_{i1}| > |u_{i2}| \\ u_{OB}, & |u_{i1}| < |u_{i2}|, \end{cases} \quad (4.20)$$

cu condiția ca $u_{i1} > 0 > u_{i2}$. Tranzistorul T , conectat ca diodă, limitează valoarea tensiunii negative ce apare la borna de intrare a comparatorului, pentru a evita distrugerea circuitului [11].

O ultimă aplicație are în vedere utilizarea reacției pozitive la comparatorul integrat βM339. Schema circuitului este reprezentată în fig. 4.25, a, iar caracteristicile de transfer aferente sunt date în fig. 4.25, b [62]. Circuitul prezintă două caracteristici de transfer, după cum este luată drept mărime variabilă tensiunea de intrare u_{i1} , respectiv u_{i2} .

Se constată că prezența reacției pozitive conduce la îmbunătățirea rezoluției și micșorarea timpului de răspuns al comparatorului, dar totodată introduce un histerezis în caracteristica de transfer (dorit, de altfel, în multe aplicații practice).

4.4. CONVERTOR ANALOG–NUMERIC RAPID REALIZAT CU COMPARATORUL ROB760

Una dintre aplicațiile recomandate pentru comparatorul diferențial de viteză ROB760, facilitată de valoarea redusă a timpului de răspuns, constituie conversia analog-numerică a semnalelor cu variații rapide în timp. Schemele de convertoare analog-numerice (CAN) utilizate în acest scop sunt de tipul paralel, având în vedere că ele asigură cea mai redusă durată a timpului de conversie [44]. Nurmărul de ranguri binare ale convertoarelor paralele este limitat, de regulă, la 6 (8 biți în cazul CAN realizate pe cale integrată), din motive de complexitate a circuitelor. Dacă precizia impusă de aplicația dată necesită o conversie cu un număr mai mare de biți, se recurge la CAN de tipul serie-paralel [44]. Se subliniază însă că elementul constitutiv de bază al CAN serie-paralel îl reprezintă tot convertorul paralel. În virtutea acestor considerații va fi prezentat, în cele ce urmează, un CAN paralel cu 4 biți, realizat cu comparatorul de viteză ROB760. Extinderea schemei pentru un număr de 6 biți este imediată, având în vedere similaritatea structurii circuitelor aferente diferitelor ranguri binare.

Schema electronică a CAN paralel cu 4 biți și caracteristica de transfer aferentă lui sunt prezentate în fig. 4.26, respectiv 4.27. Deoarece cu ajutorul unui număr având 4 ranguri binare pot fi reprezentate $2^4 - 1 = 15$ valori distincte de tensiune, nenule, în schema din fig. 4.26 au fost incluse 15 comparatoare. Fiecare comparator sesizează, prin comutarea în

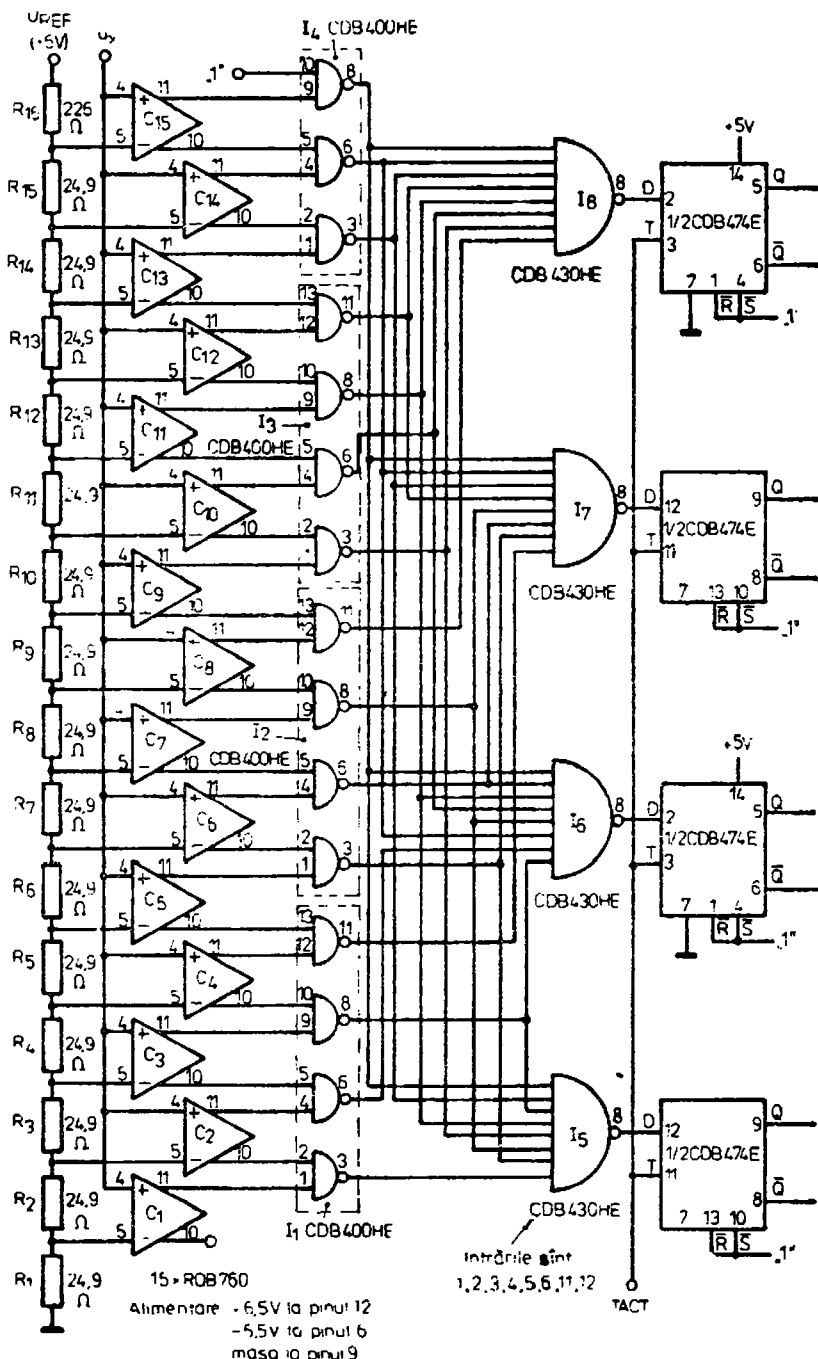


Fig. 4.26. CAN paralel cu 4 biți.

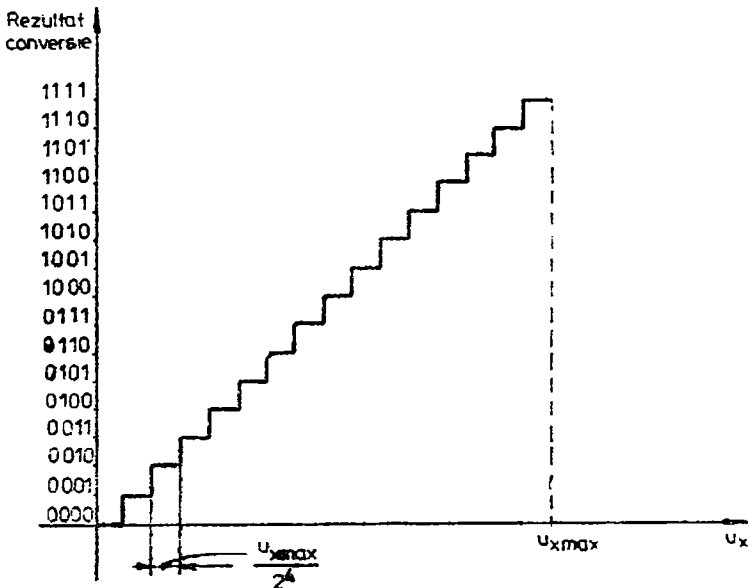


Fig. 4.27. Caracteristica de transfer a unui CAN cu 4 biți.

Starea logică „1“, atingerea de către semnalul de măsurat u_x a uneia dintre valorile de tensiune indicate pe axa absciselor caracteristicii de transfer (fig. 4.27). Corespondența dintre rangul i al unui comparator și nivelul u_{Ri} corespunzător, aplicat la intrarea „—“, este dată de relația

$$u_{Ri} = i \cdot \frac{u_{x_{max}}}{2^4}, \quad i = 1, 2, \dots, 15. \quad (4.21)$$

expresia de mai sus $u_{x_{max}} < 4$ V reprezintă limita superioară a intervalului de măsurare al convertorului (valoarea limită de 4 V este impusă de tensiunea maximă ce poate fi aplicată la intrarea comparatorului ROB760). Tensiunile de referință u_{Ri} , ($i = 1, 2, \dots, 15$) sunt furnizate de un divizor rezistiv realizat cu rezistențele R_1, R_2, \dots, R_{16} .

Pentru obținerea celor 4 biți b_0, b_1, b_2 și b_3 , care constituie rezultatul măsurării (b_0 fiind bitul de semnificație minimă), sunt decodificate semnalele logice furnizate de comparatoare. Decodificarea se realizează cu ajutorul unei scheme combinaționale alcătuită din porți SI-NU, dispuse în 2 niveluri (fig. 4.26).

Primul nivel de porți transformă codul rezultat la ieșirile comparatoarelor, și care constă într-o succesiune de biți „1“ urmată de o succesiune de biți „0“, într-un cod cu un singur bit „0“ (ceilalți biți fiind egali cu „1“). Pe baza fig. 4.26 se poate scrie

$$d_i = c_{i+1} \cdot c_i, \quad i = 1, 2, \dots, 15. \quad (4.22)$$

În ultima expresie c_i și c_{i+1} reprezintă biți de la ieșirile comparatoarelor de rang i , respectiv $i+1$, iar prin d_i a fost notat bitul aferent comparatorului de rang i , rezultat în urma transformării menționate mai sus.

Este simplu de observat, pe baza relației (4.22), că $d_i = 0$ se obține corespunzător unui singur comparator C_i și anume cel de rang imediat inferior primului comparator cu "0" la ieșire. În această situație, bitul care constituie rezultatul conversiei se obține conform relațiilor

$$\begin{aligned} b_0 &= \overline{d_1 d_3 d_5 d_7 d_{11} d_{13} d_{15}} \\ b_1 &= \overline{d_2 d_3 d_6 d_7 d_{10} d_{11} d_{14} d_{15}} \\ b_2 &= \overline{d_4 d_5 d_6 d_7 d_{12} d_{13} d_{14} d_{15}} \\ b_3 &= \overline{d_8 d_9 d_{10} d_{11} d_{12} d_{13} d_{14} d_{15}} \end{aligned} \quad (4.23)$$

În schema din fig. 4.26, funcțiile de mai sus sunt realizate de circuitele SI-NU cu 8 intrări, care constituie cel de-al doilea nivel al decodificatorului. Rezultatul conversiei este memorat în cele din urmă în 4 bistabile de tip D (circuitele CDB474E), la apariția unui impuls de tact t_u . Se poate sfîrni, deci, că abstracție făcind de întârzierile introduse de comparator și decodificator, impulsurile de tact marchează valorile momentane ale semnalului de intrare convertite sub formă numerică.

În legătură cu schema din fig. 4.26, trebuie remarcat și următorul aspect important. Operația de negare a funcției SI din membrul drept al relației (4.22) nu este, în principiu, necesară. Cu toate acestea ea a fost introdusă având în vedere că relația (4.22) necesită pentru implementare circuite logice SI-NU, mai accesibile în seria TTL rapidă decât circuitele SI. Totodată, utilizarea unei transformări de forma (4.22) permite determinarea bitelor b_0 , b_1 , b_2 și b_3 conform relațiilor (4.23), care de asemenea pot fi implementate cu circuite din seria TTL rapidă. Utilizarea de circuite logice din seria rapidă, cu tempi redusi de propagare, este necesară în vederea micșorării timpului de conversie.

În cazul schemei din fig. 4.26, durata t_c a timpului de conversie este dată de expresia

$$t_c = t_r + t_{p1} + t_{p2} + t_t. \quad (4.24)$$

În care

- t_r — timpul de răspuns al comparatoarelor,
- t_{p1}, t_{p2} — timpul de propagare al unui circuit SI-NU cu 2, respectiv 8 intrări,
- t_t — durata necesară pentru inscrierea informației în registrul de ieșire.

Pentru valorile tipice $t_r = 18$ ns, $t_{p1} = 6$ ns, $t_{p2} = 9$ ns și $t_t = 40$ ns, rezultă $t_c = 73$ ns.

4.5. RECOMANDĂRI PRIVIND REALIZAREA PRACTICĂ A CIRCUITELOR CU COMPARATOARE

Comparatoarele fiind, în general, circuite de comutare rapidă și determină circulația prin conductorul de masă a unor curenti cu variații rapide în timp. Acești curenti cauzează, ca urmare a căderilor de tensiune pe rezistență și inducțanță conductorului de masă, apariția unor tensiuni perturbatoare. Prin însumarea cu semnalul util, perturbațiile conducre la înrăutățirea funcționării comparatorului și a celorlalte circuite analogice.

Dezavantajul menționat poate fi eliminat prin decuplarea surselor de alimentare în imediata apropiere a terminalelor circuitului comparator (de regulă cu cîte un condensator ceramic de $0,1 \mu F$) și printr-o proiectare corectă a cablajului. Ideea ce trebuie urmărită în acest sens constă în evitarea circulației curentilor de alimentare ai comparatorului prin tronsonale conductorului de masă incluse în propriul circuit de intrare sau circuitul de intrare al unor amplificatoare de precizie sau cu cîstig ridicat.

Două exemple de realizare incorrectă, respectiv corectă a cablajului, pe conductorul de masă sunt prezentate în fig. 4.28. În cazul fig. 4.28, a, ca urmare a circulației curentului de alimentare al comparatorului prin

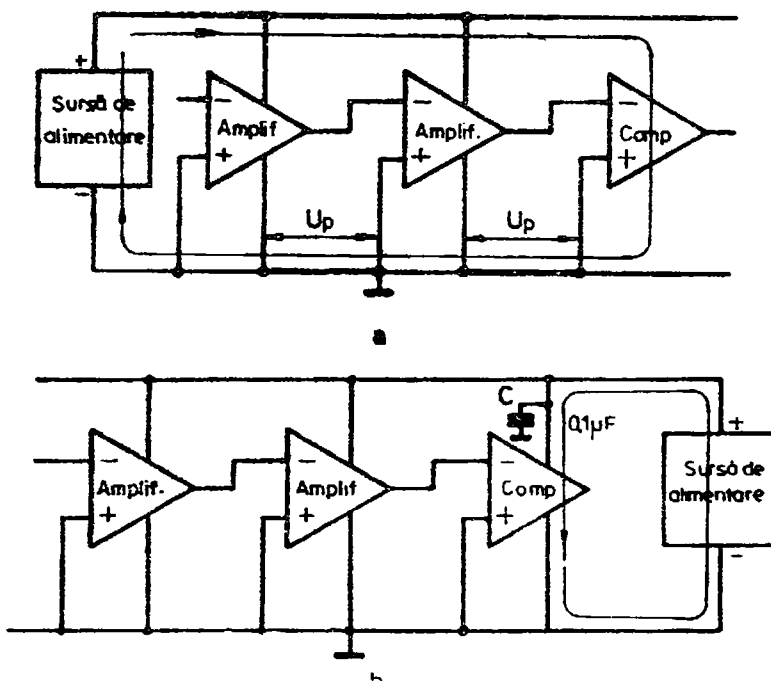


Fig. 4.28. Realizarea incorrectă (a), respectiv corectă (b) a cablajului pentru conductorul de masă în circuite cu comparatoare.

perținunție conductorului de masă reprezentate îngroșat, apar tensiunile perturbatoare U_p , care se însumează cu semnalul util. Căderile de tensiune U sint evitate în cazul soluției corecte din fig. 4.28, b.

O două dificultate ce poate apărea în legătură cu utilizarea practică a comparatoarelor este determinată de valoarea mare a amplificării în buclă deschisă și de banda de trecere largă a acestor circuite. În condițiile menționate, prezența unei capacitați parazite de reacție între ieșirea și intrarea comparatorului determină intrarea în oscilație a circuitului pe durata de tranziție a ieșirii de la o stare la alta. Prin realizarea unui feedback adecvat, care să conducă la o capacitate mică între circuitele de extrare și de ieșire, neajunsul menționat este, de regulă, eliminat. Acești neajunsuri pot fi evitati aplicând comparatorului o reacție pozitivă (vezi paragraful 4.3). În această situație apariția oscilațiilor este impiedicată de mutarea fermă a ieșirii de la o stare la alta. Utilizarea ultimului proiect este limitată la acele aplicații în care prezența histerezisului din caracteristica de transfer a comparatorului, ca urmare a aplicării reacțiilor pozitive, nu deranjează în funcționare.

CAPITOLUL 5

STABILIZATOARE DE TENSIUNE

5.1. STABILIZATOARE DE TENSIUNE CU CIRCUIT INTEGRAT β A723

Cu ajutorul circuitului integrat β A723 se pot realiza stabilizatoare de putere mică, fără alt tranzistor extern și de putere medie — cu tranzistor extern [14]. Folosirea tranzistorului extern este obligatorie pentru curent de sarcină mai mare de 150 mA — care reprezintă curentul maxim de ieșire al circuitului integrat β A723. Totuși, și în cazul curenților de sarcină mai mici decât acesta este necesar să se calculeze puterea disipată în situația cea mai defavorabilă pe circuitul integrat, pentru a se stabili dacă el se poate utiliza fără tranzistor extern [14].

În fig. 5.1 se prezintă schema bloc a circuitului integrat β A723, cu numerotarea terminalelor pentru două tipuri de capsulă (între paranteze pentru capsula metalică TO-100), iar în fig. 5.2 sunt date conexiunile la capsulă.

Schela bloc a circuitului integrat β A723 include un circuit pentru producerea tensiunii de referință stabilizată și compensată termic, un amplificator de eroare de tip diferențial, un element de reglare cu tranzistoarele T_{14} și T_{15} , un tranzistor „de protecție“ și o diodă stabilizatoare de 6,8 V. Tensiunea de referință este necesară pentru a se realizea la intrarea amplificatorului o comparație între aceasta și o parte din tensiunea pe sarcină în scopul stabilizării celei de a doua. Amplificatorul de eroare amplifică variația tensiunii pe sarcină (fără de valoarea prescrisă cu ajutorul tensiunii de referință) și comandă elementul de reglare serie, pentru ca acesta să preia variațiile tensiunii de alimentare. Se menține astfel tensiunea aproximativ constantă (stabilizată) pe sarcină. Dioda stabilizatoare integrată D_2 se utilizează numai în stabilizatoare de tensiune negativă și stabilizatoare în regim flotant [11, 33, 31].

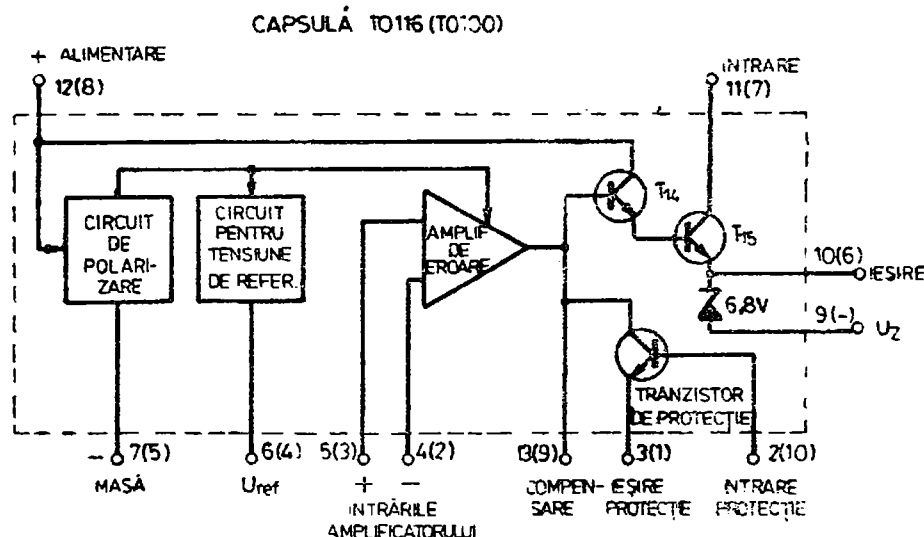


Fig. 5.1. Schema bloc a circuitului integrat β A723.

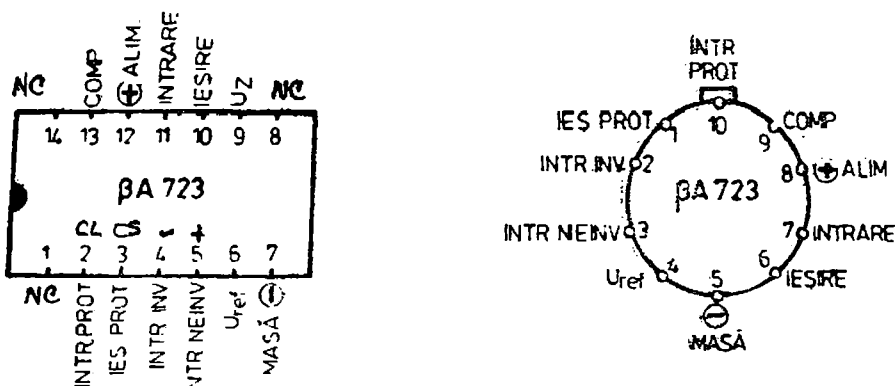


Fig. 5.2. Capsulele circuitului integrat β A723.

Aplicațiile circuitului integrat β A723 sunt numeroase [11]. El se utilizează ca stabilizator de tensiune pozitivă și negativă, ambele în regim normal sau flotant (pentru tensiuni mari). Calitățile lui principale sunt: coeficientul de stabilizare a tensiunii de referință (care va dicta și coeficientul de stabilizare al stabilizatorului complet) de valoare foarte mare (5 000 ... 7 000) și compensarea termică excelentă a acestei tensiuni.

5.1.1. STABILIZATOR FĂRĂ TRANZISTOR EXTERN

Cea mai răspândită aplicație a circuitului integrat βA723 este aceea de stabilizator de tensiune pozitivă cuprinsă între 2...33 V. O tensiune de 37 V, cit se declară în cataloge, nu se poate obține practic cu un redresor obișnuit, în condițiile variației tensiunii rețelei [14].

În fig. 5.3, 5.4, 5.5 se prezintă variantele posibile de stabilizare de tensiune pozitivă fără tranzistor extern, deosebindu-se între ele prin modul de aplicare a tensiunii de referință și de reacție la intrările amplificatorului de eroare și prin modul de ajustare sau variere a tensiunii stabilizate.

De la rezistența R_v se poate stabili valoarea tensiunii pe sarcină în domeniul dat.

În fig. 5.3 este dată schema stabilizatorului de tensiune cuprinsă între 2...6,8 V, limita superioară fiind impusă de valoarea minimă a tensiunii de referință (care prezintă dispersie de fabricație).

În fig. 5.4 este dată schema stabilizatorului de tensiune cuprinsă între 7,5...33 V, limita inferioară a domeniului fiind impusă de valoarea maximă a tensiunii de referință.

În fig. 5.5 este dată schema stabilizatorului de tensiune cuprinsă între 2,2...33 V (tensiune variabilă cu cele două extremități cuprinse între domeniile 2,2...6,8 V și 7,5...33 V sau tensiune fixă cuprinsă între 6,6...7,5 V).

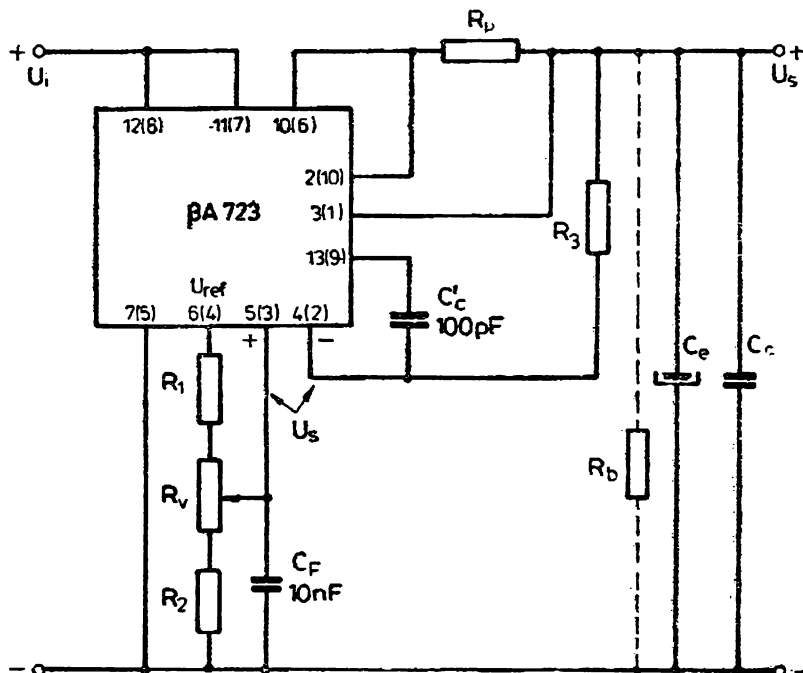


Fig. 5.3. Stabilizator de tensiune 2...6,8 V.

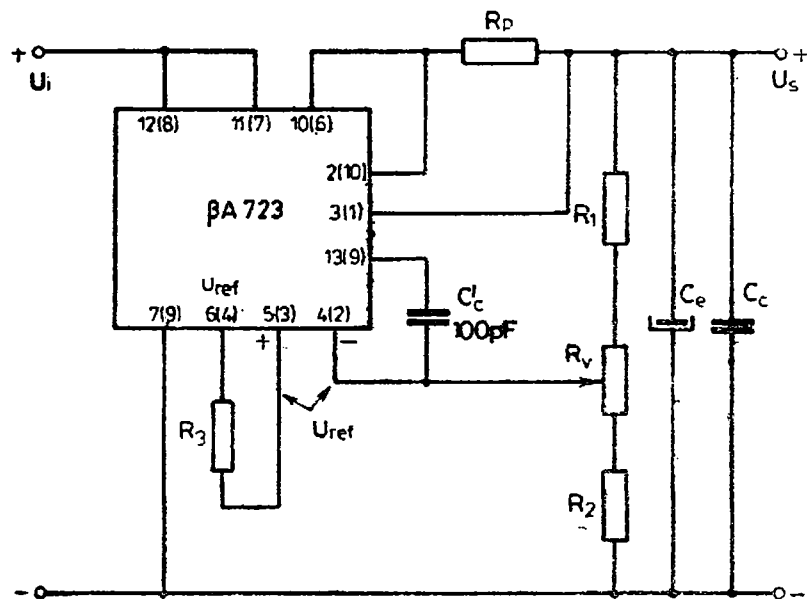


Fig. 5.4. Stabilizator de tensiune 7,5...33 V

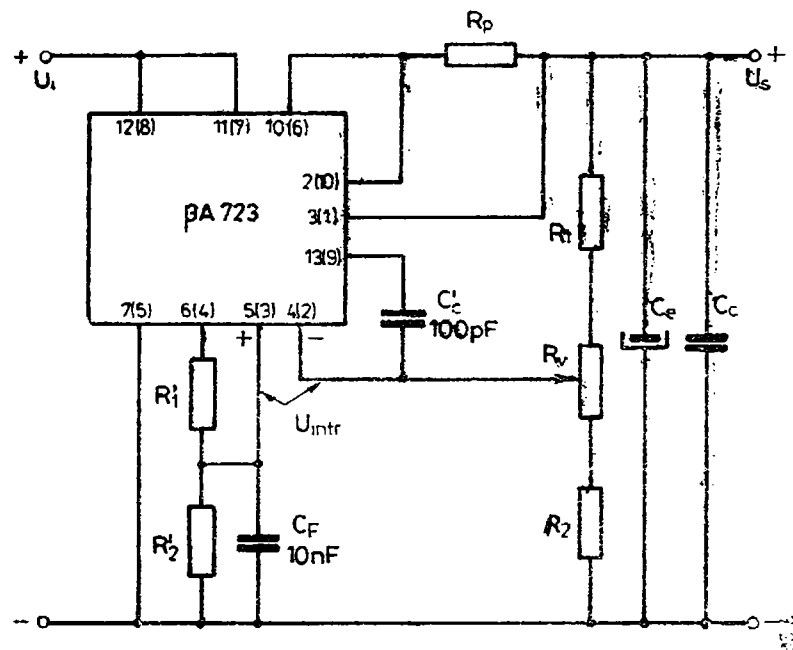


Fig. 5.5. Stabilizator de tensiune 8,2...33 V.

[14]. Tensiunea stabilizată nu se poate cobori sub 2 V, deoarece amplificatorul de eroare nu mai funcționează corect cu tensiuni la intrări mai mici decât 2 V.

In acest caz tensiunea de referință se divizează astfel încât la intrarea neinvrsore a amplificatorului de eroare să se aplice o tensiune egală sau mai mică decât tensiunea minimă impusă pe sarcină, dar nu mai mică de 2 V. Din cauza dispersiei tensiunii de referință, la intrarea neinvrsore poate fi o tensiune de 2...2,2 V, ceea ce justifică limita inferioară pentru tensiunea U_r . Limita superioară de 33 V este doar orientativă [14].

Tensiunea de referință, pentru un curent de 1 mA consumat de la ieșirea respectivă, este cuprinsă între 6,8...7,5 V, având valoarea tipică de 7,15 V. Deoarece, precum și de toleranța rezistenței variabile R_r , trebuie ținut cont la calculul divizoarelor de tensiune din circuitele stabilizatoare [14].

In cazul stabilizatoarelor de tensiune fixă, tensiunea de ieșire U_r nu rezultă în general de valoarea impusă, fiind necesară fie o ajustare a uneia din rezistențele divizorului R_1 , R_2 , fie intercalarea între acestea a unei rezistențe semireglabile R_r . După ajustarea experimentală a tensiunii la valoarea dorită este posibilă înlocuirea divizorului cu două rezistențe fixe.

Este indicat să se utilizeze în divizore atât rezistențe fixe, cât și semivariabile cu peliculă metalică, deoarece prezintă o mai bună stabilitate în timp și cu temperatura mediului, iar rezistența de contact între cursor și peliculă (la semivariabile) este stabilă și neglijabilă.

Condensatorul C_F (de obicei ceramic de 10...100 nF sau electrolitic pînă la 5 μ F) are rolul de filtraj, reducînd ondulațiile provenite de la intrare și zgomotul tensiunii de referință și deci al tensiunii stabilizate.

Condensatorul C_C (ceramic, 100 pF) realizează corecția amplificatorului de eroare, eliminînd autooscilația stabilizatorului (care reprezintă un sistem cu reacție negativă).

Mărimele limită și caracteristice principale ale circuitului integrat 3A723 sunt

- tensiunea maximă de intrare (între +Alim și -Masă) $U_{iMAX} = 40$ V (la tipul 3A723C — $U_{iMAX} = 30$ V),
- tensiunea maximă între intrare-ieșire (între +Alim. și Ieșire) $U_{CEMAX15} = 40$ V (30 V pentru 3A723C),
- tensiunea minimă între intrările amplificatorului și -Masă + 2 V,
- tensiunea maximă între intrările amplificatorului și -Masă + 7,5 V,
- curent maxim de ieșire $I_{OMAX} = 150$ mA,
- curent maxim de încărcare a ieșirii de referință : 15 mA,
- puterea disipată maximă pentru cele două tipuri de capsule la temperatură mediului de 25 °C : 500 mW, pentru TO-116, respectiv 600 mW, pentru TO-100 [11],
- rezistență termică joncțiune-mediu ambiant : $R_{j\alpha} = 200$ °C/W,
- tensiunea de referință : $U_{res} = 6,8 \dots 7,5$ V,
- gama temperaturii mediului pentru funcționarea normală : 0 +70 °C,
- temperatura maximă a joncțiunilor : $t_{jMAX} = 125$ °C.

La toate stabilizatoarele cu circuit integrat βA723 se poate calcula coeficientul de stabilizare cu relația [27]

$$S = \frac{d_r}{d_e} S_r. \quad (5.1)$$

în care : S_r reprezintă coeficientul de stabilizare al circuitului ce furnizează tensiunea de referință și are o valoare cuprinsă între 5 000...7 000 (valoare mai mică pentru tensiuni de alimentare mici, iar valoarea superioară, pentru tensiune de alimentare ≥ 30 V),

d_e și d_r sunt factorii de divizare (subunitari sau egali cu 1 după caz) ai divizoarelor tensiunii de ieșire sau tensiunii de referință.

Rezistența de ieșire a stabilizatorului cu circuit integrat βA723 fără tranzistor extern poate fi apreciată cu relația

$$R_e = \left(\frac{R_c + h_{11e}}{h_{21e}} + R_p \right) \frac{1}{d_e A_u}, \quad (5.2)$$

în care

R_c — reprezintă rezistența dinamică din colectorul tranzistorului amplificator de eroare, de ordinul 300 kΩ,

R_p — rezistență folosită pentru acționarea protecției,

A_u — amplificarea de tensiune a amplificatorului de eroare și se calculează cu relația

$$A_u = A_{uo} \frac{R_t}{R_c + R_t}, \quad (5.3)$$

avind :

A_{uo} — amplificarea în gol, cuprinsă între 2 500...5 000, corespunzând tensiunii de alimentare a circuitului integrat de 10...30 V,

R_t — rezistența de intrare a elementului de reglare serie ce încarcă amplificatorul (constând din tranzistoarele T_{14} și T_{15} în conexiune Darlington) și care se calculează cu relația

$$R_t = h_{11e} + h_{21e} R_s, \quad (5.4)$$

unde R_s este rezistența minimă de sarcină a stabilizatorului.

Parametrii h_{11e} și h_{21e} ai tranzistorului compus $T_{14} - T_{15}$ se pot stabili orientativ din tabelul :

I_{c15} [mA]	2	5	10	20	40	60	80	100
h_{11e} [kΩ]	70	60	50	37	28	25	21	18
h_{21e} [mii]	3	4,3	5	5,4	5,3	4,7	3,5	2,8

în care se prezintă valori medii obținute din măsurători pe mai multe exemplare de circuit integrat, la o tensiune emitor-colector minimă, $U_{CE15} = 2$ V.

Curba tensiunii de deschidere a tranzistorului de protecție în funcție de temperatura jonctiunilor este dată în fig. 5.6 [11]. Ea trebuie luată în considerare la calculul rezistenței de limitare R_p , a curentului prin sarcină [14] pe baza temperaturii maxime atinsă la acest curent de jonctiuni.

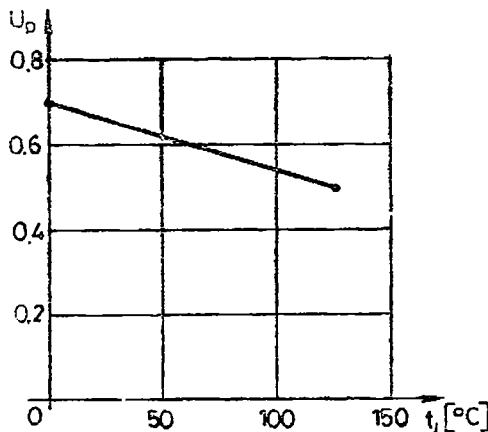


Fig. 5.6. Tensiunea de acționare a protecției în funcție de temperatura jonctiunilor la circuitul integrat $\beta A723$.

Limitarea curentului se poate face simplu sau cu întoarcere [11, 13, 14]. În fig. 5.3, 5.4, 5.5 sunt realizate limitări simple iar în fig. 5.7 — limitarea cu întoarcere. În cazul limitării cu întoarcere, valoarea curentului la care se face limitarea depinde (pentru rezistențe R_4 și R_5 date) și de tensiunea stabilizată U_s . Prin urmare, în cazul surselor de tensiune variabilă ar fi necesară fie acceptarea unui curent limitat mai mic la U_{smi} decât la U_{sma} , fie utilizarea unor rezistențe R_4 și R_5 variabile simultan, pentru ca limitarea curentului să se poată realiza la aproximativ aceeași valoare și să nu crească curentul de scurtcircuit. Rezistența R_p depinde relativ puțin de

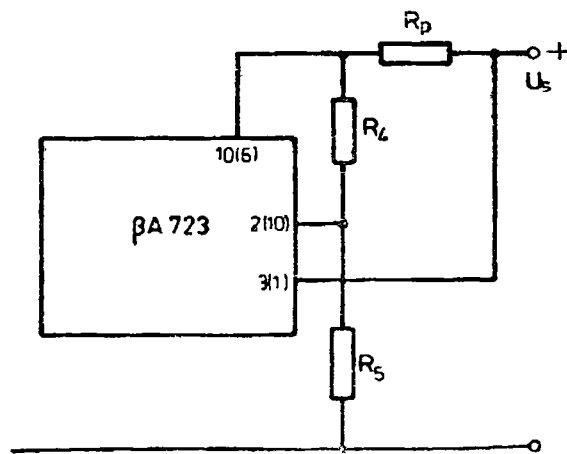


Fig. 5.7. Realizarea limitării de curent cu întoarcere.

tensiunea U , și, în general, ea nu trebuie să fie ajustabilă în scopul de mai sus. Cind modificarea simultană a rezistențelor R_4 și R_5 complică realizarea stabilizatorului, se preferă reducerea curentului limită la U_{stabil} folosirea unor rezistențe constante. Se constată, în plus, că în cazul unei limitări cu întoarcere, rezistența R crește și înrăutățește rezistența de ieșire a stabilizatorului.

Protecția prin limitare cu întoarcere este necesară în general numai la surse expuse scurtcircuitării, cind limitarea simplă nu realizează și protejarea la scurtcircuit [14]. Calculul circuitului de protecție la supracurent prin limitare cu întoarcere este prezentat în [11, 14, 12].

Este posibilă și o protecție prin limitare de curent variabilă cu tensiunea de intrare [11], care prezintă avantajul că se poate reduce mult curentul de scurtcircuit, însă și dezavantajul că se reduce simultan și curentul limită al stabilizatorului în regim normal de funcționare.

La alimentarea stabilizatoarelor de tensiune se va utiliza numai un redresor proiectat special în acest scop [14] și nu unul luat la întâmplare, pentru că poate periclită circuitul integrat, în special prin depășirea puterii disipate maxime. La stabilirea puterii disipate maxime se va lua în considerare temperatura maximă a mediului ambiant.

În fig. 5.8 se prezintă o aplicație concretă a circuitului integrat βA723, la realizarea unui stabilizator de tensiune fixă 15 V și curent de sarcină maxim de 75 mA. Tensiunea de intrare este dată pentru curent consumat de la redresor de 80 mA. Redresorul [14] trebuie să furnizeze o tensiune nominală (la 220 V în rețea) de 20,9 V și să prezinte o rezistență internă de cca 26 Ω și pulsări virf la virf sub 0,2 V. Pentru aplicația dată aici este necesară o capsulă metalică. S-a prevăzut o protecție la scurtcircuit, adică o limitare de curent cu întoarcere. Stabilizatorul s-a dimensionat pentru o temperatură a mediului ambiant $<30^{\circ}\text{C}$. Pentru temperaturi cu ceva mai ridicate este necesar să se folosească un radiator cu aripioare radiale, monitat pe capsula circuitului integrat.

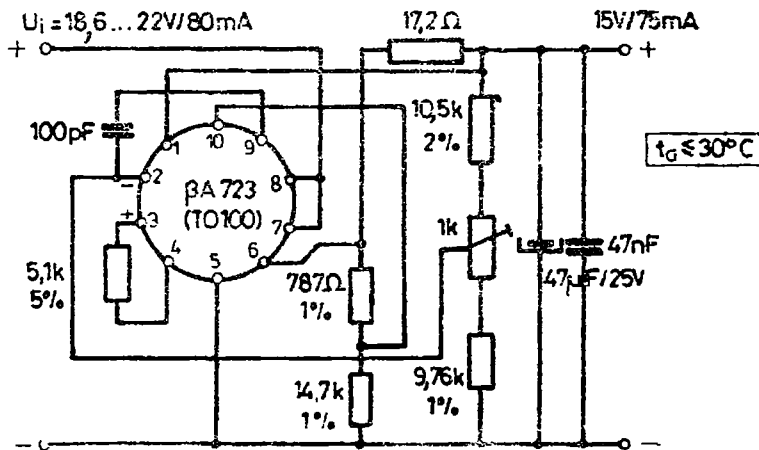


Fig. 5.8. Stabilizator de tensiune de 15 V mA cu protecție prin limitare cu întoarcere.

La variația tensiunii de intrare în domeniul dat, la curentul de sarcină maxim, tensiunea pe sarcină se modifică cu mai puțin de 2 mV [11], iar la o modificare a curentului de sarcină de la 0 la 75 mA, tensiunea pe sarcină se modifică cu mai puțin de 10 mV ($R_s < 0,1 \Omega$) [27].

Rezistențele fixe prevăzute în divisorul de la ieșire trebuie să fie de precizie numai cind este vorba de un produs de serie la care trebuie garantată posibilitatea de ajustare la 15 V în condițiile dispersiei tensiunii de referință, a toleranței mari a rezistenței semivariabile și a necesității unui reglaj cît mai fin (exact).

La concepția cablajului imprimat se vor prevedea trasee cît mai scurte și suficient de late pentru circuitul principal de curent (în special pentru porțiunea de masă).

5.1.2. STABILIZATOR CU UN TRANZISTOR EXTERN

Din cele de mai sus s-a putut constata faptul că fără tranzistor extern circuitul integrat βA723 nu poate furniza un curent de sarcină mai mare de 50...80 mA, din cauza puterii disipate la acest curent în condiție cind tensiunea rețelei are variații de $\pm 5 \dots \pm 10\%$ [14].

Pentru a realiza curent de sarcină mai mare este necesar să se utilizeze un tranzistor extern în elementul de reglare. Se va prezenta în continuare varianta obișnuită a unui astfel de stabilizator, utilizând un tranzistor extern *npn* [11, 14]. Conectarea tranzistorului la circuitul integrat βA723 este prezentată în fig. 5.9, urmând ca circuitul stabilizatorului să fie completat cu circuitele de divizare necesare și capacitați, ca în fig. 5.3, 5.4, 5.5, în funcție de tensiunea U_s ce trebuie realizată.

Folosind un tranzistor extern cu factor de amplificare a curentului suficient de mare, se poate realiza un curent de sarcină maxim, în cazul sursei de tensiune fixă, chiar peste 5 A. Cind dimensiunea radiatorului tranzistorului extern și puterea disipată pe capsula circuitului integrat devin importante, se recomandă însă folosirea unui element de reglare cu două tranzistoare în serie prezentat în paragraful următor.

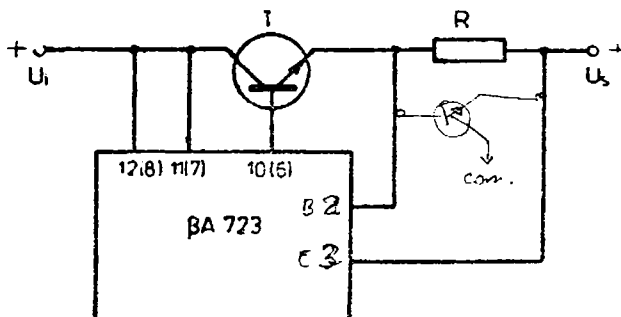


Fig. 5.9. Conectarea tranzistorului extern *npn* la circuitul βA723.

Performanțele stabilizatorului după atașarea tranzistorului extern se prezintă astfel: coeficientul de stabilizare nu se modifică, iar rezistența de ieșire scade corespunzător cu curentul I_{max} . Proiectarea unui astfel de stabilizator este dată în [14] și este obligatorie. Stabilizatorul se prevede cu limitare de curent simplă sau cu întoarcere.

Rezistența de ieșire a stabilizatorului cu circuit integrat βA723 și tranzistor extern poate fi apreciată cu relațiile (5.2), (5.3) și (5.4), în care se utilizează parametrii h :

$$h'_{11e} = h_{11e} + h_{21e} \cdot h_{11eT} \quad (5.5)$$

$$h'_{21e} = h_{21e} \cdot h_{21eT}. \quad (5.6)$$

În aceste relații, parametrii h_{11e} și h_{21e} corespund tranzistorului compus $T_{14}-T_{15}$ din circuitul integrat, iar parametrii cu indicele „T” corespund tranzistorului extern.

În fig. 5.10 se prezintă o aplicație concretă a circuitului integrat βA723 într-un stabilizator de tensiune, ajustabilă în gama 5...15 V, destinat alimentării unei sarcini cu curentul maxim $I_{max}=0,8$ A la tensiunea de 5 V și $I_{max}=0,9$ A la tensiunea de 15 V [14].

Redresorul trebuie să furnizeze o tensiune nominală de 22,5 V pentru 220 V la rețea și să prezinte o rezistență internă de cca 2,4 Ω și pulsării vîrf

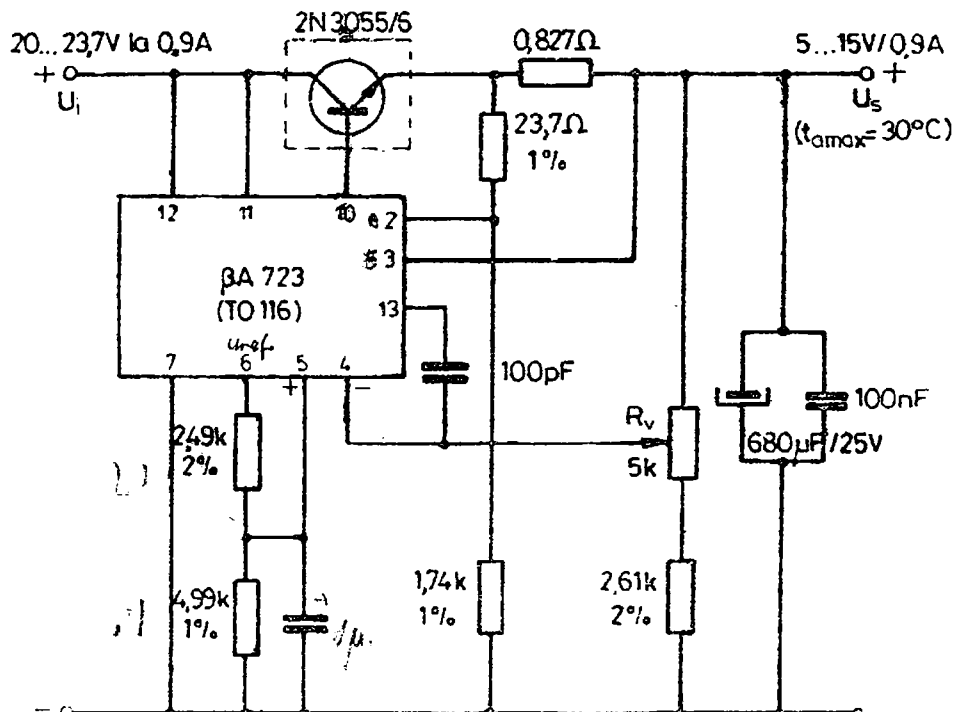


Fig. 5.10. Stabilizator de tensiune de 5...15 V/0,9 A cu protecție prin limitare cu întoarcere.

la virf de maximum 2 V. A fost necesară o protecție de scurtecircuit a tranzistorului extern prin limitare cu întoarcere. Stabilizatorul s-a dimensionat pentru o temperatură a mediului $<30^{\circ}\text{C}$. Tranzistorul extern necesită un radiator plan vertical din tablă de aluminiu de grosime 3 mm și suprafață de cca 90 cm². Pentru contact termic corespunzător, între tranzistor și radiator se folosește vaselină siliconică. Tranzistorul se montează în centrul radiatorului de formă pătrată.

Pentru comparație cu o soluție mai modernă de stabilizator, la care dimensiunea radiatorului se reduce de cca 3 ori, se vor analiza stabilizatoarele prezentate în paragraful următor, care utilizează un element de reglare cu două tranzistoare în serie.

Performanțele circuitului sunt cele tipice pentru cazurile în care se utilizează circuitul integrat βA723 : variația tensiunii pe sarcină la curent constant și tensiune de intrare variabilă (în gama dată pe figură), sub 2 mV; variația tensiunii pe sarcină pentru tensiune de intrare constantă și modificarea curentului de sarcină între 0 și 0,9 A, sub 10 mV ($R_s < 0,01 \Omega$). Sunt valabile și aici, ca de altfel la toate stabilizatoarele de tensiune, considerațiile legate de lățimea și lungimea traseelor din cablajul imprimat în jurul circuitului principal de curent.

5.1.3. STABILIZATOARE CU ELEMENT DE REGLARE CU DOUA TRANZISTOARE IN SERIE

Elementul de reglare serie cu două tranzistoare în serie, având structura din fig. 5.11 este studiat și calculat în [35, 37, 19, 25, 27, 23] și constituie prima formă cunoscută. Stabilizatorul cu acest tip de element de

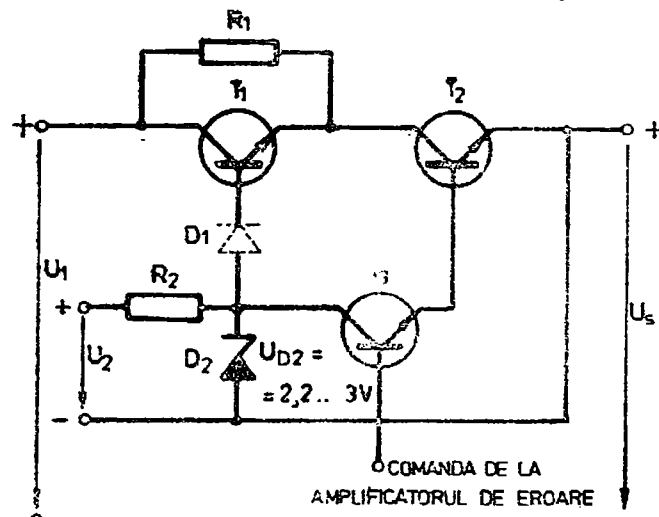


Fig. 5.11. Elementul de reglare cu două tranzistoare în serie, cu tranzistor de comandă de același tip.

reglare necesită două surse de alimentare — una principală (U_1) și una auxiliară (U_2) (care se poate evita doar în cazuri particulare [19]). Cu ajutorul tensiunii stabilizate de dioda D_2 se menține, atunci cind T_1 conduce, o tensiune redusă între colectorul și emitorul tranzistorului T_2 , astfel încât puterea disipată să fie redusă. În situația cea mai defavorabilă pentru un element de reglare obișnuit, cea mai mare parte din curentul de sarcină trece prin rezistență de ocolire R_1 , iar prin tranzistorul T_1 trece un curent redus și apare o putere disipată redusă. Rezistența R_1 disipa în această situație o putere maximă. Este necesară o rezistență de putere, dar dimensiunea și costul ei sunt mult mai mici decât cele ale unui radiator pentru tranzistor. Rezistența se determină cu relația [37]

$$R_1 = \frac{U_{1max} - U_{smin}}{I_{smax}}.$$

Există situații în care tranzistoarele T_1 și T_2 disipa, nu simultan, puteri importante [35]. Astfel, în situația cu $U_{1max} > I_{smax}$ și $U_s > U_{smin}$ (pentru surse cu tensiune stabilizată ajustabilă), tensiunea de ieșire crește în contul căderii de tensiune pe rezistență R_1 , deci aceasta nu mai poate prelua curentul maxim (apropiat de I_{smax}). Restul curentului este preluat de tranzistorul T_1 și crește puterea disipată pe el. Maximul puterii este

$$P_{d1max} = \frac{I_{smax}^2 R_1}{4} \quad (5.4)$$

Aceeași putere disipată se atinge și în cazul cind sursa este de tensiune U_s , fixă [19]. În acest timp puterea disipată pe tranzistorul T_2 este în general redusă [35, 14].

Puterea disipată maximă pe tranzistorul T_2 apare în situația cu tensiune de alimentare maximă, U_{1max} și $I_s < I_{smax}$. Curentul prin rezistență R_1 , fiind mai redus decât poate ea prelua, se reduce căderea de tensiune și crește tensiunea pe tranzistorul T_2 . Ca urmare, jonctiunea emitoare a tranzistorului T_1 se polarizează invers (fiind eventual necesară dioda D_1 , cu curent invers mai redus decât cel al jonctiunii emitoare, pentru protecția acesteia), iar tranzistorul T_1 se blochează. Apare putere disipată maximă pe tranzistorul T_2 [28] :

$$P_{d2max} \cong \frac{I_{smax}^2 (R_{tr} + R_1 - R_p)}{4}, \quad (5.5)$$

unde : R_{tr} reprezintă rezistența internă a redresorului [14] și are ordinul de mărime

$$R_{tr} = (0,1 \dots 0,2) \frac{U_1}{I_{smax}}. \quad (5.10)$$

R_p este rezistența utilizată pentru actionarea protecției circuitului integrat prin limitare de curent.

Maximele puterilor disipate pe cele două tranzistoare nefiind simultane, atunci cind radiatoarele devin mari se poate utiliza un radiator co-

mun [28]. Ținând cont că puterile disipate maxime pe fiecare din cele două tranzistoare sunt de aproape 4 ori mai reduse decât puterea disipată maximă pe elementul de reglare obișnuit, se constată o mare reducere a suprafeței radiatoarelor sau, în multe cazuri, chiar evitarea radiatoarelor.

În cazul utilizării unui radiator comun este necesară izolarea față de acesta a tranzistorului T_2 [28]. Este posibilă și evitarea izolării, dacă în locul tranzistorului T_1 se utilizează un tranzistor compus cu inversare de tip, (fig. 5.12) făcind să apară legate împreună colectoarele tranzistoarelor de putere T_1 și T_2 .

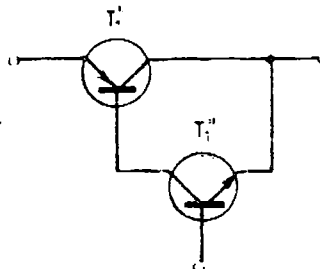


Fig. 5.12. Tranzistor compus cu inversare de tip utilizat drept T_1 , în elementul de reglare, cu două tranzistoare în serie pentru eliminarea izolării de radiator.

În [28] s-au adus recent perfecționări calculului radiatorului comun. Astfel, dacă se utilizează soluția din fig. 5.12 și nu mai este necesară izolarea unuia dintre tranzistoare, atunci dimensionarea radiatorului [14] se face pe baza rezistenței termice

$$R_{ra1} = \frac{t_{jMAX} - t_{amax}}{P_{a1max} + P_{d2}} - \frac{P_{d1max}}{P_{a1max} + P_{d2}} R_{jr1}, \quad (5.11)$$

în care :

t_{jMAX} este temperatura maximă a jonctiunii tranzistoarelor T_1 și T_2 (presupuse de același tip),

t_{amax} — temperatura maximă a mediului ambiant în care lucrează stabilizatorul,

P_{d2} — puterea disipată pe tranzistorul T_2 în situația cind pe tranzistorul T_1 apare P_{d1max} .

$R_{jr1} = R_{jc} + R_{cr}$ — rezistență termică totală între jonctiune și radiator, unde R_{cr} este rezistență termică de contact capsula-radiator [14].

Dacă se izolează față de radiator tranzistorul T_2 (printr-o foită de mică de 0,1...0,2 mm), radiatorul se dimensionează pe baza celei mai mici rezistențe termice dintre R_{ra1} și R_{ra2} , calculată cu relația

$$R_{ra2} = \frac{t_{jMAX} - t_{amax}}{P_{a2max}} - R_{jr2}, \quad (5.12)$$

unde : $R_{jr2} = R_{jc} + R_{cr} + R_i$ și este rezistență termică totală între jonctiune și radiator, incluzând și rezistență termică R_i a izolației [14].

Prin urmare, avantajul esențial al elementului de reglare cu două tranzistoare în serie este acela al reducerii gabaritului radiatorului sau chiar evitarea radiatorului față de cazul elementului de reglare obișnuit.

Datorită tensiunii auxiliare U_{D2} de valoare redusă, tranzistorul de comandă T_3 disipa o putere maximă redusă ($U_{CES} = 1,4 \dots 2,3$ V). Acest lucru este important, în special în cazul utilizării drept tranzistor de comandă a tranzistorului de reglare dintr-un circuit integrat. Este posibil în acest caz să se utilizeze elementul de reglare integrat pînă la curentul lui maxim [14, 19, 25].

Un alt avantaj important al elementului de reglare cu două tranzistoare în serie îl constituie proprietatea de autolimitare a curentului din sarcină, chiar și a curentului de scurtcircuit [19]. Astfel, la creșterea curentului de sarcină, tranzistorul T_2 preia treptat în bază tot curentul furnizat prin rezistența R_2 , saturîndu-se și provocînd blocarea diodei D_2 și a tranzistorului T_1 . Rămînd în circuit, în serie cu tranzistorul T_2 , rezistența R_1 limitează curentul la o valoare ($1,1 \dots 3,5$) I_{smax} . La o dimensionare corespunzătoare a elementului de reglare și a redresorului sau a unei siguranțe fuzibile, alimentatorul stabilizat nu este în pericol în cazul scurtcircuitului din sarcină.

Întrucît, așa cum se arată în [25] și în cele ce vor urma, cea de a două sursă de alimentare (U_2) se poate elimina, rămîne un singur dezavantaj al elementului de reglare cu două tranzistoare în serie: acela al complicării circuitelor și calculului [14].

În [19] și [27] s-a demonstrat că performanțele realizate de stabilizoarele cu element de reglare cu două tranzistoare în serie sunt la fel cu cele ale elementului de reglare obișnuit.

O primă aplicație a circuitului integrat βA723 în combinație cu un element de reglare cu două tranzistoare în serie se bazează pe utilizarea unui singur tranzistor extern [29] în rolul lui T_1 din fig. 5.11, a tranzistorului integrat T_{15} în rolul lui T_2 și a tranzistorului integrat T_{14} în rolul lui T_3 (fig. 5.13).

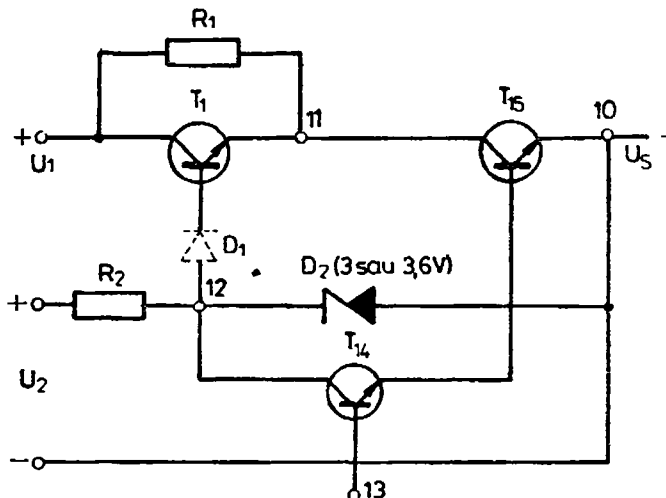


Fig. 5.13. Elementul de reglare cu două tranzistoare în serie utilizînd două tranzistoare din circuitul integrat βA723.

Cu această configurație, stabilizatorul de tensiune poate furniza curentul maxim de 150 mA, la o tensiune fixă sau ajustabilă în gama de 5 V, utilizându-se un tranzistor extern cu puterea disipată maximă de numai 0,3...0,4 W și asigurându-se pe capsula circuitului integrat o putere dissipată uneori mult sub cea admisă. Se menționează că pentru a realiza aceeași sursă cu un element de reglare obișnuit este necesar să se atașeze la circuitul integrat un tranzistor extern de 0,75...1,5 W.

În fig. 5.14 se prezintă un stabilizator concret bazat pe principiul de mai sus. Pentru alimentarea lui sunt necesare două surse de tensiune independente. Stabilizatorul furnizează o tensiune fixă de 5 V pînă la un curent maxim (limitat aici simplu) de 150 mA. Pentru alimentarea circuitului integrat la terminalul 12 (pentru capsulă TO 116), cu o tensiune minimă de 9,5 V s-a intercalat o diodă suplimentară cu cădere >1,5 V (aici un LED cu tensiunea de cca 1,6 V, care servește și ca semnalizator de sursă conectată). Dioda stabilizatoare trebuie să prezinte pe ea o cădere de

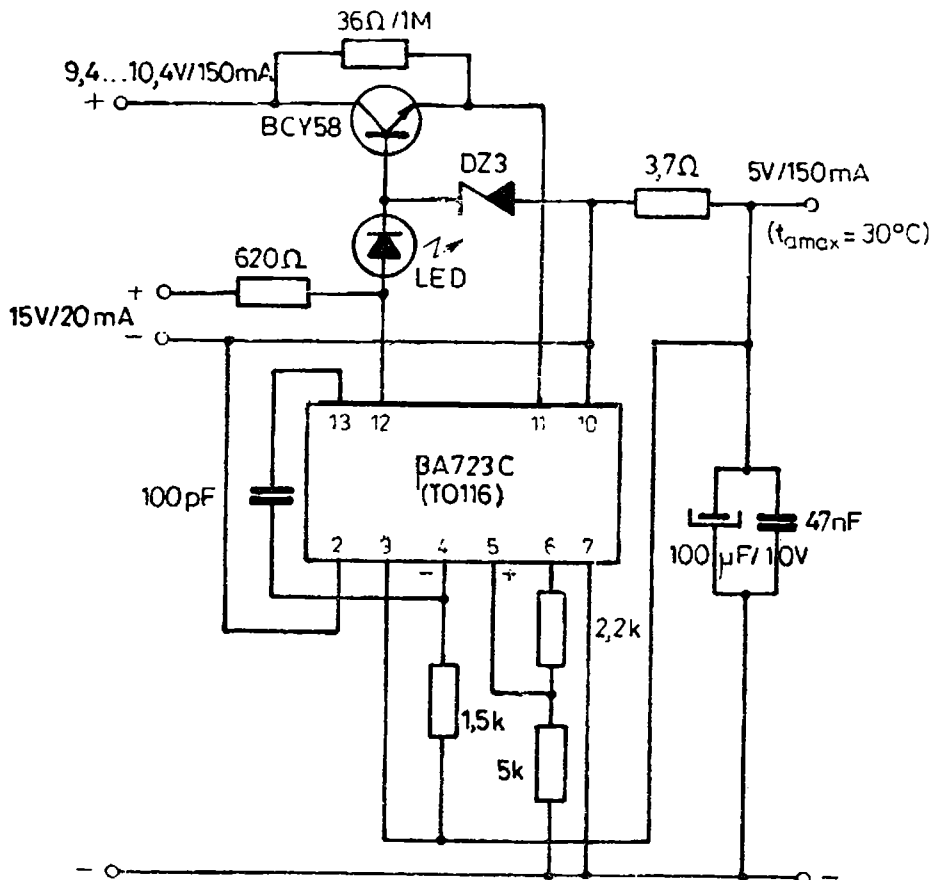


Fig. 5.14. Stabilizator de tensiune de 5 V/150 mA cu tranzistor extern de putere mică.

tensiune de cca 3 V la curentul de 5 mA. Performanțele stabilizatorului sunt deosebit de bune. Tensiunea pe sarcină, la variația curentului prin aceasta între 0 și 150 mA, se modifică cu 1 mV, iar la variația tensiunii de intrare în gama dată nu se modifică. Puterea disipată maximă pe tranzistor este 200 mW, iar pe circuitul integrat de cca 280 mW.

Calculul unui astfel de stabilizator se poate face pe baza lucrării [29].

În fig. 5.15 se prezintă încă un stabilizator de acest tip, asigurînd o tensiune fixă de 15 V/150 mA, la care puterile disipate maxime pe tranzistorul extern și pe circuitul integrat sunt de 240 mW, respectiv 400 mW. Corecția amplificatorului de eroare se face cu un condensator ceramic de 220 pF.

Performanțele stabilizatorului sunt bune; tensiunea pe sarcină nu se modifică la variația tensiunii de intrare, iar la variația curentului de sarcină între 0...150 mA, U_s se modifică cu 10 mV.

Ambele tipuri de surse pot utiliza orice tranzistor extern cu putere disipată $P_{s,MAX} > 300$ mW și curent $I_{c,MAX} > 200$ mA.

Pentru curent de sarcină ce depășește 150 mA și pînă la un curent de peste 5 A se recomandă folosirea a două tipuri de stabilizatoare de tensiune cu element de reglare cu două tranzistoare în serie și circuit integrat BA723 [19, 25, 14, 28].

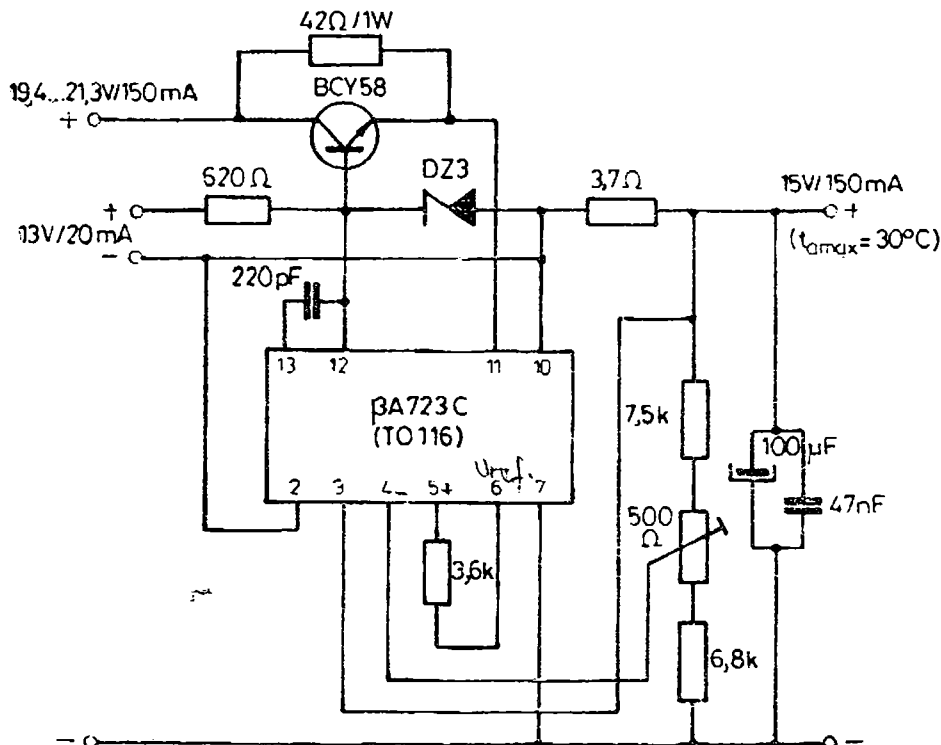


Fig. 5.15. Stabilizator de tensiune de 15 V/150 mA cu tranzistor extern de putere mică.

Primul tip de stabilizator conține elementul de reglare cu două tranzistoare în serie, prezentat anterior, ambele fiind externe circuitului integrat. Stabilizatorul necesită două surse de alimentare independente (fig. 5.16) [14]. Drept tranzistor de comandă T_3 se utilizează tranzistorul integrat T_{15} , care aici este supus la o putere disipată redusă datorită tensiunii sale U_{CE} de ordinul 2...2,3 V. Astfel, în aceste aplicații se poate utiliza circuitul integrat βA723 pînă la curentul lui maxim de 150 mA fără pericolul depășirii puterii disipate maxime pe capsulă [14]. De aceea, aplicațiile de tipul celor din fig. 5.16, 5.18 și 5.19 sunt deosebit de utile în practică [19, 25]. Ele reprezintă importante contribuții românești la teoria, calculul și aplicațiile stabilizatoarelor de tensiune, conducind la realizarea unor mari economii de aluminiu (prin reducerea substantială a dimensiunii radiatoarelor) și la extinderea spectaculoasă a utilizării circuitului integrat de putere redusă βA723 la surse de curent mare (5...7 A).

În fig. 5.16 se prezintă schema unui stabilizator pentru tensiunea ajustabilă de 5...15 V și curent maxim de 1 A [14]. Stabilizatorul trebuie

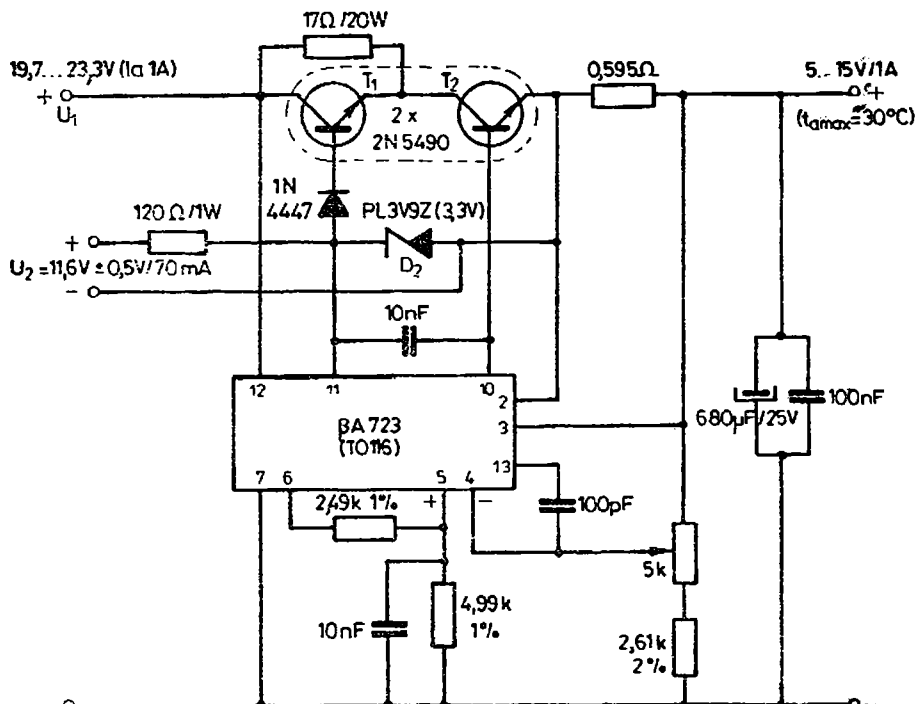


Fig. 5.16. Stabilizator de tensiune de 5...15 V/1 A cu două tranzistoare externe npn , în serie, cu T_2 izolat de radiator și cu două surse de alimentare.

alimentat de la un redresor care la 1 A furnizează 19,7...23,3 V (nominal 21,5 V), cu pulsații vîrf la vîrf de cel mult 1,6 V și care prezintă o rezistență internă de cca 2 Ω. Puterile disipate maxime pe cele două tranzistoare, T_1

și T_2 , săn de numai 4,9 W, respectiv 5,4 W și nu apar simultan, ceea ce permite folosirea unui radiator comun. Întrucât cele două tranzistoare nu au colectorul comun, este necesară izolarea tranzistorului T_2 față de radiator [28]. Pentru evitarea izolării este posibilă folosirea soluției din fig. 5.12 în locul lui T_1 (ceea ce impune creșterea tensiunii de alimentare și a tensiunii diodei D_2 cu 0,7 V).

Radiatorul comun necesar are suprafața doar de cca 40 cm² (pătrat, vertical, din tablă de aluminiu de 1 mm grosime, cu tranzistoarele montate central — unul pe o față, celălalt pe altă față — și strînsă cu același șurub; desigur, tranzistorul T_2 trebuie izolat cu o foită de mică de 0,1 mm, iar șurubul va fi izolat corespunzător în dreptul lui T_2).

Elementul de reglare necesită o corecție în plus, cu condensatorul de 10 nF ceramic pentru eliminarea oscilațiilor stabilizatorului. Dioda stabilizatoare se sortează pentru a avea la 20 mA o tensiune de 3,2...3,3 V. Rezistența de ocolire de 17 Ω se poate realiza din patru rezistențe de 68 Ω/5 W conectate în paralel.

Protecția cu limitare simplă de curent este eficientă și în scurtcircuit [14], ceea ce constituie o particularitate aproape generală a elementului de reglare cu două tranzistoare în serie cind raportul U_{emax}/U_{smtn} este mare. Pe circuitul integrat se disipa o putere maximă de cca 140 mW, care nu se mărește nici la scurtcircuit.

Sursa de tensiune U_2 este de putere redusă, ea furnizând, în cazul cel mai defavorabil, un curent de 70 mA. Eventuala apariție a autolimitării curentului de către elementul de reglare prin mecanismul arătat, înainte de acționarea limitării de curent cu ajutorul rezistenței R_p , se poate înălța prin reducerea ușoară a rezistenței R_2 sau creșterea ușoară a tensiunii U_2 .

O soluție elegantă pentru dioda D_2 o constituie utilizarea unei diode LED (care poate servi și ca indicator de conectare și funcționare normală a stabilizatorului) în serie cu o diodă obișnuită în sens direct (cu o cădere de 2,3...2,4 V) sau chiar a două diode LED în serie (pentru cădere de tensiune de 3,2...3,4 V). Diodele LED mai prezintă avantajul unei rezistențe dinamice reduse, dar au în schimb curentul maxim limitat, ceea ce trebuie neapărat luat în considerare [14].

Coefficientul de stabilizare a tensiunii pe sarcină la variația tensiunii de alimentare, dat de relația 5.1, rămâne și aici de valoare mare (cîteva mii), astfel încît variația tensiunii pe sarcină este de cel mult 2 mV pentru gama tensiunii de intrare dată. Variația tensiunii pe sarcină la modificarea curentului prin aceasta între 0 și 1 A este de cel mult 10 mV ($R_{tc} < 0,01 \Omega$).

Rezistența de ieșire a unui astfel de stabilizator se poate aproxima cu relațiile (5.2), (5.3), 5.4), în care trebuie utilizati parametrii h_{11e} și h_{21e} ai elementului de reglare complet [27], la curentul maxim al stabilizatorului. Aceștia se pot stabili ca la o conexiune Darlington realizată de $T_{14}-T_{15}-T_2$.

În fig. 5.17, a se prezintă principiul elementului de reglare cu două tranzistoare în serie, cu tranzistor de comandă (T_3) de tip opus [25]. Aceasta

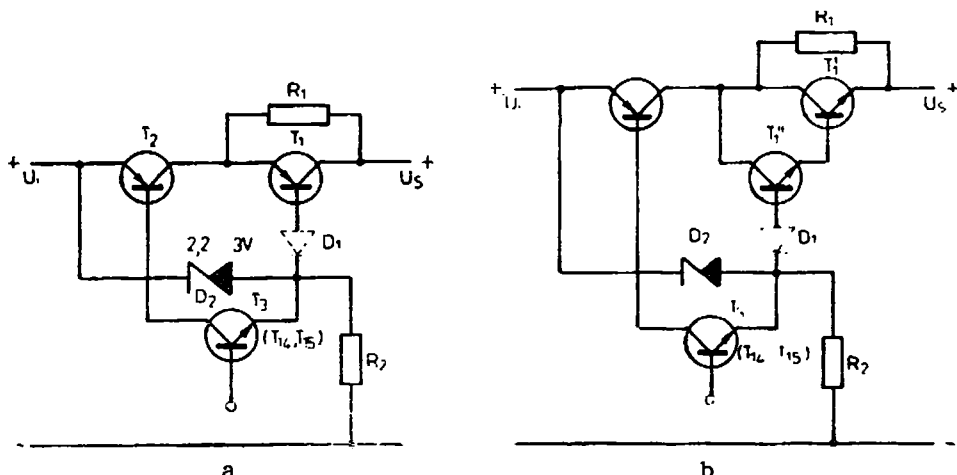


Fig. 5.17. Element de reglare cu două tranzistoare în serie, cu tranzistor de comandă de tip opus (a) și soluția pentru eliminarea izolării de radiator (b).

a permis eliminarea celei de a doua surse de alimentare. Este soluția cea mai potrivită pentru cazul cînd tranzistoarele nu necesită radiatoare sau trebuie prevăzute cu radiatoare mici. În cazul cînd se apreciază de la început că sînt necesare radiatoare cu suprafață importantă [14] este indicată folosirea unui radiator comun și eliminarea izolării unui tranzistor față de radiator prin soluția din fig. 5.17, b. Aici, tranzistorul T_1 a fost înlocuit printr-un tranzistor compus (dublet) cu inversare de tip, în care tranzistorul de putere T_1' are colectorul legat în același punct cu colectorul lui T_2 . În acest fel tranzistoarele T_1' și T_2 se pot monta pe același radiator, eventual pe fețe diferite, central și strînsse cu același șurub (nu se dispune de un calcul al radiatorului pentru cazul montării excentrice a tranzistoarelor).

În [27] s-a arătat că performanțele asigurate de acest tip de element de reglare sunt comparabile cu cele ale primului tip de element de reglare cu două tranzistoare în serie (cu tranzistor de comandă de același tip). Deosebire apare numai la relația de calcul a parametrului h_{11c} , care aici se prezintă [27]

$$h_{11c} = h_{11c3} + h_{21c3} \cdot 2r_{D2}. \quad (5.13)$$

unde : r_{D2} este rezistența dinamică a diodei stabilizatoare D_2 . Parametrul h_{21c} al elementului de reglare rămîne asemănător cu cel al unei conexiuni Darlington a tranzistoarelor T_2 și T_3 :

$$h_{21c} = h_{21c2} h_{21c3}. \quad (5.14)$$

Cu ajutorul acestor parametri și a relațiilor (5.2), (5.3) și (5.4) se poate anticipa rezistența de ieșire a stabilizatorului și apoi variația tensiunii de ieșire cu curentul de sarcină.

În fig. 5.18 se prezintă un stabilizator de tensiune ce utilizează circuitul integrat βA723 în combinație cu două tranzistoare externe pentru a se realizea elementul de reglare din fig. 5.17, a. Rolul tranzistorului T_3 este preluat de tranzistoarele integrate T_{14} și T_{15} . Stabilizatorul se realizează cu tranzistoare fără radiator. Folosind un element de reglare obișnuit, ar fi fost necesar un radiator de aluminiu vertical din tablă cu grosimea 1 mm și suprafață 30 cm².

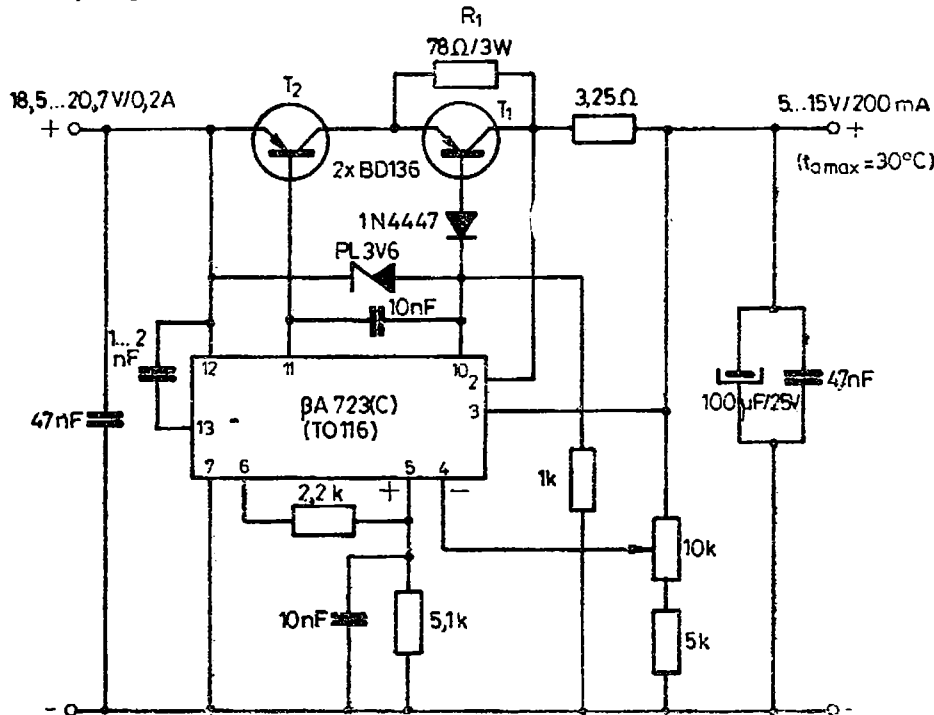


Fig. 5.18. Stabilizator de tensiune de 5—15 V/200 mA cu element de reglare cu două tranzistoare în serie pnp și o singură sursă de alimentare.

Stabilizatorul trebuie alimentat de la un redresor cu tensiunea nominală 19,6 V și cu pulsații virf la virf mai mici de 0,6 V la curentul maxim de 200 mA, având rezistența internă de cca 14,7 Ω.

Este necesară o corecție cu condensator de 1...2 nF între terminalele 13 și 12. Prezența oscilațiilor tensiunii de ieșire la anumite curenti de sarcină se poate constata și fără osciloscop. Astfel, dacă se variază curentul de sarcină între 0 și valoarea maximă, la un anumit curent apar oscilații și tensiunea pe sarcină se modifică cu mai mult de cîțiva mV (cel mult 10 mV) cît este normal. Toate cele cinci condensatoare de 1...47 nF trebuie să fie ceramice.

Rezistența R_1 se poate găsi prin sortare din rezistențele bobinate de 75 Ω/3 W ± 5 %. Limitarea de curent simplă este eficientă și la scurtcircuit. Circuitul integrat βA723 asigură stabilizatorului performanțe ridicate, ca și în cazurile prezentate anterior.

În fig. 5.19 se prezintă încă un stabilizator de același tip, dar cu putere disipată mai mare pe elementul de reglare astfel încât este necesar un radiator comun. S-a aplicat soluția cu evitarea izolării unui tranzistor

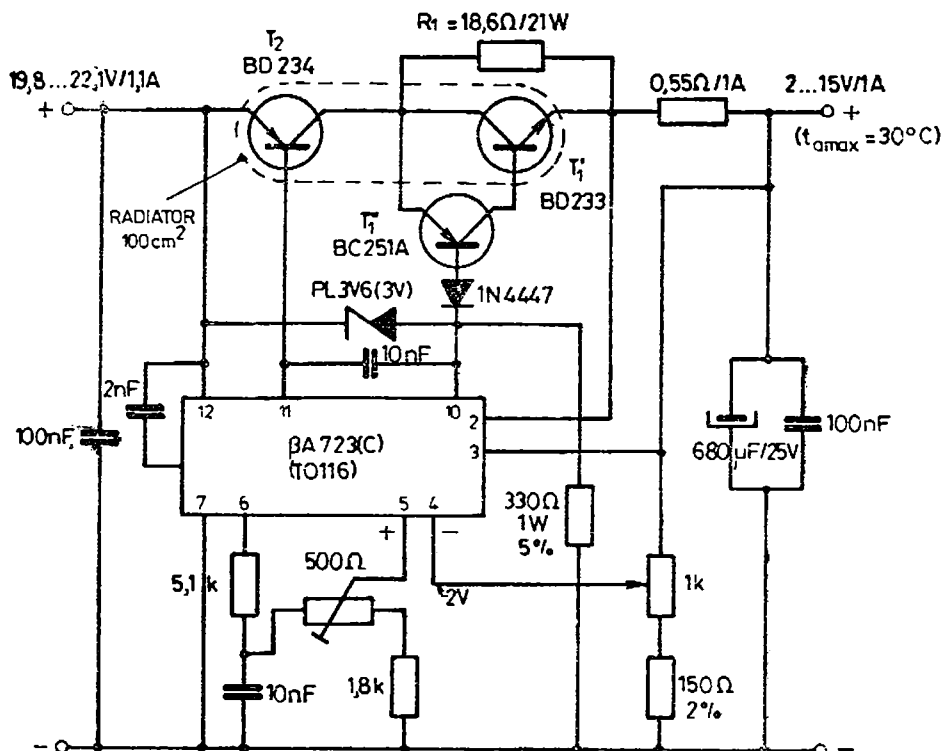


Fig. 5.19. Stabilizator de tensiune de 2—15 V/1 A cu două tranzistoare în serie, fără izolație față de radiator, cu o singură sursă de alimentare.

(fig. 5.17, b). Tranzistorul T_1 a rezultat de putere redusă. Stabilizatorul s-a realizat cu tranzistoare T_1 și T_2 uzuale, dar cu arie mică de contact pe radiator, ceea ce a condus la o suprafață de radiator relativ mare. Cu tranzistoare de putere disipată limită ceva mai ridicată, radiatorul s-ar reduce sensibil. Aici este necesar un radiator plan, vertical, din tablă de aluminiu de grosime 2 mm și suprafață 100 cm². Tranzistoarele se montează central, pe cele două fețe și se strâng cu același șurub.

Rezistența R_1 se realizează din trei rezistențe bobinate de $6,2\Omega/7\text{ W}$ în serie sau de $56\Omega/7\text{ W}$ în paralel. Stabilizatorul este protejat la suprarecurrent și la scurtcircuit. Ajustarea limitei de 2 V se poate face cu potențiometrul de 500Ω cind cursorul potențiometrului de $1\text{k}\Omega$ este în poziția limită de sus. Schimbând rezistența fixă de 150Ω se poate ajusta apoi la nevoie, limita de 15 V cind cursorul potențiometrului de $1\text{k}\Omega$ este în poziția de jos.

5.1.4. STABILIZATOR DE TENSIUNE CU REGLAJ DE LA ZERO

Pentru reglarea de la zero a tensiunii stabilizate, cînd intrarea inversoare a amplificatorului de eroare ajunge și la potențialul 0 (pentru tensiunea pe sarcină zero) este necesar ca intrarea neinversoare a amplificatorului să fie legată la bara cu potențial 0 (fig. 5.20) [33]. Aceasta impune legarea terminalului „Masă“ al circuitului integrat $\beta A723$ la un potențial negativ, de cel puțin -2 V și cel mult $-7,5\text{ V}$, realizat cu un alt doilea stabilizator.

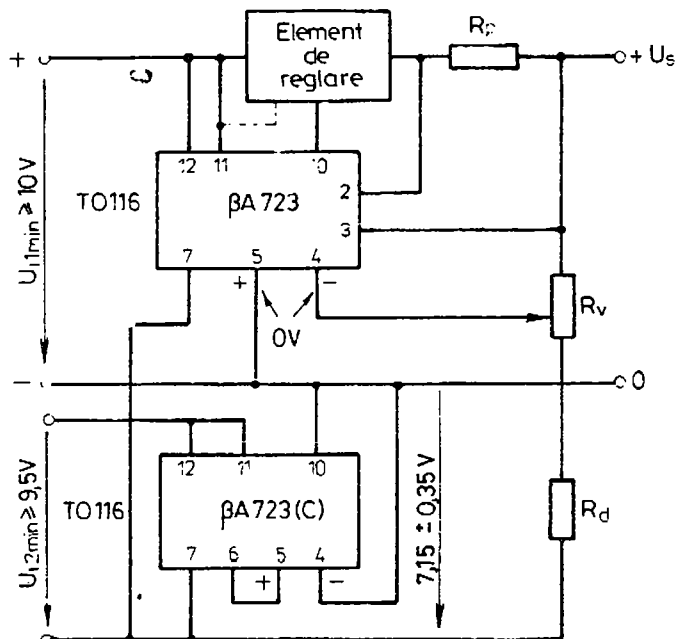


Fig. 5.20. Principiul stabilizatorului cu reglaj de la zero realizat cu circuite integrate $\beta A723$.

Dacă tensiunea stabilizată maximă impusă de sarcină nu depășește cca 24 V (pentru cazul utilizării elementului de reglare cu două tranzistoare în serie cca 21 V), este indicată utilizarea unui stabilizator auxiliar de $7,15 \pm 0,35\text{ V}$ (aici intervenind dispersia de fabricație a tensiunii de referință), care este mai simplu decit un stabilizator de tensiune de $2 \dots 6,8\text{ V}$ (fig. 5.3). Acesta din urmă trebuie utilizat atunci cînd tensiunea stabilizată maximă depășește 24 V.

În fig. 5.20 elementul de reglare poate fi cu un tranzistor extern npn sau pnp [11, 31, 14] sau cu două tranzistoare în serie [14, 25], așa cum s-a arătat în aplicațiile din acest capitol. În ultimul caz, pentru a se evita o a treia sursă de alimentare, se recomandă folosirea variantei cu tranzistoare pnp (fig. 5.17).

Cel de al doilea stabilizator utilizat în fig. 5.20 va fi încărcat cu curentul maxim :

$$I_{s2max} \leq \frac{U_{smax} + 7,5}{R_v + R_d}, \quad (5.15)$$

care este de valoare redusă, dacă suma rezistențelor din divizor se adoptă de cel puțin cîțiva kΩ. Valoarea este suficient de mică pentru a asigura, cînd stabilizatorul lucrează în gol, un curent minim prin elementul de reglare pentru ca acesta să funcționeze normal. Adoptîndu-se deci suma rezistențelor $R_v + R_d$ peste 5 kΩ și folosind relația divizării de tensiune cînd cursorul lui R_v se află în poziția de jos (la ieșire este U_{smax})

$$7,15 = U_{smax} \frac{R_d}{R_v} \quad (5.16)$$

se pot stabili cele două rezistențe, R_v și R_d (desigur, după normalizarea lui R_v , R_d trebuie recalculate cu relația de mai sus). Înînd cont de disperzia tensiunii de referință și de toleranță mare, inevitabilă, a rezistențelor variabile, în cazul unui produs de serie se prevede și R_d ajustabilă. Cu ajutorul acesteia, cînd cursorul lui R_v se află în poziția de jos, se ajustează la ieșire tensiunea U_{sm} dorită.

Pentru simplificarea înțelegерii schemei de principiu a unui astfel de stabilizator, în fig. 5.20 nu au mai fost prevăzute capacitatele de la ieșire și de corecție necesare [11, 31, 14, 25]. Tensiunea de referință a primului circuit integrat nu este utilizată.

In fig. 5.21 se prezintă o aplicație concretă a circuitelor integrate βA723, și anume, un stabilizator de tensiune 0—26 V/0,5 A. Pentru obținerea tensiunii U_{mn} , 26 V s-a folosit un stabilizator auxiliar de numai 2 V.

Înînd cont de puterea disipată mare ce apare pe elementul de reglare, se utilizează soluția cu două tranzistoare în serie și rezistență de ocolire [25] astfel încît se pot folosi tranzistoare de putere fără radiator. Cu ajutorul potențiometrului R se va ajusta mai întâi tensiunea auxiliară la 2 V, apoi, punînd cursorul potențiometrului R în poziția de jos (pentru a se obține U_{sma}), se ajustează din R tensiunea maximă pe sarcină la 26 V.

Redresorul de alimentare principal (care furnizează tensiunea U_{ii}) trebuie să aibă o rezistență internă de cca 6,25 Ω și pulsații virf la virf mai mici decît 0,6 V. Cel de al doilea redresor este de curent mai redus și nepretențios. El trebuie să furnizeze o tensiune minimă de 9,6 V cu pulsații virf la virf sub 0,2 V.

La stabilizatorul principal s-au aplicat corecțiile corespunzătoare tipului de element de reglare folosit [25].

Stabilizatorul suportă fără nici o altă măsură regimul de scurtcircuit.

Performanțele realizate sunt cele tipice stabilizatoarelor cu circuit integrat βA723. O variație sesizabilă prezintă tensiunea pe sarcină (sub 10 mV) la modificarea curentului de sarcină între 0 și 0,5 A.

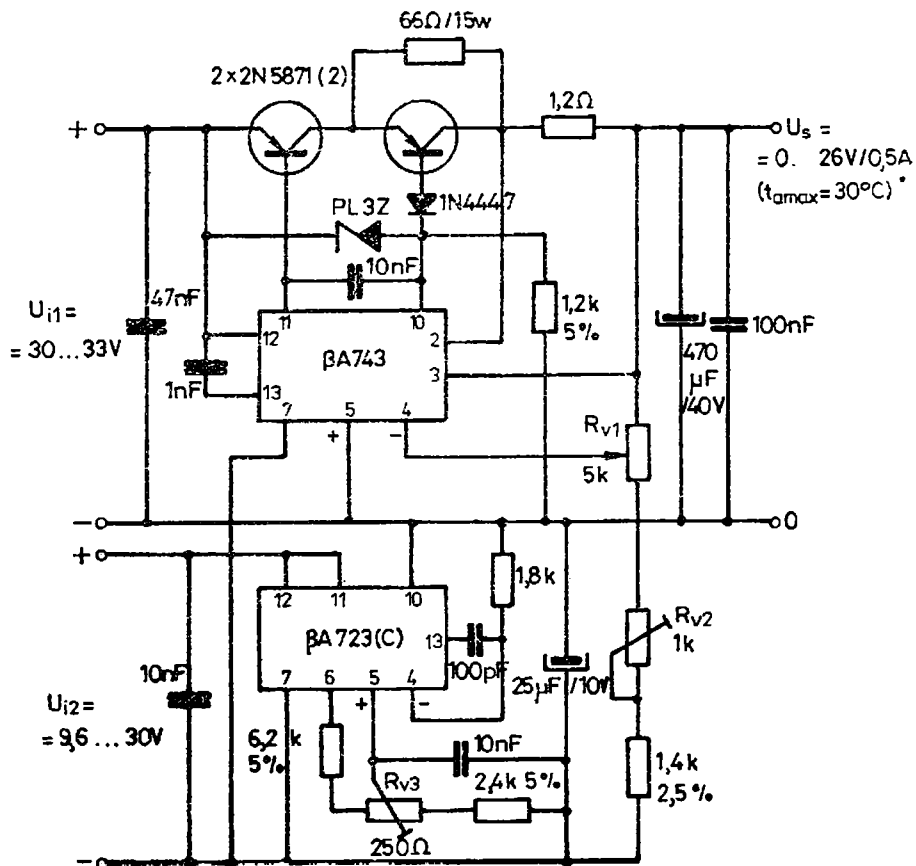


Fig. 5.21. Stabilizator de tensiune 0—26 V/0,5 A.

5.2. STABILIZATOARE DUALE CU CIRCUIT INTEGRAT ROB1468

Alimentarea circuitelor integrate liniare se face deseori de la două surse ce furnizează tensiuni stabilizate simetrice față de masă, care trebuie să se mențină în valoare absolută egale (să se urmărească), chiar dacă una dintre ele se modifică ușor [12].

Principiul stabilizatorului dual ROB1468 este prezentat în fig. 5.22 [12]. Stabilizatorul de tensiune pozitivă, realizat cu tranzistorul T^+ și amplificatorul A^+ , furnizează una din cele două tensiuni de ieșire ($+U_s$). Amplificatorul cu amplificare mare A^- , având între cele două intrări o diferență de potențial aproape nulă și având intrarea neinversoare legată la masă, asigură punetului median al brațului cu cele două rezistențe R .

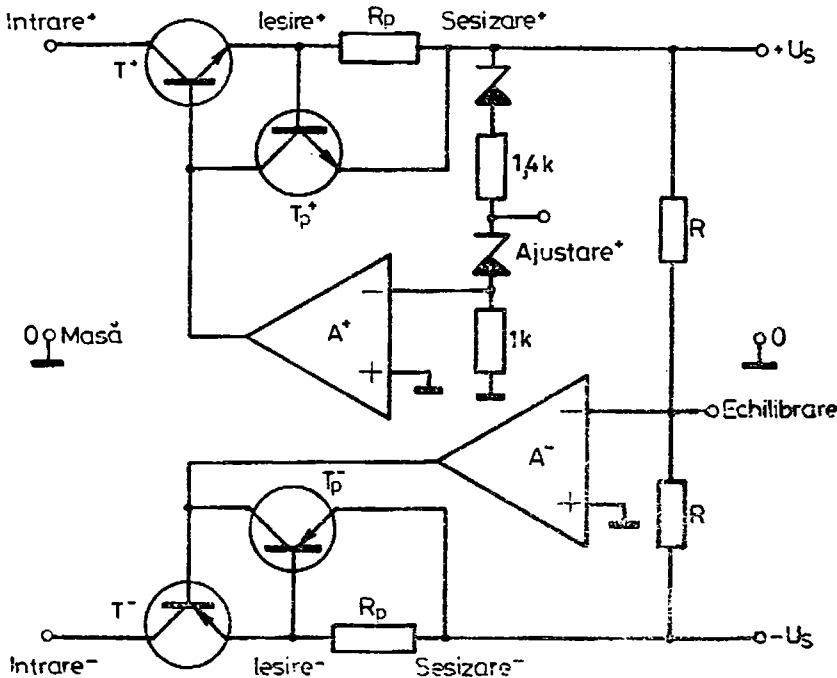


Fig. 5.22. Principiul de funcționare al stabilizatorului dual ROB1468.

egale potențial foarte apropiat de zero. Tensiunile pe cele două rezistențe fiind egale, rezultă la ieșire două tensiuni simetrice față de masă. În acest fel, tensiunea negativă urmărește tensiunea pozitivă. Tranzistorul T^- servește ca element de reglare pentru tensiunea negativă, preluând diferența pînă la tensiunea de alimentare.

Cele două brațe R sunt realizate în circuitul integrat insuficient de simetrice, astfel că s-a prevăzut posibilitatea conectării externe a unui divizor (la terminalul „Echilibrare”) pentru realizarea egalității celor două tensiuni. Practic, întotdeauna după ajustarea tensiunii $+U_s$, este necesară „echilibrarea” din exterior, care afectează numai tensiunea negativă $-U_s$.

Între ieșirile celor două amplificatoare și masă se conectează condensatoare de corecție (la terminalele „Compensare”), care asigură eliminarea oscilațiilor stabilizatoarelor.

Circuitul integrat mai include cele două tranzistoare care realizează protecția prin limitare de curent T_p^+ și T_p^- (rezistențele R_p , urmînd a se conecta din exterior). Întrucît baza tranzistoarelor de protecție este legată la borna Ieșire în interiorul integratului, apar probleme legate de conectarea tranzistoarelor de reglare externe la circuit (cum se va vedea).

Circuitul ROB1468 are divizorul de la ieșire realizat cu rezistențe și diode Zener [12] astfel că fără a se interveni la terminalul „Ajustare” se pot obține două tensiuni fixe de $+14,5 \dots 15,5$ V și $-14,5 \dots 15,5$ V

(fiind necesară și echilibrarea acestora). Prin urmare apare o dispersie de fabricație a tensiunilor de ieșire. Pentru a se obține tensiuni de $+15$ V și -15 V este necesar un circuit destul de complicat de ajustare. Tot prin intermediul terminalului „Ajustare“, realizându-se divizoare corespunzătoare [12], se poate modifica tensiunea pe sarcină între $8 \dots 15$ V sau $15 \dots 20$ V. La stabilizatoare cu tensiune reglabilă între $8 \dots 12$ V, odată făcută echilibrarea (de exemplu la 12 V), aceasta se păstrează pînă la 8 V. Pentru stabilizatoare de tensiune reglabilă între $12 \dots 15$ V și $15 \dots 20$ V este necesară refacerea echilibrării de fiecare dată după modificarea tensiunii de ieșire (din cauza modificării tensiunilor pe diodele zener din divizorul integrat).

Conexiunile la capsula circuitului integrat ROB1468 sunt date în fig. 5.23. Se constată că la capsula metalică lipsește terminalul „Echilibrare“, care să asigure egalizarea celor două tensiuni pentru capsule unde acestea nu au rezultat egale din fabricație.

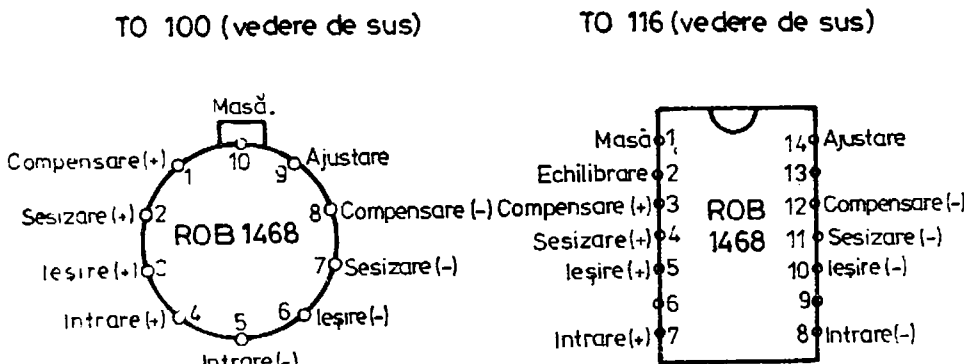


Fig. 5.23. Capsulele și terminalele circuitului integrat ROB1468.

Principalele mărimi limită și caracteristici ale circuitului integrat ROB1468 sunt [12, 32] :

- tensiuni maxime de intrare ± 30 V ;
- curent maxim de ieșire (prin T^+ și T^-) : 100 mA ;
- putere disipată maximă pe capsula de plastic : 670 mW [32] și pe capsula metalică 500 mW ;
- variația maximă a tensiunii de ieșire pentru o modificare a tensiunii de intrare de la $18 \dots 30$ V : <10 mV ;
- variația maximă a tensiunii de ieșire pentru o modificare a curentului de sarcină de la $0 \dots 50$ mA : <10 mV ;
- reacția tensiunii de ondulație : 75 dB ;
- tensiunea minimă pe tranzistoarele de reglaj (diferență minimă dintre intrare- ieșire) : 2 V ;
- curent consumat în gol : <4 mA, de la sursa pozitivă și <3 mA, de la sursa negativă ;
- coeficientul de temperatură al tensiunii stabilizate : $0,4$ mV/ $^{\circ}$ C [12].

Pentru limitarea curentului prin sarcină și prin integrat, la fiecare din cele două surse, se poate utiliza limitarea simplă sau limitarea cu întoarcere [12] ca și la stabilizatorul β A723 prezentat anterior.

Conecțarea tranzistoarelor externe la circuitul integrat se face ca în fig. 5.24, necesitând verificarea și eventual ajustarea experimentală a căderii de tensiune și curentului prin rezistențele R_B . Acestea se dimensi-

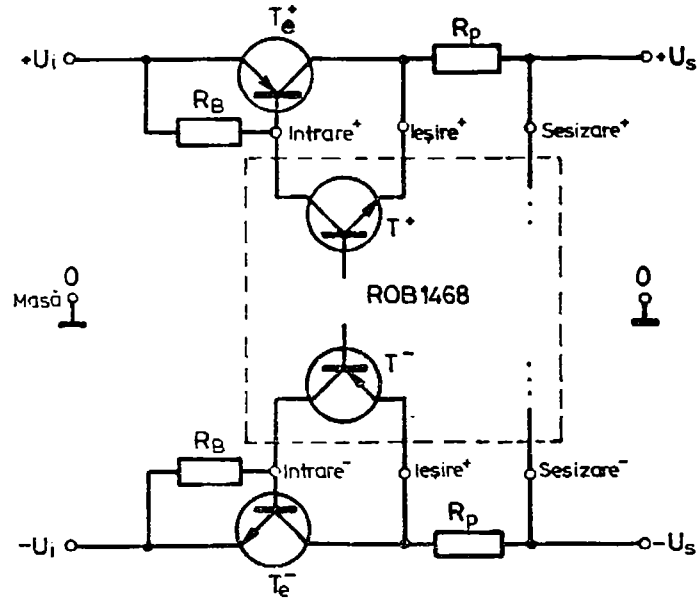


Fig. 5.24. Conecțarea tranzistoarelor externe la stabilizatorul dual ROB1468.

nează astfel ca la deschiderea tranzistoarelor externe (cu $U_{BE} = 0,8 \dots 1$ V pentru siliciu) prin tranzistoarele integrate să circule un curent de cel mult 20 mA [12]. Rezistențe R_B de ordinul $\geq 39 \dots 51$ Ω. Ca și în cazul elementului de reglare cu tranzistoră în conexiune Darlington, este necesar să se asigure o tensiune minimă între emitorul și colectorul tranzistorului extern, de 2,8 ... 3 V, pentru evitarea saturației.

Nu este posibilă atașarea la acest tip de circuit integrat a elementului de reglare cu două tranzistoare în serie.

5.2.1. STABILIZATOARE DUALE FĂRĂ TRANZISTOARE EXTERNE

În fig. 5.25 se prezintă un stabilizator dual cu ROB1468, care furnizează două tensiuni identice — una pozitivă și alta negativă față de terminalul „Masă“. Tensiunile pot avea valori cuprinse în domeniul 14,5 ... 15,5 V

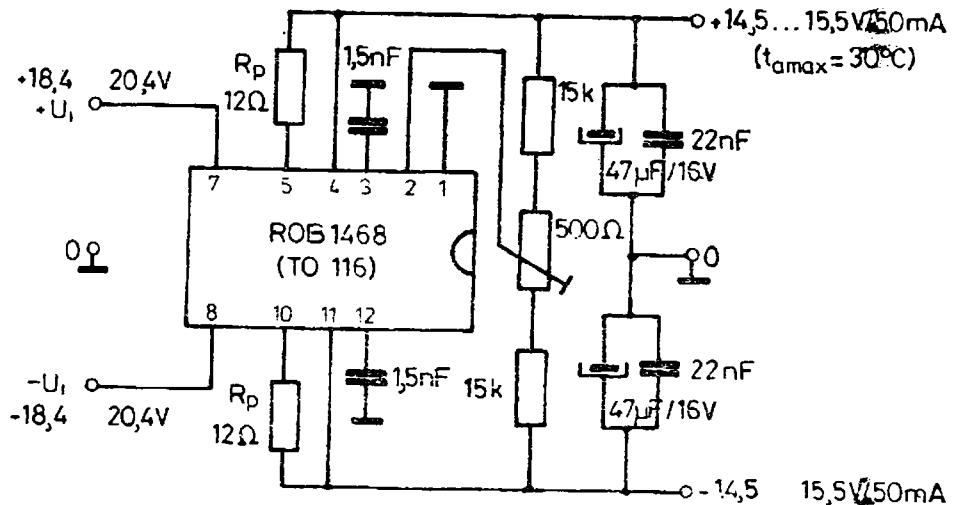


Fig. 5.25. Stabilizator dual fără ajustare cu ROB1468.

[32], din cauza dispersiei de fabricație, și nu se pot ajusta la 15 V. Se poate realiza doar „echilibrarea“, adică aducerea tensiunii negative la valoarea tensiunii pozitive, care este fixă. Echilibrarea se face cu ajutorul rezistenței semireglabile de $500\ \Omega$.

Stabilizatorul este potrivit pentru aplicații în care sarcina nu impune valoarea exactă de 15 V a tensiunii de ieșire și nu consumă curent mai mare decât 50 mA pe fiecare sursă. În fig. 5.25 s-a prevăzut o limitare simplă de curent care nu protejează circuitul integrat și la scurtcircuit.

Stabilizatorul trebuie alimentat de la un redresor cu tensiune nominală de 19,4 V la 50 mA și funcționează normal pentru variații maxime ale tensiunii rețelei de $\pm 5\%$. Redresorul trebuie dimensionat ca să asigure pulsării vîrf la vîrf sub 0,1 V și să prezinte o rezistență internă de ordinul $58\ \Omega$ [14].

Performanțele stabilizatorului sunt în conformitate cu cele date în catalog ; pentru o variație a tensiunii de intrare de 2 V, tensiunea de ieșire se modifică cu cel mult 2 mV, iar la variația currentului de sarcină între 0...50 mA modificarea tensiunii de ieșire este de valoare sub 10 mV. Puterea disipată maximă pe capsulă fiind limitată la 670 mW (din care cca 120 mW corespunde consumului propriu al integratului), este necesară limitarea currentului la 50 mA.

Pentru sarcini care consumă curenti diferiti de la cele două ieșiri este posibilă creșterea unuia dintre curentii prevăzuți mai sus (50 mA), în contul reducerii cu aceeași cantitate a celuilalt. Este însă necesară, în acest scop, recalcularea rezistențelor R_p (pe care trebuie să cadă o tensiune de cca 0,6 V) la curentul maxim corespunzător ieșirii respective. De sigur, este necesară calcularea corespunzătoare și a celor două redresoare de alimentare.

In fig. 5.26 se prezintă un stabilizator dual cu circuit integrat ROB1468 la care este posibilă ajustarea tensiunii pozitive la +15 V și prin echilibrare — aducerea tensiunii negative la -15 V. Datorită acestor ajustări, curentul maxim al stabilizatorului poate fi mărit la 60 mA pentru fiecare sursă. Si aici este posibilă „dezechilibrarea“ curentilor maximi de sarcină (fără a se depăși pe o ieșire 100 mA !), cu calcularea corespunzătoare a rezistențelor R_p , și a redresoarelor de alimentare.

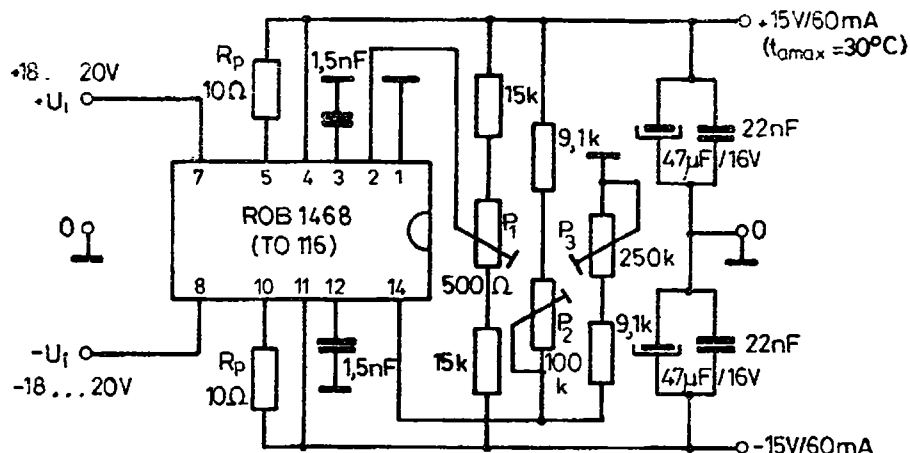


Fig. 5.26. Stabilizator dual de 15 V/60 mA cu ROB1468.

Pentru ajustarea la 15 V a tensiunii pozitive (atât în cazul cind se utilizează un circuit integrat cu tensiunea fără ajustare sub 15 V, cit și în cazul cind se utilizează unul cu tensiunea peste 15 V) a fost necesară introducerea între tensiunea pozitivă — terminalul „Ajustare“ și masă a unui divizor compus din 2 rezistențe fixe și 2 semivariable. Rezistențele fixe limitează domeniile de ajustare și evită deteriorarea circuitului integrat cind unele semireglabile sunt la limită. Ajustările necesare ale tensiunii pozitive se fac astfel. Stabilizatorul se pune în funcțiune în gol sau pe o sarcină ce consumă curent ≤ 60 mA. Rezistența semireglabilă P_2 se introduce complet ($100\text{ k}\Omega$) și cu rezistența semireglabilă P_3 ($250\text{ k}\Omega$) se încearcă ajustarea la 15 V a tensiunii pozitive. Dacă operația nu reușește (adică tensiunea pozitivă rămîne deasupra lui 15 V), se scoate complet sau aproape complet rezistența P_2 și se încearcă ajustarea tensiunii pozitive cu rezistența P_3 . În mod normal ajustarea trebuie să reușească. Divizorul a fost dimensionat astfel încît să se poată face ajustarea chiar și pentru unele circuite integrate ce fără ajustare ies ușor din domeniul 14,5 ... 15,5 V. În continuare este necesară aducerea la 15 V a tensiunii negative prin echilibrare cu potențiometrul P_1 . La acest reglaj, tensiunea pozitivă nu se modifică.

Stabilizatorul dual din fig. 5.26 trebuie alimentat de la un redresor cu tensiunea nominală la 60 mA de 19 V, cu pulsații virf la virf de cel

mult 0,1 V și cu rezistență internă de cca 47Ω [14]. Performanțele date anterior, la stabilizatorul fără ajustare se păstrează.

În fig. 5.27 se prezintă un stabilizator dual cu tensiunile cuprinse între 8—15 V. El este recomandat ca stabilizator de tensiuni fixe, cuprinse în domeniul dat, pentru că în cazul tensiunii de ieșire variabile se impune folosirea unei tensiuni de alimentare fixe de valoare nominală 20 V și limitarea curentului prin sarcină la o valoare mult mai mică. Ajustarea tensiunii pozitive se face deci în gol sau pe o sarcină ce consumă curent redus. Echilibrarea se face după această ajustare.

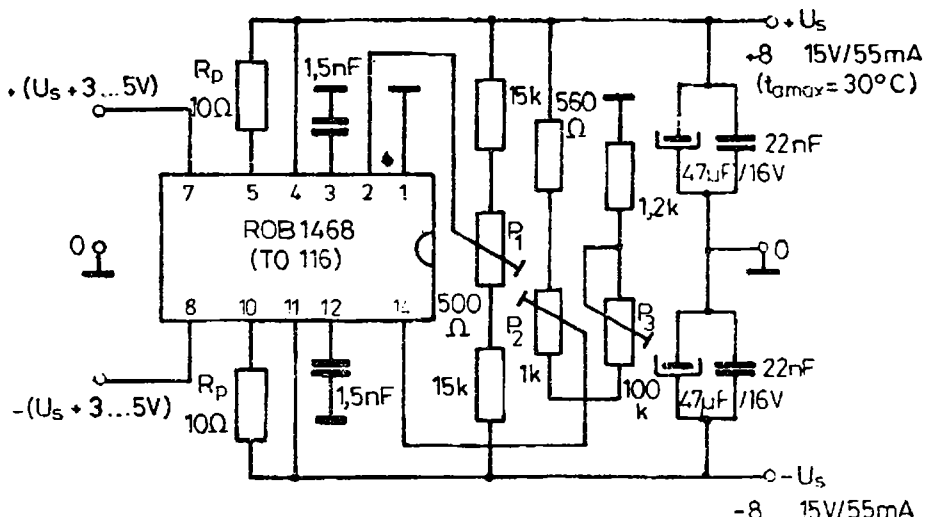


Fig. 5.27. Stabilizator dual cu tensiunea cuprinsă între 8—15 V.

Pentru ajustarea unei tensiuni de la limita inferioară a gamei (apropiată de 8 V), rezistența P_3 trebuie introdusă complet în circuit, iar cu potențiometrul P_2 se aduce tensiunea pozitivă de la ieșire la valoarea necesară. Pentru ajustarea unei tensiuni apropriate de limita superioară a gamei, se reduce rezistența P_3 spre zero pînă ce tensiunea $+U_s$ se apropiie de valoarea dorită, iar cu potențiometrul P_2 se face reglarea fină a valorii acestaie.

Tensiunile de alimentare trebuie să aibă valoarea nominală de ordinul $U_s + 4$ V și variații maxime de ± 1 V (datorate rețelei ce alimentează redresorul). Redresorul trebuie să prezinte o rezistență internă de ordinul

$$R_{tr} = 2,5 (U_s + 4) \quad [\Omega], [V] \quad (5.17)$$

și pulsații vîrf la vîrf de cel mult 0,1 V.

Este posibilă și aici dezechilibrarea curentilor de sarcină, fără ca cel mai mare dintre aceștia să depășească 100 mA. Este necesară însă recalcularea rezistențelor R_p și a redresoarelor de alimentare [14].

Performanțele stabilizatorului sunt cele prezentate în aplicațiile anterioare.

In fig. 5.28 se prezintă un stabilizator dual cu tensiunile de ieșire cuprinse între 15 ... 20 V, care poate asigura sarcinii curenți pînă la 50 mA (sau dezechilibrați dacă se iau măsurile corespunzătoare, cum s-a arătat mai sus).

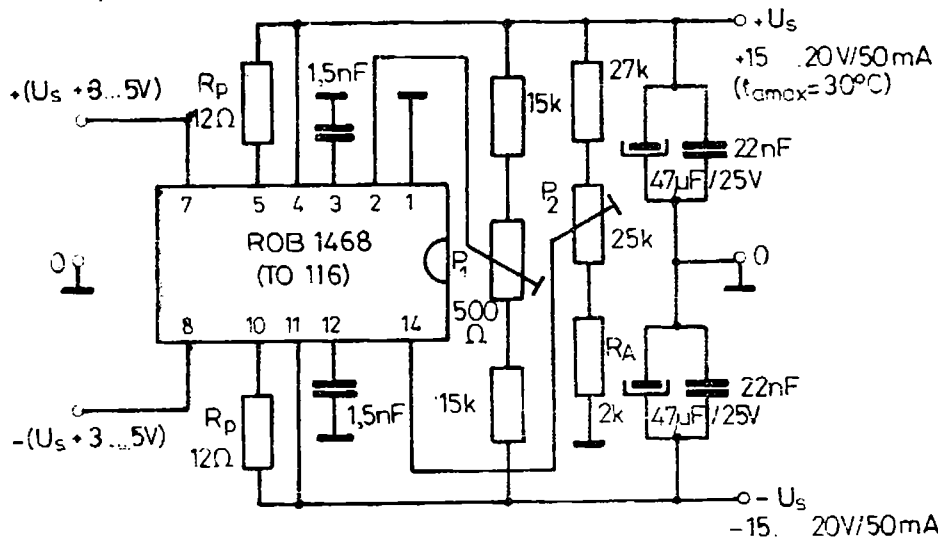


Fig. 5.28. Stabilizator dual cu tensiunea cuprinsă între 15—20 V.

Și în acest caz este necesar circuitul extern de echilibrare, chiar dacă în manuale este omis. Ca și în cazul precedent, se recomandă folosirea stabilizatorului cu tensiuni de ieșire fixe, ajustate inițial în gol.

Ajustarea tensiunii pozitive se face cu potențiometrul P_2 . Pentru evitarea utilizării a două rezistențe semireglabile (ceea ce ar fi permis o ajustare fină) s-a adoptat pentru P_2 o valoare mai redusă decât cea recomandată [12], asigurîndu-se totuși un reglaj acceptabil în gama 15—20 V pentru majoritatea capsulelor ROB1468. Cînd cursorul lui P_2 se află în poziția de jos, tensiunea de ieșire pozitivă are o valoare de aproximativ 20 V. Se atrage atenția asupra faptului că rezistența R_1 din divizorul de ajustare nu poate fi de valoare mai mică de 2 kΩ, întrucît din cauza curentului prin ea este posibilă defectarea circuitului integrat.

Față de alte circuite anterioare, curentul maxim de sarcină a fost micșorat la 50 mA din cauza puterii disipate în gol pe circuitul integrat mai mare la tensiunea de alimentare din acest caz.

Redresorul de alimentare trebuie să îndeplinească aceleasi condiții cîtate la exemplul prezentat în fig. 5.27.

5.2.2. STABILIZATOR DUAL CU TRANZISTOARE EXTERNE

Pentru a furniza sarcinii curenți mai mari decât 50...60 mA, în cazul alimentării stabilizatorului de la redresoare (care prezintă variații de tensiune provocate de rețea) este necesară atașarea unor tranzistoare ex-

terne de putere corespunzătoare la circuitul integrat, aşa cum s-a arătat în fig. 5.24. Valoarea rezistenței R_B din fig. 5.24 nu trebuie totuși să fie atât de redusă (47Ω) cum se recomandă în [12], deoarece în cazul unor stabilizatoare de curent mare se mărește inutil puterea disipată pe circuitul integrat. Se propune utilizarea unor rezistențe cu aproape un ordin mai mare (390Ω).

În cazul folosirii tranzistoarelor externe, diferența minimă de tensiune între colectorul și emitorul acestora trebuie să fie de $2,8\text{--}3,0$ V, pentru ca tranzistorul de reglare integrat (tranzistor compus) să lucreze suficient de departe de saturatie (2 V).

Admitând funcționarea circuitului integrat ROB1468 pînă la curentul de ieșire de 50 mA, folosind tranzistoare externe cu factor de amplificare static suficient de ridicat (>40) se pot realiza stabilizatoare duale pentru curenți de sarcină de ordinul 2 A (la temperatură a mediului $t_{max} < 30^\circ\text{C}$).

În fig. 5.29 se prezintă schema unui stabilizator dual de tensiune 15 V (ajustată) și pentru un curent maxim de 0,5 A. Stabilizatorul se alimentează de la redresoare cu tensiune nominală de 20,1 V la 0,5 A, cu rezistență internă de $6,1 \Omega$ și cu pulsări virf la virf mai mici sau egale cu 1 V (desigur la 0,5 A).

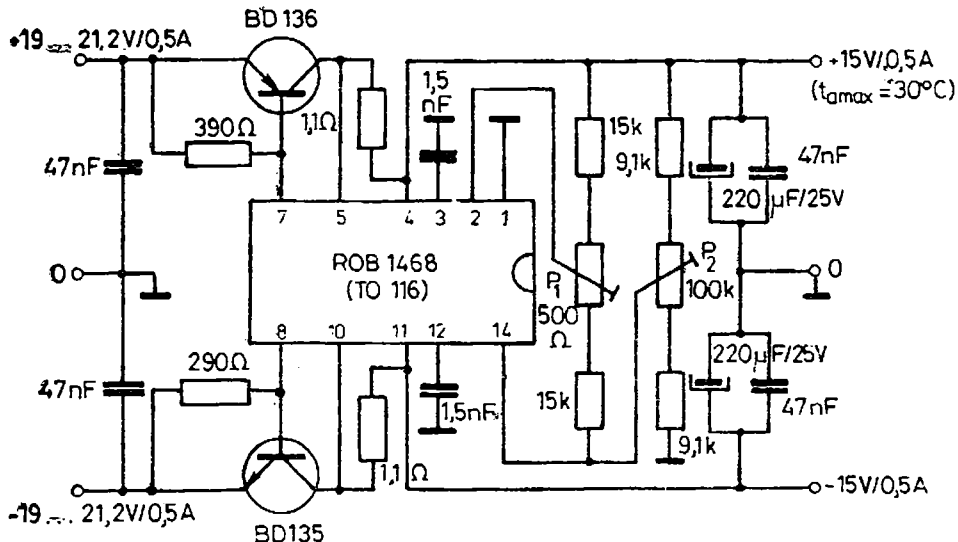


Fig. 5.29. Stabilizator dual cu tranzistoare externe, de 15 V/0,5 A.

Puterea maximă disipată pe capsula circuitului integrat este de cel mult 290 mW, iar pe fiecare tranzistor extern 2,9 W. Tranzistoarele trebuie montate central pe radiatoare verticale separate, de aluminiu, folosind vaselină siliconică pe locul de contact. Radiatoarele sunt pătrate, cu latura de 5 cm și sunt executate din tablă de grosime 2 mm.

Radiatoarele au fost dimensionate pentru o temperatură maximă a mediului de 30°C .

La punerea în funcțiune, în gol, se ajustează tensiunea pozitivă la 15 V din potențiometrul P_2 , apoi se face echilibrarea — aducerea tensiunii negative la 15 V — cu potențiometrul P_1 .

La curent de sarcină constant și la o variație a tensiunii de intrare în limitele indicate, tensiunea pe sarcină se modifică cu cel mult 1 mV. La o tensiune de intrare constantă și la o variație a curentului de la 0 la 0,5 A, tensiunea pe sarcină se modifică cu cel mult 8 mV.

Un stabilizator dual cu tensiunea reglabilă, la care să nu fie necesară echilibrarea după fiecare modificare a tensiunii pe sarcină se poate realiza cu circuitul integrat ROB1468 numai pentru gama de tensiuni 8—12 V, întrucât peste 12,5 V se deschid diodele Zener din divizorul de tensiune integrat [12], iar ramurile acestuia nu prezintă simetrie satisfăcătoare.

CAPITOLUL 6

CIRCUITE DE TEMPORIZARE ȘI COMANDĂ ÎN FAZĂ

6.1. APlicații ale circuitului integrat ȢE555

Circuitul integrat temporizator ȢE555 prezintă un număr mare de aplicații [9, 6], deosebit de utile în practică.

Schema bloc a circuitului ȢE555 este prezentată în fig. 6.1, iar conexiunile la capsulă sint date în fig. 6.2.

Comparitorul C_1 servește la stabilirea circuitului basculant bistabil CBB în starea „1” ($Q=0$), asigurind la ieșire (după amplificatorul A) un nivel de tensiune ridicat. El apare la terminarea unui impuls de declanșare pozitiv de durată mare, aplicat la intrarea inversoare a comparotorului C_1 .

Comparitorul C_2 servește la restabilirea circuitului basculant bistabil CBB în starea „0” în scopul anulării nivelului ridicat de la ieșire după un timp ce este în funcție de nivelul tensiunii de comandă (aplicată la intrarea inversoare a lui C_2). Operația de restabilire are loc în momentul în care o tensiune liniar variabilă (realizată pe un condensator C exterior, conectat la pinul „Descărcare“) aplicată la intrarea „Prag“ devine egală cu tensiunea de comandă.

Un nivel coborât de tensiune (<1 V) aplicat la terminalul 7(4) forțează, prin tranzistorul T_1 , restabilirea circuitului basculant bistabil CBB (starea „0”) și menținerea lui în această stare atît timp cît este nevoie, indiferent de situația la intrările comparatoarelor. Pentru a se evita comanda stării „0” prin tranzistorul T_1 , intrarea 7(4) se leagă la o tensiune mai mare de 1 V, de obicei $+E$.

Tranzistorul T_2 se utilizează pentru descărcarea condensatorului extern (pe care se obține tensiunea liniar variabilă) în scopul reluării procesului de încărcare de la zero.

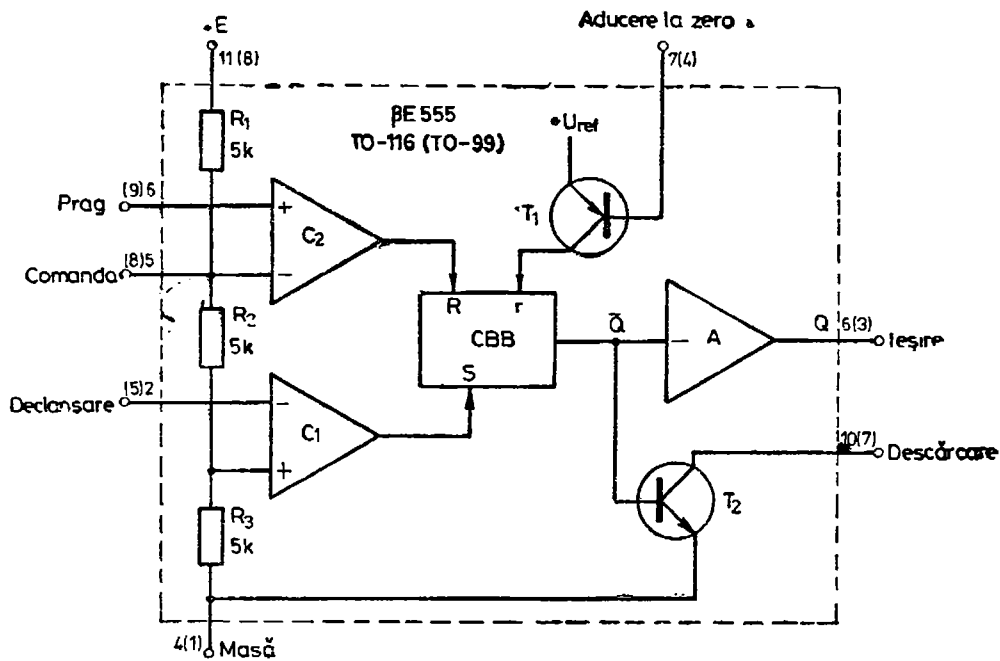


Fig. 6.1. Structura cu blocuri a circuitului integrat BE555.

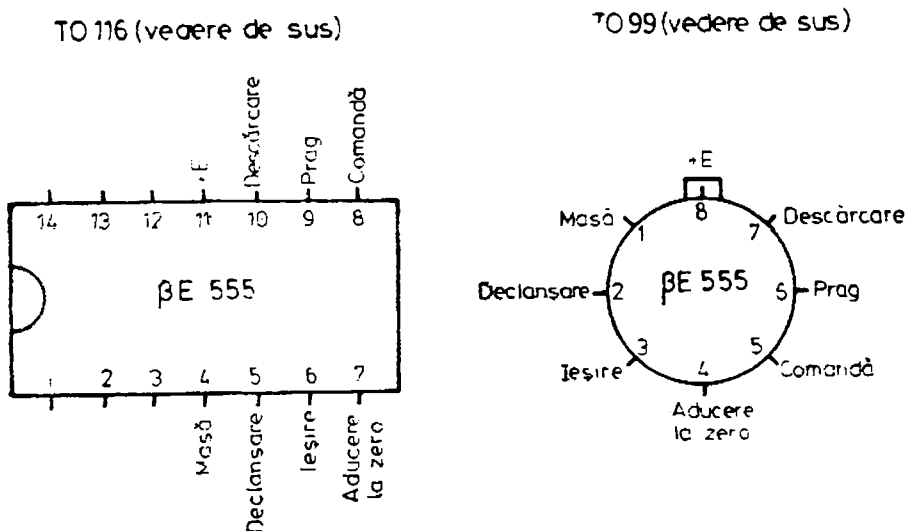


Fig. 6.2. Conexiunile la capsulele uzuale ale circuitului integrat BE555.

Principalele caracteristici ale circuitului integrat β E555 sunt [14]

- tensiunea de alimentare : $E=4,5 \dots 18$ V,
- curent maxim de ieșire absorbit sau debitat : 200 mA,
- putere disipată maximă : $P_{d\ MAX\ 25}=500$ mW pentru capsula TO116
- și 600 mW pentru capsula TO99 (la temperatura mediului 25 °C),
- curent de alimentare pentru $E=15$ V, $I_E=10 \dots 15$ mA,
- tensiunea de declanșare în lipsa tensiunii de comandă externe : $U_{\text{detec}}=E/3$,
- nivelul inferior al tensiunii de ieșire la curent absorbit de 10 mA
- și $E=15$ V ; $U_{i,\min}=0,1 \dots 0,25$ V,
- nivelul superior al tensiunii de ieșire la curent debitat de 100 mA
- și $E=15$ V ; $U_{i,\max}=12,5 \dots 13,5$ V,
- nivelele tensiunii de ieșire la alimentare cu $E=5$ V $U_{i,\text{com}}=0,25 \dots 0,35$ V și $U_{i,\text{com}}=2,5 \dots 3,3$ V (compatibile cu circuitele logice TTL),
- eroarea inițială de temporizare în regim monostabil pentru $E=15$ V ; $C=0,1 \mu\text{F}$: 1%,
- tensiunea de comandă minimă : $U_{\text{com},\min}=+1,6$ V,
- gama temperaturilor mediului 0 ... +70 °C.

6.1.1. CIRCUIT BASCULANT MONOSTABIL COMANDAT PRIN Tensiune

Structura unui circuit basculant monostabil realizat cu circuitul integrat β E555 este prezentată în fig. 6.3. Condensatorul C servește la reali-

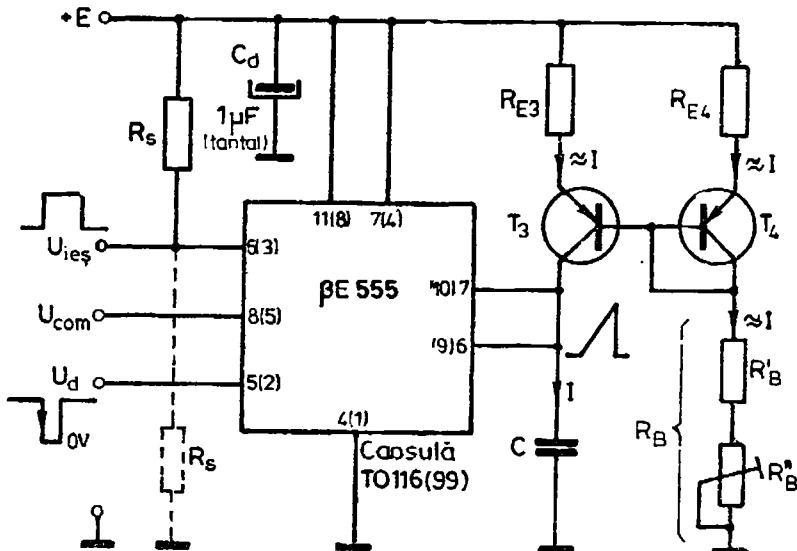


Fig. 6.3. Circuit basculant monostabil comandat prin tensiune cu circuit integrat β E555.

zarea tensiunii liniar crescătoare, ce se va compara la comparatorul C_2 cu tensiunea de comandă în vederea stabilirii momentului terminării impulsului de ieșire. Perechea de tranzistoare T_3 și T_4 realizează o sursă de curent constant ce încarcă liniar condensatorul C . Sursa de curent se poate realiza și cu amplificator operațional.

Diagramele de funcționare ale monostabilului cu circuit $\beta E555$ sunt prezentate în fig. 6.4. Declanșarea are loc pe frontul coborîtor al impulsu-

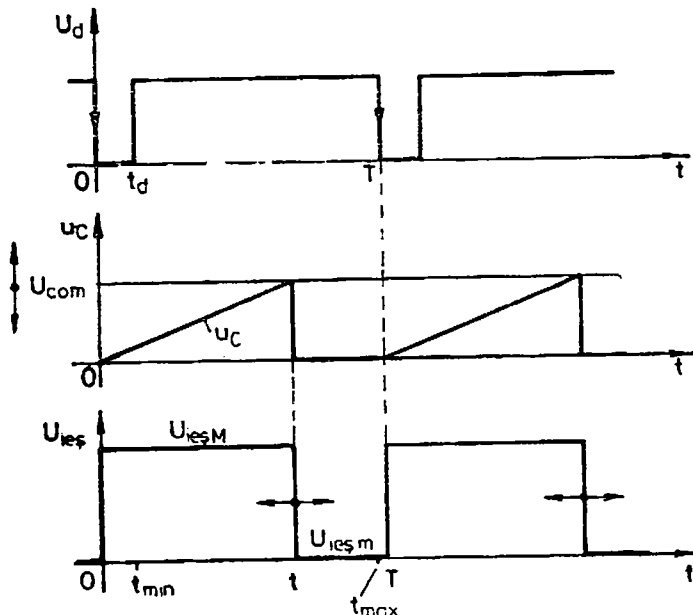


Fig. 6.4. Diagrama de funcționare ale circuitului basculant monostabil comandat prin tensiune.

rilor de declanșare, care au un factor de umplere mare (pauză t_1 — mică), deoarece durata t a impulsurilor de ieșire este limitată inferior de t_d . Durata minimă a pauzei t_d a impulsului de declanșare este de $2\mu s$. Cu toate acestea, atunci cînd impulsurile de declanșare sunt egale cu zero, din cauza unui timp de stocare la comparatorul C_1 , durata minimă a impulsurilor de ieșire se stabilește la $10\mu s$ [31] și limitează superior frecvența circuitului basculant monostabil la cca 50 kHz (pentru un factor de umplere minim 0,5). O a treia limitare inferioară a durei minime a impulsului de ieșire este cauzată de limitarea inferioară a tensiunii de comandă, prin relația [14]

$$t_{min} \leq t_{max} \frac{1,6}{U_{com_max}}, \quad (6.1)$$

unde : t_{max} este durata maximă a temporizării (a impulsului de ieșire), iar U_{com_max} — valoarea maximă a tensiunii de comandă a temporizării.

Durata maximă a impulsului de ieșire este apropiată de perioada T a impulsurilor de declanșare.

Frontul căzător al impulsului de declanșare trebuie să aibă durată mai mică de $0,2 \mu s$. Așa cum rezultă din fig. 6.1, pentru ca să poată fi basculat comparatorul 1 (care la intrarea neinversoare are nivelul $U_{com} / 2$ stabilit de rezistențele R_2 , R_3), impulsurile de declanșare trebuie să aibă amplitudinea mai mare decit jumătate din tensiunea de comandă maximă [14].

Pentru ca tensiunea de comandă să deschidă două jonctiuni de tranzistor inseriate la comparatorul C_2 , este necesar ca tensiunea de comandă minimă să depășească limita inferioară $U_{com-min} = 1,6$ V. În cazul contrar este necesară modificarea ei corespunzătoare printr-un amplificator operațional. De asemenea, tensiunea de comandă maximă nu poate depăși valoarea de 11,5 V pentru alimentarea cu tensiunea de +15 V.

O altă limitare evidentă este legată de amplitudinea impulsului de ieșire — $U_{te,M}$, care, pentru o sarcină ce consumă curent redus, nu poate depăși cca 14 V (pentru o alimentare cu +15 V).

Calculul unui circuit basculant monostabil comandat prin tensiune este prezentat în [14]. Tot aici este prezentată o aplicație a circuitului $\beta E555$ într-un circuit defazor ce produce impulsuri care urmează a se utilizeaza pentru comanda tiristoarelor (fig. 6.5).

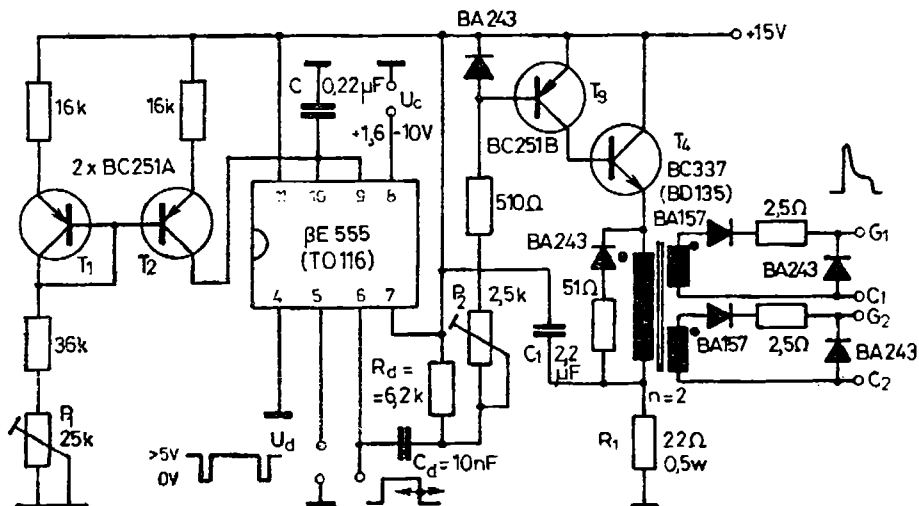


Fig. 6.5. Circuit basculant monostabil și formator de impulsuri cu virf pentru comanda tiristoarelor.

Adoptindu-se un curent I de valoare $0,1 \dots 1$ mA pentru sursa realizată cu tranzistoarele T_3 și T_4 , se poate determina valoarea condensatorului C necesară, cu relația

$$C = \frac{I t_{max}}{U_{com,max}}. \quad (6.2)$$

Circuitul din fig. 6.5 poate fi comandat cu o tensiune cuprinsă între 1,6 și 10 V. Frecvența impulsurilor de ieșire și de declanșare este de 50 Hz ; durata impulsurilor de ieșire este 1,6...9,8 ms, nivelul superior al tensiunii de la ieșirea 6 este $U_{t_6,M} = 13,5$ V. Durata pauzei impulsurilor de declanșare trebuie să fie cuprinsă între 2 μ s...1,5 ms, frontul căzător trebuie să aibă o durată mai mică de 0,2 μ s, iar amplitudinea acestora trebuie să depășească 5 V.

Pentru comanda unui tiristor alimentat de la rețea este necesar să se realizeze impulsuri de declanșare sincronizate cu rețeaua, având forma din fig. 6.4, unde frontul căzător ce asigură declanșarea circuitului integrat βE555 trebuie să apără la sfârșitul semiperioadei tensiunii rețelei. Comanda în fază a curentului redresat de tiristor se va face deci în semiperioada imediat următoare. La punerea în funcțiune este necesară ajustarea cu potențiometrul P_1 a duratei maxime a temporizării la o valoare de 9,8 ms pentru cazul cind tensiunea de comandă $U_{com} = 10$ V.

Pentru comanda unor tristoare de curenti mari (pînă la 700 A), la ieșirea circuitului integrat s-a atașat un formator de impulsuri cu vîrf [24]. Formatorul este actionat prin impulsul negativ scurt obținut după diferențierea impulsului lat de la ieșirea circuitului integrat, cu ajutorul condensatorului C_a și a rezistențelor următoare. Tranzistoarele formatorului de impuls sunt aduse în conducție pe un interval de 40 μ s...100 μ s pentru valorile componentelor din schemă. Acest timp se poate ajusta cu potențiometrul P_2 . Dacă sunt necesare impulsuri de durată mai mare, se poate crește aproximativ proporțional valoarea condensatorului C_a sau a rezistenței R_a și potențiometrului P_2 .

Peste impulsul aproximativ trapezoidal, realizat în mod obișnuit la ieșirile transformatorului de impulsuri, se va suprapune un vîrf de valoare importantă cu ajutorul condensatorului C_1 , care se descarcă brusc peste primarul transformatorului și prin tranzistorul T_4 adus în conducție. Pentru obținerea descărcării a fost necesară și introducerea rezistenței R_1 . Pentru protejarea tranzistoarelor T_3 și T_4 împotriva supratensiunii ce apare pe transformator la terminarea impulsului a fost prevăzut, în paralel pe primar, un circuit de descărcare a energiei electromagnetice cu diodă. În secundar s-au prevăzut diodele de tăiere a impulsului negativ ce apare la terminarea impulsului pozitiv și pe care dioda din primar nu-l suprimă complet. Tot aici s-au prevăzut rezistențe de valoare mică, ce au rolul de a elimina efectul dispersiei de fabricație a tristoarelor comandate, permitînd amorsarea sigură a tristoarelor cu cădere de tensiune diferită pe jonctiunea grilă-catod.

Transformatorul de impulsuri poate fi executat și pe miez din tole E6 [4], datorită faptului că pierderile în miez nu mai influențează frontul impulsurilor în cazul utilizării circuitului de formare a vîrfului. Execuția transformatorului de impulsuri este însă pretențioasă [16] pentru obținerea unei inductanțe de scăpare reduse și pentru asigurarea unei izolații la capete de strat și la capete de bobină, care să reziste la tensiune de test efectivă de 2 500 V, cum prevăd normele pentru aparatul electric de joasă tensiune. Pentru transformatorul din fig. 6.5 s-a adoptat un raport $n=2$ [24], iar primarul lui a fost realizat cu două secțiuni ce au fost apoi co-

nectate în serie. Înfășurările secundare sunt identice cu secțiunile primarului. Fiecare secțiune cuprinde un singur strat, iar secundarele sunt bobinate între cele două secțiuni ale primarului. În acest fel s-a redus la minim inductanța de scăpări a transformatorului. Tot pentru reducerea inductanțelor ce intervin în serie în circuitul echivalent al transformatorului este bine ca transformatorul de impulsuri, împreună cu circuitul de descărcare și circuitul din secundar, să se amplaseze în apropierea tiristoarelor dacă acestea se află la distanță mai mare de cca 1 m de montajul electronic, iar legătura să fie făcută prin conductoare torsadate. În acest fel inductanța conductoarelor este redusă (cca $0,7 \mu\text{H}/\text{m}$) și nu apare multiplicată cu n^2/m , cum s-ar întâmpla în cazul folosirii conductoarelor în secundar (aici m este numărul de înfășurări secundare). Din același motiv se utilizează în secundar rezistențe bobinate antiinductiv.

Transformatorul de impulsuri se realizează cu conductor de diametru $0,4 \dots 0,5 \text{ mm}$ (pentru rezistență redusă) și cu $20 \dots 30$ spire pe strat. Numărul mai mare de spire este necesar în cazul cînd durata impulsurilor este peste $100 \mu\text{s}$.

Cu ajutorul măsurilor amintite se obțin impulsuri de comandă pe grilă a tiristoarelor cu front de peste $1 \text{ A}/\mu\text{s}$ și virf de peste 1 A , cu durata virfului la mijlocul lui de peste $10 \mu\text{s}$ și cu un palier de peste $0,3 \text{ A}$. Frontul și virful impulsului asigură o comutare mai rapidă a tiristoarelor, micșorîndu-se astfel puterea disipată în comutație și deci, încălzirea lor. Formatorul de impulsuri a fost dimensionat conform [24] pentru comanda a două tiristoare de 700 A , la temperatură de pornire a acestora de 25°C . Pentru pornirea sigură a tiristoarelor, de la o temperatură de cca $+5^\circ\text{C}$ este necesară reducerea rezistențelor din secundar la $1,5 \Omega$ și a rezistenței R_1 la 15Ω .

În cazul necesității unui număr mai mare de ieșiri pentru comanda tiristoarelor (dar nu mai mare de 4), se vor recalcula rezistențele din secundar și rezistența R_1 conform [24], iar condensatorul C_1 se va mări la $3 \mu\text{F}$.

Întrucît prin rezistențele din primarul transformatorului trec impulsuri de curent mare, pentru evitarea intreruperii lor, este indicată folosirea unor rezistențe cu peliculă metalică.

6.1.2. GENERATOR DE TRENI DE IMPULSURI DEFAZABIL PENTRU COMANDA TIRISTOARELOR

Flexibilitatea deosebită a circuitului $\beta\text{E}555$ a permis realizarea unei aplicații interesante a acestuia ca circuit de comandă pe grilă pentru tiristoare. S-a realizat o schemă care generează cîte un tren de impulsuri de comandă defazabil și sincronizat cu tensiunea rețelei de alimentare. Astfel, se poate considera că și circuitul $\beta\text{E}555$ a intrat în familia circuitelor integrate specializate ca dispozitiv de comandă pe grilă, avînd însă și avantajul unui curent de ieșire mare (200 mA) [73].

Schema circuitului este dată în fig. 6.6.

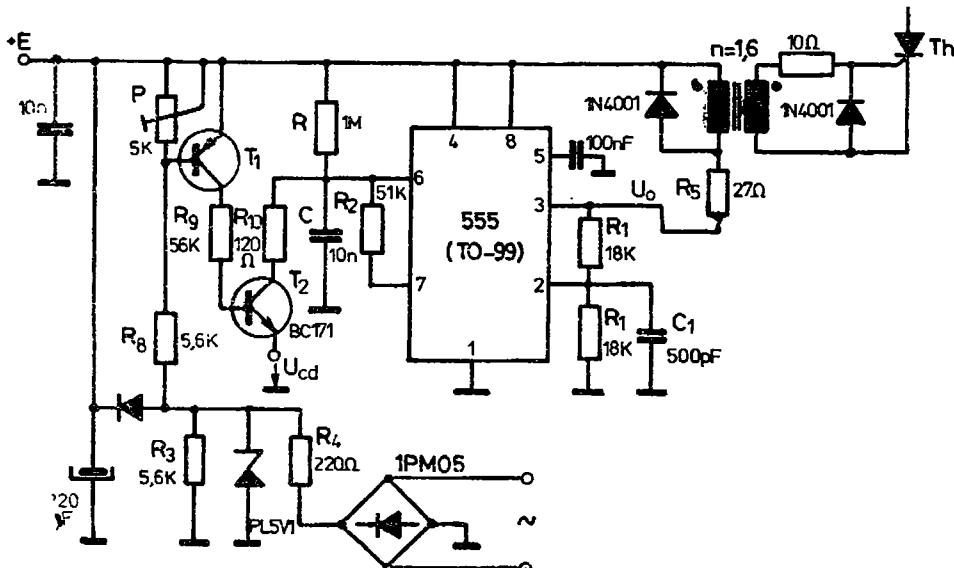


Fig. 6.6. Circuit generator de tren de impulsuri defazabil pentru comanda tiristoarelor cu circuit integrat β E555.

Elementul interesant în schemă este faptul că se utilizează două condensatoare de temporizare : unul, notat cu C , utilizat conform aplicațiilor clasice de monostabil și astabil cu β E555 și altul, notat C_1 , care, împreună cu R_1 , realizează o reacție între pinii „Ieșire“ (3) și „Declanșare“ (2) ai circuitului integrat.

Tensiunea alternativă, de cca 10 V_{ef}, obținută cu un transformator coborîtor de la rețea este redresată și limitată cu o diodă Zener. Cît timp tensiunea trapezoidală, astfel obținută, are, pe frontul său crescător, o valoare redusă, tranzistorul T_1 este în conducție. Tranzistorul T_2 este și el saturat, iar condensatorul C rămîne încărcat la tensiunea U_{cd} . Prin potențiometrul P se reglează durata de conducție pentru T_1 în limite restrînse și se asigură precizia de determinare a trecerilor prin zero ale tensiunii rețelei.

Tensiunea continuă de comandă U_{cd} , reglabilă între 0 și +E (care reprezintă și tensiunea de alimentare a schemei), determină momentul în care este furnizat la ieșire primul impuls de comandă. Unghiul dintre trecerea prin zero a tensiunii rețelei și acest moment reprezintă unghiul de comandă α (măsurat în radiani).

Din clipa în care tensiunea trapezoidală depășește pragul determinat de potențiometrul P , T_1 și T_2 se blochează. Condensatorul C se încarcă de la nivelul U_{cd} spre +E cu constanta de timp $R-C$. Tensiunea +E se obține, prin redresare și filtrare, tot din tensiunea alternativă utilizată pentru sincronizare.

Cînd timp condensatorul C se încarcă, ieşirea circuitului integrat (pinul 3) este la nivelul $+E$. Bascularea ieşirii lui $\beta E555$ de la $+E$ la 0 V are loc cînd tensiunea pe condensatorul C devine egală cu $\frac{2}{3}E$. În acest moment condensatorul C_1 , încărcat la $+E$, începe o descărcare cu constanta de timp $\frac{R_1}{2}C_1$ către 0 V . Totodată, tranzistorul de descărcare al circuitului $\beta E555$ (pinul 7 — „Descărcare“) se saturează și C se descarcă prin R_2 . Tensiunea pe C scade sub valoarea $\frac{2}{3}E$. Constanta de timp R_2C se alege suficient de mare (cca $100 \frac{R_1}{2}C$) pentru ca C să nu se descarce prea mult.

Cînd tensiunea de pe condensatorul C_1 coboară sub nivelul $\frac{1}{3}E$, circuitul $\beta E555$ sesizează acest lucru pe pinul 2 („Declansare“) și ieşirea lui basculează din nou la nivelul $+E$. Cele două condensatoare de temporizare C_1 și C încep să se reîncarce. Cînd tensiunea de pe C redovine $\frac{2}{3}E$ ieşirea circuitului integrat basculează din nou pe 0 V și fenomenele descrise anterior se repetă.

Astfel, începînd de la un moment bine determinat (prin nivelul lui U_{cd}) în raport cu trecerile prin zero ale tensiunii rețelei, se generează un tren de impulsuri la ieşirea circuitului $\beta E555$. Frecvența de repetiție a impulsurilor este determinată de constanta de timp $\frac{R_1}{2} \cdot C_1$, iar durata lor de constantele R_2C și RC .

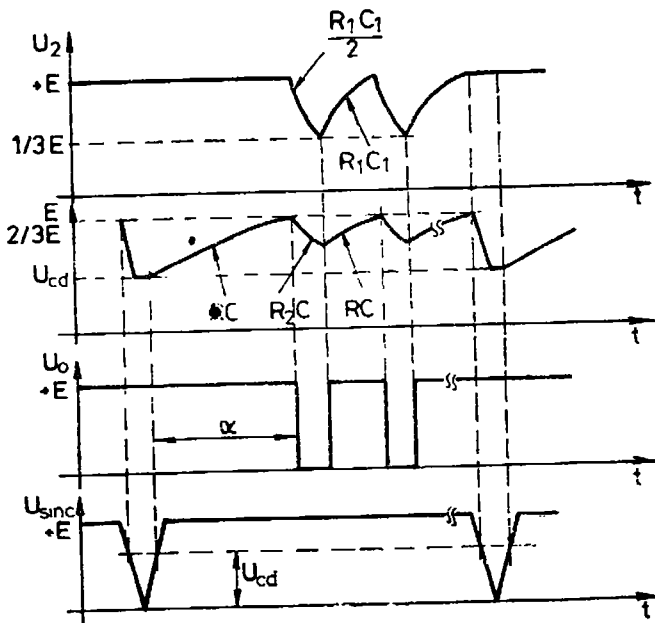


Fig. 6.7. Diagramme de funcționare ale circuitului generator de tren de impulsuri cu circuit integrat $\beta E555$.

La ieșirea circuitului integrat se conectează un transformator de impulsuri prin care se comandă în grilă tiristorul. Acest lucru este posibil datorită faptului că circuitul β E555 asigură la ieșire un curent de valoare mare, (tipic 200 mA) și deci nu este întotdeauna necesar un tranzistor exterior suplimentar.

Diagramele de timp pentru cele mai importante tensiuni ce explică funcționarea circuitului sunt date în fig. 6.7.

În primarul și secundarul transformatorului de impulsuri au fost prevăzute diode pentru descărcarea energiei electromagnetice acumulate în transformator pe durata impulsului și pentru tăierea impulsului negativ ce apare la întreruperea curentului din primar.

6.1.3. GENERATOR DE SEMNAL TRIUNGHIAL SINGULAR

Cu ajutorul circuitului integrat β E555 se poate realiza o schemă care generează o tensiune triunghiulară „la comandă“ sau singulară (fig. 6.8).

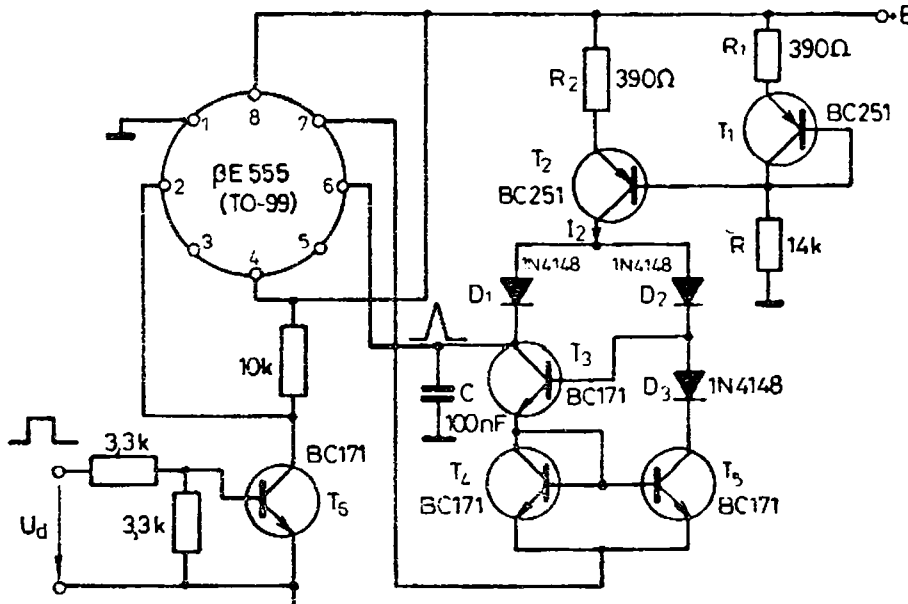


Fig. 6.8. Circuit generator de semnal triunghiular singular cu circuit integrat β E555.

Tranzistoarele T_1 și T_2 formează o sursă de curent constant (I_2). Valoarea curentului generat de T_2 este cea care interesează și poate fi reglată prin schimbarea rezistenței R_1 . De exemplu, pentru R_1 cuprins între 39Ω și 390Ω , I_2 va fi cuprins între $0,1$ și 1 mA ($\frac{I_2}{I_1} \approx \frac{R_1}{R_2}$ pentru $I_1 \gg 1\text{ mA}$).

În absența impulsului de comandă, provenind de la un circuit TTL, în baza tranzistorului T_6 , acesta este blocat și circuitul β E555 se află în

starea stabilă. Prin urmare, tranzistorul său de descărcare (de la pinul 7 — „Descărcare“ pentru capsula TO99) este saturat. Prin acesta tranzistoarele T_4 și T_5 sunt conectate cu emitoarele la masă și D_1 , D_2 , D_3 , T_4 și T_5 sunt în conduction.

Tranzistorul T_3 formează o altă sursă de curent în care T_4 și T_5 constituie o oglindă de curent și fiecare din ele conduce un curent $I_2/2$. Pentru ca egalitatea celor doi curenți de colector să fie cît mai riguroasă, tranzistoarele T_4 și T_5 trebuie selectate și împerecheate atât după factorul de amplificare, cît și după tensiunea bază-emitor. În aplicații de precizie deosebită pentru T_4 și T_5 se poate folosi circuitul integrat βA726 (arie de tranzistoare termostatate). Dioda D_3 este necesară pentru a asigura tensiunea colector bază nulă și pentru tranzistorul T_5 . Căderea de tensiune, în conduction, pe D_3 trebuie să fie egală cu tensiunea bază-emitor a lui T_3 și deci, și aici, se impune selectarea corespunzătoare. Tensiunea colector-bază a lui T_3 este, de asemenea, nulă.

Prin aplicarea unui impuls de comandă în baza lui, T_6 se saturează, tensiunea din colectorul său coboară sub $1/3 E$ și comandă pe pinul 2 („Declanșare“) trecerea circuitului integrat βE555 în stare instabilă. Tranzistorul de descărcare se blochează și întrerupe alimentarea oglindă de curent. T_3 , T_4 , T_5 , D_1 și D_3 se blochează, iar D_2 rămîne în conduction și conduce curentul I_2 de încărcare a condensatorului C (curentul preluat de circuitul βE555 pe pinul 6 — „Prag“, este neglijabil). Astfel condensatorul se încarcă liniar. Cînd tensiunea pe condensatorul C ajunge la $\frac{2}{3} E$, tranzistorul de descărcare se deschide din nou, conectînd la masă oglinda de curent. Dioda D_2 se blochează, iar D_1 conduce întregul curent I_2 . D_3 , T_3 , T_4 și T_5 sunt în conduction și, prin efectul oglindă de curent, curentul prin T_3 este practic, tot I_2 . În acest fel, condensatorul C începe să se descarce prin T_3 , iar curentul său de descărcare este egal cu cel de încărcare. Descărcarea are loc pînă cînd tensiunea de pe condensator devine suficient de mică pentru ca D_2 să se deschidă (circa 1,2 V). În acest moment un ciclu de funcționare este complet.

Pe pinul 6 („Prag“) al circuitului integrat βE555 se obține o tensiune triunghiulară pentru fiecare impuls de comandă (fig. 6.9). Dacă în baza lui T_6 se aplică un tren de impulsuri, pe pinul 6 se va obține un „tren de triunghiuri“. Frecvența de repetiție maximă a impulsurilor de comandă pentru care se obține cîte un „triunghi“ pentru fiecare impuls este dată de relația

$$f = \frac{3 I_2}{4 C E}. \quad (6.3)$$

Tensiunea triunghiulară obținută pe condensator poate fi utilizată, dacă este necesar, ca tensiune de comandă pentru un alt circuit, care trebuie să fie cu impedanță de intrare ridicată (de exemplu, un amplificator neinversor cu amplificator integrat βA741).

Diagramele tensiunilor din fig. 6.9 au fost obținute la experimentarea montajului pentru $R_1 = 390 \Omega$, $C = 100 \text{ nF}$.

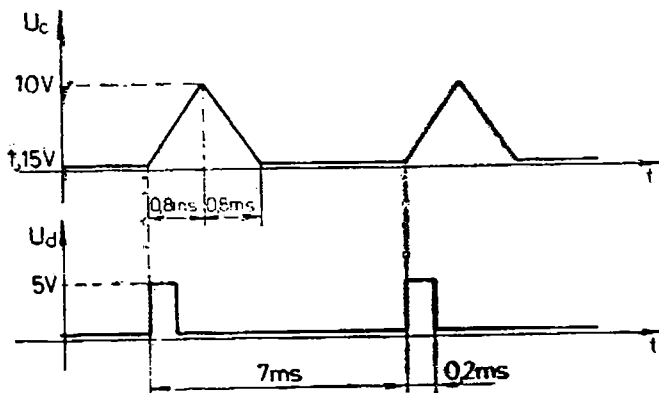


Fig. 6.9. Diagramme de tension et de commande pour le générateur de signal triangulaire.

Curentul I_2 poate fi comandat cu o tensiune exterioară. Dacă în locul rezistenței R din colectorul lui T_1 se conectează o sursă de tensiune reglabilă U_{ca} (între 0 și 15 V), I_2 se determină cu relația

$$I_2 = \frac{R_1}{R_2} (E - U_{ca} - 0,6). \quad (6.4)$$

Pentru $R_1 = R_2 = 390 \Omega$ și $U_{ca} = 14 \text{ V}$ se obține $I_2 = 1 \text{ mA}$. De asemenea, în locul rezistenței R se poate conecta ieșirea 4 sau 2 (I_{out} sau I_{ctrl}) a unui convertor numeric analogic DAC08 și se poate astfel realiza comanda numerică a valorii lui I_2 .

6.2. APLICAȚII ALE CIRCUITULUI INTEGRAT TBA315E/315N

Circuitul TBA315 este un generator de impulsuri dreptunghiulare, cunoscut mai ales prin utilizarea sa ca temporizator pentru ștergătoarele de parbriz la autoturisme. Construcția circuitului permite utilizarea lui în multe aplicații în care este necesară obținerea de impulsuri dreptunghiulare cu factor de umplere ajustabil.

Schema bloc și conexiunile la capsule ale circuitului sunt date în fig. 6.10. Numerotarea tranzistoarelor și diodelor, realizate cu tranzistoare, corespunde cu cea de pe schema de detaliu din catalog [11].

Principiul de funcționare al circuitului TBA315 se bazează pe încărcarea și descărcarea condensatorului C_1 prin R_1 — elemente ce se conectează din exterior și cu ajutorul cărora se poate obține constante de timp de diferite valori.

Circuitul este comandat prin intrarea „Control“ (terminalul 4 pentru TBA315E). Dacă această intrare este legată la o tensiune ridicată ($\rightarrow E$),

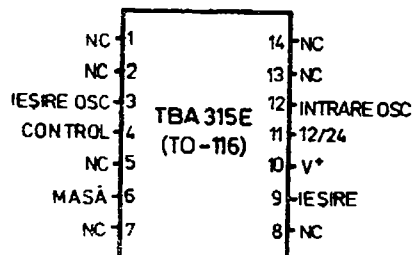
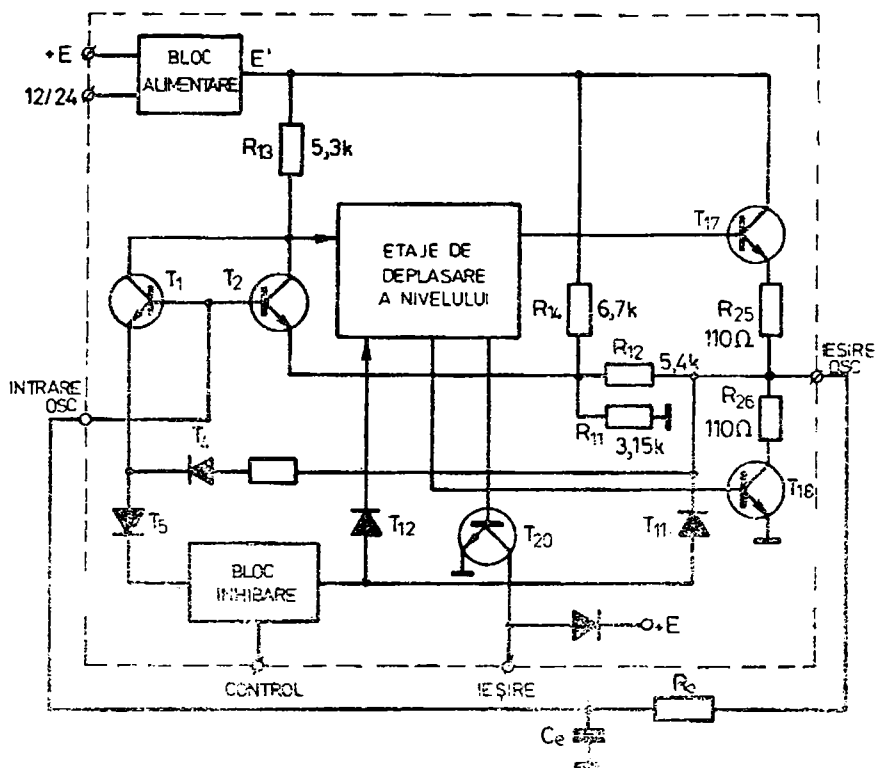
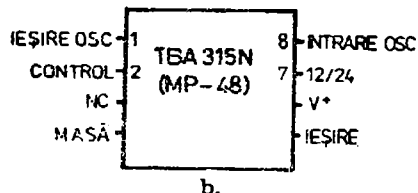


Fig. 6.10. Structura cu blocurile interne și conexiunile la capsulele uzuale ale circuitului integrat TBA 315.



b.

blocul de inhibare asigură blocarea tranzistoarelor T_{17} , T_{18} . Tranzistorul T_{20} , cu colectorul în gol, este de asemenea blocat și dacă în colectorul său se conectează sarcina, spre $+E$, ieșirea va fi la nivel ridicat de tensiune.

Tranzistoarele T_1 și T_2 , în baza cărora se conectează C_e , au rolul de comparatoare la nivelul tensiunii joncțiunilor lor bază-emitor. Cît timp pe terminalul „Control“ avem nivelul $+E$, emitorul lui T_1 este conectat la un potențial de cca E' (scăzut). În această stare blocul de inhibare blochează ambele tranzistoare de la ieșirea oscilatorului, T_{17} și T_{18} ; C_e nu se poate încărca sau descărca și este menținut încărcat la o tensiune de cca $\frac{E'}{5}$. E' reprezintă tensiunea de alimentare realizată de stabilizatorul intern.

Atunci cînd pinul „control“ se leagă la masă, circuitul poate oscila. Dacă C_e este încărcat la o tensiune mică (sau este complet descărcat), tranzistorul T_{17} intră în conducție, iar T_{18} este blocat. T_{20} rămîne de asemenea blocat. În această stare, emitorul lui T_1 este conectat, de circuitul bloc de inhibare, prin rezistența R_1 , la E' și practic T_1 rămîne tot timpul blocat cît circuitul oscilează.

Emitorul lui T_2 este la un potențial de aproximativ $\frac{E'}{2}$, pentru că R_{12} apare practic în paralel cu R_{14} (T_{17} în conducție). Astfel, T_2 este blocat cît timp tensiunea pe condensator este mai mică decît $\frac{E'}{2}$.

Consecința acestor stări ale tranzistoarelor este aceea că C_e se încarcă spre E' prin T_{17} , R_{25} și R_e . Cînd tensiunea pe C_e atinge valoarea $U_e \approx \frac{E'}{2} + U_{BE2}$, T_2 se deschide și comandă prin etajele de deplasare a nivelului blocarea lui T_{17} și saturarea lui T_{18} și T_{20} . Ieșirea coboară la nivelul 0 V, iar C_e începe să se descarce prin R_e , R_{26} și T_{18} . Emitorul lui T_2 este adus la un potențial de aproximativ $\frac{E'}{4,5}$, întrucît, prin comutarea ieșirii oscilatorului, este comutată și R_{12} , care este acum practic în paralel cu R_{11} (prin T_{18} este legată la masă). Descărcarea lui C_e are loc pînă cînd tensiunea pe aceasta ajunge mai mică decît $\frac{E'}{4,5}$, cînd T_2 se blochează și ca urmare se blochează și T_{18} și T_{20} , iar T_{17} se deschide din nou și începe un nou proces de încărcare a lui C_e .

Blocul de alimentare asigură stabilizarea tensiunii E la o valoare E' necesară circuitelor interne și are prevăzută posibilitatea de a asigura alimentarea circuitelor din integrat pentru două tensiuni de alimentare externe. Pentru $E=12$ V, terminalul 12/24 se leagă la $+E$, iar pentru $E=24$ V terminalul respectiv se lasă neconectat.

Principalele mărimi limită și caracteristici ale circuitului integrat TBA315E(N) sunt [11] :

- tensiunea de alimentare : 10 V ÷ 32 V,
- curentul maxim de ieșire : 200 mA,
- rezistența externă R_e : 1 k Ω ... 120 k Ω ,
- puterea disipată 500 mW (TBA315E), 300 mW (TBA315N),

- circuitul nu este protejat la inversarea polarității sursei de alimentare,
- un scurteircuit între terminalul de ieșire și $+E$ distrugе circuitul integrat.

6.2.1. GENERATOR DE TREN DE IMPULSURI DEFАЗАБИЛ ПЕТРУ COMANDA TIRISTOARELOR SAU TRIACELOR CU UN CIRCUIT INTEGRAT TBA315

Dorințа de a aplica circuitul TBA315 în domeniul electronicii industriale a condus la obținerea unui circuit de comandă prin tren de impulsuri pentru tiristoare. Trenul de impulsuri se utilizează în locul impulsului de comandă cu durată lungă, în cazul unei sarcini cu caracter inductiv. Schema de comandă a unui tiristor este dată în fig. 6.11.

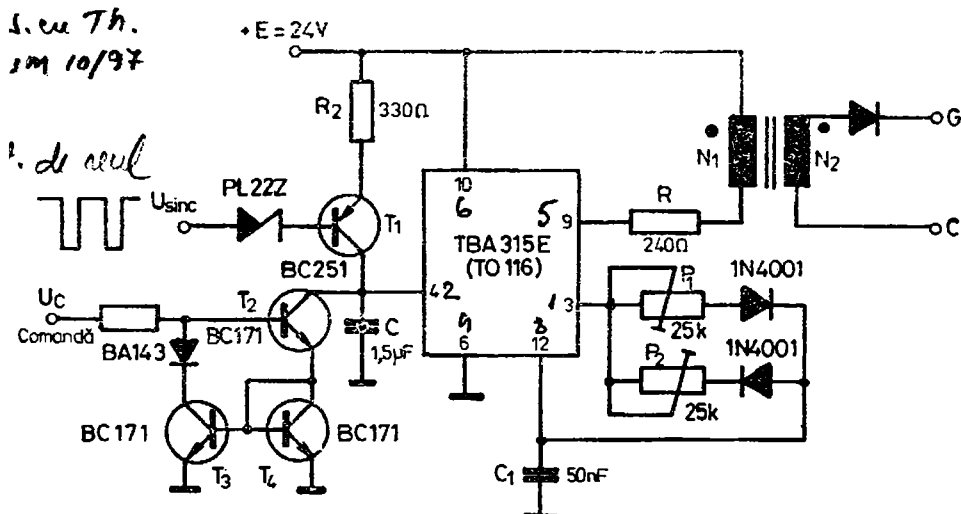


Fig. 6.11. Circuit generator de tren de impulsuri defazabil pentru comanda tiristoarelor cu circuit integrat TBA 315.

Dacă terminalul „Control“ (4 pentru circuitul TBA315E) este la masă, circuitul generează un tren de impulsuri cu frecvență de repetiție și durată ajustabile (în jurul a $100 \dots 200 \mu s$), conform aplicației standard de catalog a circuitului [11]. Dacă terminalul 4 este la tensiunea $+E$ (în acest caz 24 V), oscilațiile sunt inhibate.

Principiul de funcționare a schemei este următorul. În baza lui T_1 sunt aduse impulsurile de sincronizare formate la trecerea prin zero a tensiunii rețelei. Cât timp tensiunea rețelei este diferită de zero, nivelul tensiune din anodul diodei Zener (DZ) este ridicat (5 V de exemplu). În jurul trecerilor prin zero ale rețelei, tensiunea din anodul diodei DZ co-

boară la 0 V pentru un interval scurt de timp și T_1 se deschide. Ca urmare, condensatorul C se încarcă suficient de rapid spre $+E$ și oscilațiile de la ieșire nu se pot declanșa. După dispariția impulsului de 0 V, T_1 se blochează și condensatorul C se descarcă prin generatorul de curent constant realizat în interiorul integratorului cu T_2 , T_3 , T_4 și D . Funcționarea acestui tip de generator de curent a fost descrisă deja în paragraful 6.1.3. Valoarea curentului de descărcare este stabilită prin nivelul tensiunii de comandă U_c . Cu cît U_c este de valoare mai mare, cu atât curentul prin sursa de curent este mai mare și C se descarcă mai rapid.

Cînd condensatorul C s-a descărcat, terminalul 4 al circuitului integrat ajunge, practic, la potențialul masei și la ieșire se obține un tren de impulsuri. Trenul de impulsuri este generat pînă la o nouă trecere prin zero a tensiunii rețelei cînd T_1 se deschide și C se încarcă spre $+E$. Apoi un nou ciclu se repetă (fig. 6.12).

Astfel, circuitul generează cîte un tren de impulsuri începînd de la momente variabile în raport cu trecerea prin zero a tensiunii rețelei. Tensiunea de comandă U_c determină momentul în care este furnizat la ieșire primul impuls de comandă, pentru că acest moment depinde de intervalul de timp în care se descarcă C , adică de valoarea curentului, prin sursa de curent, stabilită de U_c .

La ieșirea circuitului integrat (terminalul 9 la TBA315E) se poate conecta un transformator de impulsuri. Tranzistorul de ieșire T_{20} este protejat cu o diodă integrată împotriva supratensiunii produsă de transformatorul de impuls la întreruperea curentului din primar (dioda realizează, cu alte cuvinte, descărcarea energiei electromagnetice înmagazinată în inducțanța transformatorului). În serie cu înfășurarea primară se conectează o rezistență serie de limitare a curentului ($R=240 \Omega$). Pentru tiristoare de puteri mari este posibilă atașarea unui formator de impulsuri de putere, ținîndu-se cont de faptul că impulsul de curent este realizat cînd ieșirea 9 are tensiunea apropiată de 0 V.

Pentru montajul din figura 6.11 s-a folosit o tensiune de alimentare de $+24$ V și o tensiune de comandă U_c cuprinsă între $9,75$ V și 14 V. S-a obținut următorul tabel de dependență a unghilului de comandă α de U_c :

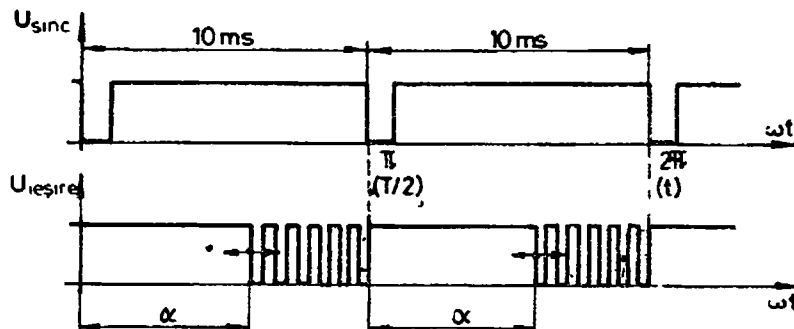


Fig. 6.12. Diagramale tensiunii de comandă și impulsurilor de ieșire pentru generatorul de tren de impulsuri cu TBA315.

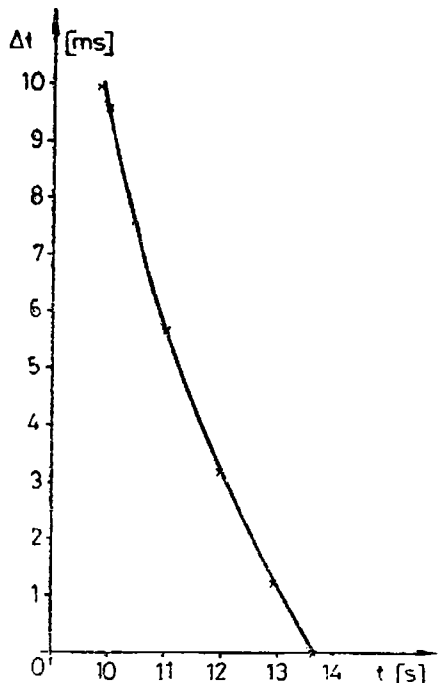


Fig. 6.13. Diagrama de dependență a unghiului de defazaj și tensiunea de comandă.

Prin schimbarea rezistențelor R_1 și R_2 se poate modifica domeniul de valori de reglare pentru U_c .

În figura 6.13 se reprezintă dependența între U_c și α obținută. Linieritatea curbei obținute este influențată de rezistență care există între terminalul „Control“ și $+E$ în interiorul circuitului integrat (circa $9\text{ k}\Omega$ [11]).

Cu ajutorul rezistențelor semivariabile P_1 și P_2 se ajustează durata și frecvența de repetiție a impulsurilor de ieșire.

În cazul comandării monoalternanță a unui tiristor este posibilă folosirea impulsurilor de sincronizare cu perioada de 20 ms.

Dacă tensiunea de comandă disponibilă într-o aplicație concretă nu poate fi folosită direct la comanda circuitului din fig. 6.11, este posibilă conversia domeniului de tensiune cu ajutorul unui amplificator operational, aşa cum se va vedea un exemplu în paragraful 6.3.1.

6.2.2. GENERATOR DE TRENI DE IMPULSURI DEFAZABILE CU DOUĂ CIRCUITE INTEGRATE TBA315

Utilizând două circuite integrate TBA315 se poate realiza o altă variantă de circuit de comandă pe grilă cu tren de impulsuri pentru tiristoare sau triace (fig. 6.14).

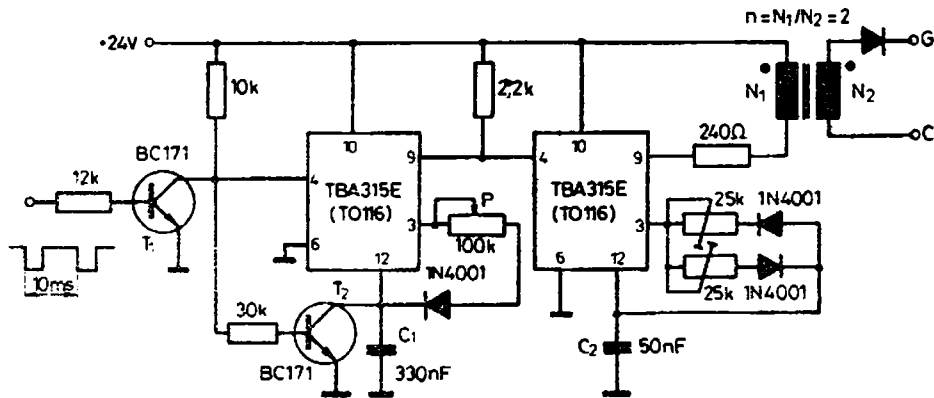


Fig. 6.14. Circuit de comandă pe grilă cu tren de impulsuri realizat cu două circuite integrate TBA315.

Primul circuit integrat (CI_1) realizează temporizarea necesară pentru obținerea unghiului de comandă α , sincronizat cu trecerile prin zero ale tensiunii rețelei.

Impulsurile de sincronizare înguste cu perioada de repetiție 10 ms comandă în bază tranzistorul T_1 . La trecerile prin zero ale tensiunii rețelei, T_1 se blochează un timp scurt. Terminalul 4 („Control“) al primului circuit integrat este adus la $+E$ (24 V) și CI_1 este inhibat. Tranzistorul T_2 se satură și descarcă practic instantaneu condensatorul de temporizare C_1 . Ieșirea circuitului CI_1 (pinul 9 pentru TBA315E) este, prin urmare, la nivelul $+E$.

După trecerea prin zero a tensiunii rețelei, T_1 se satură și T_2 se blochează. Condensatorul C_1 de temporizare al primului circuit integrat se încarcă prin rezistența stabilită cu potențiometrul P . În timp ce condensatorul C_1 se încarcă, ieșirea circuitului CI_1 este la nivelul $+E$. Terminalul de ieșire al CI_1 este conectat la intrarea „Control“ a celui de al doilea circuit integrat. Pe timpul trecerii prin zero a tensiunii rețelei și pe timpul încărcării lui C_1 , CI_2 este inhibat (are ieșirea la nivelul $+E$), pentru că pe intrarea sa „Control“ nivelul de tensiune este ridicat.

Cind condensatorul C_1 s-a încărcat pînă la o tensiune de prag (analogă la începutul paragrafului 6.2), ieșirea lui CI_1 basculează la nivelul 0 V. Condensatorul C_1 rămîne încărcat pînă la o nouă trecere prin zero a tensiunii rețelei (cind se descarcă prin T_2), pentru că față de aplicația clasică a circuitului TBA315 [11], în aplicația de față, la CI_1 s-a renunțat la calea rezistivă de descărcare a condensatorului, înlocuindu-se cu o cale de descărcare prin tranzistorul T_2 .

Astfel, începînd cu trecerea prin zero a tensiunii rețelei, ieșirea circuitului CI_1 se menține la un nivel ridicat de tensiune un interval reglabil practic între 0 și 10 ms, cu ajutorul potențiometrului P .

Din momentul trecerii la 0 V a ieșirii circuitului CI_1 , inhibarea circuitului CI_2 este anulată și acesta începe să oscileze, generînd un tren de

impulsuri cu durată și frecvență ajustabile (durata și pauza de ordinul 100...200 μ s), prin cele două rezistențe semivariabile conectate pe căile de încărcare și descărcare ale condensatorului C_2 .

Se obține astfel un tren de impulsuri începând de la un moment (unghiul de comandă α) reglabil în raport cu trecerile prin zero ale tensiunii rețelei.

Și în acest caz la ieșirea circuitului C_{I2} se poate conecta transformatorul de impulsuri necesar sau etajul formator de impulsuri de comandă pentru tiristoare sau triace.

6.3. APlicații ale circuitului integrat BAA145

Circuitul integrat BAA145 este destinat special comandării în fază a tiristoarelor și triacelor [6]. Schema bloc a circuitului integrat este prezentată în fig. 6.15, iar conexiunile la capsulă în fig. 6.16.

Pentru înțelegerea rolului blocurilor și al terminalelor capsulei se vor face unele referiri și la componentele externe atașate în aplicațiile tipice la circuitul integrat BAA145 (fig. 6.17).

Detectorul de nul are rolul de a sesiza trecerile prin zero ale tensiunii de sincronizare externe pentru a se putea realiza impulsuri de comandă pe grila tiristoarelor sau pe poarta triacelor sincronizate cu semi-perioadele tensiunii de alimentare a acestora. Datorită prezenței a două funcțiuni emitoare de tranzistoare complementare între pinul 9 și masa, tensiunea de sincronizare (de obicei tensiunea rețelei, 220 V/50 Hz) este limitată bilateral, la pinul 9 avind forma trapezoidală (u_9 în fig. 6.18) și amplitudinea de 0,7 V. Pe durata frontului tensiunii u_9 (cîteva zeci de μ s), detectorul de nul produce impulsuri pozitive scurte și ascuțite cu ampli-

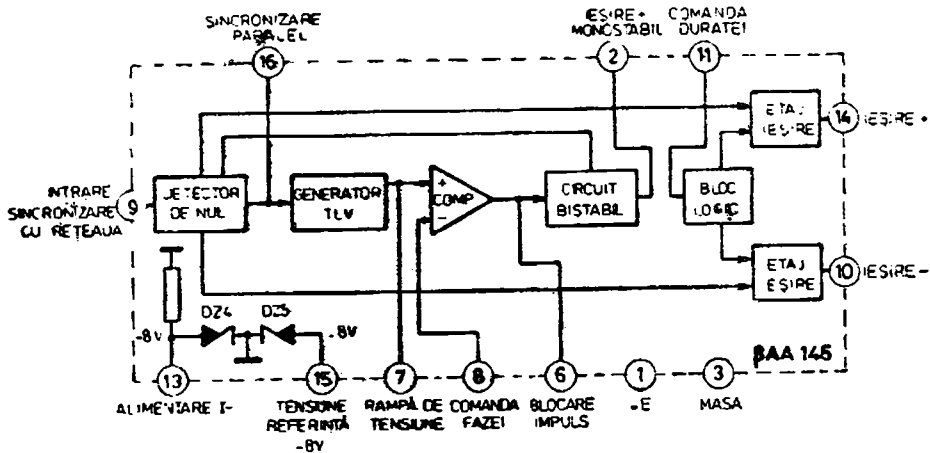


Fig. 6.15. Structura cu blocuri a circuitului integrat BAA145.

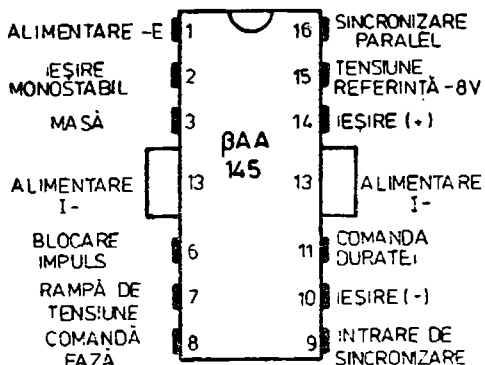


Fig. 6.16. Conexiunile la capsula circuitului integrat BAA145.

IESIRE (+) = IMPULS COMANDA SINCRONIZAT ALTERNANTA POZITIVĂ

IESIRE (-) = IMPULS COMANDA SINCRONIZAT ALTERNANTA NEGATIVĂ

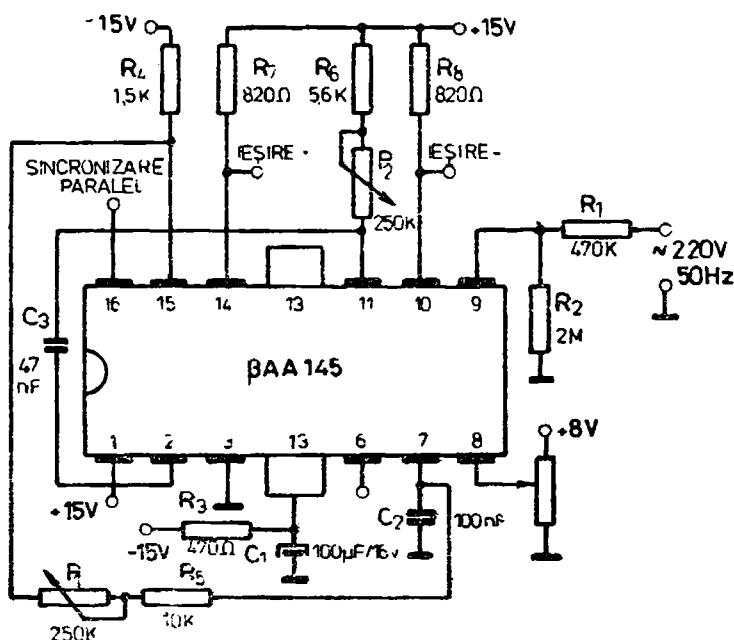


Fig. 6.17. Circuit tipic de utilizare al integratului BAA145.

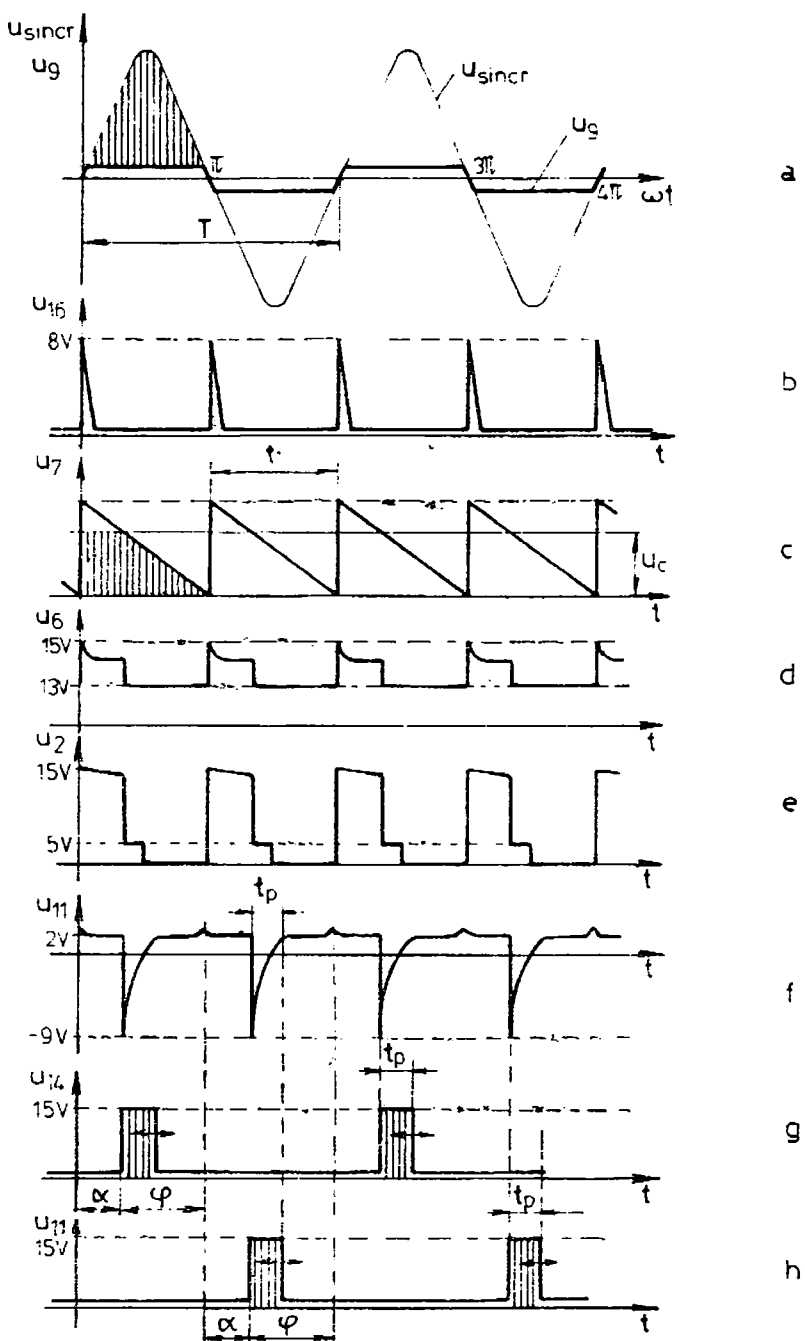


Fig. 6.18. Diagrama tensiunilor in principalele puncte ale circuitului integrat βAA145 .

tudinea de 8 V (în mod normal). Aceste impulsuri, numite „impulsuri de sincronizare“, pot fi folosite și în exterior pentru sincronizări între mai multe circuite βAA145 în cazul utilizării în aplicații în rețele de alimentare bifazate și trifazate.

Pentru obținerea unor impulsuri de sincronizare corespunzătoare, rezistențele din divizor trebuie adoptate într-un anumit raport. În caz contrar este posibil să rezulte impulsuri cu amplitudine prea mică sau de durată prea mare, în ultima situație reducindu-se gama în care se poate modifica unghiul de conducție al tiristoarelor sau triacelor comandate. În [6] se recomandă utilizarea, în cazul sincronizării de la rețea (220 V), a unor rezistențe $R_1 = 470 \text{ k}\Omega$, $R_2 = 2 \text{ M}\Omega$ (deci un raport $R_1/R_2 = 0,24$). În cazul sincronizării cu o tensiune mai mică decât 220 V, se vor reduce rezistențele R_1 , R_2 proporțional cu tensiunea, dar vor rămâne în același raport. Rezistența R_1 trebuie să aibă puterea nominală

$$P_{R1} > \frac{U_{sincr}^2}{4R_1}. \quad (6.5)$$

Generatorul de tensiune liniar variabilă („TLV“) permite încărcarea rapidă a condensatorului C_2 pînă la +8 V pe durata impulsului de sincronizare (datorită duratei reduse, încărcarea condensatorului C_2 apare în fig. 6.18, c ca o verticală). La terminarea impulsului scurt de sincronizare începe descărcarea aproximativ liniară a condensatorului C_2 peste R_5 și P_1 spre tensiunea $U_{15} = -8 \text{ V}$ (stabilizată cu DZ5 și R_4) pe care însă nu o atinge, deoarece apare o limitare la -0,7 V prin generatorul TLV. La pinul 7 se obține astfel o tensiune triunghiulară de forma dată în fig. 6.18, c. Pentru ca această tensiune, aproximativ liniar căzătoare, să atingă nivelul -0,7 V în momentul apariției următorului impuls de sincronizare, este necesar ca circuitul de descărcare să prezinte o constantă de timp [6]

$$\tau = C_2 (R_5 + pP_1) = 0,64 \text{ T}, \quad (6.6)$$

care, pentru $T = 20 \text{ ms}$ ($f = 50 \text{ Hz}$) poate fi realizată, de exemplu, cu $C_2 = 100 \text{ nF}$, $R_5 = 10 \text{ k}\Omega$ și $P_1 = 250 \text{ k}\Omega$ (liniar). Aici pP_1 reprezintă fracțione din rezistența P_1 introdusă în circuitul de descărcare. Ajustarea constantei de timp este necesară pentru obținerea formei corecte a tensiunii triunghiulare pe condensatorul C_2 , ținînd cont de dispersia valorilor componentelor externe și a tensiunii diodelor Zener integrate. La concepția generatorului TLV s-au luat măsuri pentru asigurarea unei bune stabilități termice a tensiunii liniar variabile.

Comparitorul circuitului integrat βAA145 permite comandarea printr-un nivel de tensiune aplicat din exterior la pinul 8 (tensiunea U_c) a fazei impulsurilor de la ieșiri în raport cu momentele treccrilor prin zero ale tensiunii de sincronizare. Comparitorul are aplicată la intrarea neinvosoare tensiunea triunghiulară de pe condensatorul C_2 , iar la intrarea inversoare, tensiunea de comandă U_c . Tensiunea de la ieșirea comparotorului (fig. 6.18, d) are suprapus un impuls pozitiv dreptunghiular cu fronturi în dreptul intersecțiilor dintre tensiunea triunghiulară și linia tensiunii de comandă. Tensiunea de la ieșirea comparotorului rămîne la ni-

velul superior atât timp cît tensiunea triunghiulară este mai mare decit tensiunea de comandă. Prin modificarea tensiunii de comandă se deplasează în timp frontul căzător al acestui impuls, modificindu-se astfel temporizarea introdusă de generatorul TLV și comparator.

Prin variația tensiunii de comandă între 0 și 8 V (valoarea din urmă este de săpt cuprinsă între 7 și 9 V din cauza dispersiei de fabricației) se asigură deplasarea frontului căzător pe un interval apropiat de semiperioada tensiunii de sincronizare ce corespunde la $\alpha_{max}=177\dots178^\circ$. Dacă tensiunea triunghiulară nu a fost ajustată la punerea în funcțiune pentru a avea forma din fig. 6.18, c, domeniul de reglare al unghiului de fază va fi mai mic decit 0° — α_{max} sau se poate obține acest domeniu maxim, dar nu cu tensiune de comandă între 0 și +8 V.

Comparatorul poate fi inhibat (cu ieșirea menținută la nivelul superior) prin aplicarea la terminalul 6 a unei tensiuni apropiate de $+E$. Intrarea 6 se folosește deci pentru întreruperea furnizării de impulsuri la ieșirile integratorului în cazul apariției unei funcționări anormale a schemei de forță cu tiristoare sau triace, comandanță de integrat (deci în scopuri de protecție). Conectarea directă la masă a pinului 6 al integratorului printr-un tranzistor extern de comandă duce la defectarea circuitului integrat !

Circuitul monostabil, incluzând un circuit basculant bistabil și componente externe C_3 , R_6 , P_2 , are rolul de a stabili durata impulsurilor de la ieșirile circuitului integrat βAA145. Circuitul basculant bistabil este declanșat de către impulsurile de sincronizare (deci la începutul semiperioadelor tensiunii de sincronizare) și readus de către frontul căzător de la ieșirea comparatorului (fig. 6.18, e). Condensatorul C_3 , încărcat cu cca 11 V în intervalul cît tensiunea de la ieșirea circuitului basculant bistabil este la nivel superior, începe să se descarce peste rezistențele R_6 și P_2 (cu tendință de încărcare cu polaritate inversă spre tensiunea de alimentare $+E$), din momentul căderii tensiunii de la ieșirea bistabilului (cind se satură un tranzistor din bistabil și aduce potențialul pinului 2 spre $+0,5$ V). Întrucât condensatorul C_3 nu se descarcă instantaneu, pe pinul 11 apare la început un salt negativ (fig. 6.18, f), apoi, pe măsura descărcării condensatorului tensiunea pe pinul 11 crește spre $+2$ V (limitarea se datorează deschiderii a trei jonctiuni aflate în serie). Această creștere, ce are loc în timp, controlată de elementele externe C_3 , R_6 , P_2 , va stabili durata impulsurilor de ieșire t_p (fig. 6.18, g și h) prin intermediul blocului logic.

Pentru valori ale componentelor externe $C_3=47$ nF, $R_6=5,6$ kΩ, $P_2=250$ kΩ, se poate obține o durată t_p a impulsurilor (modificată prin P_2) :

$$t_{p\ min}=86 \text{ } \mu\text{s} < t_p < t_{p\ max}=7 \text{ ms.}$$

(valorile date în catalog, de 100 μs și 4 ms se încadrează în valorile calculate de mai sus).

Blocul logic și etajele de ieșire au rolul de a forma impulsuri rectangulare cu durată t_p și de a le distribui spre cele două ieșiri 14 și 10 în relație cu semiperioadele corespunzătoare ale tensiunii de sincronizare

(fig. 6.18 g, h). Se obține astfel la ieșirea 14 a integratului un impuls de comandă pentru tiristor sau triac sincronizat cu semiperioada pozitivă a tensiunii anodice de alimentare, iar la ieșirea 10 un impuls sincronizat cu semiperioada negativă a acesteia (sincronizarea etajelor de ieșire de către detectorul de nul, alimentat la rindul lui cu tensiune de sincronizare din circuitul anodic al tiristorului sau triacului comandat, este prevăzută în fig. 6.15 și 6.17).

Întrucât ambele ieșiri reprezintă colectoare de tranzistoare în gol, care pot doar absorbi curent, pentru folosirea lor la comanda tiristoarelor sau triacelor, direct sau prin tranzistoare de putere medie intermediare, este necesar să se introducă între sursa $+E$ și aceste ieșiri rezistențele R_7 și R_8 (fig. 6.17).

Pe durata t_p a impulsurilor de ieșire tranzistoarele din integrat (T_{19} , T_{20}) [6] sunt blocate și dispozitivele externe comandate pot prelua curent prin rezistențele R_7 , R_8 de la sursa $+E$. În restul intervalului dintr-o perioadă curentul este preluat (comutat) prin aceste tranzistoare, nivelul de tensiune coborînd la ieșire la cîteva zecimi de volt. Rezultă că prin tranzistoarele de ieșire va trece aproximativ același curent (în afara intervalului t_p) ca și prin grila sau baza dispozitivelor externe comandate (în intervalul t_p). Deoarece la un curent prin tranzistoarele de ieșire integrate ce depășește 25 mA, nivelul inferior al tensiunii de ieșire crește peste 0,6 V (reprezentînd tensiunea între colector și emitor în saturație) și se pot comanda fals dispozitivele externe, se recomandă [5] limitarea curentului prin rezistențele R_7 , R_8 la maximum 25 mA. În plus, se impune introducerea unor diode în serie cu grila sau baza dispozitivelor externe (care măresc tensiunea de deschidere a ansamblului diodă-dispozitiv comandat la cca 0,8...0,9 V). Pentru a se putea folosi integratul βAA145 cu curent de ieșire pînă la 50 mA, cît se prevede practic în [6], ar fi necesară introducerea în serie în grila sau baza dispozitivului extern comandat a unei diode Zener de 2,7 V pentru a se evita comanda falsă (desigur, rezistențele R_7 și R_8 s-ar dimensiona corespunzător). Majoritatea aplicațiilor date în catalogul [31, 11] sau în manualul de utilizare [6] respectă curentul maxim de 25 mA prin rezistențele R_7 , R_8 . Curentul maxim este suficient, în general, pentru comanda directă pe grilă a unor tiristoare și triace de curent anodic pînă la cîțiva amperi [6]. Pentru cazul cînd trebuie comandate tiristoare sau triace care necesită curent de grilă > 25 mA se atașază la circuitul integrat tranzistoare externe de curent corespunzător (în general < 1 A).

Dintre datele de catalog ale circuitului integrat βAA145 se citează aici valorile limite

- tensiunea de alimentare pozitivă maximă : +18 V,
- extemele tensiunii de comandă, aplicată la intrarea inversoare a comparatorului (pinul 8) —5 V și +E (valoarea utilizată a tensiunii de alimentare),
- curenți maximi : pe intrarea 13 : 25 mA (spre exterior), pe intrarea 15 5 mA (spre exterior) pe intrarea 9 (ambele sensuri) : 20 mA.

Dintre mărurile caracteristice ale circuitului integrat βAA145 [6] se citează :

- curentul consumat de la sursa de alimentare cu tensiune pozitivă în lipsa impulsurilor de ieșire : maximum 30 mA ;
- curentul în impuls maxim de la ieșirea 16 (în cazul folosirii impulsului de sincronizare de 8 V) 0,6 mA ;
- durata impulsurilor de ieșire (la pinul 14 și la pinul 10) : 0,1...0,4 ms ;
- asimetria defazării impulsurilor în semiperioada pozitivă și negativă pentru $t_p = 0,5$ ms și $U_c = +4$ V : maximum 3° ;
- asimetria defazării între două circuite integrate diferite (sincronizate prin legarea terminalelor 16), în condițiile $t_p = 0,5$ ms și $U_c = +4$ V : maximum 3° .

Alte măruri caracteristice au fost citate la prezentarea anterioară a funcționării circuitului integrat.

6.3.1. CIRCUIT DE COMANDĂ ÎN FAZĂ ÎNTRE DOUĂ UNGHIURI IMPUSE

Circuitul de aplicație tipică a integratului βAA145 din fig. 6.17 poate asigura, prin folosirea unei tensiuni de comandă ajustabilă între +8 V și 0, o modificare a unghiului de fază („de aprindere“) între 0 și 180° (aproximativ). Modificând forma tensiunii triunghiulare de pe condensatorul C_2 ca în fig. 6.19 prin intermediul constantei de timp $\tau = C_2(R_5 + pP_1)$ (luindu-se în primul caz $\tau < 0,64 T$ iar în al doilea caz $\tau > 0,64 T$), se observă posibilitatea de a comanda unghiul de fază α (adică unghiul după care se furnizează unui tiristor sau triac impuls de aprindere — față de începutul semiperioadei tensiunii de sincronizare) între 0 și o anumită valoare mai mică decât 180° (fig. 6.19, a), respectiv posibilitatea de a comanda modificarea unghiului de fază între 0 și 180° (aproximativ) printr-o tensiune de comandă cuprinsă între o valoare mai mare decât 0 și +8 V (fig. 6.19, b).

O soluție generală pentru comanda unghiului de fază între două valori impuse α_{min} și α_{max} (cuprinse între 0 și 180°) și folosind o tensiune

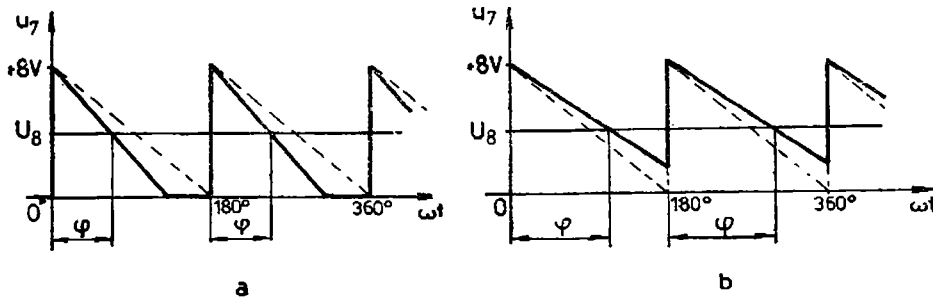


Fig. 6.19. Forme posibile ale tensiunii liniar-variabile (TLV).

de comandă cu extretele date, cuprinse între $+15\text{ V}$ și -15 V , este aceea din fig. 6.20. Aici tensiunea triunghiulară de la ieșirea 7 a circuitului βAA145 este ajustată prin potențiometrul P_1 astfel încât să aibă forma optimă (cu linie întreruptă în fig. 6.19).

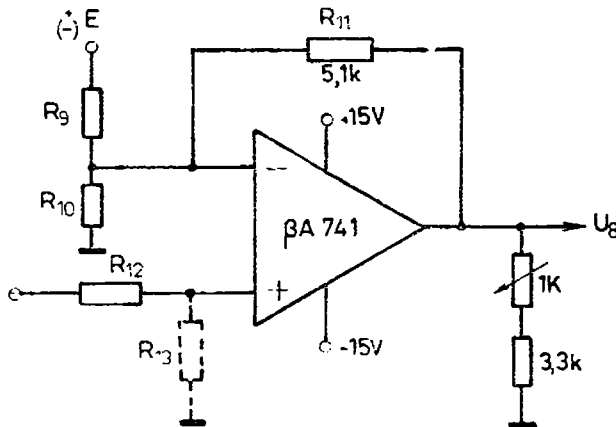


Fig. 6.20. Comanda în fază a circuitului βAA145 prin convertor de domeniu.

Amplificatorul operațional are rolul de a realiza o conversie de domeniu de tensiune și anume, din domeniul tensiunii U_e disponibil la intrare în domeniul lui U_8 necesar la ieșire.

Domeniul tensiunii U_8 necesar la ieșire este cuprins între

$$U_{8min} = (7 \dots 9) \left(1 - \frac{a_{max}}{180} \right) [\text{V}, {}^\circ]. \quad (6.7)$$

și

$$U_{8max} = (7 \dots 9) \left(1 - \frac{a_{min}}{180} \right) [\text{V}, {}^\circ]. \quad (6.8)$$

Se constată că factorul din fața parantezelor, care reprezintă amplitudinea tensiunii triunghilare produsă de generatorul TLV, prezintă o dispersie de fabricație (este tensiunea unei diode Zener limitatoare). Prin urmare, amplificatorul operațional care face conversia de domeniu este dimensionat pentru a realiza valoarea maximă din membrul drept al relațiilor (6.7) și 6.8), iar o valoare mai mică a celor două niveluri extreme ale tensiunii u_8 se obține simplu cu ajutorul unui potențiometru (P_3) de la ieșirea amplificatorului.

Utilizatorul schemei din fig. 6.20, având impuse limitele unghiului α și ale tensiunii de comandă disponibile $-U_{e,min}, U_{e,max}$, trebuie să stabilească dacă este necesară divizarea cu R_{12} și R_{13} , semnul tensiunii E de alimentare a divizorului R_9, R_{10} și să diminueze rezistențele $R_9, R_{10}, R_{12}, R_{13}$.

Se determină mai întii valoarea factorului de divizare al tensiunii de comandă U_c

$$d = \frac{U_{cmax} - U_{cmin}}{30(U_{cmax} - U_{cmin})} \quad [V], [\text{°}]. \quad (6.9)$$

Dacă rezultă $d > 1$, se va adopta $d = 1$ și nu mai este necesară rezistență R_{13} .

Se calculează în continuare amplificarea de tensiune pentru intrarea inversoare [14]

$$A_u = \frac{U_{8max} - U_{8min}}{d(U_{cmax} - U_{cmin})} \quad [V], \quad (6.10)$$

în care U_{8max} și U_{8min} se determină cu relațiile (6.7) și (6.8) folosind factorul 9.

Cu ajutorul amplificării A_u se determină tensiunea fixă ce ar trebui aplicată la intrarea inversoare (care ulterior se va realiza prin divizorul R_9, R_{10} alimentat de la o sursă $\pm E$)

$$U_1 = \frac{dU_{cmin}(1+A_u) - U_{8min}}{A_u}. \quad (6.11)$$

Semnul tensiunii U_1 va arăta semnul tensiunii E care trebuie utilizată la alimentarea divizorului R_9, R_{10} .

Rezistențele R_9 și R_{10} se vor calcula cu relațiile :

$$R_9 = \frac{5,1}{A_u} \cdot \frac{E}{U_1} \quad [\text{k}\Omega] \quad (6.12)$$

$$R_{10} = R_9 \frac{U_1}{E - U_1} \quad [\text{k}\Omega]. \quad (6.13)$$

Rezistența R_{12} se dimensionează în mod diferit, după cum se folosește sau nu rezistența R_{13} . Astfel, dacă nu este necesară R_{13} ($d = 1$) :

$$R_{12} = R_9 \parallel R_{10} \parallel 5,1 \quad [\text{k}\Omega]. \quad (6.14)$$

Dacă este necesară divizarea, atunci

$$R_{12} = \frac{R_9 \parallel R_{10} \parallel 5,1}{d} \quad [\text{k}\Omega], \quad (6.15)$$

iar

$$R_{13} = R_{12} \frac{d}{1-d} \quad [\text{k}\Omega]. \quad (6.16)$$

Toate rezistențele aferente amplificatorului operațional, calculate mai sus, trebuie adoptate cu toleranță redusă — 1...2% — pentru realizarea cu suficientă precizie a gamei de reglare a unghiului de aprindere a tiristorului sau triacului comandat.

Aplicația tipică din fig. 6.17 poate fi completată cu unul din circuitele prezentate în figurile 6.21 pînă la 6.26 [11, 31] pentru comanda tiristoarelor sau triacelor din diverse instalații.

Sincronizarea impulsurilor de comandă cu însăși tensiunea de alimentare a sarcinii (currentul de sarcină fiind reglat cu tiristor sau triac) impune conectarea pinului 3 la unul din polii tensiunii, celălalt pol fiind conectat în circuitul anodic al tiristorului sau triacului. Dacă tensiunea de alimentare a sarcinii este chiar tensiunea rețelei, monofazată sau trifazată pinul 3 se leagă la nulul rețelei. Pentru comanda monoalternanță a unui tiristor ce necesită un curent de aprindere $I_{th} < 25 \text{ mA}$ se completează circuitul din fig. 6.17 cu dioda D (fig. 6.21), al cărei rol a fost arătat anterior.

În unele aplicații, de exemplu la variatoarele de valori efective cu două tiristoare conectat antiparalel, unul dintre cele două tiristoare are catodul la masă și poate fi comandat direct de la pinul 14 (Th_1 din fig. 6.22). Cel

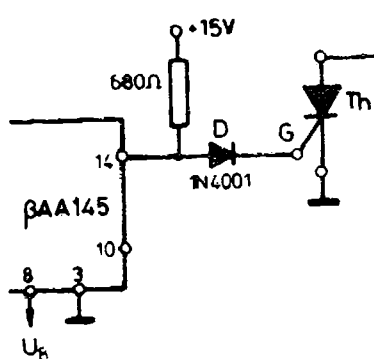


Fig. 6.21. Comanda monoalternanță a unui tiristor de 1 A.

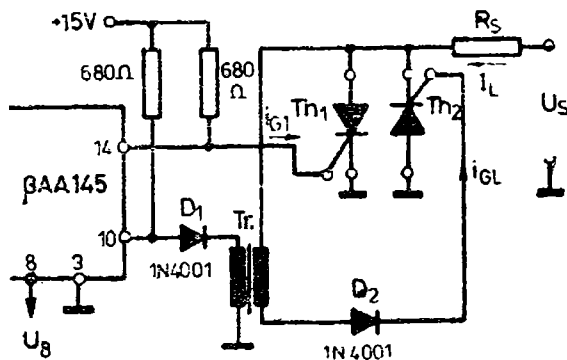


Fig. 6.22. Comanda bialternanță a două tiristoare de 1 A montate antiparalel.

de-al doilea tiristor are anodul la masă și din această cauză comanda de la pinul 10 trebuie separată galvanic de tiristorul Th_2 prin transformatorul Tr cu raportul de transformare 1 : 1.

La unele utilaje, siguranța în funcționare (evitarea comenzi false) sau altă condiție tehnică funcțională impune separarea galvanică completă a circuitului de comandă de tiristor. Separarea completă implică atît o separare a circuitului de comandă de grila tiristorului, cit și a circuitului de sincronizare. Ea se realizează fie prin octocuploare, fie prin transformator (fig. 6.23).

Separarea circuitului de sincronizare este realizată cu transformatorul Tr_2 , cu raport de transformare 1 : 10. Tensiunea de sincronizare fiind de 10 ori mai mică decît tensiunea rețelei, valorile rezistențelor R_1 și R_2 din fig. 6.17 se micșorează de 10 ori păstrînd raportul $R_1/R_2 = 0,24$.

La comanda tiristoarelor ce necesită un curent de aprindere $I_{th} > 25 \text{ mA}$, între pinul 14 și grila se intercalează un tranzistor de medie putere (de

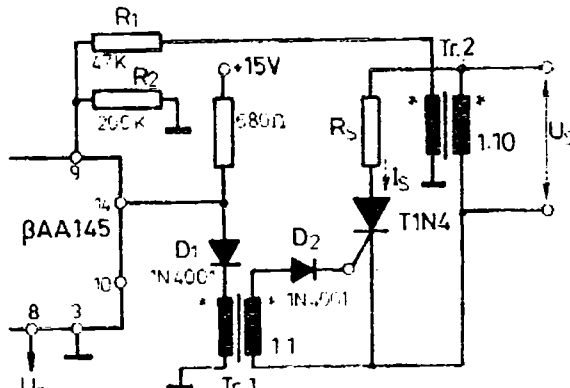


Fig. 6.23. Comanda monoalternantă a unui tiristor de 1 A cu separare galvanică totală.

exemplu *BD 135*) (fig. 6.24). Blocarea tiristorului pînă la primirea impulsului de aprindere este asigurată și în acest caz deoarece, în locul diodei din fig. 6.21, apare joncțiunea emitoare a tranzistorului.

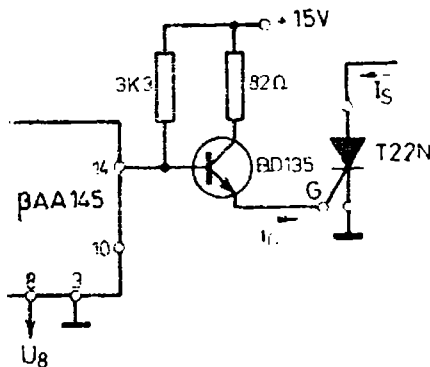


Fig. 6.24. Comanda monoalternantă a unui tiristor de curent mediu.

Dacă sarcina din circuitul anodic al tiristorului este alimentată cu tensiunea de ieșire a unui redresor monofazat bialternantă, tiristorul este comandat bialternantă cu ajutorul diodelor D_1 și D_2 (fig. 6.25). Diodele au un dublu rol — unul de asigurare a blocării tiristorului pînă la primirea impulsului de aprindere, al doilea — de însumare în grila tiristorului a celor două impulsuri de comandă.

Tot o comandă bialternantă este necesară și pentru un triac cu rol de variator de valori efective (fig. 6.26). Deoarece curentul de poartă pentru aprindere este mai mare de 25 mA, sînt introduse cele două tranzistoare de curent mediu (*BD 135*). Prin transformatorul cu priză mediană în primar se face însumarea celor două impulsuri de comandă.

Circuitele de comandă, în variantele de mai sus, sînt utilizate în cazul unor sarcini rezistive sau slab inductive. În cazul unor sarcini

puternic inductive, comanda tiristoarelor se face cu tren de impulsuri ce suplineste un impuls lung. Problema este tratata in subparagraful urmator.

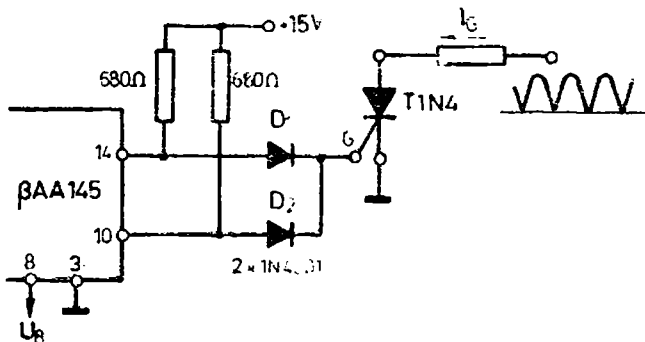


Fig. 6.25. Comanda bialteranță a unui tiristor pentru cazul circuitului anodic alimentat cu tensiune redresată bialteranță.

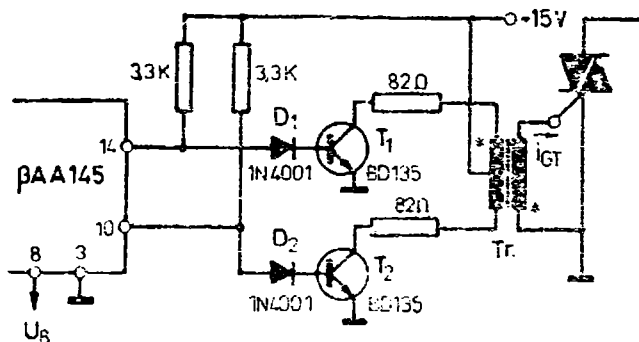


Fig. 6.26. Comanda unui triac de curent mediu.

6.3.2. CIRCUITE DE COMANDĂ ÎN FAZĂ CU TRENI DE IMPULSURI

În instalațiile unde este necesară reglarea curentului în sarcini puternic inductive cu ajutorul tiristoarelor sau triacelor, acestea se comandă cu tren de impulsuri, fiecare impuls având (în cazul tiristoarelor rapide) forma din fig. 6.27 pentru obținerea unui timp scurt de amorsare.

In acest caz circuitul de comandă trebuie să îndeplinească trei funcții să realizeze comanda cu unghiul de fază α impus, să genereze un tren de impulsuri pe durata t_p a impulsului de comandă și să formeze virful impulsului (dacă este cazul). Prima funcție este realizată cu circuitul de comandă tipic din fig. 6.17; funcțiile de generare a trenului de impulsuri și formarea virfului pot fi realizate de circuite separate sau cu același circuit.

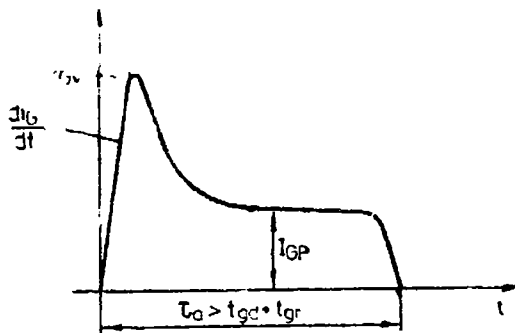


Fig. 6.27. Impuls de comandă cu vîrf pentru tiristoare

In fig. 6.28 este prezentată o variantă ce realizează ultimele două funcții cu ajutorul unui formator-amplificator de impulsuri, care poate comanda simultan două tiristoare de putere [24].

Nivelul impulsului de comandă de la pinul 14 (sau de la pinul 10) este limitat superior de dioda stabilizatoare D_3 și prin dioda D_2 (care realizează un prag de declanșare) comandă circuitul basculant astabil cu două tranzistoare complementare T_1 și T_2 . De la secundarul transformatorului de impuls cu două înfășurări, impulsul cu vîrf (vîrful fiind format cu C_3 și R_7) este transmis la ieșirile G_1-C_1 , respectiv G_2-C_2 . Cînd ieșirea 14 (10) este la potențial redus ($<0,5$ V), funcționarea circuitului

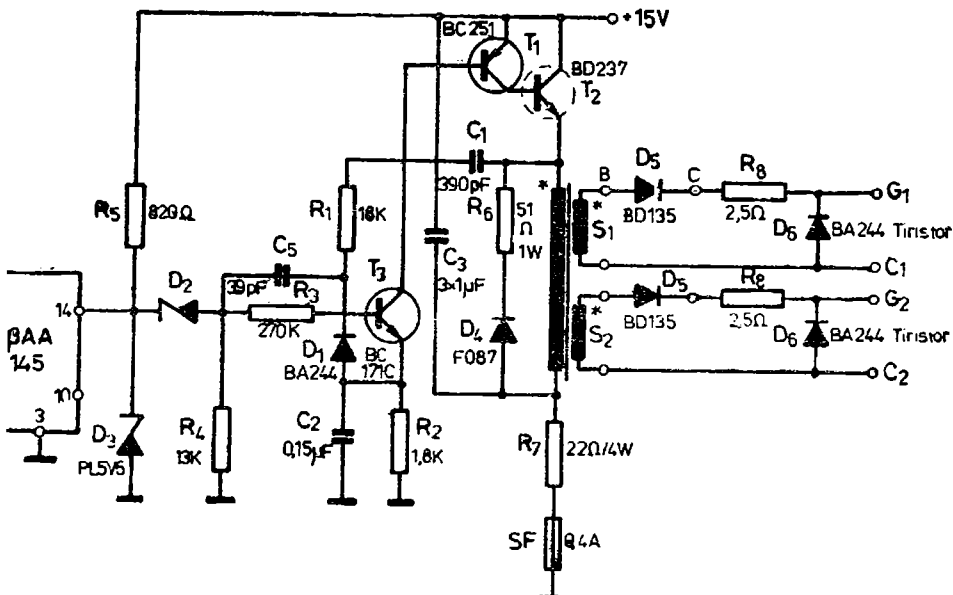


Fig. 6.28. Circuit de comandă cu tren de impulsuri utilizînd un formator-amplificator de impulsuri în regim de circuit astabil.

astabil și prin aceasta producerea impulsurilor este opriță [24]. Același proces de întrerupere a funcționării are loc și la terminarea impulsului de comandă de la pinul 14 (10).

Cu valorile componentelor din fig. 6.28 și prin legarea ieșirilor la tiristoare cu conductoare torsadate cu lungimea de 1 m s-au obținut următoarele caracteristici ale trenului de impulsuri (pentru tiristoare rapide de 250 A) :

- frecvența impulsurilor de ieșire în regim stabil : 1 600—2 500 Hz,
- durata impulsurilor de ieșire : 120...150 μ s,
- virful impulsului de ieșire : mai mare de 1 A,
- palierul impulsului 0,3 A,
- panta frontului impulsului de curent : 1 A/ μ s
- durata virfului de curent la mijlocul lui : 10 μ s.

Pentru realizarea performanțelor de mai sus s-au utilizat în secundarele transformatorului de impuls diode de comutație (jonctiuni de tranzistoare de putere medie de comutație) și rezistențe bobinate antiinductiv [24].

Dacă prin sarcină se comandă curentul în ambele semiperioade, este necesar cîte un formator de impulsuri la fiecare din ieșirile 14 și 10. Dacă sarcina este alimentată trifazat în stă, se utilizează trei circuite integrate 3AA145 în montaj ca în fig. 6.17, sincronizate cu tensiunile fază corespunzătoare și avînd pinii 16 legati împreună. La fiecare integrat se atașează cîte un formator la pinul 14. Dacă sarcina este alimentată trifazat și se face comandă în fiecare semiperioadă, se folosesc cîte două formatoare pentru fiecare integrat unul pentru comanda sincronizată cu alternanța pozitivă legat la pinul 14 — și altul pentru comanda sincronizată cu alternanța negativă legat la pinul 10. În ultimul caz, soluția nu este economică.

Varianta de realizare separată a ultimelor două funcții ale comenzi cu tren de impulsuri impune prezența unui circuit astabil unic ca generator de impulsuri dreptunghiulare și a unor circuite formatoare de impuls (eventual cu virf). Impulsurile la ieșirea circuitului formator trebuie generate numai pe durata t_p , a impulsului de comandă obținut la pinul 14 (respectiv 10).

În fig. 6.29 este prezentată schema de comandă a celor două tiristoare corespunzătoare unei faze dintr-un invertor cu tiristoare [70].

Circuitul astabil realizat cu tranzistoarele T_5 și T_6 generează impulsuri dreptunghiulare de frecvență 4 000 Hz și factor de umplere 0,5. Pe durata t_p , prin intermediul portii SI ($\frac{1}{4}$ CDB408) impulsurile dreptunghiulare atacă formatorul de impulsuri cu T_1 și T_2 , respectiv T_3 și T_4 . Tranzistoarele T_1 și T_3 au rolul numai de a asigura puterea de comandă a tranzistoarelor de medie putere T_2 și T_4 . Formarea impulsului cu virf are loc astfel

- se formează un palier al impulsului de 0,22 A, datorită rezistenței de putere R_{13} , respectiv R_{18} ,
- peste palier se suprapune un virf de curent datorită încărcării bruse a condensatorului C_4 (respectiv C_5) prin tranzistor și transformatorul de impuls.

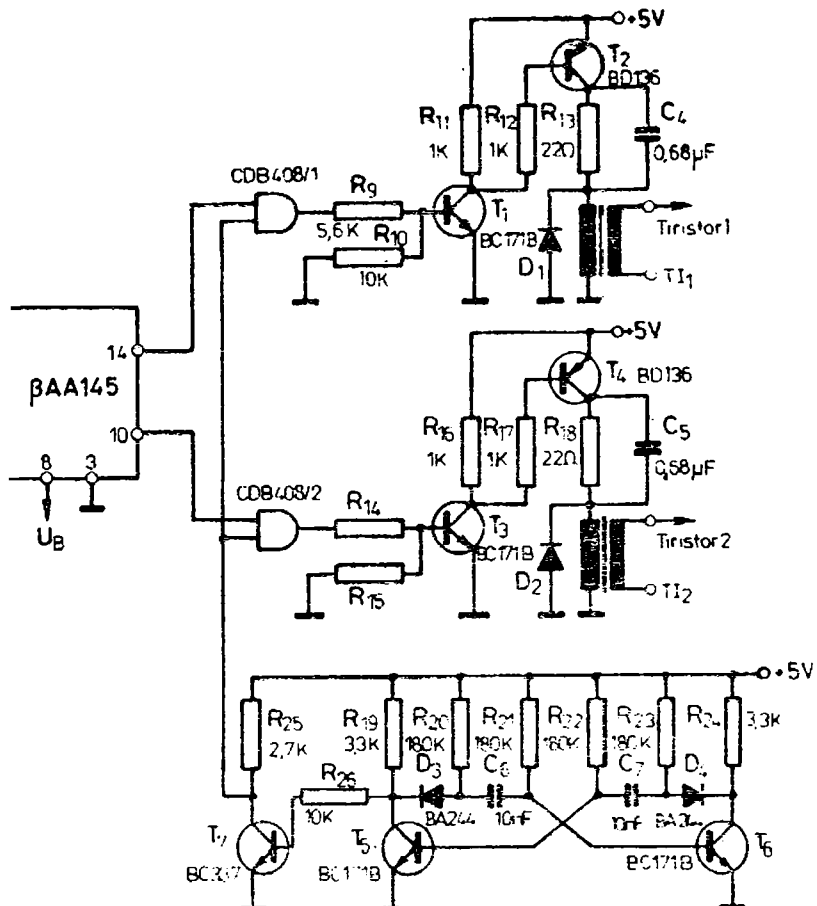


Fig. 6.29. Circuit de comandă cu tren de impulsuri general prin astabil nesincronizat.

Dioda D_1 , respectiv D_2 , are rolul de descărcare a energiei electromagnetice înmagazinată în înfășurarea primară pe durata impulsului.

Cu valorile componentelor din figură s-au obținut următoarele caracteristici ale trenului de impulsuri :

- frecvența impulsurilor de ieșire : 4 000 Hz,
- durata impulsurilor de ieșire : 100—120 μ s,
- virful impulsului de ieșire : mai mare de 0,8 A,
- palierul impulsului : 0,22 A,
- panta de creștere a virfului de curent : 0,85 A/ μ s,
- durata virfului de curent la mijlocul lui : 14 μ s.

Impulsurile cu caracteristicile de mai sus pot comanda tiristoare de 100 A, iar astabilul este folosit la acționarea circuitelor pentru toate cele trei faze, cu ajutorul tranzistorului T_7 .

Varianta prezentată mai sus are dezavantajul că momentul începerii impulsului de comandă de la ieșirile 14 sau 10 poate să nu coincidă cu momentul începerii unui impuls, ci cu momentul începerii unei pauze la monostabil. Din această cauză, unghiul de comandă α impus crește cu maximum 1,8 grade. În majoritatea aplicațiilor, creșterea este nesemnificativă. Dacă însă decalajul de unghi nu se poate admite, se va folosi varianta din fig. 6.30.

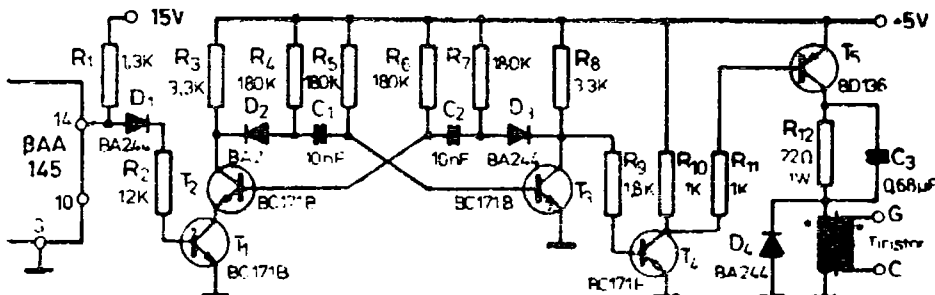


Fig. 6.30. Circuit de comandă cu tren de impulsuri generat prin astabil sincronizat.

Impulsul de comandă disponibil la terminalul 14 (sau 10) acționează cheia T_7 . Cind impulsul există, cheia este închisă (tranzistorul conduce saturat), astabilul începe să lucreze cu un salt în colectorul tranzistorului T_6 . Cind impulsul de comandă se termină, tranzistorul T_7 se blochează și astabilul este inhibat (T_6 rămîne saturat). Din colectorul tranzistorului T_6 se comandă tranzistorul T_1 al formatorului de impuls de tipul celui din fig. 6.29.

Un astabil similar se folosește și la pinul 10. Trenurile de impulsuri obținute de la cele două formatoare comandă bialternanță tiristorul sau tiristoarele din aplicație. Dacă în aplicație intervine rețeaua trifazată și comanda bialternanță, sunt necesare 6 astabile sincronizate și 6 formatoare de impuls.

APLICAȚII ALE UNOR CIRCUITE INTEGRATE SPECIALE

7.1. OSCILATOR LC ÎN PUNTE CU CIRCUIT INTEGRAT BA726

În paragraful 2.9 a fost prezentat oscilatorul *LC* în punte cu amplificator operațional și au fost analizate o serie de probleme ce apar la acest tip de oscilator. S-au dat relațiile de dimensionare principale și performanțele realizate.

Se prezintă aici un nou circuit de acest gen, simplu, utilizând un singur circuit integrat BA726, cu ajutorul căruia se realizează atât amplificatorul termostatat, cât și o diodă de limitare termostatată [30], (fig. 7.1 și 7.2)

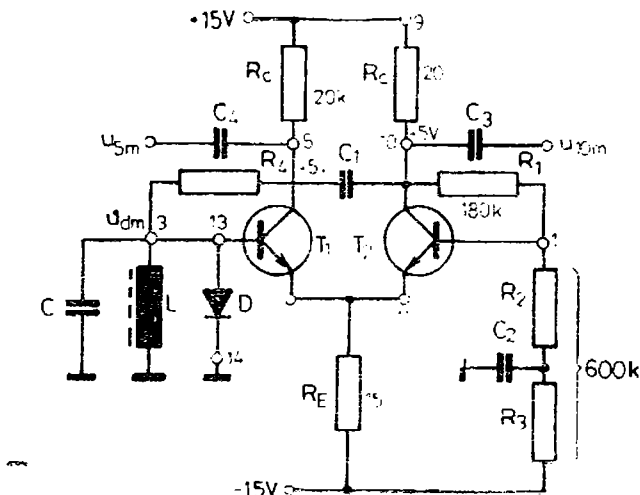


Fig. 7.1. Schema desfășurată a oscilatorului *LC* în punte cu circuit integrat BA726.

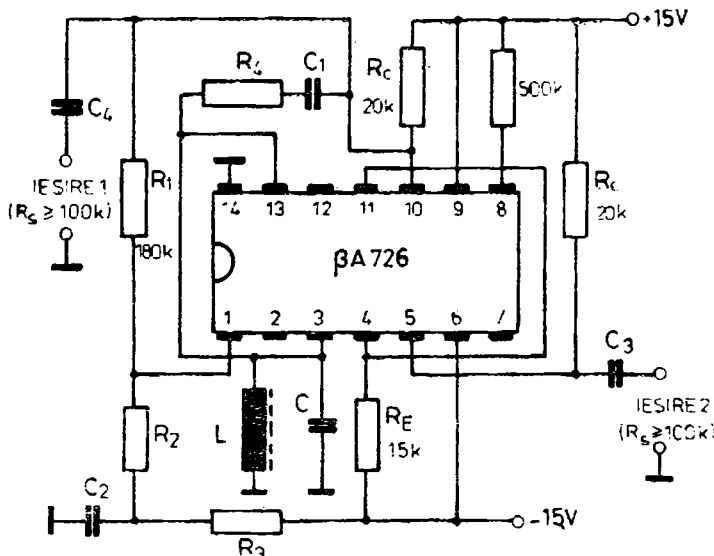


Fig. 7.2. Oscilator LC în punte cu circuit integrat $\beta A726$.

Pe dioda D , ce realizează limitarea de amplitudine (reprezentând juncția colectoare a unui tranzistor destinat în mod obișnuit unei surse de curent constant pentru etajul diferențial), trebuie asigurată o amplitudine de tensiune care să ducă punctul de funcționare pe caracteristica tensiune-curent pînă la o poziție unde rezistența dinamică de semnal mic a diodei, r_{dm} , este de ordinul $1,5 \dots 1\text{ k}\Omega$ [20, 15]. Această amplitudine este de $0,47 \dots 0,5\text{ V}$, iar rezistența r_{dm} a fost denumită în paragraful 2.9 rezistență dinamică „de vîrf“.

Cu ajutorul rezistențelor R_1 și R_2 ce realizează reacția negativă, se impune o amplificare de $2 \dots 6$ amplificatorului realizat cu tranzistorul T_2 . Cînd amplificarea este egală cu 2 ($R_1/R_2 \cong 1$), se obține o stabilitate de frecvență optimă [1].

Cu ajutorul rezistenței R_4 se realizează reacția pozitivă care asigură condiția de oscilație de amplitudine. Puntea este compusă din rezistențele R_1 , R_2 , R_4 și impedanța la rezonanță a circuitului oscilant LC .

La punerea în funcție a acestui oscilator este necesar ca R_4 și R_2 , deci și R_3 (pentru menținerea polarizării corecte), să se poată ajusta într-un domeniu de $\pm 10\%$ față de valoarea calculată, pentru stabilirea amplitudinilor necesare pe dioda circuitului oscilant și la ieșirea 10 ($<3\text{ V}$), urmînd să se înlocuiască apoi cu rezistențele fixe necesare.

Deoarece amplificarea la ieșirea 5 este în general mai mare decît la ieșirea 10, amplitudinea tensiunii la această ieșire trebuie limitată la $4 \dots 5\text{ V}$.

Pe baza amplitudinilor, adoptate sau impuse, ale tensiunilor pe circuitul oscilant (u_{d_m}) și la ieșirea 10 a amplificatorului (u_{10m}) se poate determina amplificarea de tensiune necesară

$$A_{u_{10}} = \frac{u_{10m}}{u_{d_m}}. \quad (7.1)$$

Cu aceasta se poate stabili, aproximativ, rezistența R_2 [30]

$$R_2 \cong \frac{0,83 R_1}{A_{u_{10}} - 1}. \quad (7.2)$$

Rezistența R_3 rezultă din condiția ca suma $R_2 + R_3$ să fie de cca 600 kΩ pentru $R_1 = 180$ kΩ.

Rezistența de reacție R_4 [30, 20] se determină cu relația aproximativă

$$R_4 \cong \frac{X_L^2}{R_{ps}} \frac{2,2(A_{u_{10}} - 1)r_{d_m} - X_L}{2,2r_{d_m} + X_L}, \quad (7.3)$$

relație care a fost întâlnită și în paragraful 2.9. Aici X_L este reactanța bobinei la frecvența de oscilație, iar R_{ps} este rezistența de pierderi, considerată în serie, a circuitului oscilant neîncărcat [14].

Prinț-o realizare îngrijită, în condiții obișnuite de laborator, se obțin la o funcționare de durată, o instabilitate a frecvenței de ordinul 10^{-5} și o instabilitate a amplitudinii de ordinul 10^{-4} . Pentru amplitudinea de 1 V la ieșirea 10, se obține un factor de distorsiuni neliniare mai mic decât 0,3%. Frecvența de oscilație maximă pentru amplitudinea de 1 V și $R_1/R_2 = 1$ este de 300 kHz.

Oscilatorul din fig. 7.2 poate realiza o amplitudine a tensiunii de ieșire de 0,5...4 V, impusă prin calculele date mai sus. Rezistențele de sarcină de la cele două ieșiri trebuie să fie mari (> 100 kΩ).

În [6, vol. IV] se prezintă un alt tip de oscilator LC cu circuit integrat ȢA726, care însă nu atinge performanțele de stabilitate date mai sus.

Se poate afirma că oscilatorul prezentat în acest paragraf este cel mai stabil dintre toate oscilatoarele fără cuart. Efectul variației temperaturii mediului intervine practic numai prin intermediul componentelor L , C . La realizarea oscilatorului s-a folosit bobină pe ferită tip ovală din material MZ5 [79] și condensator (C) cu polistiren. Toate rezistențele din circuit sunt cu peliculă metalică. O altă variantă de oscilator este propusă în [82].

7.2. GENERATOR DE FUNCȚII COMANDAT PRIN TENSIUNE CU CIRCUIT INTEGRAT ȢE565

Circuitul integrat ȢE565, circuit „cu calare pe fază“ sau PLL, este prezentat detaliat în [6], împreună cu un număr mare de aplicații. Între acestea se află și generatorul de funcții sau generatorul de tensiune triunghiulară.

lară și rectangulară (din care, cu un filtru potrivit, se poate obține și tensiune sinusoidală). În acest caz, dintre blocurile funcționale ale circuitului este utilizat numai oscilatorul comandat prin tensiune. La aplicația din [6] comanda prin tensiune este internă, iar tensiunea de comandă este fixă astfel încât și frecvența semnalelor este fixă.

Pentru înțelegerea funcționării schemei de aplicatie a circuitului ca generator de funcții comandat se prezintă, în fig. 7.3, o schemă bloc a oscillatorului controlat prin tensiune (O.C.T.) al circuitului integrat $\beta E565$.

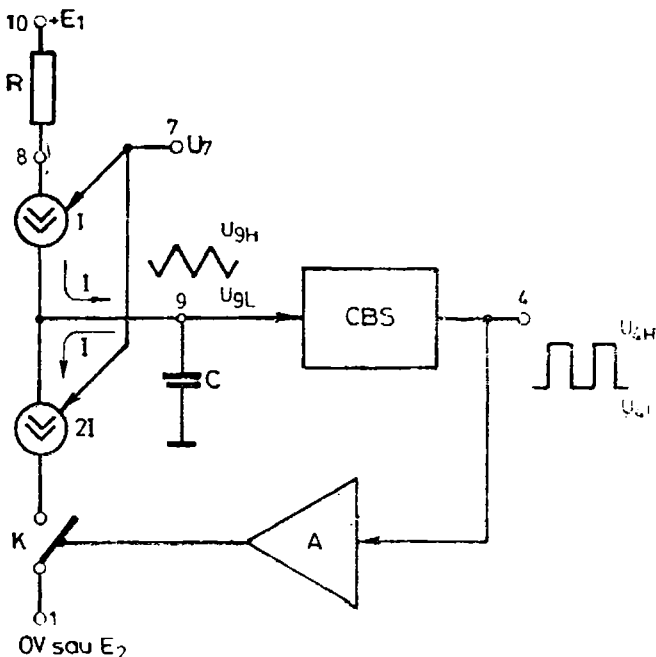


Fig. 7.3. Schema bloc a oscillatorului controlat prin tensiune al circuitului integrat $\beta E565$

În timp ce potențialul de la ieșirea 4 a circuitului basculant Schmitt (C.B.S.) se află la nivelul inferior U_{4L} , cheia K este deschisă și sursa de curent I controlată prin tensiunea U_7 încarcă liniar condensatorul C (conectat la pinul 9). Cind tensiunea pe acesta atinge nivelul superior U_{9H} are loc bascularea circuitului CBS, la ieșirea 4 rezultând nivelul superior U_{4H} . Aceasta comandă prin amplificatorul A cheia K , care se închide. Are loc în continuare descărcarea condensatorului C , liniar în timp, aproximativ cu același curent I , deoarece sursa de curent de descărcare preia un curent $2I$. Cind tensiunea pe condensator atinge nivelul U_{9L} , circuitul basculant Schmitt comută în starea cu U_{4L} la ieșire și cheia K se deschide. În continuare procesul se repetă cu perioada impusă de I deci de U_7 . Ansamblul celor două surse de curent este denumit „sursă de curent de precizie“ [6].

În fig. 7.4 se prezintă conexiunile la capsula circuitului integrat $\beta E565$, iar în fig. 7.5 modul general de utilizare ca generator de funcții.

Legătura dintre tensiunea de comandă U_7 și frecvență este liniară [6, 23, 14]. Prin tensiunea U_7 se poate realiza și o viburare, mai simplu decât se prezintă în [6].

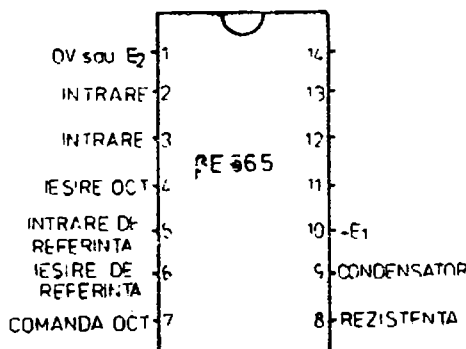


Fig. 7.4. Conexiunile la capsula circuitului integrat $\beta E565$.

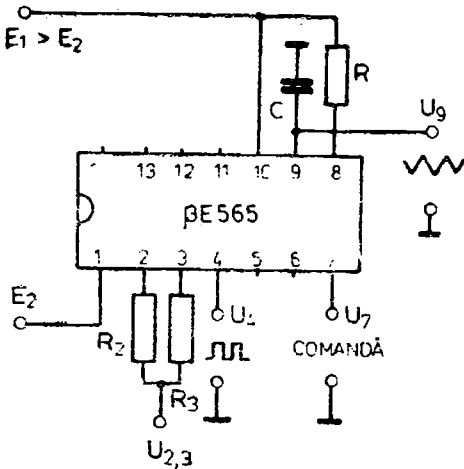


Fig. 7.5. Schema principală a generatorului de funcții cu $\beta E565$.

Prin folosirea a două tensiuni de alimentare potrivite se pot realiza diferite nivele extreme ale semnalelor triunghiular și rectangular, desigur, cu anumite restricții întrucât nivelele celor două semnale nu sunt independente, iar diferența dintre cele două tensiuni de alimentare trebuie să fie cuprinsă în intervalul

$$10 \leq E_1 - E_2 \leq 24 \text{ [V].} \quad (7.4)$$

(unde E_1 și E_2 se introduc cu semnele lor față de borna de masă).

Tensiunea de polarizare a intrărilor 2 și 3 trebuie să fie

$$U_{2,3} = E_2 + (1,6 \dots 5) \text{ [V].} \quad (7.5)$$

Atunci cind $U_{2,3}$ rezultă apropiată de zero, se leagă cele două intrări la masă. În rest, tensiunea $U_{2,3}$ se realizează printr-o divizare potrivită a uneia din tensiunile de alimentare [14].

Generatorul furnizează semnale de forma dată în fig. 7.6, cu frecvență cuprinsă între o valoare maximă (stabilită prin R , C , $U_{7,MAX}$) și o valoare apropiată de zero (pentru $U_{7,MIN}$). Când factorul de umplere al semnalului rectangular diferă de 0,5, acesta se poate corecta prin utilizarea unei surse de curent constant suplimentare potrivite, conectată la borna 9 [9]. O sursă de curent se poate realiza conform celor prezentate în paragraful 2.6. Sursa trebuie să fie comandată prin aceeași tensiune U_7 care controlează frecvența și să furnizeze un curent cu extremitățile ajustabile între $-0,22$ și

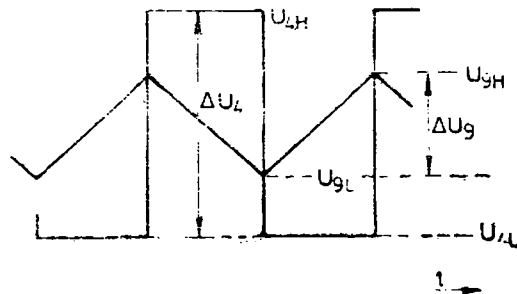


Fig. 7.6. Forma semnalelor generatorului cu β E565.

$+0,22 \text{ mA}$ (10% din $2,2 \text{ mA}$ — curentul maxim al generatorului de precizie).

Dacă nivelele unei tensiuni de comandă externe disponibile nu corespund cu nivelele necesare pentru tensiunea de comandă directă U_7 , se poate face conversia de domeniu cu un amplificator operațional [14]. Diferite valori pentru tensiunile de alimentare se pot obține uneori cu ajutorul unor diode stabilizatoare din alte tensiuni de alimentare disponibile [6, 14].

Pentru cazul cînd circuitul este alimentat de la două surse, relațiile nivelelor extreme ale semnalelor s-au obținut din cele date în [6] pentru o singură sursă de alimentare, prin înlocuirea tensiunii V_{cc} cu $E_1 - E_2$ și decalarea cu E_2 , deoarece semnalele de ieșire se preiau față de borna de masă (fig. 7.5). Au rezultat astfel relațiile date în [14].

În urma încercărilor experimentale, pe un lot mare de circuite integrate, s-au stabilit însă relații mai precise pentru aceste nivele, întrucît relațiile teoretice din [6, 14] conduc la erori de cca 1 V. Astfel, se propune utilizarea relațiilor [23] :

$$U_{9L} \cong 0,3 E_1 + 0,74 E_2 + 0,7 \quad [\text{V}] \quad (7.6)$$

$$U_{9H} \cong 0,52 (E_1 + E_2) + 0,4 \quad (7.7)$$

$$\Delta u_9 = U_{9H} - U_{9L} \cong 0,22 (E_1 - E_2) - 0,3 \quad (7.8)$$

$$U_{4L} \cong 0,52 (E_1 + E_2) - 1,3 \quad (7.9)$$

$$U_{4H} \cong E_1 - 0,7 \quad (7.10)$$

$$\Delta u_4 = U_{4H} - U_{4L} \cong 0,48 E_1 - 0,52 E_2 + 0,6. \quad (7.11)$$

În aceste relații se utilizează tensiunile E_1 și E_2 cu semnul lor. Abaterile față de relațiile determinate teoretic se explică prin variația tensiunii U_{BE} a tranzistoarelor cu tensiunile de alimentare și prin existența unor diferențe între valorile rezistențelor integrate și cele înscrise în schema de principiu.

Intrucît în practică se impun, de obicei, nivelele extreme ale semnalelor sau amplitudinile acestora, se pot folosi două dintre ecuațiile (7.6)...(7.11) pentru stabilirea tensiunilor de alimentare E_1 și E_2 ale cir-

circuitului. Din acest motiv, numai două din cele patru nivele și două amplitudini, de mai sus, pot fi impuse. Desigur, pentru anumite nivele sau amplitudini impuse, tensiunile de alimentare vor rezulta exagerat de mari sau prea mici, neîndeplinind condiția dublă (7.4) și se va renunța la utilizarea acestui integrator.

Cele mai frecvente cazuri practice sunt aceleia în care se impun :

- nivelele semnalului triunghiular,
- nivelele semnalului rectangular,
- amplitudinile semnalelor,
- nivelele inferioare ale celor două semnale.

Limitele domeniului de valori pentru aceste nivele și amplitudini se pot obține prin eliminarea tensiunilor E_1 și E_2 din perechea de ecuații corespunzătoare din grupul (7.6 . . . 7.11) și din condiția (7.4). Limitele constituie două drepte paralele în planul având pe axe cele două nivele sau amplitudini impuse. Pentru cazurile de mai sus, graficele rezultate sunt prezentate în fig. 7.7 [22]. Pentru alte cazuri, ele se pot deduce în modul arătat.

Cu ajutorul graficelor se poate verifica simplu dacă circuitul integrator poate furniza semnalele dorite de utilizator.

În scopul comandării frecvenței semnalelor generate de circuitul BE565 au fost determinate [23] valorile extreme posibile ale tensiunii U_7 (egală aproximativ cu U_8) :

$$U_{7MIN} \cong 0,5(E_1 + E_2) + 1,5 \quad [\text{V}], \quad (7.12)$$

$$U_{7MAX} \cong E_1 - 0,2 \quad [\text{V}]. \quad (7.13)$$

Limita inferioară a rezistenței R se determină cu relația

$$R_{min} = \frac{E_1 - U_{7MIN}}{I_{max}} = \frac{E_1 - U_{7MIN}}{2,2} \quad [\text{k}\Omega], \quad (7.14)$$

unde s-a utilizat valoarea maximă de 2,2 mA a curentului generatorului de precizie.

Limita superioară a capacității condensatorului C care stabilește frecvența împreună cu rezistența R este

$$C_{max} = \frac{E_1 - U_{7MIN}}{2f_{max} \Delta u_0 R_{min}}. \quad (7.15)$$

Pentru o frecvență minimă f_{min} impusă generatorului rezultă limita superioară necesară a tensiunii de comandă

$$U_{7max} = E_1 - 2RCf_{min} \Delta u_0. \quad (7.16)$$

Dacă se utilizează o capacitate C cu valoare depărtată de aceea dată de relația (7.15), rezistența R trebuie să respecte condiția

$$R < \frac{E_1 - U_{7max}}{I_{min}} = \frac{E_1 - U_{7max}}{0,1} \quad [\text{k}\Omega]. \quad (7.17)$$

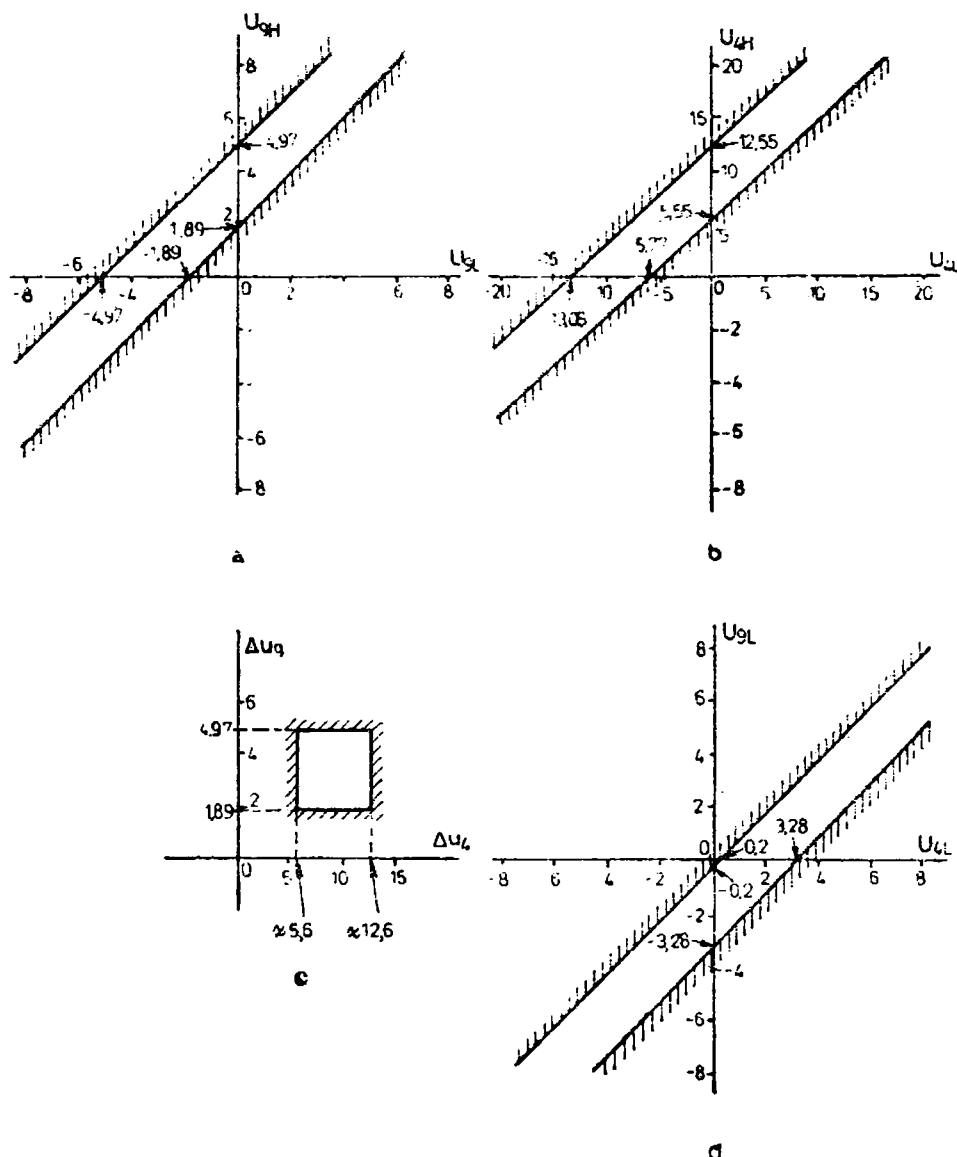


Fig. 7.7. Zonele admise pentru nivelele și amplitudinile semnalelor generatorului de funcții.

Întrucât curentul generatorului de precizie se poate modifica între două limite aflate în raport de cel mult 22, rezultă o condiție importantă pentru utilizarea integratorului βE565

$$\frac{f_{\max}}{f_{\min}} < 22. \quad (7.18)$$

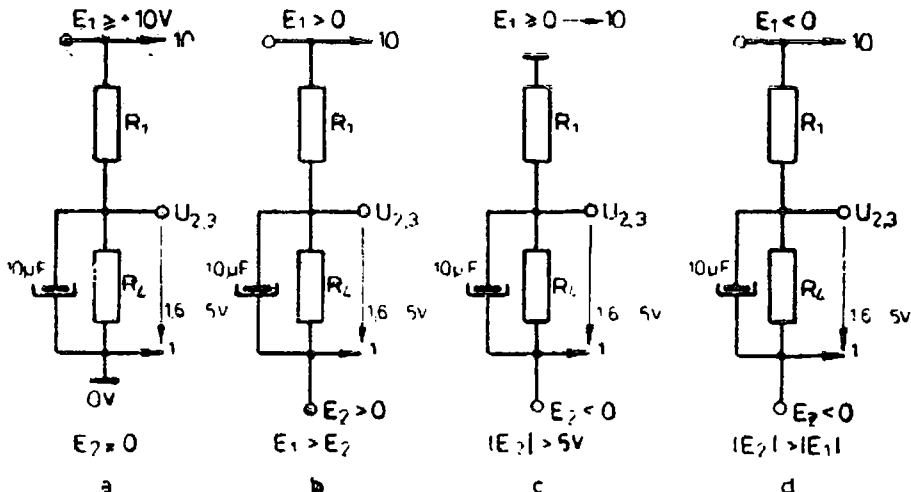


Fig. 7.8. Circuite de polarizare pentru intrările 2, 3.

În fig. 7.8 se prezintă patru dintre posibilitățile de polarizare a intrărilor 2 și 3 ale circuitului integrat corespunzătoare situațiilor :

- alimentare de la o singură sursă pozitivă E_1 : fig. 7.8, a,
- alimentarea de la două surse de tensiune pozitive ($E_1 > E_2$) : fig. 7.8, b,
- alimentare de la o sursă pozitivă și o sursă negativă E_2 cu valoarea absolută peste 5 V : fig. 7.8, c,
- alimentarea de la două surse negative ($|E_2| > |E_1|$) : fig. 7.8, d.

Un al cincilea caz ar fi acela cind E_1 este pozitivă, iar E_2 — negativă dar cu valoare absolută $1,6 \text{ V} < |E_2| < 5 \text{ V}$, cind intrările 2,3 se leagă la masă (0 V) prin rezistențele R_2 , R_3 .

Se poate constata că în toate cazurile potențialul aplicat la intrările 2,3 (prin rezistențele R_2 , R_3 , de $4,5 \dots 5,1 \text{ k}\Omega$ în mod obișnuit) trebuie să fie cu $1,6 \text{ V} \dots 5 \text{ V}$ mai mare decât cel al pinului 1 al circuitului integrat (care se conectează la masă ori la E_2).

Pentru ca semnalele de ieșire să aibă amplitudinile calculate și frecvența impusă, cele două ieșiri (4 și 9) nu pot fi încărcate cu rezistențe de sarcină reduse. Astfel, ieșirea de la terminalul 9 se face prin repetor dacă sarcina nu prezintă rezistență foarte mare, iar ieșirea de la terminalul 4 se poate încărca numai cu rezistențe mai mari de $50 \text{ k}\Omega$.

Dacă nivelele obținute pentru semnalele de ieșire ale circuitului integrat 8E565 nu corespund direct celor cerute de sarcină (acestea din urmă intră în cimpurile admise din (fig. 7.7), ele pot fi convertite în nivelele necesare cu ajutorul unui amplificator operațional (cind nu intervine limitarea din cauza vitezei de urmărire a acestuia).

Tot printr-o conversie de domeniu (vezi paragraful 2.1) se poate realiza domeniul de tensiune U_t necesar, plecând de la un domeniu al tensiunii de comandă U_c dat [14]. Înțînd cont de sensul de modificare al frecven-

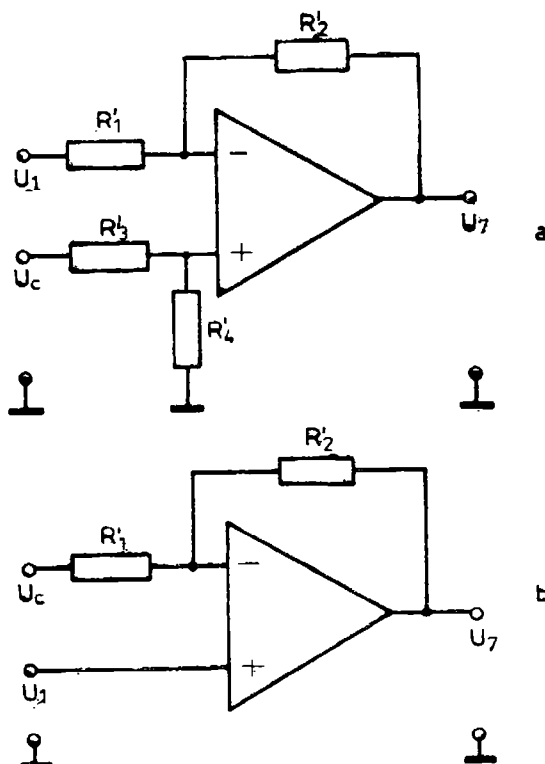


Fig. 7.9. Scheme de principiu ale convertorului de domeniu de tensiune.

ței semnalului triunghiular și rectangular în funcție de sensul de modificare al tensiunii de comandă U_c , se folosește unul sau altul dintre convertoarele de domeniu din fig. 7.9. Cel din fig. 7.9, a se utilizează cind frecvența trebuie să scadă la creșterea tensiunii U_c , iar cel din fig. 7.9, b — cind frecvența trebuie să crească o dată cu tensiunea U_c .

Dintre datele de catalog ale circuitului βE565 interesează aici :

- diferența tensiunilor de alimentare : 10 ... 24 V,
- amplitudinea semnalului triunghiular 1,9 ... 5 V,
- amplitudinea semnalului rectangular : 5,6 ... 12,6 V,
- factorul de umplere al semnalului dreptunghiular : 40 ... 60% (tipic 50%),
- frecvența maximă de lucru a oscilatorului comandat în tensiune (OCT) : $f_{M,A,x} = 500 \text{ kHz}$,
- curentul constant de la intrarea 8 : $I = 0,1 \dots 2,2 \text{ mA}$,
- raportul maxim între frecvențele extreme ale unei game : $f_{\max}/f_{\min} < 22$,

— curentul de alimentare de la surse :

$$I_{E1,2} = 8 \dots 10 + 0,85 (E_1 - E_2 - 10) \text{ [mA]}, \quad (7.19)$$

— tempii de creștere și de cădere ai semnalului dreptunghiular : 20 ns și 50 ns,

— domeniul temperaturilor de funcționare : 0 ... +70 °C.

Deoarece în catalog nu sunt date dispersiile posibile ale nivelor celor două semnale, la realizarea unui generator de funcții concret acestea nu se pot lua în considerare în calcule și vor rezulta inexactități ale limitelor domeniului de frecvență. În majoritatea cazurilor, nivelele semnalelor și limitele frecvenței trebuie ajustate experimental :

— nivelele, prin intermediul tensiunilor E_1 , E_2 ,

— extremele frecvenței, prin tensiunea fixă U_1 și amplificarea de tensiune de la convertorul de domeniu.

Calculul amănuntit al unui generator de funcții este prezentat în [14]. Se vor folosi însă relațiile nivelelor și amplitudinilor (7.6) .. (7.11) care sunt mai exacte.

In fig. 7.10 se prezintă un generator de funcții realizat cu circuitul integrat $\beta E565$ și un convertor de domeniu pentru tensiunea de comandă U_c .

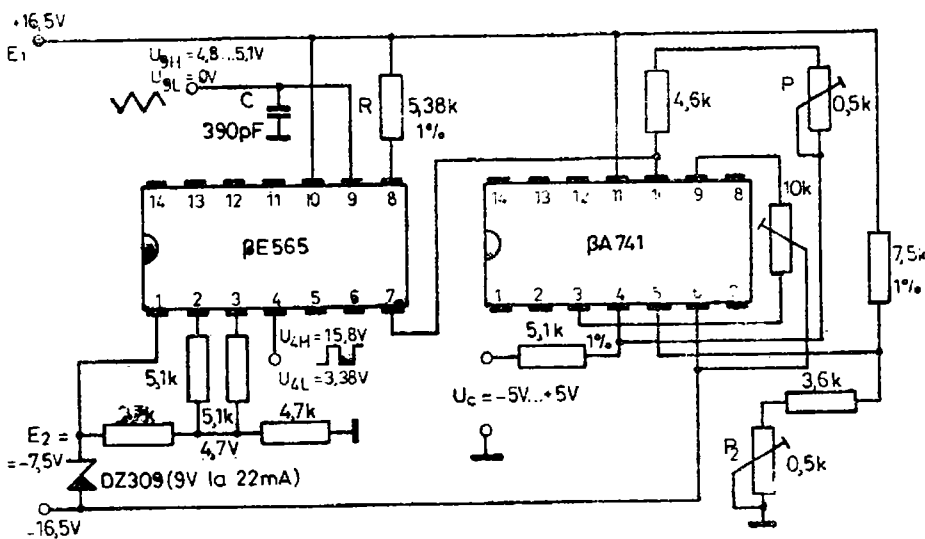


Fig. 7.10. Schema concretă a unui generator de funcții cu $\beta E565$.

cu amplificator $\beta A741$. Tensiunea de alimentare $E_2 = -7,5$ V a fost obținută prin reducerea, cu dioda stabilizatoare, de 9 V (selectată) a tensiunii negative de alimentare a amplificatorului operațional. Nivelele celor două semnale sunt marcate pe figură. În afară de echilibrarea amplificatorului $\beta A741$, au mai fost prevăzute două reglaje pentru convertorul de domeniu în scopul ajustării limitelor frecvenței pentru extremele date ale tensiunii de comandă.

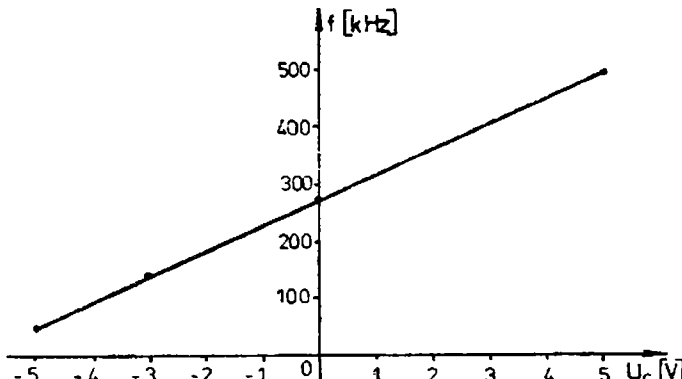


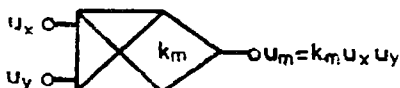
Fig. 7.11. Caracteristica frecvență-tensiune a generatorului de funcții.

Pentru $U_c = -5 \dots +5$ V, circuitul furnizează semnale cu frecvență variabilă liniar între 50 kHz ... 500 kHz (fig. 7.11). Integratul **NE565** a fost selectat pentru ca factorul de umplere al semnalului rectangular să fie 50%.

7.3. APlicații ale multiplicatorului analogic ROB8095

Multiplicatorul este un circuit analogic care efectuează produsul a două (sau mai multe) semnale de intrare. Simbolul lui este indicat în fig. 7.12.

Fig. 7.12. Simbolul multiplicatorului analogic.



Tensiunile de intrare pot fi atât pozitive, cât și negative. Dacă $-u_x > 0, u_y > 0$ ($u_x < 0, u_y < 0$), multiplicatorul lucrează într-un singur cadran — cadranul I (cadranul III) al sistemului de axe rectangulare u_x, u_y ;

— $u_x \geq 0, u_y > 0$ ($u_x > 0, u_y \geq 0$), multiplicatorul lucrează în două cadre, I și II (I și IV);

— $u_x \geq 0, u_y \geq 0$, multiplicatorul lucrează în toate cele 4 cadre.

Dacă una din mărimele de intrare este constantă, tensiunea de ieșire u_m este direct proporțională cu cealaltă mărime, multiplicatorul devenind practic un amplificator.

În funcție de principiul de realizare, multiplicatoarele se pot clasifica în multiplicatoare cu lege pătratică, multiplicatoare cu efect Hall, multi-

plicatoare cu modulare în amplitudine și în durată, multiplicatoare cu sumare logaritmică și multiplicatoare cu transconductanță variabilă. Fiecare tip are avantaje și dezavantaje specifice situației concrete de utilizare; ultimul tip, cel bazat pe transconductanță variabilă a tranzistorului bipolar, este cel mai mult utilizat din cauza unor avantaje ce vor fi specificate mai jos.

7.3.1. MULTIPLICATOR CU TRANSCONDUCTANȚĂ VARIABILĂ

Se consideră amplificatorul diferențial din fig. 7.13, cu două particularități funcționale: a) tensiunea u_x aplicată la intrare este mult mai mică

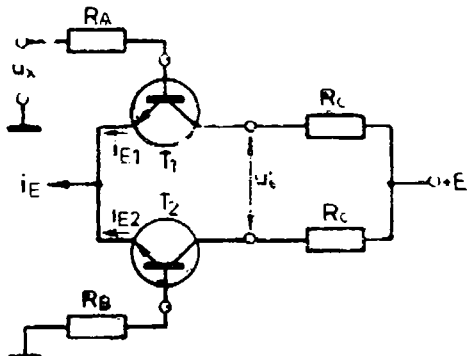


Fig. 7.13. Multiplikator cu transconductanță variabilă. Celula de bază.

decit căderea de tensiune pe joncțiunea emitoare; b) curentul sumă $i_B = i_{E1} + i_{E2}$ este un curent constant, datorat unei surse de curent constant conectată între emitorul comun și masă.

Se poate arăta [4, 2] că

$$\Delta i_{C1} - \Delta i_{C2} = i_E \cdot \frac{u_x}{2U_T}. \quad (7.20)$$

În condițiile în care amplificatorul din fig. 7.13 comandă un circuit cu impedanță mare de intrare, de exemplu, un amplificator integrat, rezistența dinamică de sarcină a fiecărui tranzistor este R_C . Deci

$$R_C (\Delta i_{C1} - \Delta i_{C2}) = u'_e = \frac{i_E R_C}{2 U_T} \cdot u_x, \quad (7.21)$$

de unde

$$u'_e = S \cdot u_x, \quad (7.22)$$

cu notația

$$S = \frac{R_C i_E}{2 U_T}, \quad (7.23)$$

iar S poartă numele de „transconductanță tranzistorului“.

Valoarea transconductanței tranzistorului se modifică prin intermediul curentului comun i_B cu ajutorul unui generator de curent constant comandat în tensiune. Pentru $i_B = k u_y$ rezultă

$$u'_e = k_m u_x u_y, \quad (7.24)$$

unde

$$k_m = K \cdot R_G / (2U_T). \quad (7.25)$$

Funcționarea schemei din fig. 7.13 ca multiplicator cu transconductanță variabilă (valabilitatea relației (7.20)) depinde de îndeplinirea particularității funcționale „a“, de simetria celor două tranzistoare și de posibilitatea neglijării curentilor de bază în comparație cu curentii de colector. Multiplicarea analogică, pe principiul enunțat, este afectată, însă, de erori.

O primă sursă de erori, la temperatură constantă, o constituie alura caracteristicii curent-tensiune a jonctiunii emitoare pe porțiunea inițială. Relația (7.20) este valabilă pentru o joncțiune suficient de deschisă; în realitate

$$u'_e = k_m u_x u_y \left(1 + \frac{2I_0}{I_s} \right), \quad (7.26)$$

cu k_m exprimat cu relația (7.25) și I_0 — curentul rezidual al jonctiunilor emitoare.

Relația (7.26) arată clar că, dacă nu se lucrează cu joncțiunea în conducție, apare o eroare suplimentară egală cu $2I_0/i_s$. Se poate evita eroarea printr-o polarizare suplimentară ce aduce joncțiunea în conducție sătisfăcătoare; se face, deci, prepolarizarea tranzistorului (fig. 7.14).

În prezența prepolarizării cu U_0 , la $u_y = 0$, se produce deplasarea punctului static de funcționare al tranzistorului din origine — P_{f0} în fig. 7.15 —

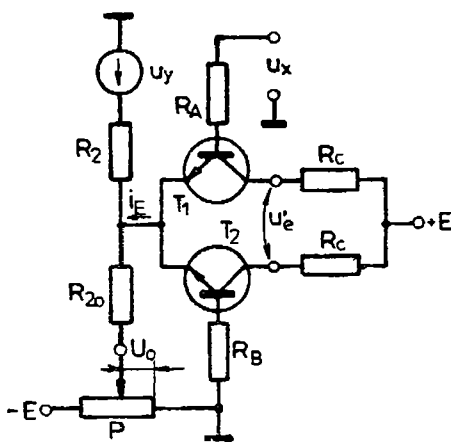


Fig. 7.14. Multiplicator cu prepolarizarea tranzistoarelor.

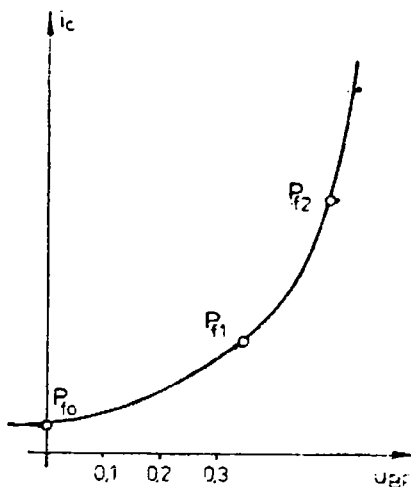


Fig. 7.15. Poziționarea punctului static de funcționare pe caracteristica de transfer a tranzistorului bipolar cu jonctiuni.

în punctul P_{f2} (de preferat) în zona deschiderii complete a joncțiunii. În ipoteza că $R_2 = R_{20}$ și $u_x = 0$ rezultă

$$u'_e = \frac{R_t}{R_2} \cdot \frac{1}{U_T} (u_x u_y + U_p u_x), \quad (7.27)$$

cu

$$U_p = U_0 - 2 U_{BE}. \quad (7.28)$$

Se notează

$$k'_m = \frac{R_t}{R_2} \cdot \frac{1}{U_T}; \quad k''_m = k'_m U_p \quad (7.29)$$

și relația (7.27) se poate scrie, în final, în forma

$$u'_e = k'_m u_x u_y + k''_m u_x. \quad (7.30)$$

Termenul cu k''_m se poate elimina prin introducerea unui circuit electronic suplimentar (fig. 7.17).

Variatia temperaturii mediului ambiant reprezinta cea de a doua sursă de erori și cea mai importantă. Coeficientul de multiplicare k_m (sau k'_m și k''_m) este puternic dependent de temperatură atât direct, prin U_T , cât și indirect, prin variația curentului de emitor. Diminuarea efectului variației temperaturii se poate face în două moduri: folosind tranzistoare termostatare, sau folosind etaje diferențiale multiple cu autocompensarea efectului temperaturii [2].

În primul caz se folosește circuitul integrat $\beta A726$ care conține două tranzistoare npn total independente și o oglindă de curent simplă (prezentat în paragraful 2.2 — fig. 2.4). În cip există și un circuit regulator care menține constantă temperatura substratului în raport cu variațiile temperaturii mediului ambiant; acesta este izolat electric de cele două tranzistoare și oglinda de curent.

Cele două tranzistoare termostatare, cu caracteristici practic identice, sunt folosite pentru realizarea unui multiplicator analogic cu performanțe bune (fig. 7.16).

Amplificatorul operational diferențial de ieșire are un dublu rol: de a transforma ieșirea simetrică a etajului diferențial-multiplicator în ieșire nesimetrică și de a realiza semnal unificat la ieșire (semnal unificat înseamnă valoare absolută maximă identică la toate semnalele cu care lucrează circuitul). Concomitent însă, pentru a nu afecta funcționarea etajului diferențial cu $\beta A726$, amplificatorul integrat folosit trebuie să lucreze cu curenți foarte mici pe intrări; deci, nu poate fi utilizat un amplificator integrat oarecare ci se recomandă circuitul $\beta M108$, având curent de polarizare pe intrări de 3 nA [11].

Prin raportul

$$R_A / (R_{A0} + R_A) = 1/607,06 \quad (7.31)$$

se realizează un semnal maxim de $\pm 8,24$ mV în baza tranzistorului T , la un semnal $U_{xM} = 5$ V. Se asigură astfel, îndeplinirea particularității func-

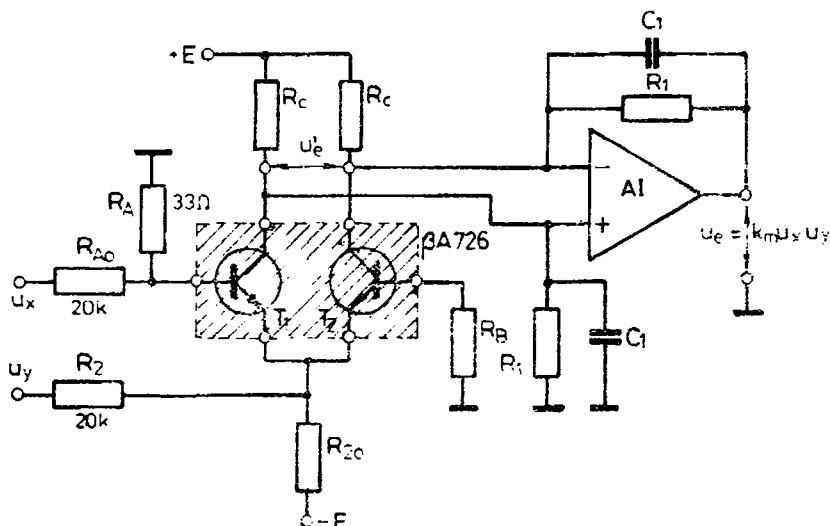


Fig. 7.16. Multiplicator cu transconductanță și termostatarea tranzistorilor.

tionale „a“ de mai sus. La un semnal unificat de 5 V, adică pentru $|U_x| = |U_y| = 5$ V, cu o ajustare a valorii rezistorului extern R_1 se poate obține $k_m = 0,2 \pm 0,1\%$.

Sursele de semnal u_x și u_y influențează direct asupra preciziei coeficientului de multiplicare. La o rezistență de intrare $R_{x0} = R_2 = 20$ k Ω , o rezistență exterioară de 20Ω — rezistență interioară a surselor de semnal — afectează cu $0,1\%$ precizia factorului k_m .

Pentru $-5\text{ V} \leq u_x, u_y \leq +5\text{ V}$, eroarea multiplicatorului (inclusiv linearitatea, suprimarea zeroului, eroarea de fixare a lui k_m și mărimile de decalaj) este de $\pm 0,8\%$ la temperatura mediului ambiant de $+25^\circ\text{C}$ și $k_m = 0,2$. Variația cu temperatura este de $0,5\%$ pentru fiecare $\pm 10^\circ\text{C}$. Valorile $-10\text{ V} \leq u_x, u_y \leq +10\text{ V}$ sunt acceptate, însă cu performanțe mai slabe [2].

Folosind circuitul integrat βA726 se pot îmbunătăți performanțele multiplicatorului pe următoarele căi (fig. 7.17) :

- se micșorează substanțial rezistențele interne ale surselor de semnal u_x și u_y cu ajutorul amplificatoarelor operaționale repetoare cu AI_x și AI_y ;

- se prepolarizează tranzistoarele din βA726 cu $+U_p$;

- se elimină termenul $k''_m u_x$ din relația (7.30) folosind amplificatorul operațional sumator realizat cu AT_s (semireglabilele P_3 și P_4 permit ajustarea fină pentru anularea termenului de mai sus) ;

- se compensează asimetriile în tensiune la jonctiunile emitoare ale tranzistoarelor termocompensate cu potențiometrul P_1 și concomitent se realizează corecția de zero pe intrarea lui u_x ;

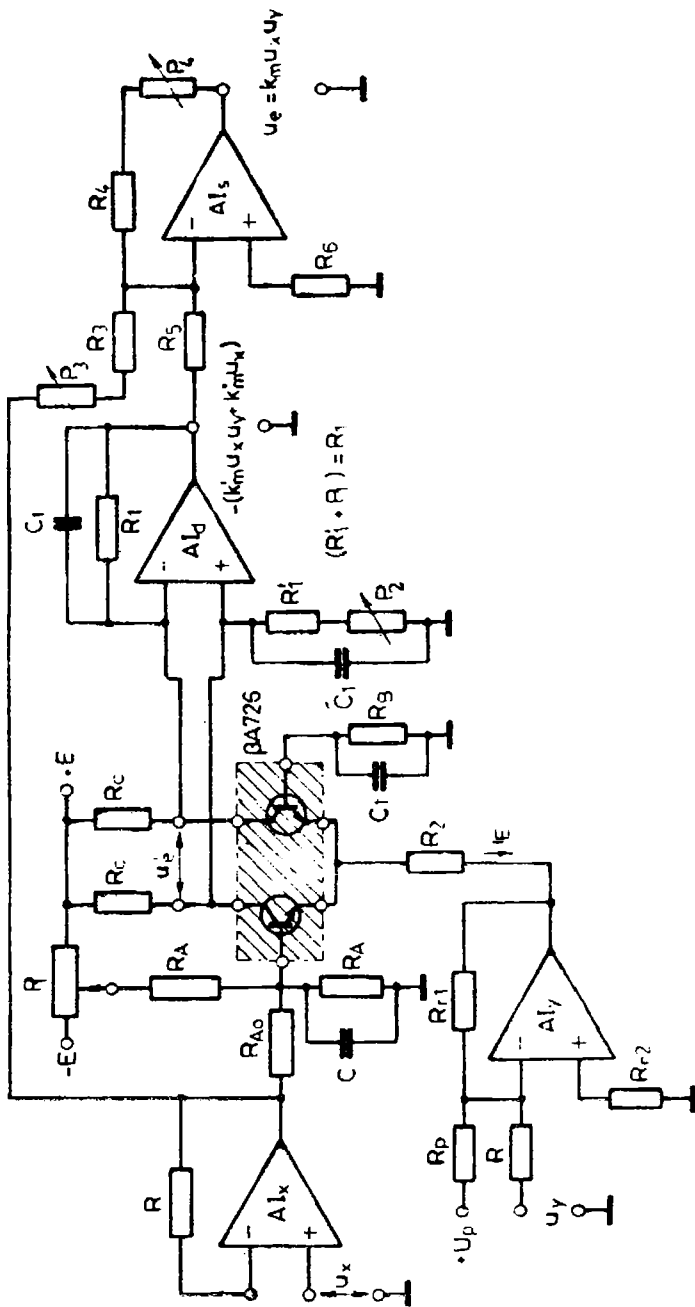


Fig. 7.17. Multiplicator cu transconductanță și termostatarea tranzistoarelor cu performanțe îmbunătățite.

— se echilibrează tensiunile de ieșire de mod comun ale celor două tranzistoare termocompensate cu ajutorul potențiometrului P_2 , realizindu-se totodată și corecția de zero pe intrarea lui u_y .

Amplificatoarele integrate AI_x , AI_y , AI_z sunt de tipul uzual — $\beta A741$, $ROB101$, $ROB709$ — iar AI_d de tipul $\beta M108$.

Montajul din fig. 7.17 asigură o precizie de $\pm 0,3\%$ pentru semnal $-5 \text{ V} \leq u_x, u_y \leq +5 \text{ V}$ și $k_m = 0,2$, iar stabilitatea cu temperatură este de $\pm 0,3\%$ pentru $\Delta\theta = \pm 10^\circ\text{C}$.

Schema de principiu a multiplicatorului cu transconductanță cu etaje diferențiale multiple cu autocompensarea efectului temperaturii este dată în fig. 7.18 (în literatura de specialitate, schema din fig. 7.18 este denumită și „celula Gilbert“) [4, 2, 15]. Etajul diferențial cu tranzistoarele T_3 și T_4 și generatorul de curent constant comandat în tensiune, realizat cu T_1 , formează celula multiplicatoare de bază. Tranzistorul T_5 lucrează cu aceeași rezistență de colector ca și T_4 , însă comanda lui în bază e aceeași cu comanda lui T_3 . Similar lucrează T_6 cu T_3 . Etajul diferențial cu T_5 , T_6 are generatorul de curent constant realizat cu T_2 .

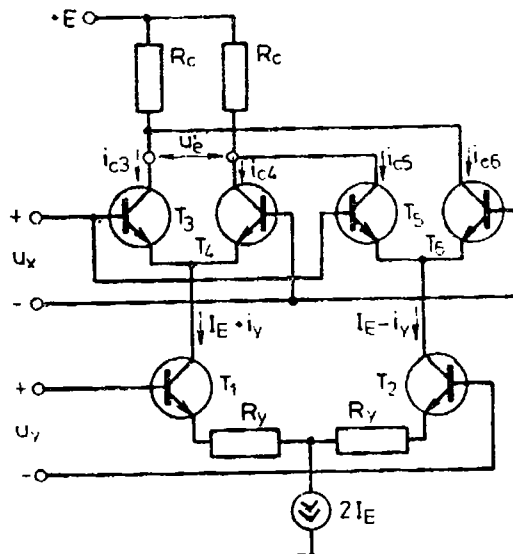


Fig. 7.18. Multiplicator cu transconductanță și etaje diferențiale multiple (celula Gilbert).

În ipoteza că tranzistoarele T_3 , T_4 , T_5 și T_6 sunt identice, la $u_y = 0$ (comandă nulă a generatoarelor de curent), rezultă :

$$\begin{aligned} i_{c1} &= I_{E34} = i_{c2} = I_{E56} = I_E \\ i_{c3} &= i_{c4} = i_{c5} = i_{c6}. \end{aligned} \quad (7.32)$$

și deci, transconductanțele celor două etaje diferențiale sunt identice. Deoarece acestea sunt conectate în opozitie, înseamnă că, la orice $u_x = 0$, tensiunea de ieșire u_e este nulă (aceea ce se poate explica și prin aceea că, la $u_y = 0$, variațiile de curent de colector se compensează reciproc, două cîte două).

Variațiile temperaturii mediului ambiant acționează simultan asupra celor două etaje diferențiale (efectele reprezintă semnal de mod comun); la $u_x = 0$ și $u_y = 0$ variațiile de curent de colector rezultate se anulează reciproc și u_e' este practic nulă. Se poate afirma că, chiar dacă influența variației temperaturii nu este complet eliminată, este, totuși, substanțial diminuată.

Dacă $u_y \neq 0$, curenții de colector i_{C1} și i_{C2} nu mai sunt egali, iar transductanțele celor două etaje diferențiale sunt inegale. Deoarece curenții prin R_C rămân constanți, creșterea unei transconductanțe atrage după sine micșorarea celeilalte. Diferența variațiilor de curent prin tranzistoarele cuplate la cîte un R_C va fi conform celor de mai sus, echivalentă variației care ar fi avut loc printr-un singur tranzistor cu transconductanță medie.

Tinind cont că $i_y = u_y / (2R_y)$ și că $u_x \ll U_T$, tensiunea de ieșire a celei multiplikatorare este [4]

$$u_e' \cong \frac{1}{2} \cdot \frac{R_\sigma}{R_y} \cdot \frac{1}{U_T} \cdot u_x, \quad u_y \left(1 - \frac{1}{12} \frac{u_x^2}{U_T^2} \right). \quad (7.33)$$

Se notează

$$k_m = \frac{1}{2} \cdot \frac{R_\sigma}{U_T R_y}, \quad \varepsilon = \frac{1}{12} \left(\frac{u_x}{U_T} \right)^2, \quad (7.34)$$

și se obține

$$u_e' = k_m \cdot u_x \cdot u_y (1 + \varepsilon), \quad (7.35)$$

cu $\varepsilon \ll 1$.

De exemplu, dacă $u_x < 12,8$ mV, eroarea ε este sub 1 %.

Pentru expandarea plajei de valori ale mărimi u_x , la liniaritate bună a celulci ($\varepsilon < 1\%$), se face compensarea neliniarității zonei de cot a caracteristicii de transfer — fig. 7.15 — cu ajutorul unui etaj diferențial, în care tranzistoarele au ca sarcină activă niște joncțiuni emitoare similare celor din diferențial (fig. 7.19).

După calcule rezultă o expresie asemănătoare cu (7.35)

$$u_e' = k_m u_x u_y (1 + \varepsilon'), \quad (7.36)$$

unde

$$k_m = \frac{R_\sigma}{R_x R_y} \cdot \frac{1}{I_s} \quad \text{și } \varepsilon' \ll 1. \quad (7.37)$$

Datorită sarcinii active din colectorul tranzistorului T_9 , respectiv T_{10} (fig. 7.19), se realizează o compensare a neliniarității caracteristice de transfer a tranzistoarelor din celula multiplikatorare de bază, menținind valabilitatea relației $u_e' = k_m u_x u_y$, într-o gamă mai largă de valori pentru u_x . Astfel, se poate lucra cu semnal unificat de 10 V la aceeași eroare ca în cazul semnalului unificat de 5 V.

Montajul din fig. 7.19 este cel mai des folosit în realizarea multiplikatorelor integrate. Astfel, circuitul integrat ROB8095 prezentat ca structură în fig. 7.20, cu conexiunile la capsulă în fig. 7.21 și implementare în

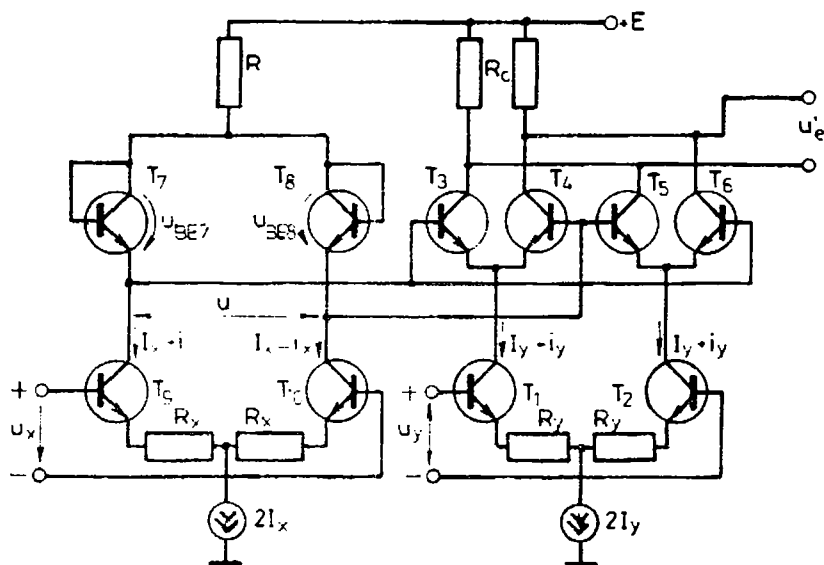


Fig. 7.19. Multiplicator cu transconductanță și etaje diferențiale multiple cu expandarea gamei dinamice de intrare.

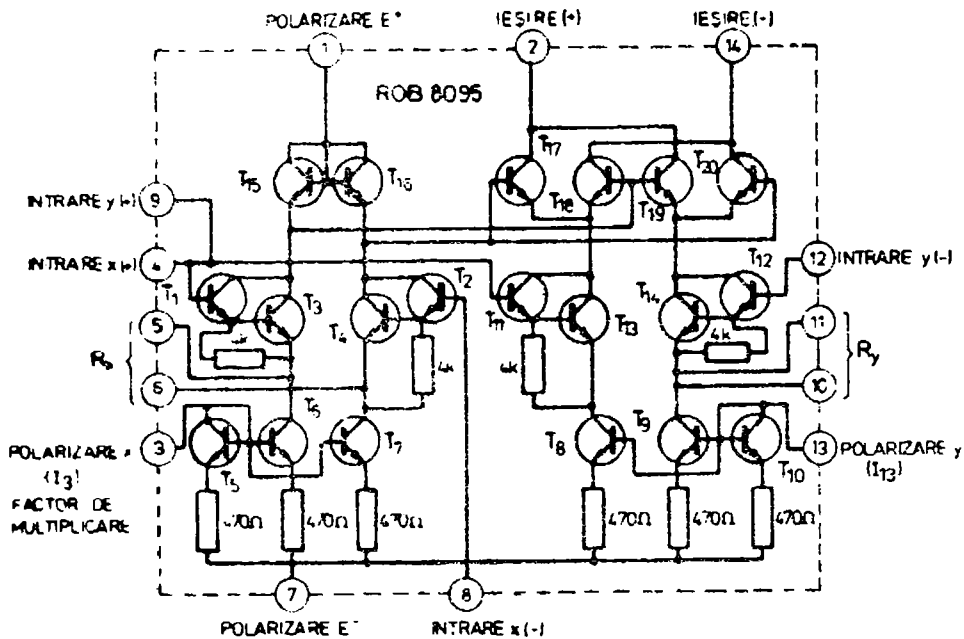


Fig. 7.20. Structura circuitului integrat ROB8095.

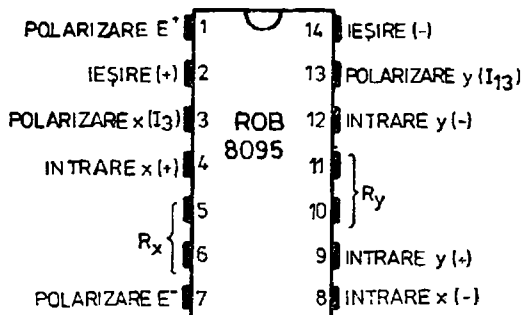


Fig. 7.21. Capsula integratului ROB8095 cu semnificația pinilor.

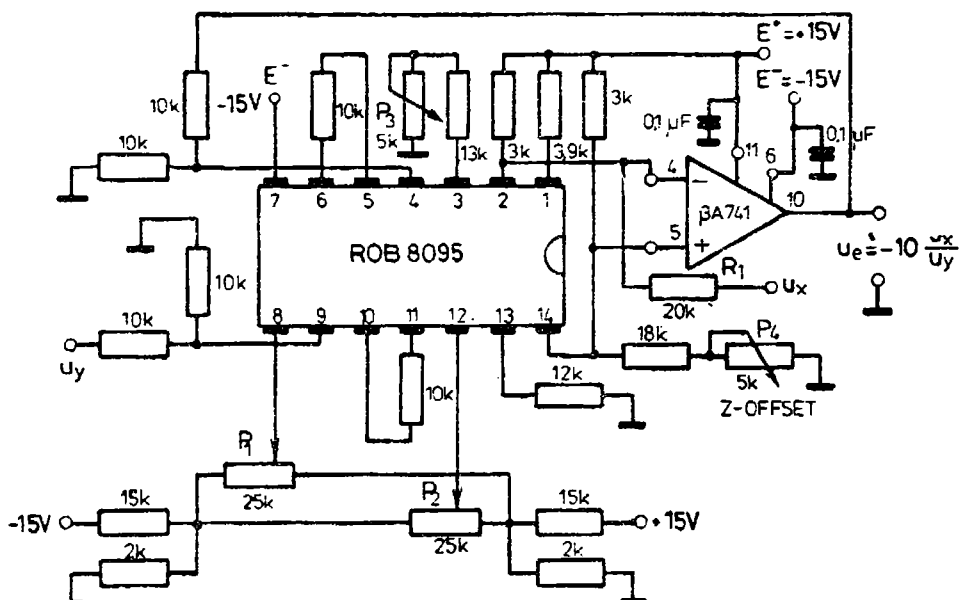


Fig. 7.22. Multiplicator analogic cu ROB8095.

montaj de multiplicator uzual în fig. 7.22, are la bază celula din fig. 7.19 cu următoarele modificări.

a. În loc de două rezistențe R_s și un generator de curent $2I_s$ se introduc două generatoare de curent I_s , tip oglindă de curent (cu tranzistoarele T_5 , T_6 , T_7 și T_8 , fig. 7.20) și o rezistență exterioară ($13\text{ k}\Omega$ și P_3) între pinul 3 și masă, fig. 7.22, cu rol și de calibrare al factorului de multiplicare.

b. Similar pentru generatorul de curent $2I_y$, (cu T_8 , T_9 și T_{10} , fig. 7.20) și o rezistență exterioară de $12\text{ k}\Omega$ între pinul 13 și masă, fig. 7.22.

c. Rezistențele R_s și R_c din fig. 7.19 nu sunt incluse în ROB8095 ; ele sunt externe circuitului integrat și se aleg ca valoare în funcție de tensi-

unile de alimentare folosite în circuitele electronice în care se implementă multiplicatorul analogic. Pentru $E_1^+ = +32$ V, $E_2^- = -15$ V, $T_T = 25^\circ\text{C}$, $R_s = R_r = 15 \text{ k}\Omega$, $I_3 = I_{13} = 1 \text{ mA}$, $R = 9,1 \text{ k}\Omega$, $R_g = 11 \text{ k}\Omega$. Pentru $E_1^+ = +15$ V, $E_2^- = -15$ V, valorile sint cele din fig. 7.22.

Montajul uzual de multiplicator cu ROB8095 (fig. 7.22) prezintă 4 posibilități de corecție :

- corecția de zero pe intrarea u_x cu P_1 (x OFFSET),
- corecția de zero pe intrarea u_y cu P_2 (y OFFSET),
- corecția factorului de multiplicare k_m cu P_3 ,
- corecția de zero a semnalului de ieșire u_z cu P_4 (z OFFSET).

Caracteristicile principale ale multiplicatorului analogic cu ROB8095 sint :

- factor de multiplicare : $k_m = 0,1$,
- eroarea de liniaritate pentru $-10 \text{ V} \leq u_x, u_y \leq +10 \text{ V} : \pm 2\%$,
- rezistența de intrare la $f_s = f_g = 20 \text{ Hz} : R_{inx} = R_{iny} = 20 \text{ M}\Omega$,
- curent de polarizare la intrare : $I_{Bx} = I_{By} = 2 \dots 12 \mu\text{A}$,
- curent de alimentare : $I_7 = 7 \text{ mA}$,
- frecvența limită a semnalului de prelucrat : $f_{xlim} = f_{ylim} = 3 \text{ MHz}$,
- putere disipată pe capsulă : 800 mW.

Multiplicatorul analogic se folosește în plus într-un număr mare de aplicații, dintre care se pot evidenția : circuit divizor analogic, circuit extractor de radical, circuit modulator — demodulator, convertoare tensiune-frecvență, circuite de măsurare a puterii efective etc. Se vor trata, în cele ce urmează, primele trei aplicații.

7.3.2. DIVIZORUL ANALOGIC

Împărțirea valorilor a două tensiuni — divizarea — se realizează cu ajutorul unui amplificator integrat uzual care are în reacție negativă un multiplicator analogic (fig. 7.23); se obține astfel un amplificator operational divizor. Notindu-se cu $\pm \Delta U_m$ eroarea de calcul a multiplicatorului, se poate scrie

$$u_e = - \frac{1}{k_m} \left(\frac{u_x}{u_y} \cdot \frac{R_2}{R_1} \pm \frac{\Delta U_m}{u_y} \right). \quad (7.38)$$

Se observă că termenul liber — termenul de eroare al divizorului — crește valoric cu scăderea valorii împărtitorului u_y , ajungând la limită (pentru $u_y = 0$) infinit de mare. Se notează cu u_{yM} valoarea maximă a împărtitorului la care încearcă să corespundă eroarea ϵ_{min} și cu ϵ — eroarea la o valoare curentă u_y ; rezultă

$$\frac{\epsilon_{min}}{\epsilon} = \frac{u_y}{u_{yM}}. \quad (7.39)$$

Reprezentarea grafică a dependenței $\epsilon_{min}/\epsilon = f(u_y/u_{yM})$ din fig. 7.24 indică mai sugestiv limitarea puternică a valorii împărtitorului în efectuarea operației de divizare. Din această cauză, precizia unui modul de divizare este definită pe 2—3 domenii distințe ale valorii tensiunii împăr-

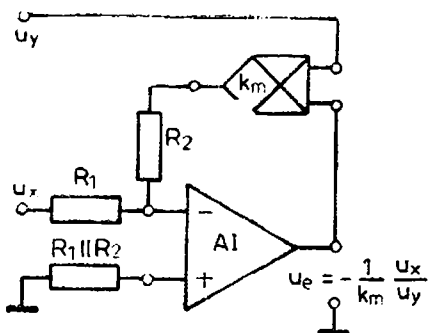


Fig. 7.23. Amplificator operațional di-vizor.

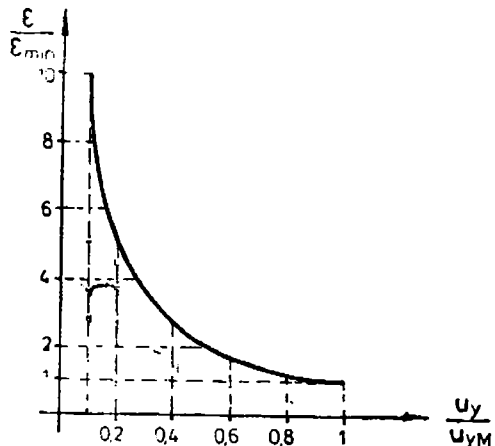


Fig. 7.24. Dependență erorii de calcul a divizorului de valoarea împărțitorului.

țitoare. Cea mai scăzută este, în mod obișnuit, 10—15 % din valoarea maximă.

Raportul R_2/R_1 se alege conform cu necesitățile de scalare ale montajului. Astfel, domeniul maxim al tensiunii de ieșire u_{yM} corespunde la u_{xM} și $0,15 u_{yM}$

$$\frac{R_2}{R_1} = k_m \cdot u_{eM} \cdot \frac{0,15 u_{yM}}{u_{xM}} \quad (7.40)$$

În fig. 7.25 este prezentată conectarea circuitului integrat ROB8095 în montaj de divizor analogic. Se observă că u_e se aplică la intrarea multiplificătoare a op-amp-ului BA741.

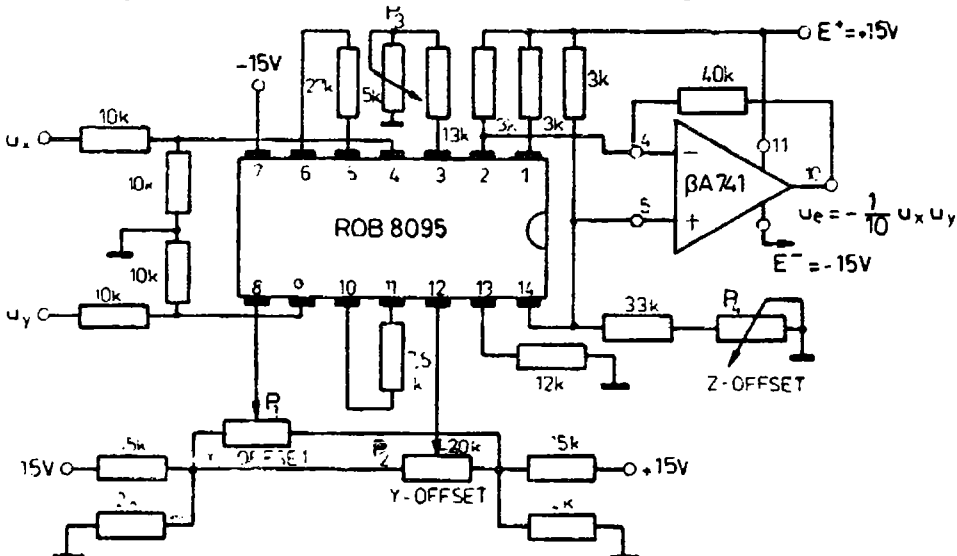


Fig. 7.25. Divizor analogic cu ROB8095.

tiplicatorului — pinul 4 — tot prin divizorul de $10\text{ k}\Omega$, iar deîmpărțitul u_x se aplică prin $R_1=20\text{ k}\Omega$. Rezistența R_2 din fig. 7.23 nu se mai introduce, deoarece există element special pentru corecția factorului de scală (semireglabilul P_3). Din datele multiplicatorului, pentru $|u_{xM}|=|u_{yM}|=10\text{ V}$ și $|u_{eM}|=10\text{ V}$, rezultă $\gamma_{min}=\frac{\epsilon_{min}}{|u_{eM}|}=0,04$.

7.3.3. EXTRACTORUL DE RADICAL

Extractorul de radical bazat pe multiplicator analogic constă dintr-un amplificator integrat care are în bucla de reacție negativă un multiplicator analogic (fig. 7.26). Cu notațiile din figură, se poate scrie

$$\frac{|u_x|}{R_1} = \frac{-k_m u_e^2 + \Delta u_m}{R_2} \quad (7.41)$$

sau, cu notația

$$\frac{R_2}{R_1} \cdot \frac{k_m}{k_m} = k. \quad (7.42)$$

rezultă

$$u_e = \sqrt{-ku_x} \cdot \sqrt{1 + \frac{R_1}{R_2} \cdot \frac{\Delta u_m}{u_x}}. \quad (7.43)$$

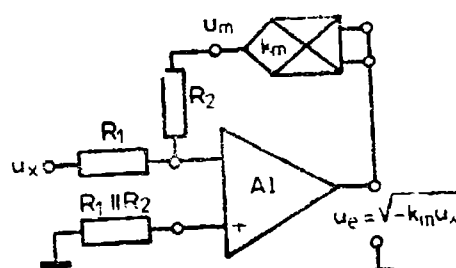
Calculul rădăcinii pătrate cu relația

$$u_e = \sqrt{-ku_x} \quad (7.44)$$

este afectat de o eroare ϵ cu atât mai mare cu cît u_x este mai redusă. Pentru $R_1=R_2=R$ și aproximarea radicalului al doilea din relația (7.43) cu o serie din care se rețin numai primii doi termeni, se obține

$$\frac{\epsilon}{\epsilon_{min}} \cong \sqrt{\frac{u_{xM}}{u_x}} \quad (7.45)$$

Fig. 7.26. Amplificator operațional extractor de radical.



Graficul expresiei (7.45) redă mai clar limitările impuse schemei din fig. 7.26 de valoarea tensiunii u_x (fig. 7.27). Se observă că, în comparație cu divizorul analogic, eroarea extractorului de radical crește mult mai încet cu scăderea tensiunii u_x . Cu alte cuvinte, dinamica extractorului de radical este mai mare decât cea a divizorului analogic, la aceeași precizie.

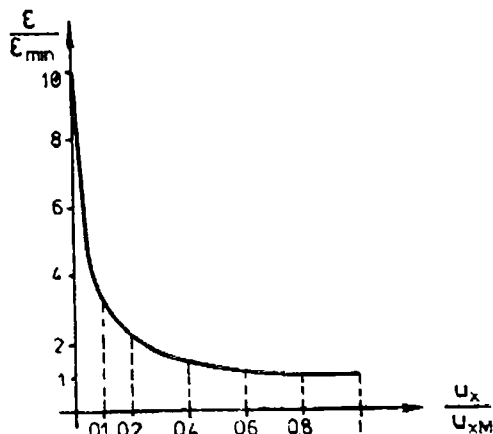


Fig. 7.27. Dependența erorii extractorului de radical de valoarea mărimii de sub radical.

Se poate arăta că eroarea extractorului de radical este de două ori mai mică decât eroarea multiplicatorului folosit în reacția negativă [2, 15].

In fig. 7.28 este prezentată conectarea circuitului integrat ROB8095 în montaj de extractor de radical. Din cauza legării celor două intrări x

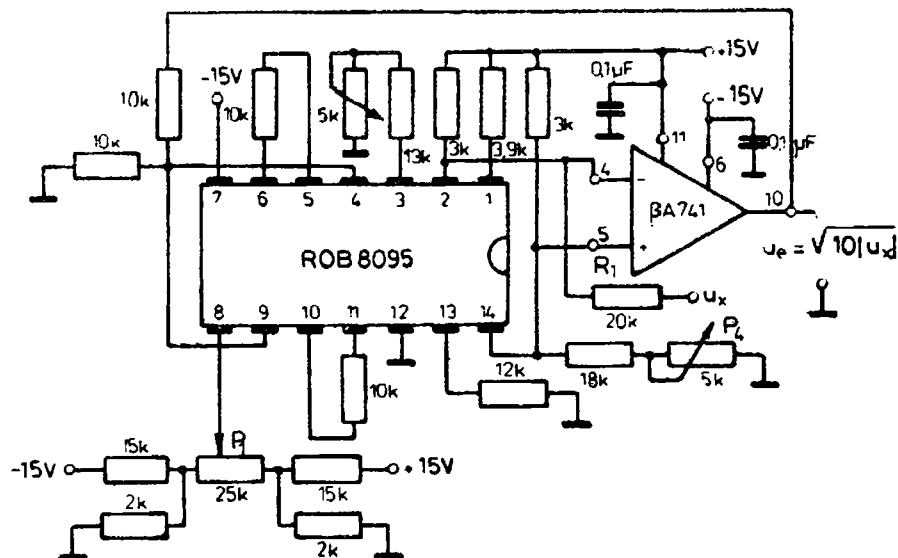


Fig. 7.28. Circuit extractor de radical cu ROB8095.

și y (pinii 4 și 9) la aceeași sursă de semnal — ieșirea amplificatorului integrat —, corecția de zero pe intrările multiplicatorului se face numai la pinul 8, iar pinul 12 se conectează la masă.

Tensiunea de prelucrat, u_x , se aplică intrării inversoare a amplificatorului integrat prin rezistență $R_1 = 20 \text{ k}\Omega$. R_2 nu se mai introduce, deoarece, ca și în cazul circuitului divisor din fig. 7.25, se poate ajusta capul de scală u_{eM} prin P_3 .

Ținând cont de datele multiplicatorului analogic cu ROB8095, pentru $u_{xN} = 10 \text{ V}$ și $u_{eM} = 10 \text{ V}$ rezultă $\gamma_{min} = e_{min} / u_{eM} = 0,02$.

7.3.4. CONVERTOR TENSIUNE-FRECVENȚĂ

Generatorul de semnal dreptunghiular cu frecvență comandată în tensiune (convertorul tensiune-frecvență) din fig. 7.29 folosește un multiplicator analogic, un amplificator operational integrator și un detector de prag (cu amplificator integrat AI_2).

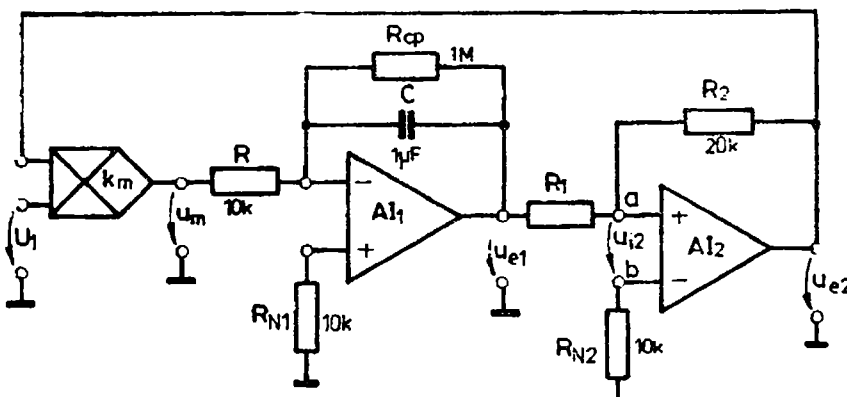


Fig. 7.29. Generator de semnal periodic dreptunghiular cu frecvență comandată în tensiune. Schema de principiu.

Detectorul de prag este un comparator cu histerezis, pragurile de declanșare fiind simetrice față de ordonată din cauza tensiunii $u_b = 0$. Mai întii se tratează separat acest etaj, fără a se ține cont de contribuția integratorului realizat cu AI_1 . Pentru sensurile tensiunilor din fig. 7.29.

$$u'_{e1} = -\frac{R_1}{R_3} U_{ei}, \quad i=m, M. \quad (7.46)$$

Cind u'_{e1} este pozitiv și mai mare decât pragul pozitiv al ciclului de histereză, $U_H/2$, ieșirea circuitului integrat basculează de la nivelul inferior U_{eM} la nivelul superior U_{eM} ($i=m$). Cind u'_{e1} este negativ și mai mic decât $U_H/2$ ieșirea circuitului integrat basculează de la nivelul superior la nivelul inferior ($i=M$).

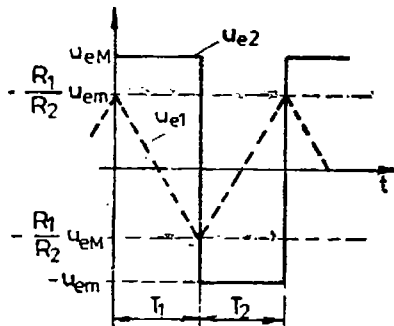
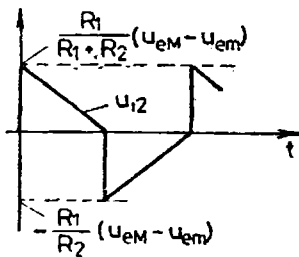


Fig. 7.30. Variația în timp a semnalelor în punctele importante funcțional ale circuitului din fig. 7.29.



Pe lîngă tensiunea U'_{e1} , pe durata $0 < t < T_1$ (fig. 7.30) acționează la intrarea detectoarei de prag și semnalul de ieșire al integratorului

$$u''_{e1} = -\frac{i}{RC} k_m U_1 U_{eM}. \quad (7.47)$$

cată constanță de integrare $RC \gg T_1$. Deci, la intrarea neinversoare a detectoarei de prag apare semnalul

$$u_{e1} = u'_{e1} + u''_{e1} = -\frac{R_1}{R_2} U_{em} - \frac{i}{RC} k_m U_1 U_{eM}, \quad (7.48)$$

care produce la bornele de intrare ale integratorului AI_2 tensiunea

$$u_{e2} = \frac{R_1}{R_1+R_2} (U_{eM} - U_{em}) - \frac{R_2}{R_1+R_2} \cdot \frac{i}{RC} \cdot k_m U_1 \cdot U_{eM}. \quad (7.49)$$

În momentul $t = T_1$, u_{e2} se anulează și se produce bascularea iesirii integratorului AI_2 de la U_{eM} la U_{em} . Rezultă

$$T_1 = RC \frac{R_1}{R_2} \cdot \frac{1}{k_m U_1} \left(1 - \frac{U_{em}}{U_{eM}} \right). \quad (7.50)$$

În mod similar, în momentul $t = T_2$ rezultă

$$T_2 = RC \frac{R_1}{R_2} \cdot \frac{1}{k_m U_1} \left(1 - \frac{U_{eM}}{U_{em}} \right). \quad (7.51)$$

Perioada semnalului dreptunghiular generat este

$$T = T_1 + T_2 = \frac{k}{U_1}, \quad (7.53)$$

$$k = \frac{R_1}{R_2} R C \frac{1}{k_m} \left(2 - \frac{U_{em}}{U_{em}} - \frac{U_{es}}{U_{em}} \right).$$

Pentru $U_{em} = U_{es}$ și $R_1 = R_2 = 20 \text{ k}\Omega$ se obține

$$k = 4 \cdot R C \cdot \frac{1}{k_m}. \quad (7.54)$$

Ca aplicație concretă, în fig. 7.31 se prezintă un convertor tensiune-frecvență ce folosește multiplicatorul analogic cu ROB8095 din fig. 7.2. Pentru a se măsura numărul de capsule de circuite integrate din montaj (în fig. 7.29 intervin 4 capsule) se folosește circuitul integrat 8M324. Performanțele fiecărui din cele 4 amplificatoare integrate sunt apropiate celor ale lui din 8A741 [11], astfel că ele pot fi folosite pentru realizarea operațiilor de amplificator diferențial pentru multiplicator, integrator și detector de prag pentru convertor.

Înăind cont că multiplicatorul analogic cu ROB8095 are $k_m = 0,1$, în fig. 7.31 se folosește $R = 10 \text{ k}\Omega$, $C = 1 \mu\text{F}$ și $R_1 = R_2 = 20 \text{ k}\Omega$, rezultă funcția de transfer a convertorului tensiune-frecvență

$$f = 100 U_1, \quad (7.55)$$

cu limita $f_{max} = 100 \text{ Hz}$ pentru $U_{1V} = 10 \text{ V}$.

7.4. MODULATOR-DEMODULATOR CU CIRCUIT INTEGRAT ROB025

Modulația în amplitudine — modulația liniară — este de fapt un proces de multiplicare a două semnale sinusoidale u_x și u_y , de frecvențe distante [4] :

$$\begin{aligned} u_x &= U_{em} \cos \omega_c t \\ u_y &= U_{ym} \cos \omega_m t \end{aligned} \quad (7.56)$$

$$\omega_c \gg \omega_m,$$

Semnalul u_x , de frecvență mai mare, poartă numele de „semnal purtător“, iar celelalte, u_y , — „semnal modulator“. La ieșirea multiplicatorului se obține

$$u_z = \frac{k_m \cdot U_{em} U_{ym}}{2} [\cos(\omega_c + \omega_m)t + \cos(\omega_c - \omega_m)t]. \quad (7.57)$$

care reprezintă un semnal modulat în amplitudine cu purtătoarea suprimită.

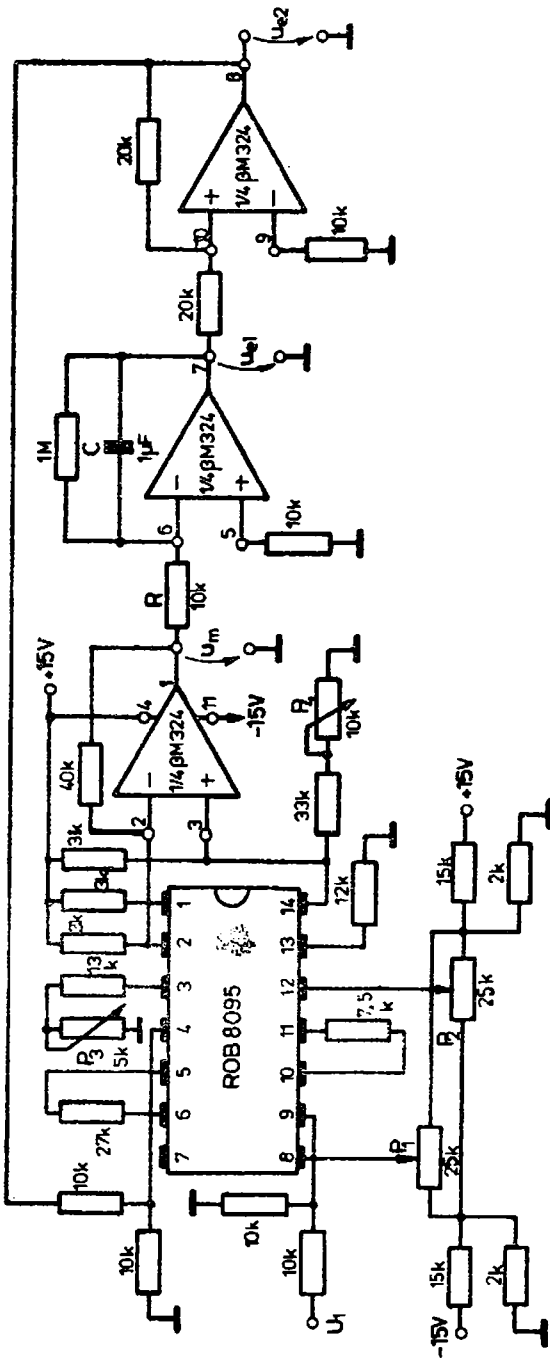


Fig. 7.31. Convertor tensiune-frecvență cu ROB8095 și constantă de conversie 100.

Amplitudinea acestui semnal depinde de variația amplitudinii semnalului purtător U_{x_m} . Pentru eliminarea acestui neajuns se transformă semnalul sinusoidal purtător într-o undă dreptunghiulară cu ajutorul unui amplificator limitator AL (fig. 7.32). Notând cu U_{xL} nivelul de limitare,

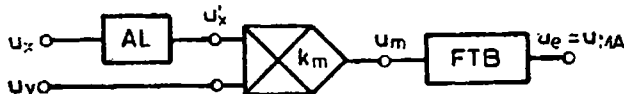


Fig. 7.32. Modulator în amplitudine. Schema bloc principală

cu U_{MA} semnalul modulat în amplitudine și cu A_F atenuarea introdusă de filtrul trece bandă se obține [4].

$$U_{MA} = \frac{4 \cdot k_m \cdot U_{ym} \cdot U_{xL} \cdot A_f}{\pi} [\cos(\omega_c + \omega_m)t + \cos(\omega_c - \omega_m)t]. \quad (7.58)$$

Prin multiplicarea semnalului modulat în amplitudine cu purtătoarea, în semnalul de ieșire U_m apar două benzi laterale față de dublul frecvenței purtătoare ($2\omega_c + \omega_m$; $2\omega_c - \omega_m$) și frecvența ω_m a semnalului modulator. Înlăturind cele două benzi laterale cu ajutorul unui filtru trece jos FTJ (fig. 7.33), se obține

$$U'_y = U'_{ym} \cos \omega_m t, \quad (7.59)$$

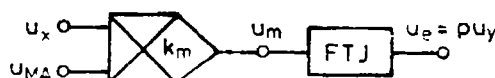
unde

$$U'_{ym} = A'_F k_m U_{xm} U_{MA} \quad (7.60)$$

$$U_{MA} = \frac{1}{\pi} \cdot 4 \cdot k_m U_{ym} U_{xL} \cdot A_f. \quad (7.61)$$

Semnalul rezultat s-a notat cu U'_y pentru că reprezintă semnalul modulator inițial însă la altă scară.

Fig. 7.33. Schema bloc principală a unui demodulator.



Schema din fig. 7.33 prezintă, deci, detecția sincronă a semnalului modulat în amplitudine (demodularea). La un semnal modulat în amplitudine cu ambele benzi laterale frecvenței purtătoare — modularea fiind realizată cu modulator dublu echilibrat — semnalul purtător poate fi obținut din semnalul modulat cu ajutorul unui amplificator și a unui limitator de nivel.

Din cele tratate mai sus se desprinde concluzia foarte importantă că multiplicatorul analogic joacă rolul esențial în procesul de modulare și demodulare în amplitudine. Având ca element de bază celula multiplicatoare din fig. 7.19, s-au realizat circuite integrate monolitice modulator-demodulator dublu echilibrat de tipul ROB025.

Pe lîngă celula multiplicatoare, integratul ROB025 conține un etaj înel cu impedanță mică de ieșire și o rețea de compensare cu temperatură și cu variațiile surselor de alimentare.

În fig. 7.34 sunt indicate cele două variante de capsule pentru ROB025

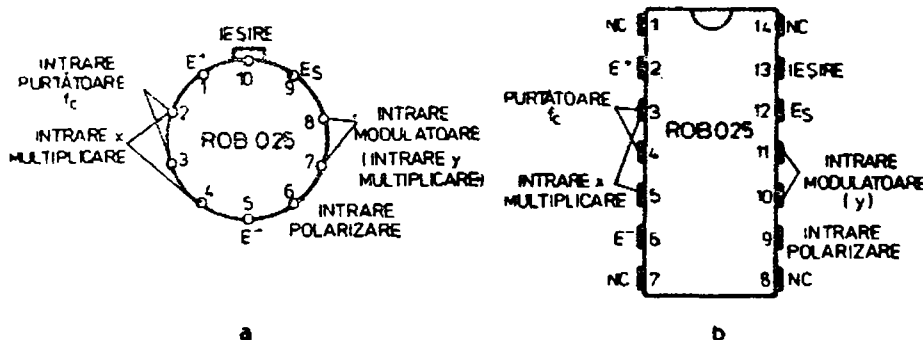


Fig. 7.34. Capsula circuitului integrat ROB025 cu semnificațiiile pinilor :
a — capsula TO-100 ; b — capsula DIL 14.

În tabelul 7.1 sunt indicați parametrii principali ai circuitului integrat ROB025.

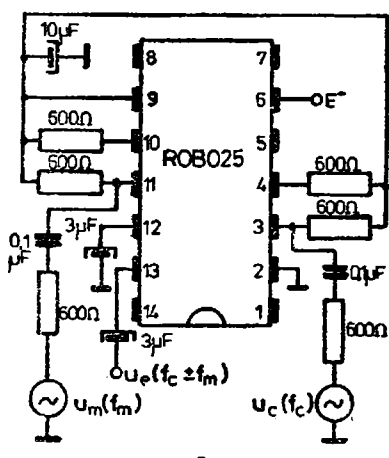
Tabelul 7.1

PARAMETRI	SIMBOL	VALORI
Tensiune de alimentare alimentare în gol	E	(12÷30) V
I.	2 mA	
Tensiună c.c. de ieșire (la pinul 10)	U_o	(3,2÷4,6) V
Tensiunea de ieșire diferențială (între pinii 9 și 10)	U_{od}	(25÷100) mA
Excursia tensiunii de ieșire	U'_o	1,3 V
Cîstig de conversie	G_c	(4,5÷5,5) dB

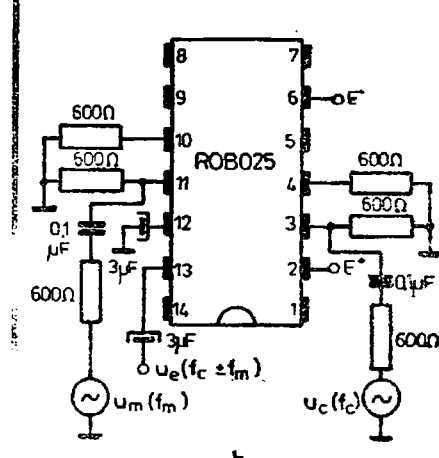
Cîstigul de conversie se calculează cu expresia

$$G_c = 20 \log \frac{U_o(f_c + f_m)}{U_o(f_m)}. \quad (7.62)$$

În fig. 7.35 se prezintă cele două variante de utilizare a circuitului integrat ROB025 :



a



b

Fig. 7.35. Modulator cu ROB025 :

a — cu o singură sursă de alimentare ; b — cu două surse de alimentare.

- cu o singură tensiune de alimentare ; fig. 7.35, a,
- cu două surse de alimentare, fig. 7.35, b.

Prin $u_c(f_c)$ s-a notat semnalul purtător, prin $u_{e(f_c \pm f_m)}$ — semnalul modulator iar prin $u_e(f_c \pm f_m)$ semnalul modulat în amplitudine.

BIBLIOGRAFIE

1. Vătășescu, A. și un colectiv, *Circuite cu semiconductoare în industrie. Amplificatoare și oscilatoare*, Editura Tehnică, București, 1971.
2. Herșcovici, H., *Circuite integrate în aparatura de automatizare*, Editura Tehnică, București, 1976.
3. Pop, E., Stoica, V., Nafornită, I., Petriu, E., *Tehnici moderne de măsurare*, Editura Facla, Timișoara, 1983.
4. Bulucea, C., Vais, M., Profeta, H., *Circuite integrate liniare*, Editura Tehnică, București, 1976.
5. Dragu, I., Iosif, I. M., *Circuite integrate liniare. Amplificatori operaționali*, Editura Militară, București, 1981.
6. Bodea, M., Vătășescu, A. și un colectiv, *Circuite integrate liniare. Manual de utilizare*, Vol. I...IV, Editura Tehnică, București, 1979, 1980, 1984, 1985.
7. Manolescu, A. M. și un colectiv, *Circuite integrate liniare*, Editura Didactică și Pedagogică, București, 1984.
8. Băjeu, G., Stancu, G., *Generatoare de semnale sinusoidale*, Editura Tehnică, București, 1979.
9. Mitrofan, G., *Generatoare de impulsuri și de tensiune liniar variabilă*, Editura Tehnică, București, 1981.
10. Constantin, P. și un colectiv, *Electronică industrială*, Editura Didactică și Pedagogică, București, 1983.
11. Răpeanu, R. și un colectiv, *Circuite integrate analogice*, Editura Tehnică, București, 1983.
12. Ristea, I., Popescu, C. A., *Stabilizatoare de tensiune*, Editura Tehnică, București, 1984.
13. Bodea, M., Mihuț, I., Turic, L., Tiponut, V., *Aparate electronice pentru măsurare și control*, Editura Didactică și Pedagogică, București, 1985.
14. Ciugudean, M., *Proiectarea unor circuite electronice*, Editura Facla, Timișoara, 1983.
15. Ciugudean, M., Tănase, M., *Dispozitive și circuite electronice*, Partea II, Institutul Politehnic Timișoara, 1986.
16. Ciugudean, M., Tănase, M., *Formator de impulsuri cu virf pentru comanda tranzistorilor de comutare*, Buletinul Științific și Tehnic al I.P. Timișoara, Electrotehnică, fasc. 2, 1980.
17. Ciugudean, M., Bogdanov, I., Jian, L., *Dispozitive și circuite electronice. Îndrumător de proiectare*, Institutul Politehnic Timișoara, 1983.
18. Ciugudean, M., Köles, I., *Contribuții la studiul și proiectarea amplificatorului operational cu caracteristică de transfer cu pantă monoton variabilă*, Buletinul Științific și Tehnic al Institutului Politehnic Timișoara, fasc. 1, 1982.
19. Ciugudean, M., Tănase, M., *Contribuții la proiectarea surSELOR de tensiune stabilizată cu element de reglare cu două tranzistoare în serie*, Buletinul Științific al Institutului Politehnic Cluj-Napoca, nr. 22, 1979.
20. Ciugudean, M., Nemeș, M., *Considerații asupra oscilatorului LC în punte cu reglaj de amplitudine*, CNETAC, Institutul Politehnic București, 1982.

21. Ciugudean, M., Köles, I., *Oscilator în punte cu diode pentru reglaj de amplitudine termostatate*, Simpozionul Aplicații ale Electronicii Industriale, Universitatea Craiova, 1983.
22. Ciugudean, M., *Nivele posibile ale semnalelor generatorului cu circuit integrat 3E565*, Simpozionul Aplicații ale Electronicii Industriale, Universitatea Craiova, 1983.
23. Ciugudean, M., *Circuitul integrat βE656 ca generator comandat prin tensiune*, Electronica XX, Vol. 2, nr. 4, dec. 1983.
24. Ciugudean, M., Tănase, M., *Formator-amplificator de impulsuri pentru comanda tiristorelor de putere*, Buletinul științific al Institutului Politehnic Cluj-Napoca, nr. 22, 1979.
25. Ciugudean, M., *Perfecționări ale elementului de reglare cu două tranzistoare în serie pentru surse de tensiune stabilizată*, CNETAC, Institutul Politehnic București, nov. 1984.
26. Ciugudean, M., *Rezistența de ieșire a sursei de curent bilaterale cu amplificator operațional*. Sesiunea de Comunicări Științifice Institutul Politehnic Iași, mai 1986.
27. Ciugudean, M., *Performanțele elementelor de reglare cu două tranzistoare în serie pentru surse de tensiune stabilizată*, Simpozionul Național de Teoria Sistemelor, Universitatea Craiova, mai, 1986.
28. Ciugudean, M., *Problema radiatorului comun al elementului de reglare cu două tranzistoare în serie pentru surse de tensiune stabilizată*, Simpozionul Național de Teoria Sistemelor, Craiova, mai, 1986.
29. Ciugudean, M., *O nouă aplicație a stabilizatorului integrat βA723*, Electronica XX (în curs de publicare).
30. Ciugudean, M., *Oscilator LC în punte cu circuite integrat βA726*, Buletinul Științific și Tehnic al Institutului Politehnic Timișoara, 1986 (în curs de publicare).
31. IPRS-Băneasa, *Circuite integrate liniare*, Catalog, 1981.
32. CCSIT-S, *Catalog general scurt. Componente electronice semiconductoare*, 1983.
33. Sipos, G., *Integrált áramkörök elektronika*, Budapest, 1980.
34. Texas Instruments, *Analóg és illesztő integrált áramkörök*, Budapest, 1979.
35. Ponner, I., *Electronică industrială*, Editura Didactică și Pedagogică, București 1972.
36. Simion, E., Miron, C., Feștilă, L., *Montaje electronice cu circuite integrate analogice*, Editura Dacia, Cluj-Napoca, 1986.
37. Bircă, Gălățeanu, S., *Proiectarea elementului de control serie pentru un redresor stabilizat cu semiconductoare*, *Telecomunicații*, 14, nr. 6, iunie 1970.
38. Morris, R. L., Miller, J. R., *Proiectarea cu circuite integrate TTL*, Editura Tehnică, București, 1974.
39. ICCE, *Componente electronice semiconductoare. Catalog 1980*.
40. Alexiu, I. și un colectiv, *Circuite cu semiconductoare în industrie. Aparate de măsurat*, Editura Tehnică, București, 1970.
41. Wildar, R. J., *Core Memory Sense Amplifier Design Using an Integrated Comparator SGS*, Fairchild Applications Report AR 149, May, 1966.
42. Ryszard Bayer, *Voltage discriminator has 0,1 mV resolution*, Electronics Designer's Casebook, Mc Graw-Hill, 1976.
43. Tiponuț, V., *High-speed and high-resolutions comparator*, Electronic engineering, iunie, 1979, pg. 21—22.
44. Pop, E., Stoica, V., *Principii și metode de măsurare numerică*, Editura Facla, Timișoara, 1977.
45. Tiponuț, V., *Aparate și echipamente electronice complexe*, Litografia IPTVT, Timișoara, 1983.
46. Tiponuț, V., *Noi aplicații ale comparatorului integrat CLB2711EC* (în manuscris).
47. Goldenberg, L. M., *Teoria și calculul circuitelor de impulsuri*, Editura Tehnică, București, 1972.
48. Tiponuț, V., Stoian, A., *Generator de tensiune triangulară*, Buletinul Științific și Tehnic al Institutului Politehnic „Traian Vuia” Timișoara tom 27(41), fascicola 1, 1982, pg. 71—74.

C U P R I N S

Prefață	5
Introducere	6
Capitolul 1. Aplicații ale amplificatoarelor integrate	
TBA790T, TCA150T	9
1.1. Amplificatoare de audiofrecvență	15
1.2. Oscilator sinusoidal <i>RC</i>	19
1.3. Oscilator sinusoidal <i>LC</i>	21
Capitolul 2. Aplicații ale amplificatoarelor operaționale	24
2.1. Conversia domeniului de tensiune	26
2.2. Amplificatoare cu ciștig variabil	29
2.2.1. Amplificator cu ciștig variabil cu circuit integrat 8A726	30
2.2.2. Amplificatoare cu ciștig variabil folosind tranzistoare cu efect de cimp și amplificatoare operaționale	33
2.2.3. Amplificatoare cu ciștig variabil cu diode semiconductoare	43
2.3. Redresor de precizie bialternanță	46
2.4. Amplificator de audiofrecvență	49
2.5. Transformator funcțional	52
2.5.1. Transformator funcțional cu un singur amplificator operațional	52
2.5.2. Transformator funcțional acordabil cu mai multe amplificatoare operaționale	58
2.6. Sursă de curent bilaterală comandată cu tensiune	64
2.7. Oscilator sinusoidal <i>RC</i>	66
2.8. Oscilatoare sinusoidale <i>RC</i> în cuadratură	71
2.9. Oscilator sinusoidal <i>LC</i> în punte	79
2.10. Filtru activ trece-bandă cu reacție multiplă	86
2.11. Comparator indicator cu fereastră	89
2.12. Traductor inductiv de poziție și vibrații spațiale	91

Capitolul 3. Aplicații ale circuitului integrat ȳM3900	94
3.1. Aplicații în curent continuu	96
3.1.1. Amplificatorul sumator ...	97
3.1.2. Converteoare tensiune-curent, curent-tensiune	99
3.1.3. Comparatoare	102
3.1.4. Traductor de temperatură	105
3.2. Generator de funcții ...	108
3.3. Filtru activ trece-bandă	109
Capitolul 4. Aplicații ale comparatoarelor integrate	113
4.1. Particularități și parametri specifici	113
4.2. Aplicații ale comparatorului dual CLE2711EC	118
4.2.1. Comparator dual cu reacție pozitivă totală	118
4.2.2. Circuit basculant monostabil ...	122
4.2.3. Generatoare de tensiune triunghiulară	124
4.2.4. Detectoare de vîrf	126
4.2.5. Circuite generatoare de impulsuri dreptunghiu-lare	130
4.2.6. Utilizarea independentă a celor două circuite de comparare din comparatorul dual	134
4.2.7. Utilizarea comparatorului dual ca amplificator operațional	141
4.3. Unele aplicații ale comparatorului cuadruplu ȳM339	141
4.4. Convertor analog-numeric rapid realizat cu compara-torul ROB760 ...	147
4.5. Recomandări privind realizarea practică a circui-telor cu comparatoare	147
Capitolul 5. Stabilizatoare de tensiune	149
5.1. Stabilizatoare de tensiune cu circuit integrat ȳA723 ...	149
5.1.1. Stabilizator fără tranzistor extern	151
5.1.2. Stabilizator cu un tranzistor extern	157
5.1.3. Stabilizatoare cu elemente de reglare cu două tranzistoare în serie ...	159
5.1.4. Stabilizator de tensiune cu reglaj de la zero	170
5.2. Stabilizatoare duale cu circuit integrat ROB1468	172
5.2.1. Stabilizatoare duale fără tranzistoare externe	175
5.2.2. Stabilizator dual cu tranzistoare externe	179
Capitolul 6. Circuite de temporizare și comandă în fază	182
6.1. Aplicații ale circuitului integrat ȳE555	182
6.1.1. Circuit basculant monostabil comandat prin ten-siune	
6.1.2. Generator de tren de impulsuri defazabil pen-tru comanda tiristoarelor	188

6.1.3. Generator de semnal triunghiular singular ...	191
6.2. Aplicații ale circuitului integrat TBA315E/315N	193
6.2.1. Generator de tren de impulsuri defazabil pentru comanda tiristoarelor sau triacelor cu un circuit integrat TBA315 ...	196
6.2.2. Generator de tren de impulsuri defazabile cu două circuite integrate TBA315 ...	198
6.3. Aplicații ale circuitului integrat βAA145 ...	200
6.3.1. Circuit de comandă în fază între două unghiuri impuse	206
6.3.2. Circuit de comandă în fază cu tren de impulsuri	211
Capitolul 7. Aplicații ale unor circuite integrate speciale	216
7.1. Oscilator <i>LC</i> în punte cu circuit integrat βA726 ...	216
7.2. Generator de funcții comandat prin tensiune cu circuit integrat βE565 ...	218
7.3. Aplicații ale multiplicatorului analogic ROB8095	227
7.3.1. Multiplicator cu transconductanță variabilă	228
7.3.2. Divizorul analogic ...	237
7.3.3. Extractorul de radical ...	239
7.3.4. Convertor tensiune-frecvență	241
7.4. Modulator-demodulator cu circuit integrat ROB025	243
Bibliografie	248